

هيدروليكا المضخات والقنوات المكشوفة

الأستاذ الدكتور
سمير محمد إسماعيل
أستاذ نظم الري
قسم الهندسة الزراعية
كلية الزراعة - جامعة الإسكندرية

الناشر
مكتبة بستان المعرفة
لطباعة ونشر وتوزيع الكتب
عقر الدوير - الحدائق : ٤٥/٢٢٤٢٢٨

اسم الكتاب: هيدروليكا المضخات والقنوات المكشوفة

اسم المؤلف: أ.د/ سمير محمد إسماعيل

رقم الإيداع بدار الكتب والوثائق المصرية: ١٨٢٥/ ٢٠٠١

التقديم الدولي: 4 - 17 - 6015 - 977 I.S.B.N

الطبعة: الأولى

التجهيزات الفنية: كمبيوتر 2000 : ٤٥/٢١٥٩٦٥

الطبع: دار الجامعيين للطباعة والتجليد الاسكندرية : ٤٥/٢١٥٩٦٥ : ٣/٤٨٦٢٠٠٤

الناشر: **بستان المعرفة**

كفر الدوار - الحدائق - ٦٧ ش الحدائق بجوار نقابة التطبيقيين

تليفون: ٤٥/٢٢٤٢٢٨ & ١٢٣٥٣٤٨١٤

جميع حقوق الطبع والنشر محفوظة للناشر

ولا يجوز طبع أو نشر أو تصوير أو إنتاج هذا المصنف أو أى جزء منه بأية صورة من الصور بدون تصريح كتابى مسبق من الناشر.

مُقلِّمة

يحتوى هذا الكتاب على الأساسيات والجوانب التطبيقية اللازمة لكل من المضخات وسريان المياه فى القنوات المكشوفة والتي يحتاجها المهندس فى عمله وتعتبر أساسية لآى مادة دراسية تتعرض فى محتوياتها للمضخات أو السريان فى القنوات المكشوفة كما تعتبر جزء أساسى لدراسة نظم الري وهندسة الري والصرف.

فالمضخات تلعب دوراً أساسياً فى حياتنا اليومية حيث لا نستطيع أن نتخيل شكل الحياة اليومية بدون إستخدام المضخات فى تحريك ورفع السوائل بصفة عامة وقد أدرك المصريون القدماء هذا فاستخدموا الطرق البدائية فى رفع المياه لرى أراضيهم التى لايزيد إرتفاعها على حوالى ٢ متر عن مستوى المياه فى التربة ومن هذه الوسائل البدائية الشادوف والطنبور والتي تستخدم طاقة الإنسان والساقية التى تستخدم طاقة الحيوان. وطاقة الإنسان تعتبر مكلفة بالنسبة للطاقة الكهربائية حيث أن الرجل القوى الصحيح البنية يمكنه أن يولد فى الساعة ما يقل عن ١ كيلوات. ساعة فإذا كان أجر العامل فى زمن ٨ ساعات عمل عشرة جنيهات وذلك لتوليد واحد كيلوات. ساعة فى حين يمكن الحصول على هذه الطاقة من الكهرباء بسعر حوالى ١٠ قروش للكيلوات. ساعة وبذلك تكون تكلفة الطاقة الإنسانية ١٠٠ ضعف الطاقة الكهربائية. هذا بخلاف محدودية كمية المياه التى يمكن رفعها ومقدار الرفع المحدود لهذه الوسائل البدائية. فيمكن لرجل واحد تشغيل شادوف لرفع الماء بمعدل ما يقرب من لتر واحد فى الثانية لمسافة حوالى ٢ متر بينما يمكن للساقية التى تدار بالحيوانات رفع ما يقرب من ٢٠ لتر/ث لمسافة حوالى ٢ متر.

وتوجد مساحات شاسعة من الأراضي لايمكن توصيل المياه إليها بـسريانها بالجاذبية خلال الترع (القنوات المكشوفة) أو الأنابيب (خطوط المواسير) وذلك لإرتفاع منسوبها (المياه لاتجرى فى العالى). ولذلك يلزم لتوصيل المياه إليها رفعها باستخدام المضخات مما يتطلب إنشاء محطات رفع على الترع كما هو الحال فى ترعة النصر والبستان التى تأخذ مياهها من ترعة النوبارية لتغذى أراضى منطقة بنجر السكر وغرب النوبارية والبستان حيث يوجد ٥ محطات رفع على امتداد ترعة النصر ترفع المياه بمقدار ١٠ متر لمسافة ١٠ كيلومتر بين محطات الرفع. ولايمكن أيضاً استخدام طرق الري المتطور بدون دفع المياه تحت ضغط خلال شبكات الأنابيب وذلك عن طريق استخدام المضخات وهذا الكتاب لايتعرض بالطبع إلى شبكات الري والصرف حيث سيتم إن شاء الله قريباً إصدار سلسلة الكتب المتخصصة فى نظم الري المتطور .

ومن الضروري عند استخدام المضخات أن يتم اختيارها لتناسب العمل المطلوب لى يتم تشغيلها بكفاءة عالية فلايصح اختيار مضخة تعطى تصرف أعلى من المطلوب عند ضغط منخفض أو العكس حيث تتخفف كفاءة المضخة عن الكفاءة التصميمية لها. ولذلك فسوف نتعرض فى هذا الكتاب لنقطة تشغيل المضخات بالإضافة إلى تشغيل المضخات على التوالى والتوازي وسوف نتعرض أيضاً لأنواع المختلفة للمضخات سواء الديناميكية أو الإيجابية وأعطالها والسبب المحتمل لهذه الأعطال. كذلك سوف نتعرض لتحديد السحب المسموح للمضخة بالإضافة إلى تكاليف تشغيل المضخات

ويتعرض هذا الكتاب أيضا إلى الأسس التي تحكم سريان المياه في القنوات المكشوفة وهي تسرى على سريان المياه في الترع والمصارف بمختلف درجاتها. كما يتعرض الكتاب أيضا إلى هيدروليكا سريان المياه في الأنابيب والطرق المختلفة لحساب الاحتكاك في الأنابيب بالإضافة إلى مقدمة في الآلات الهيدروليكية وذلك ضمن محتويات الباب الأول. واتقدم بالشكر لكل من قدم لي الجهد والمشورة لإخراج هذا الكتاب وأملى كبير في وجه الله تعالى أن يستفيد به كل من الدارسين والمشتغلين سواء في مجال الهندسة أو الزراعة. وأسأل الله سبحانه وتعالى التوفيق والسداد.

"ربنا لا تؤخذنا إن نسينا أو أخطأنا، ربنا ولا تحمل علينا أصراً كما حملته على الذين من قبلنا ربنا ولا تحملنا ما لا طاقة لنا به، واعف عنا واغفر لنا وارحمنا أنت مولانا فانصرنا على القوم الكافرين"

صدق الله العظيم

سورة البقرة الجزء الثالث الآية ٢٨٦

الباب الأول

أساسيات الهيدروليكا

Hydraulic Fundamentals

الباب الأول

أساسيات الهيدروليكا

Hydraulic Fundamentals

١-١ - الخواص الهيدروليكية للموائع

الكثافة Density:

الكثافة ρ لمائع هي كتلته لوحدة الحجم. ويعبر عنها في النظام الإنجليزى بالسلج لكل قدم مكعب (slug/ft^3) يعبر عنها في النظام المتري أو الدولى (SI) بالكجم/م^٣ (kg/m^3).

الوزن النوعى Specific Weight:

الوزن النوعى γ لمائع هو وزنه لوحدة الحجم. وبالتالي يكون له وحدات قوة لوحدة الحجم أى رطل لكل قدم مكعب (lb/ft^3) أو نيوتن/م^٣ (N/m^3) والكثافة والوزن النوعى للمائع يرتبطان كما يلي:

$$\rho = \frac{\gamma}{g} \quad \text{or} \quad \gamma = \rho g$$

حيث g : عجلة الجاذبية الأرضية (٩,٨١ متر/ث^٢) فى النظام المتري ٣٢,٢ قدم/ث^٢ فى النظام الإنجليزى.

ويجب ملاحظة أن الكثافة ρ مطلقة حيث أنها تعتمد على الكتلة التى لاتعتمد على الموقع بينما الوزن النوعى γ لاتكون قيمته مطلقة لأنه يعتمد على عجلة الجاذبية الأرضية g التى تتغير مع الموقع والذى يعتمد أساساً على خط العرض والمنسوب فوق سطح البحر.

الكثافة النوعية Specific Gravity:

الكثافة النوعية ρ_s للمائع هي النسبة بين كثافته وكثافة الماء النقي عند درجة الحرارة القياسية ولقد استخدم الفيزيائيون درجة ٤ مئوية كدرجة قياسية، ولكن غالباً ما يستخدم المهندسين ٦٠ درجة فهرنهايت.

في النظام المترى كثافة الماء عند درجة ٤°م هي ١ جم/سم^٣ وتساوي 1000 kg/m³ أو تساوي ١ ميغاجرام/م^٣ (1 Mg/m³) وبالتالي فإن الكثافة النوعية (والتي تعتبر لابعدية) لها نفس القيمة العددية لكثافة السائل في ذلك النظام حيث ان كثافته يعبر عنها بـ g/m³ أو Mg/m³ حيث أن كثافة المائع تتغير بدرجة الحرارة، فإنه يجب تعيين الكثافة النوعية وتحديدتها عند درجات حرارة معينة.

مثال:

الوزن النوعي للماء عند الضغط ودرجة الحرارة العاديين هو 62.4 lb/ft³ (9.81 kN/m³) الكثافة النوعية للزئبق هي ١٣,٥٥ احسب كثافة الماء ρ_w وكذلك الوزن النوعي والكثافة للزئبق ρ_{Hg} , γ_{Hg} على الترتيب.

الحل:

$$\rho_w = \frac{\gamma_w}{g} = \frac{62.4 \text{ lb} / \text{ft}^3}{32.2 \text{ ft} / \text{s}^2} = 1.94 \text{ slugs} / \text{ft}^3$$

$$\rho_w = \frac{\gamma_w}{g} = \frac{9.81 \text{ kN} / \text{m}^3}{9.81 \text{ m} / \text{s}^2} = 1000 \text{ kg} / \text{m}^3 = 1 \text{ g} / \text{cm}^3 = 1 \text{ Mg} / \text{m}^3$$

$$\gamma_{Hg} = \rho_s \gamma_w = 13.55 (62.4) = 846 \text{ lb} / \text{ft}^3$$

$$\gamma_{Hg} = \rho_s \gamma_w = 13.55 (9.81) = 133 \text{ kN} / \text{m}^3$$

$$\rho_{Hg} = \rho_s \rho_w = 13.55 (1.94) = 26.3 \text{ slugs} / \text{ft}^3$$

$$\rho_{Hg} = \rho_s \rho_w = 13.55 (1.0) = 13.55 \text{ g} / \text{cm}^3 = 13550 \text{ kg} / \text{m}^3$$

التعبير عن الضغط بعمود من المائع:

يعبر عن العلاقة بين الضغط وعمود المائع (الضاغط) طبقاً للعلاقة الآتية:

$$h = \frac{P}{\gamma}$$

P : الضغط بالرطل/ قدم المربع أو كيلونيوتن/ المتر المربع.

γ : الوزن النوعي رطل/ قدم مكعب أو كيلو نيوتن/ المتر المكعب.

h : الضاغط بالقدم أو المتر.

وحيث أن قيمة γ للماء هي:

$$\gamma_w = 9.81 \text{ kN} / \text{m}^3 = 62.4 \text{ lb} / \text{ft}^3$$

$$h(\text{ft of } H_2O) = \frac{1.44 \times \text{psi}}{62.4} = 2.308 \times \text{psi}$$

$$h(\text{m of } H_2O) = \frac{\text{kN} \cdot \text{m}^2}{9.81} = 0.102 \times \text{kN} / \text{m}^2 = 0.102 \times \text{kPa}$$

القدرة المائية Water Power

$$WKW = \gamma Q h$$

حيث:

h : الضاغط m

γ : الوزن النوعي kN/m^3

Q : التصريف m^3/s

WKW : القدرة المائية بالكيلووات

$$\begin{aligned} WKW &= 9.81 \left(\frac{\text{kN}}{\text{m}^3} \right) \times \left(\frac{\text{m}^3}{\text{s}} \right) \times (m) \\ &= 9.81 \times Q \times h \end{aligned}$$

ولحساب القدرة المائية بالحصلان في حالة وجود مائع غير الماء نقوم بالضرب في الكثافة النسبية للمائع.

$$WHP = \frac{Q(m^3/h) \times h(m)}{270}$$

$$WHP = \frac{Q(gpm) \times h(ft)}{3960}$$

ولتحويل القدرة بالحصلان إلى كيلو واط

$$kW = 1.36 \text{ HP} \quad \text{في النظام المترى}$$

$$kW = 1.34 \text{ HP} \quad \text{في النظام الإنجليزي}$$

أى لتحويل الحصان الميكانيكى في النظام المترى إلى كيلووات نقسم على ١,٣٦ ولتحويل الحصان الميكانيكى في النظام الإنجليزي إلى كيلووات نقسم على ١,٣٤.

قدرة المضخة الفرملية Pump Brake Horse Power

للحصول على القدرة الفرملية اللازمة لإدارة المضخة نقوم بقسمة القدرة المائية على كفاءة المضخة.

$$BHP = \frac{WHP}{\text{Pump Eff.}}$$

قدرة المحرك Motor Horse Power

للحصول على القدرة اللازمة لإدارة المحرك نقوم بقسمة قدرة المضخة الفرملية على كفاءة المحرك.

$$\frac{BHP}{HP \text{ input to Motor}} = \frac{Motor \text{ Eff.}}{WHP}$$

$$Pump \text{ Eff.} \times Motor \text{ Eff.}$$

القدرة الكهربائية للمحرك بالكيلووات:

في حالة تيار متردد إحادي الطور Single phase

$$KW = \frac{Amps \times Volts \times P.F.}{1000}$$

حيث $P.F.$ معامل القدرة (يساوى تقريباً ٠,٨) حيث انه في التيار المتردد يصنع إتجاه التيار مع الفولت زاوية جيب تماماً يساوى معامل القدرة.

في حالة تيار كهربى متردد ثلاثى الأطوار Three phase

$$KW = \frac{Amps \times Volts \times \sqrt{3} \times P.F.}{1000}$$

١-٢- هيدروليكا خطوط الأنابيب Pipeline Hydraulics

العلاقة بين الضغط والضغوط:

إذا فرض خزان مملوء بالمياه فإن الضغط Pressure عند نبطه داخله يساوى حاصل ضرب وحدة وزن المياه (الوزن النوعى) ٩,٨١ كيلو نيوتن/م^٣ (٦٢,٤ باوند/قدم^٣) وارتفاع الماء فوق هذه النقطة. وارتفاع الماء فى هذا العمود يسمى الضاغط Head. ولهذا فإن الضغط والضغوط ببساطة يعبران عن شئ واحد. والضغط عادة يعبر عنه الكيلو بسكال Kilopascals (Kpa) أو باوندا على البوصة المربعة (psi) أما الضاغط فيعبر عنه بالمتر أو القدم لعمود السائل.

أو الماء إذا كان نوع السائل مياه وبذلك يكون كيلوبسكال ضغط يكافئ ٠.١٠٢ متر ماء ضاغط أو ١ باوند/ بوصة^٢ يعادل ٢,٣١ قدم ماء ضاغط. أو ١ متر ماء ضاغط يعادل ٩,٨ كيلوبسكال ضغط أو ١ قدم ماء ضاغط يعادل ٠.٤٣٣ باوند/ بوصة^٢ ضغط. ففي خطوط الأنابيب أو شبكات المواسير فإن الضاغط يتكون من عدة مكونات هي:

١- الضاغط الإستاتيكي Static head H_s عند نقطة معينة يساوى الفرق فى المنسوب بين هذه النقطة ونقطة أخرى مرجعية قد تكون مستوى المضخة.

٢- ضاغط الضغط Pressure head وهو يساوى الضغط P عند هذه النقطة مقسوما على الوزن النوعى للمياه إذا كان نوع السائل مياه.

٣- ضاغط السرعة Velocity head $\left(\frac{V^2}{2g}\right)$ وهو الضاغط المطلوب لتحريك

المياه من السكون بإكسابها سرعة عند هذه النقطة حيث V السرعة، g عجلة الجاذبية الأرضية ٩,٨١ م/ث^٢ أو ٣٢,٢ قدم/ث^٢.

٤- ضاغط الاحتكاك Friction head, h_f وهو عبارة عن الطاقة المطلوبة لسريان المياه بين نقطتين عند نفس المنسوب ويعبر عنه بالمتري أو قدم ماء.

٥- ضاغط الوضع Elevation head (Z) لنقطة معينة هو المسافة الرأسية بين هذه النقطة وخط مقارنة إفتراضى ويكون إشارته موجبة إذا كانت هذه النقطة فوق خط المقارنة أو سالبة إذا كانت أسفل مستوى المقارنة.

تعرضنا سابقا للصور المختلفة للضاغط ولكن سوف نتعرض هنا لكيفية حساب ضاغط الاحتكاك أو الفاقد فى الطاقة نتيجة الاحتكاك فى خطوط الأنابيب والذي يطلق عليه بالفاقد الرئيسى وكذلك سوف نتعرض لحساب الفاقد فى المنحنيات أو وصلات المواسير والمحابس المختلفة والذي يطلق عليه بالفاقد الثانوى.

حساب الإحتكاك فى الأنابيب:

١ - معادلة هيزن وليامز

من أشهر المعادلات لحساب الاحتكاك فى مواسير المياه بصفة عامة المعادلة المعروفة بمعادلة هيزن وليامز Hazen-Williams وهى

$$h_f = \frac{1.212 \times 10^{10} L}{D^{4.87}} \left(\frac{Q}{C} \right)^{1.852}$$

حيث:

h_f : ضاغط الإحتكاك أو الفاقد فى الضاغط نتيجة الإحتكاك بالمتر.

L : طول الأنبوبة بالمتر.

Q : التصرف المار بالأنبوبة باللتر/ثانية.

C : معامل الإحتكاك ويطلق عليه معامل هيزن وليامز وهو يعتمد على نوع مادة الماسورة.

D : القطر الداخلى للماسورة بالمم.

والجدول التالى يعطى القيم المختلفة لمعامل هيزن وليامز.

| C | نوع مادة الماسورة |
|-----|--------------------------|
| ١٥٠ | بلاستيك |
| ١٤٥ | صلب مغطى بمادة الأيبوكس |
| ١٤٠ | أسبستوس أسمنتى |
| ١٣٥ | صلب مجلفن |
| ١٣٠ | ألومنيوم (وصلات كل ٩متر) |
| ١٣٠ | صلب (جديد) |
| ١٠٠ | صلب عمر ١٥ سنة |
| ١٠٠ | خرسانة |

وضعت معادلة هيزن وليامز لمواسير شبكات المياه ذات الأقطار ٣ بوصة فأكبر التي تحمل تصرفات ٣ لتر/ث فأكبر والتي يكون فيها رقم رينولدز Re أعلى من 10×5 ؛ ولذلك فهي تعطي نتائج مرضية تحت هذه الظروف. ولكن عند إستخدامها لأقطار الأنابيب الصغيرة والبلاستيكية ذات الجدران الناعمة Smooth-Walled كما هو الحال في شبكات الري بالتقيط فإن إستخدام معادلة هيزن وليامز بمعامل إحتكاك $C = 150$ يعطي قيم للفاقد في الإحتكاك أقل من القيم الفعلية. ولذلك جرت العادة على أخذ $C = 140$ للمواسير البلاستيك PVC ، PE للحصول على قيم متحفظة للإحتكاك.

٢ - معادلة سكوبي Scobey's equation

استخدمت معادلة سكوبي بكثرة في إيجاد الفاقد في الإحتكاك في مواسير الري بالرش وقد استنتجت أساساً للمواسير الصلب الملحوم ولكن للأقطار التي تبدأ من ٣ بوصة. ومعادلة سكوبي توضع على الصورة التالية:

$$h_f = \frac{K_s L Q^{1.9}}{D^{4.9}} (4.10 \times 10^6)$$

حيث:

h_f : الفاقد في الإحتكاك بالمتري.

K_s : معامل سكوبي ويعتمد على نوع مادة الماسورة.

L : طول الأنبوبة بالمتري.

Q : التصريف المار بالأنبوبة باللتر/ث.

D : القطر الداخلي للأنبوبة بالمم.

| | |
|--------------|--|
| $K_s = 0.32$ | مواسير صلب ملحوم ومواسير الأسبستوس سمّنت |
| $K_s = 0.34$ | مواسير خرسانية |
| $K_s = 0.36$ | مواسير صلب ملحوم عمر ١٥ سنة |
| $K_s = 0.4$ | مواسير صلب أو مواسير ألومنيوم |
| $K_s = 0.42$ | مواسير صلب مجلفن |

٣- معادلة دارسى وايزباك Darcy - Weisback equation

وقد يطلق على هذه الطريقة بالطريقة العلمية Scientific Method وترتبط معادلة دارسى وايزباك بين معامل الاحتكاك والفاقد فى الاحتكاك كما يلى:

$$h_f = f \frac{L}{D} \frac{V^2}{2g}$$

حيث:

f : معامل الاحتكاك

V : سرعة السريان داخل الأنبوبة م/ث

g : عجلة الجاذبية ٩,٨١ متر/ث^٢.

D : القطر الداخلى للأنبوبة متر.

وتوضح معادلة دارسى أن الفاقد فى الاحتكاك يتناسب مع طاقة حركة السريان وطول الأنبوبة ويتناسب عكسياً مع قطر الأنبوبة. وقد وجد أن معامل الاحتكاك f يعتمد على رقم رينولد (Re) Renolds number للسريان وكذلك الخشونة النسبية للأنبوبة Relative roughness ورقم رينولد هو حد لابعدى يعبر عن النسبة بين طاقة القصور الذاتى التى تحرك السريان والطاقة المفقودة فى اللزوجة التى تقاوم السريان ورقم رينولد يحسب من المعادلة:

$$R_e = \frac{\rho V D}{\mu}$$

حيث

ρ : الكثافة للمائع.

μ : اللزوجة المطلقة للمائع.

السريان بسرعة صغيرة لمائع مرتفع اللزوجة أو السريان داخل الأنابيب ذات الأقطار الصغيرة يكون قيمة رقم رينولد أقل من ٢٠٠٠. فى هذه الحالة تكون خطوط السريان متوازية ولا يحدث خلط للمائع داخل الأنبوبة أى يحدث الاحتكاك بين طبقات السائل وفى هذه الحالة يسمى السريان بالسريان الرقائقى Laminar flow ويحسب معامل الاحتكاك كالاتى:

$$f = \frac{64}{R_e}$$

ويتضح أن العلاقة بين رقم رينولد ومعامل الاحتكاك خطية وعندما تزيد سرعة السريان ويزداد رقم رينولد عن ٢٠٠٠ يبدأ السريان فى الإضطراب ويحدث به دوامات ويختلط السريان ببعضه ويكون الاحتكاك خارجى أى بين السريان وجدار الأنبوبة ولذلك فإن قيمة معامل الاحتكاك تعتمد على خشونة النسبية للأنبوبة ورقم رينولد. ويعبر عن الخشونة النسبية E كما يلى:

$$E = \frac{e}{D}$$

حيث:

e : الخشونة المطلقة لجدار الأنبوبة.

D : القطر الداخلى للأنبوبة.

وقد قام Nikuradse بتجارب واسعة لإيجاد تأثير خشونة سطح الأنابيب على السريان وذلك بتغطية السطح الداخلى لأقطار مختلفة من الأنابيب بأقطار مختلفة لحبيبات الرمال وبناء على ذلك بدأ ظهور الإصطلاح الخشونة المكافئة للرمال equivalent sand roughness ولذلك تعطى قيم الخشونة المكافئة للرمال لمختلف مواد الأنابيب التجارية المتاحة كما يلى:

جدول الخشونة المطلقة للأنابيب المختلفة

| نوع مادة الأنبوبة | e قدم | e (مم) |
|-------------------|---------------|------------|
| صلب مبرشم | ٠,٠٠٣ - ٠,٠٠٣ | ٩ - ٠,٩ |
| خرسانة | ٠,٠٠١ - ٠,٠٠١ | ٣ - ٠,٣ |
| خشب | ٠,٠٠٣ - ٠,٠٠٦ | ٠,٩ - ٠,١٨ |
| حديد زهر | ٠,٠٠٠٨٥ | ٠,٢٥ |
| حديد مجلفن | ٠,٠٠٠٥ | ٠,١٥ |
| حديد زهر مسفلت | ٠,٠٠٠٤ | ٠,١٢ |
| صلب أو حديد مطاوع | ٠,٠٠٠١٥ | ٠,٠٤٥ |
| أنابيب مسحوبة | ٠,٠٠٠٠٥ | ٠,٠٠١٥ |

وقد بينت نتائج التجارب التى قام بها نيكورادس Nikuradse أنه بينما تؤثر خشونة سطح الأنابيب على السريان عند القيم المرتفعة لرقم رينولد فإن معامل الإحتكاك يكون مستقل عن رقم رينولد. وقد قام فون كارمن Von Karman باستخدام نظرية الطبقة الحدية boundary layer فى الوصول إلى معادلة للاضطراب الكامل للأنابيب الخشنة وكانت المعادلة الناتجة لتعيين معامل الإحتكاك هى:

$$\frac{1}{\sqrt{f}} = 1.14 + 2 \log \frac{D}{e}$$

وقد قام مودى Moody بتوقيع معادلات نتائج نيكورادس على خريطة شهيرة عرفت بأسمه خريطة مودى Moody Diagram كما هي مبينة بالشكل (١-١).

ويجب التنويه هنا إلى أن كل من النتائج النظرية والتجريبية لاتعطي نتائج مؤكدة لمعامل الاحتكاك عند منطقة انتقال السريان من الرقائقى إلى الإضطرابى Laminar to tubulent ولكن من الناحية العملية فإن المصمم دائماً يهتم بقيمة معامل الاحتكاك عند السريان الإضطرابى.

ويمكن تلخيص طريقة إيجاد معامل الاحتكاك بالطريقة العلمية فى حساب رقم رينولد أولاً فإذا كان أقل من أو يساوى ٢٠٠٠ كان السريان رقائقى ويمكن إيجاد معامل الاحتكاك مباشرة من معادلة السريان الرقائقى.

$$f = \frac{64}{Re}$$

أما إذا تعدت قيمة رقم رينولد ٢٠٠٠ نقوم بإيجاد الخشونة النسبية لمادة الأنبوبة ثم نستخدم خريطة مودى فى إيجاد معامل الاحتكاك وأخيراً نقوم بالتعويض فى معادلة دراس لإيجاد الفاقد فى الضاغط نتيجة الاحتكاك.

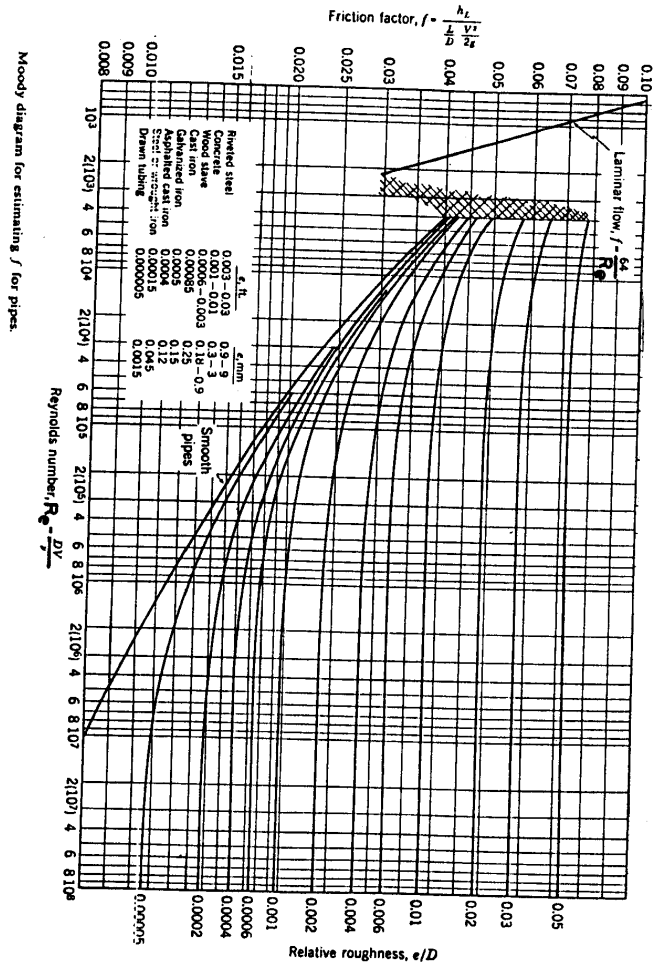
ويحسب رقم رينولد للمياه عند درجة حرارة ٢١ درجة مئوية من المعادلة:

$$Re = 1.3 \times 10^6 \frac{Q}{D}$$

حيث:

Q : التصريف لتر/ث

D : القطر الداخلى للأنبوبة بالمم.



شكل (١-١): خريطة مودى

مثال:

خط أنابيب مياه طوله ١٢ كم ويحمل تصرف ٠,٢ م^٣/ث. قطر الخط ٣٠ سم والخشونة النسبية ٠,٠٠٤ احسب التغير في الضاغط المفقود بالإحتكاك إذا تغيرت درجة حرارة المياه من ٣٠°م إلى ٦٥°م.

الحل:

متوسط سرعة السريان

$$V = \frac{Q}{A} = \frac{0.2}{\frac{\pi}{4}(0.3)^2} = 2.8 \text{ m/s}$$

اللزوجة الكينماتيكية للمياه Kinematic viscosity

$$@30^\circ C \quad \nu = 9 \times 10^{-7} \text{ m}^2/\text{s}$$

$$@65^\circ C \quad \nu = 4.5 \times 10^{-7} \text{ m}^2/\text{s}$$

$$\nu = \frac{\mu}{\rho}$$

$$R_e = \frac{V.D}{\nu}$$

$$R_e @ 30^\circ C = \frac{2.8(0.3)}{9} \times 10^7 = 9.43 \times 10^5$$

$$R_e @ 65^\circ C = \frac{2.8(0.3)}{4.5} \times 10^7 = 18.8 \times 10^5$$

$$\frac{e}{D} = 0.004$$

وحيث أن قيمة رقم رينولد كبيرة فإنه بالكشف عن معامل الإحتكاك في خريطة مودى شكل (١-١) السابق في الحالتين نجد أن

$$f @ 65^\circ C \approx f @ 30^\circ C = 0.0282$$

أى أن معامل الاحتكاك لم يتغير قيمته بتغير درجة حرارة المياه من ٣٠م إلى ٦٥م وذلك لأن السريان عند الإضطراب الكامل الذى لا يتأثر فيه قيمة معامل الاحتكاك برقم رينولد وأيضاً فإن درجة الحرارة تؤثر على اللزوجة واللزوجة تؤثر بدرجة كبيرة على معامل الاحتكاك فى السريان الرقائقى. ولذلك فإن معامل الاحتكاك يكون متساوى فى حالة السريان الإضطرابى كما يلى:

$$hf = f \frac{L}{D} \frac{V^2}{2g} = 0.0282 \frac{12000}{0.3} \frac{(2.8)^2}{2 \times 9.81}$$

$$= 450.0m$$

وهذا الفاقد فى الضاغط لطول خط الأنابيب ١٢ كم.

$$\text{أى أن الفاقد فى الضاغط} = \frac{450}{12000} \times 100 = 3.75 \text{ متر / ١٠٠ متر}$$

بمعنى أن الفاقد فى الضاغط نتيجة الاحتكاك يساوى ٣,٧٥ متر لكل ١٠٠ متر طول من الأنبوبة.

حساب الفاقد الثانوى Local or Minor Losses

يطلق على الفاقد فى المحابس والوصلات والإنحناءات فى خط الأنابيب

بالفاقد الثانوى وعادة يحسب كمعامل مضروب فى طاقة السرعة كما يلى:

$$h_v = K \frac{V^2}{2g}$$

حيث:

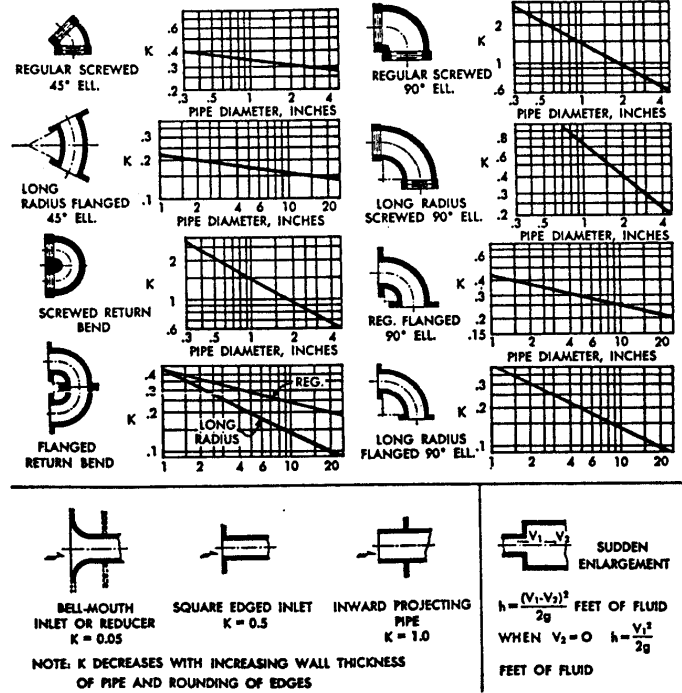
h_v : مقدار الفاقد الثانوى بالمتر.

K : معامل الفاقد الثانوى.

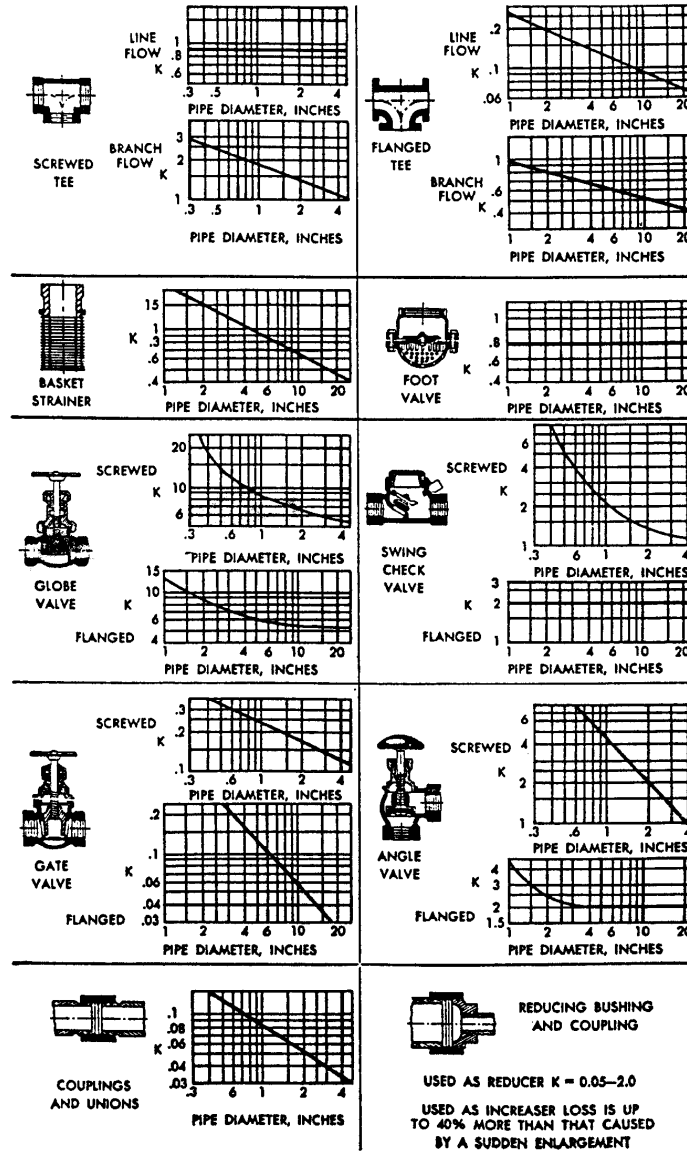
ويمكن إيجاد معامل الفاقد الثانوى من الجداول والمنحنيات شكل (٢-١)

حسب نوع المحبس أو الوصلة أو الإنحناء.

فى خطوط الأنابيب الطويلة عادة مايكون الفاقد الثانوى صغير بالنسبة للفاقد الرئيسى وهو الفاقد فى الاحتكاك أما بالنسبة للخطوط القصيرة فقد يتساوى الفاقد الثانوى مع الفاقد فى الاحتكاك أما فى خطوط السحب وخاصة للطلميات الطاردة المركزية فيتم حساب الفواقد الثانوية وفواقد الاحتكاك وذلك نظراً لأهميتها فى تحديد أقصى سحب للمضخة وفى بعض التصميمات للشبكات المختلفة قد يحدد للفاقد الثانوى نسبة من الفاقد بالاحتكاك كأن تكون ١٠ أو ٢٠٪ تضاف على الفاقد فى الاحتكاك للخطوط الطويلة وقد يحدد الفاقد الثانوى أيضاً بطول مكافئ لخط الأنابيب ذات القطر المتساوى معها Equivalent length.



شكل (١-٢): معامل الفاقد الثانوى للمحابس والوصلات والإحناءات المختلفة فى خطوط الأنابيب



تابع شكل (١-٢): معامل الفاقد الثانوى للمحابس والوصلات والإحتناات المختلفة فى خطوط الأنابيب

١-٣- الآلات الهيدروليكية Hydraulic Machinery

الطاقة الهيدروليكية:

هى الطاقة التى يحتفظ بها المائع اما على هيئة طاقة حركية أو طاقة ضغط أو طاقة وضع. كما يتبين ذلك من معادلة برنولى والتى تنص على أن مجموع الطاقات الثلاثة يكون الطاقة الكلية E لوحدة الوزن.

$$E = Z + \frac{P}{\gamma} + \frac{v^2}{2g} \quad \frac{N.m}{N}$$

الطاقة الميكانيكية:

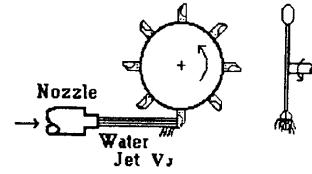
هى الطاقة التى يصاحبها حركة أو دوران لأجزاء من الآلة وعادة يمكن نقل هذه القدرة. والغرض من الآلات الهيدروليكية هو تحويل الطاقة أما من طاقة ميكانيكية الى طاقة هيدروليكية أو العكس. وتنقسم الآلات الهيدروليكية الى مجموعتين حسب اتجاه تحويل الطاقة. فالآلات الهيدروليكية التى تحول الطاقة الهيدروليكية الى طاقة ميكانيكية بحيث تخرج على شكل دوران لعمود أو جزء متحرك فى آلة تسمى توربينات *Turbines*، وتكون معادلة برنولى على الصورة الآتية:

$$Z_1 + \frac{P_1}{\gamma} + \frac{v_1^2}{2g} = Z_2 + \frac{P_2}{\gamma} + \frac{v_2^2}{2g} + h_l + h_{Losses}$$

حيث:

h_l : هى الطاقة التى تتسلمها التوربينة *energy absorbed*.

ويوجد نوعان من التوربينات أحدهما توربينات رد الفعل *reaction* والثانى توربينات تصادمية *impulse* وسوف نأخذ فكرة مبسطة عن نظرية عمل كل منها.

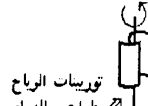


Impulse turbine
(Pelton Wheel)

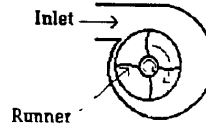
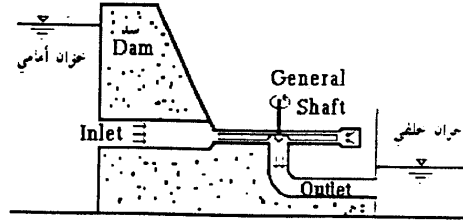
$$h_t = v_j^2 / 2g$$

v_j = Jet velocity

$$\text{Power} = P = \gamma Q h_t = \rho Q \frac{v_j^2}{2}$$



توربينات الرياح
طواحين الهواء
Wind turbines



Reaction turbine (Francis turbine)

هذا النوع من توربينات فرانسيس المستخدم في توليد الكهرباء
في السد العالي بأسوان

أما المجموعة الثانية من الآلات الهيدروليكية فهي التي تقوم بتحويل الطاقة الميكانيكية إلى طاقة هيدروليكية بحيث تخرج على هيئة مائع متحرك وتسمى مضخات *Pumps* أو مراوح *Fans* أو مكابس *Compressors*. وتأخذ معادلة برنولي الصورة الآتية:

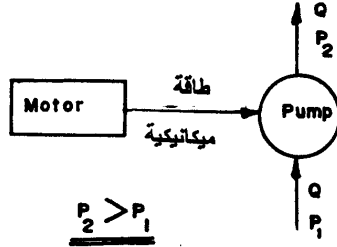
$$Z_1 + \frac{P_1}{\gamma} + \frac{v_1^2}{2g} + h_p = Z_2 + \frac{P_2}{\gamma} + \frac{v_2^2}{2g} + h_{Losses}$$

حيث:

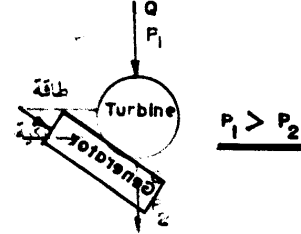
h_p : هي الطاقة التي تضيفها المضخة لوحدة الوزن .

ولهذا ففي المجموعة الأولى يبذل المائع شغل وتستخلص الطاقة منه بينما

في المجموعة الثانية يكون الشغل مبذول على المائع وتضاف إليه طاقة.



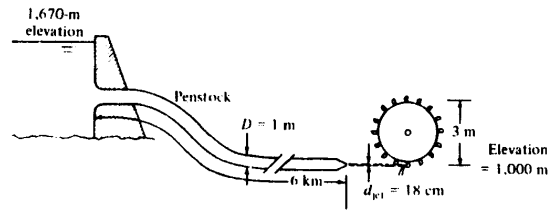
المجموعة الثانية: المضخات



المجموعة الأولى: التوربينات

مثال على التوربينات الدفعية:

احسب القدرة بالكيلووات التي تنتجها عملية توربينية دفعية impulse turbine كما هو مبين بالشكل إذا كانت كفاءة التوربينة ٨٥٪ على فرض أن معامل الاحتكاك لخط تغذية التوربينة Penstock هو $f = 0.015$ وأن الفاقد في الضاغط لنفث المياه (الباشبوري) يساوى صفراً. احسب السرعة الزاوية لعجلة التوربينة مفترضاً الحالة المثالية التي فيها $(V_f = 2V_{bucket})$. احسب كذلك عزم الدوران الناتج على عمود التوربينة.



الحل:

أولاً نقوم بإيجاد سرعة نفث المياه V_j قبل بدء إصطدامه بعجلة التوربينية وذلك بتطبيق معادلة برنولي من الخزان إلى الباشبوري كالآتي:

$$Z_1 + \frac{P_1}{\gamma} + \frac{V_1^2}{2g} = Z_2 + \frac{P_2}{\gamma} + \frac{V_2^2}{2g} + h_L$$

حيث:

$$P_1 = 0$$

$$P_2 = 0$$

$$Z_1 = 1670 \text{ m}$$

$$Z_2 = 1000 \text{ m}$$

$$\frac{V_1^2}{2g} = 0$$

$$\gamma = 9.8 \text{ kN / m}^3$$

نحسب سرعة المياه داخل خط التغذية

$$V_{\text{Penstock}} = \frac{V_j A_j}{A_{\text{Penstock}}} = \frac{\frac{\pi}{4} (18)^2}{\frac{\pi}{4} (100)^2} V_j = 0.0324 V_j$$

وبتطبيق معادلة دراس لحساب الاحتكاك

$$h_L = \frac{fL}{D} \frac{V^2}{2g} = \frac{0.015 \times 6000}{1} (0.0324)^2 \frac{V_j^2}{2g}$$

$$= 0.094 \frac{V_j^2}{2g}$$

وبحل معادلة برنولي نحصل على سرعة نفث المياه

$$1670 + 0 + 0 = 1000 + 0 + \frac{V_J^2}{2g} + 0.094 \frac{V_J^2}{2g}$$

$$V_J = \left(\frac{2 \times 9.81 \times 670}{1.094} \right)^{\frac{1}{2}} = 109.6 \text{ m/s}$$

ويتم الحصول على القدرة النظرية للتوربينة P من المعادلة الآتية:

$$P = \gamma Q \frac{V_J^2}{2g} = \frac{\gamma A_J V_J^3}{2g}$$

$$= \frac{9.81(\pi/4)(0.18)^2 (109.5)^3}{2 \times 9.81} = 16760 \text{ kw}$$

والقدرة الناتجة عن التوربينة

$$P_{\text{output}} = P \times \text{Eff} = 16760 \times 0.85 = 14245 \text{ kw}$$

ولحساب السرعة المحيطة لعجلة التوربينة عند الحالة المثالية

$$V_J = 2V_{\text{bucket}}$$

$$V_{\text{bucket}} = \frac{V_J}{2} = \frac{1}{2} \times 109.6 = 54.8 \text{ m/s}$$

ولحساب السرعة المحيطة = السرعة الزاوية \times نصف القطر

$$r\omega = 54.8 \text{ m/s}$$

$$\omega = \frac{54.8 \text{ m/s}}{1.5 \text{ m}} = 36.53 \text{ rad/s}$$

السرعة الدورانية لعجلة التوربينة N

$$N = \frac{60\omega}{2\pi} = \frac{60 \times 36.52}{2\pi} = 349 \text{ rpm}$$

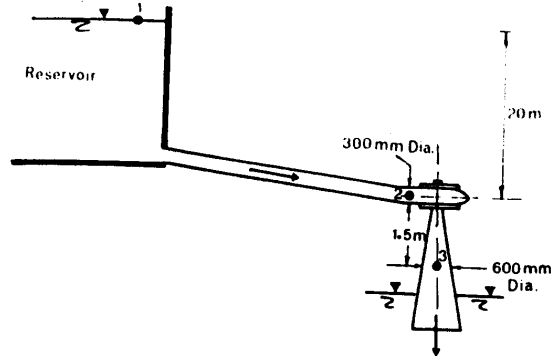
لحساب عزم الدوران T من القدرة الناتجة عن التوربينة

$$Power = T \cdot \omega$$

$$T = \frac{Power}{\omega} = \frac{14245 \text{ kw}}{36.53 \text{ rad/s}} = 390 \text{ kN.m}$$

مثال على توربينات رد الفعل:

يقوم خزان مياه بتغذية توربينة رد فعل Reaction Turbine تحت ضاغط ٢٠ متر كما في الشكل وعندما تسحب التوربينة تصرف ٥٠٠ لتر/ث يكون الفاقد في خط أنابيب التغذية ذات القطر ٣٠٠ مم هو ٢,٥ متر. احسب الضغط عند مدخل التوربينة. وإذا كان الضغط السالب عند نقطة في خط الطرد تبعد ١,٥ متر أسفل خط السحب هو 30 kN/m^2 عند مقطع أنبوبة قطرها ٦٠٠ مم. احسب الطاقة التي تتسلمها التوربينة بالكيلووات مهملاً فواقد الاحتكاك بين المدخل والمخرج للتوربينة. احسب كذلك الطاقة التي تعطيها التوربينة إذا علمت أن كفاءة التوربينة ٨٥٪.



الحل:

بتطبيق معادلة برنولي بين النقطتين ٢،١

$$Z_1 + \frac{P_1}{\gamma} + \frac{V_1^2}{2g} = Z_2 + \frac{P_2}{\gamma} + \frac{V_2^2}{2g} + h_L$$

سرعة المياه داخل الخزان تساوي صفراً وكذلك الضغط

$$\frac{P_2}{\gamma} = (Z_1 - Z_2) - \frac{V_2^2}{2g} - h_L$$

$$V_2 = \frac{Q}{A} = \frac{0.5}{\frac{\pi}{4}(0.3)^2} = 7.07 \text{ m/s}$$

$$\frac{P_2}{\gamma} = 20 - \frac{(7.07)^2}{2 \times 9.8} - 2.5 = 14.95 \text{ m}$$

$$P_2 = 14.95 \times 9.81 = 146.95 \text{ kN/m}^2$$

$$V_3 = \frac{Q}{A_3} = \frac{0.5}{\frac{\pi}{4}(0.6)^2} = 1.77 \text{ m/s}$$

بتطبيق معادلة برنولي بين النقطة ٣،٢

$$Z_2 + \frac{P_2}{\gamma} + \frac{V_2^2}{2g} = Z_3 + \frac{P_3}{\gamma} + \frac{V_3^2}{2g} + h_t + h_{Loss}$$

$$1.5 + 14.95 + \frac{(7.07)^2}{2 \times 9.81} = 0.0 - \frac{30}{9.8} + \frac{(1.77)^2}{2g} + h_t + 0.0$$

$$h_t = 21.9m$$

القدرة النظرية أو المائية للتوربينة

$$P = \gamma Q h_t = 9.8 \times 0.5 \times 21.9$$

$$= 107.42 \text{ kw}$$

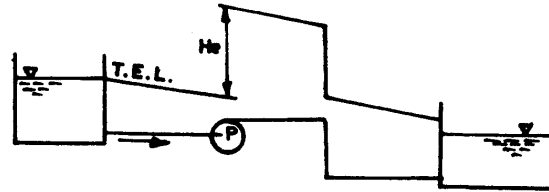
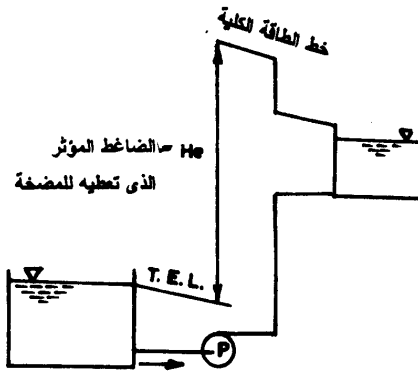
القدرة الناتجة من التوربينة

$$\text{Output Power} = P \times \text{Eff.}$$

$$= 107.42 \times 0.85 = 91.31 \text{ kw}$$

المضخات Pumps

تعتبر المضخة (الطلمبة) جهاز لتحويل الطاقة الميكانيكية من مصدر خارجي (محرك متصل بالمضخة) إلى طاقة هيدروليكية تعطى للمائع. هذه الطاقة تسبب ارتفاع مفاجئ في خط الطاقة الكلية و يستخدم هذا الارتفاع إما لرفع السائل من مستوى منخفض إلى مستوى أعلى منه أو لزيادة التصريف المار من مستوى مرتفع إلى مستوى منخفض كما هو مبين بالشكل (١-٣).



شكل (١-٣): إرتفاع الطاقة الكلية نتيجة وجود المضخة.

وبدراسة القدرة اللازمة لضخ المائع:

$$Power = force \times Velocity$$

$$(\rho \cdot a) \times v = P \cdot Q \quad Q = v \cdot a$$

$$= \gamma H Q$$

$$\text{at } 10^\circ \text{C } \gamma_{\text{water}} = 9.81 \text{ kN/m}^3 \quad \rho_{\text{water}} = \frac{\gamma}{g} = \frac{9810 \text{ N/m}^3}{9.81 \text{ m/s}^2} = 1000 \text{ kg/m}^3$$

$$\rho_{\text{air}} = 1.25 \text{ kg/m}^3 \quad \gamma_{\text{air}} = \rho \times g = 1.25 \times 9.81 = 12.2 \text{ N/m}^3$$

$$\text{Joule (J)} = \text{N} \cdot \text{m} \quad \text{N} = \text{Kg} \times \text{m/s}^2$$

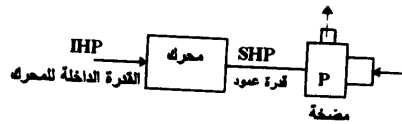
$$\text{Power (W)} = \text{J/s}$$

$$\text{Pressure } \text{N/m}^2 = \text{Pascal (Pa)}$$

$$P_{\text{atm}} = 101 \text{ kPa} = 101 \text{ kN/m}^2$$

$$P = \gamma h$$

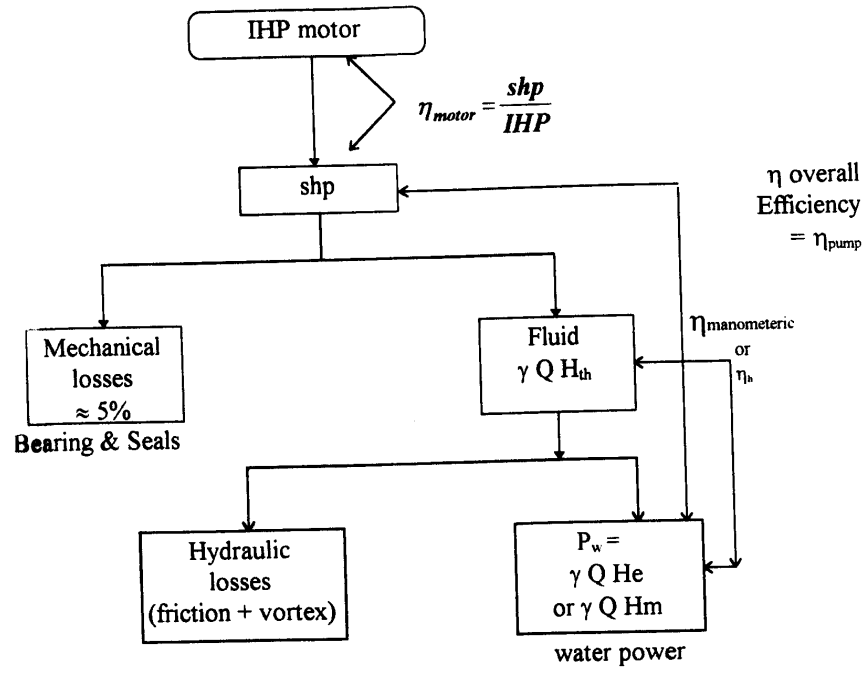
$$= (\text{kN/m}^3) \cdot \text{m} = \text{KPa}$$



$$\eta = \frac{\text{Output}}{\text{Input}}$$

الكفاءات المختلفة للمضخة:

توضح خريطة المسار التالية الكفاءات المختلفة للمضخة.



وبدراسة الكفاءات المختلفة

١ - الكفاءة الحجمية η_v Volumetric efficiency (96-98%):

$$\eta_v = \frac{Q}{Q + \Delta Q}$$

فإذا كان هناك تسرب بمعدل ΔQ من جانب الضغط المرتفع في المضخة إلى جانب الضغط المنخفض فإنه يوجد فقد طاقة بسبب الشغل المبذول على المائع المتسرب حيث Q تمثل السريان الفعلي المستفاد.

٢ - الكفاءة الهيدروليكية η_h Hydraulic Eff (80-96%):

$$\eta_h = \frac{H_e}{H_{th}}$$

فعند دوران دفعة المضخة يعطي السائل ضاغط كلى نظري H_{th} يفقد من هذا الضاغط جزء داخل الدفاعة (فوائد هيدروليكية مثل الاحتكاك والدوامات في مسار السائل) وعند خروج السائل منها يستفيد السائل فعلاً بضاغط يسمى الضاغط المؤثر أو المفيد H_e Effective head (وهو فرق خطى الطاقة الكلية قبل وبعد المضخة). وقد يعبر عن هذه الكفاءة أيضاً بالكفاءة المانومترية η_h Manometric Eff حيث :

$$\eta_h = \frac{H_m}{H_{th}}$$

فعند تساوى $H_m = H_e$ تتساوى الكفاءتين ويحدث هذا إذا كانت مواسير السحب والطررد متساوية في القطر أى أن سرعة المائع عند السحب والطررد

متساوية وبذلك يتساوى الضَّاعط المؤثر مع الضَّاعط المانومتري الذي تعطيه المضخة كما سيبين فيما بعد.

٣- الكفاءة الميكانيكية η_m Mechanical Eff (92-95%):

$$\eta_m = \frac{Shp - fp}{Shp}$$

حيث *shaft horse power shp*

هي القدرة عند عمود الإدارة للمضخة وتساوى $Shp = \omega \cdot T$

حيث:

ω : السرعة الزاوية لدفاعة المضخة أو عمود الدوران *angular velocity*

T : عزم الدوران *Torque*

fp : القدرة المفقودة في الاحتكاك الميكانيكي في كراسي المحور وصناديق الحشو واحتكاك الدفاعة، أى بصفة عامة *Mechanical Power Loss*.

٤- الكفاءة الكلية أو الاجمالية η_{Pump} Overall Efficiency (70-80%):

$$\eta_{Pump} = \frac{\gamma Q H_e}{T \cdot \omega} = \frac{\gamma Q H_m}{Shp} = \eta_v \cdot \eta_h \cdot \eta_m$$

و غالبا ما يؤخذ $H_e = H_m$

تحديد الضاغط المانومتري الذي تعطيه المضخة H_m :

يوضح الشكل (١-٤أ) مضخة تدفع سائل من خزان سفلى إلى خزان علوى يرتفع سطح المياه فيه H_{st} عن سطح المياه فى الخزان السفلى (خزان السحب) بتصرف Q . أما الشكل (١-٤ب) فيوضح أيضاً مضخة تدفع سائل من خزان السحب السفلى إلى خزان الطرد العلوى ولكن مستوى المياه فى خزان السحب ينخفض عن مستوى المضخة بمقدار H_{ss} . ويلاحظ أيضاً إنخفاض خط الطاقة نتيجة وجود محبس فى خط الطرد والاختلاف يعنى أن ضاغط السحب الإستاتيكي فى الشكل (١-٤أ) موجب ولكن ضاغط السحب الإستاتيكي فى الشكل (١-٤ب) سالب.

وبدراسة شكل (١-٤) يمكن إستنتاج العلاقات الآتية:

$$H_{st} = H_{sd} - H_{ss}$$

$$H_{ms} = H_{ss} - H_{ls} - \frac{v_s^2}{2g}$$

$$H_{md} = H_{sd} + H_{ld}$$

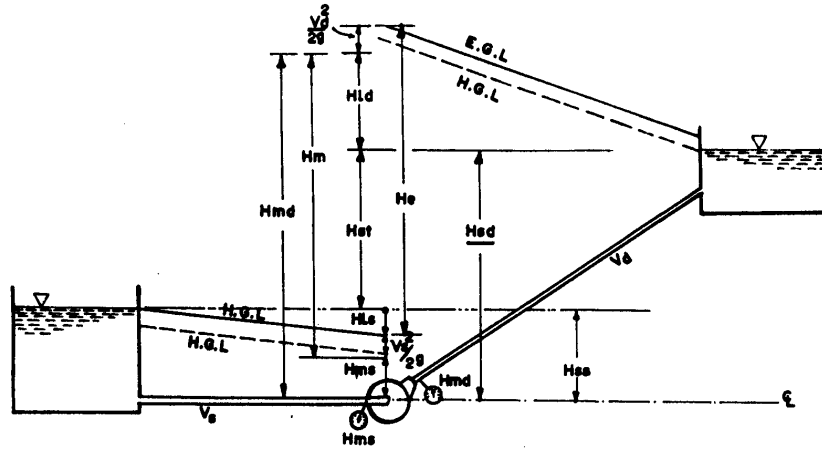
$$H_m = H_{md} - H_{ms}$$

$$H_m = (H_{sd} - H_{ss}) + (H_{ld} + H_{ls}) + \frac{v_s^2}{2g}$$

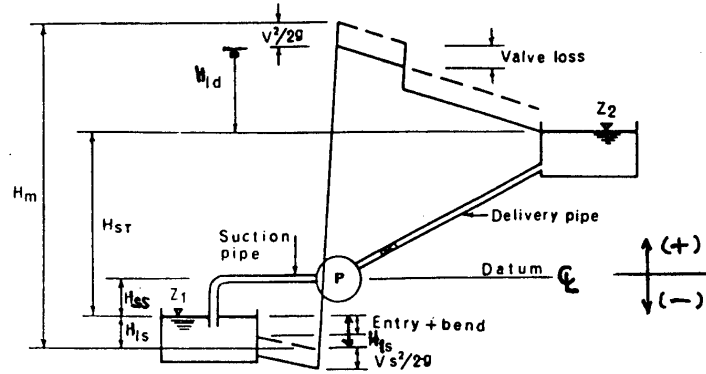
$$H_m = H_{st} + h_L + \frac{v_s^2}{2g}$$

$$H_e = (H_{sd} - H_{ss}) + (H_{ld} + H_{ls}) + \frac{v_d^2}{2g}$$

$$H_e = H_{st} + h_L + \frac{v_d^2}{2g}$$



(أ) مستوى المياه في خزان السحب يرتفع عن مستوى المضخة



(ب) مستوى المياه في خزان السحب ينخفض عن مستوى المضخة

شكل (٤-١): خط الطاقة الكلية وخط الميل الهيدروليكي في حالة وجود مضخة بالخط

ومن هذا يتضح أنه في حالة تساوي قطر السحب والطرْد فإن $v_s = v_d$ وينتج عن ذلك إن $H_e = H_m$ ، فإذا وضع مانومتران أحدهما عند دخول السائل للمضخة والآخر عند خروجها فإن الضاغط المانومتري المطلوب من المضخة يساوي H_m .

حيث :

$$H_{ss} = \text{Suction lift}$$

ضاغط السحب الإستاتيكي

$$H_{sd} = \text{Delivery lift}$$

ضاغط الطرد الإستاتيكي

$$= \text{Total Static}$$

الضاغط الإستاتيكي الكلى

$$H_{st} \text{ head}$$

$$H_{ls} = \text{Loss of head in Suction Pipe}$$

الفاقد في خط السحب

$$H_{ld} = \text{loss of head in Delivery Pipe}$$

الفاقد في الطاقة في خط الطرد

$$v_s^2/2g = \text{Velocity head in Suction Pipe}$$

ضاغط السرعة عند السحب

$$v_d^2/2g = \text{Velocity head in Delivery Pipe}$$

ضاغط السرعة عند الطرد

$$H_e = \text{Effective head}$$

الضاغط المؤثر

$$H_m = \text{Manometric head}$$

الضاغط المانومتري (الرافع)

$$H_{ms} = \text{Manometric Suction head}$$

ضاغط السحب المانومتري

$$H_{md} = \text{Manometric Delivery head}$$

ضاغط الطرد المانومتري

ونلاحظ أنه في حالة وجود المضخة فوق مستوى السحب فإن H_{ss} تكون سالبة ولكي ترفع المضخة السائل من مستوى السحب إلى مستوى الطرد يجب أن تتغلب على فرق المستوى الموجود (الرفع الإستاتيكي H_{st}) وكذلك على الفواقد الموجودة في خط الأنابيب. كما يجب أن تعطى السائل طاقة الحركة اللازمة له لكي ينتقل من حالة السكون داخل خزان السحب إلى حالة الحركة في خط الأنابيب.

مثال على إيجاد الضاغط المانومتري للمضخة:

أوجد قراءة كل من مانومتري السحب والطرود وكذلك الضاغط المانومتري للمضخة التالية:

التصرف = ٦٠ لتر/ث، الضاغط الأسطائكي = ٣٦ متر، ضاغط السحب الأسطائكي = ٤ متر، قطر كل من أنبوتى السحب والطرود = ١٥ سم، طول أنبوبة السحب = ٨ متر، طول أنبوبة الطرد = ٥٠ متر، معادلة الاحتكاك = ٠,٠٤

الحل:

$$V = \frac{Q}{A} = \frac{60 \times 1000}{\frac{\pi}{4} \times (15)^2} = 339.53 \text{ cm/s}$$

$$\frac{V^2}{2g} = \frac{339.53^2}{2 \times 980} = 58.817 \text{ cm}$$

$$H_f = f \frac{LV^2}{d \cdot 2g} = 0.04 \frac{L}{0.15} \times 0.588 = 0.1568 L$$

$$\begin{aligned} H_{ms} &= H_{ss} - H_{ls} - \frac{V_s^2}{2g} \\ &= -4 - (0.1568 \times 8 + 0.5 \times 0.588) - 0.588 \\ &= -(4 + 1.2544 + 0.882) = -6.1364 \text{ m} \end{aligned}$$

$$H_{st} = H_{sd} - H_{ss}$$

$$36 = H_{sd} - (-4)$$

$$H_{sd} = 36 - 4 = 32 \text{ m}$$

$$\begin{aligned} H_{md} &= H_{sd} + H_{ld} \\ &= 32 + 0.1568 \times 50 = 39.84 \text{ m} \end{aligned}$$

$$\begin{aligned} H_m &= H_{md} - H_{ms} \\ &= 39.84 - (-6.1364) = 45.9764 \text{ m} \end{aligned}$$

إذا كان المطلوب حساب قدرة المحرك اللازم لإدارة المضخة فيحسب كالاتى على فرض أن كفاءة المضخة ٧٤٪ وكفاءة المحرك ٨٣٪

$$HP = \frac{60 \times 45.976}{75 \times 0.74 \times 0.83} = 60 \text{ hp}$$

مثال على تأثير المضخة المساعدة في خط الأنابيب

Effect of booster pump in pipeline

تسرى مياه تحت تأثير الجاذبية من الخزان أ إلى الخزان ب ولزيادة التصريف تستخدم مضخة مساعدة booster pump كما فى الشكل وكان قطر خط الأنابيب ٢٠٠ مم ويرتفع مستوى المياه فى الخزان أ ٤٠ متر عن مستوى المياه فى الخزان ب وكان التصريف ٥٠ لتر / ث وطول خط الأنابيب ٥٠٠٠ متر وخشونة سطح الأنابيب ٠,٠٣ مم أوجد الضاغط المانومتري الذى تعطيه المضخة وكذلك القدرة المائية المطلوبة.

الحل:

$$L = 5000 \text{ m} \quad D = 200 \text{ mm} \quad e = 0.03 \text{ mm}$$

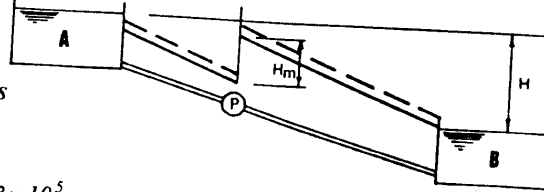
$$H_{st} = 40 \text{ m} \quad Q = 50 \text{ l/s} \quad H_m = ?$$

$$H_{st} + H_m = \frac{1.5V^2}{2g} + \frac{fLV^2}{2gD}$$

$$V = \frac{Q}{A} = \frac{0.050}{\frac{\pi}{4}(0.2)^2} = 1.59 \text{ m/s}$$

$$Re = \frac{VD}{\nu} = \frac{1.59 \times 0.2}{1.13 \times 10^{-6}} = 2.83 \times 10^5$$

$$\frac{e}{D} = \frac{0.03}{200} = 0.00015$$



بالكشف فى خريطة مودى نجد

$$f = 0.0162 \quad \text{from Moody chart}$$

$$H_{st} + H_m = \frac{1.5(1.59)^2}{2 \times 9.81} + \frac{0.0162 \times 5000(1.59)^2}{2 \times 9.81 \times 0.2}$$

$$= 0.193 + 52.179 = 52.48 \text{ m}$$

$$H_m = 52.48 - 40 = 12.48 \text{ m}$$

القدرة المائية أو الهيدروليكية المطلوبة

$$\text{Hydraulic Power delivered} = \gamma Q H_m$$

$$= 9.81 \times 0.05 \times 12.48$$

$$= 6.12 \text{ kw}$$

١-٤- أنواع المضخات Types of Pumps

توجد أنواع عديدة من المضخات تناسب أعمال الضخ المختلفة. وعموماً تنقسم المضخات إلى نوعين أساسيين هما مضخات الضغط الديناميكي ومضخات الإزاحة الإيجابية فمضخات الإزاحة الإيجابية تناسب أعمال الضخ التى تتطلب ضغط مرتفع وتصرف قليل نسبياً ولا يمكن تخفيض تصرفها عن طريق محبس الطرد وذلك لأنها تقوم بسحب حجم معين من جهة السحب لتطرده جهة الطرد أما المضخات الديناميكية فهى تناسب مختلف أعمال الضخ ويمكن تخفيض تصرفها عن طريق محبس الطرد وذلك لأن أساس عملها هو دوران مروحة داخل المائع أى تقوم بعملية تقليب للمائع فإذا تم إغلاق محبس الطرد فإن المروحة تقوم بتقليب المائع مما ينتج عنه إرتفاع فى درجة حرارته فقط. وهذا النوع من المضخات تحصل منه على تصرف مرتفع نسبياً بالنسبة لتصرف المضخات الإيجابية ولكن تحت ضغط يقل عن الضغط الذى تحصل عليه من المضخات الإيجابية. وتوجد أنواع عديدة من المضخات ولكننا سوف نتعرض للمضخات الأكثر شيوعاً وهى:

١ - مضخات الضغط الديناميكي Rotodynamic

ويحدث فيها تحول بين طاقة الوضع و طاقة الحركة، كم يجرى فيها تحول للطاقة الميكانيكية إلى طاقة هيدروليكية ومنها الأنواع الآتية:-

أ- المضخات الطاردة المركزية Centrifugal Pump

وفيها يخرج السريان من مروحة المضخة فى اتجاه نصف قطرى *Radial* إلى خارج المروحة وعموديا على اتجاه محور المروحة.

ب- المضخات المحورية او المروحية Axial-Flow (Propeller) pumps

وتسمى أيضا بالمضخات ذات السريان المحورى و كما هو واضح من إسمها يخرج السريان من مروحة المضخة فى إتجاه موازى لمحور المروحة.

ج- المضخات ذات السريان المختلط Mixed-flow pumps

وفيها تكون السرعات عند مخرج المروحة لها مركبتين أحدهما فى اتجاه محور المروحة والأخرى فى إتجاه عمودى عليه.

٢ - مضخات الإزاحة الإيجابية Positive Displacement Pumps

أ- المضخات الترددية Reciprocating Pumps

حيث يسحب المكبس المتحرك المياه إلى أسطوانة فى مشوار و فى المشوار التالى يضخها من الأسطوانة إلى الخارج ومنها المضخة الماصة الكابسة ومضخة الغشاء المرن.

ب- المضخات الدورانية Rotary Pumps

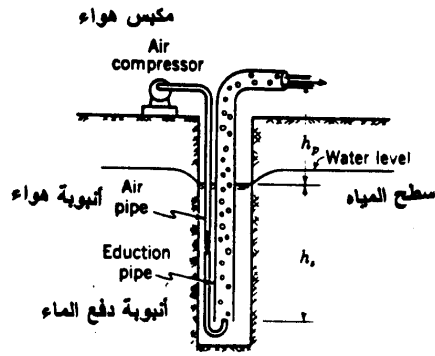
وفيها تكون حركة أجزاء المضخة حركة دورانية ومنها المضخة الترسية *Gear Pump* ومضخة الريش *Vane Pump*.

بالإضافة إلى النوعين السابقين توجد أنواع أخرى من المضخات اللاميكانيكية (شكل ٥-١) تعمل بواسطة مائع آخر نذكر منها على سبيل المثال:-

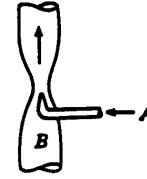
١- المضخات الرافعة بالهواء *Air - Lift Pumps*

٢- المضخات النافورية *Jet Pumps*

وفى النوع الأول من المضخات وهو المضخات ذات الضغط الديناميكي تزداد الطاقة الهيدروليكية للسائل نتيجة ديناميكية الحركة لأجزاء المضخة بينما فى النوع الثانى يتم ملأ فراغ معين داخل المضخة ثم تفريغه وهكذا. وحسب نظرية تشغيل كل نوع نجد أنه فى مضخات الضغط الديناميكي يمكن إغلاق محبس على ماسورة الطرد أثناء دوران المضخة دون أن تحدث أى أضرار للمضخة ويكون التصرف المار فى المضخة يساوى صفراً نتيجة إغلاق المحبس بالكامل.



المضخات الرافعة بالهواء



المضخات النافورية

شكل (٥-١): المضخات اللاميكانيكية

بينما فى المضخات الإيجابية فإنها عند الدوران بسرعة ثابتة تعطى تصرف ثابت مهما كانت فتحة المحبس الجزئية. وإذا أغلق المحبس على ماسورة الطرد بالكامل فإن ذلك يؤدى إما إلى كسر فى المضخة فى أضعف جزء منها أو إحتراق موتور تشغيل المضخة ولذلك نجد أن كثير من المضخات الإيجابية المنتجة حديثا تزود بمحسب أمان داخلى يفتح إذا زاد الضغط عن حد معين بحيث يمر السائل من جهة الطرد إلى جهة السحب مرة أخرى فى دائرة مغلقة للمحافظة على المضخة والمحرك.

الباب الثانى

المضخات الديناميكية

الباب الثاني

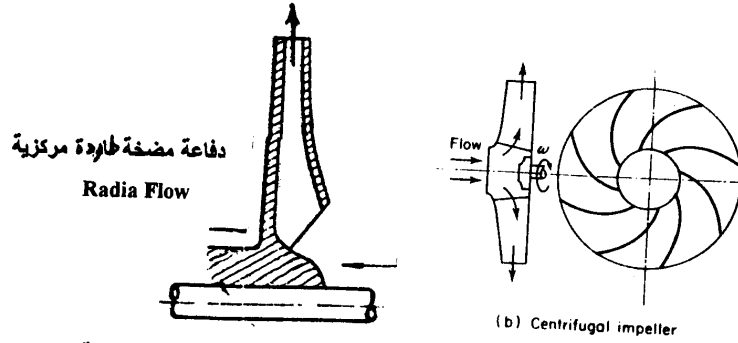
المضخات الديناميكية

تزداد الطاقة الهيدروليكية للسائل نتيجة ديناميكية الحركة لدفاعة المضخة حيث ان الجزء المتحرك يسمى بالدفاعة أو المروحة *impeller* ويتم من خلالها السريان واتجاه السريان بالنسبة لمستوى دوران المروحة يحدد نوع المضخة أى يمكن تقسيم المضخات الديناميكية *Rotodynamic* حسب إتجاه السريان فيها إلى:-

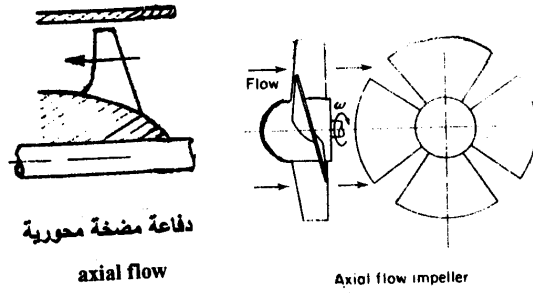
أ- مضخات طاردة مركزية (شكل ١-٢): وفيها يدخل السائل من فتحة فى منتصف المضخة أو مركزها و يمر نتيجة القوة الطاردة المركزية إلى المحيط الخارجى فى إتجاه نصف القطر.

ب- مضخات محورية (مروحية) (شكل ٢-٢):- وفيها يمر السائل فى المضخة فى إتجاه محورها.

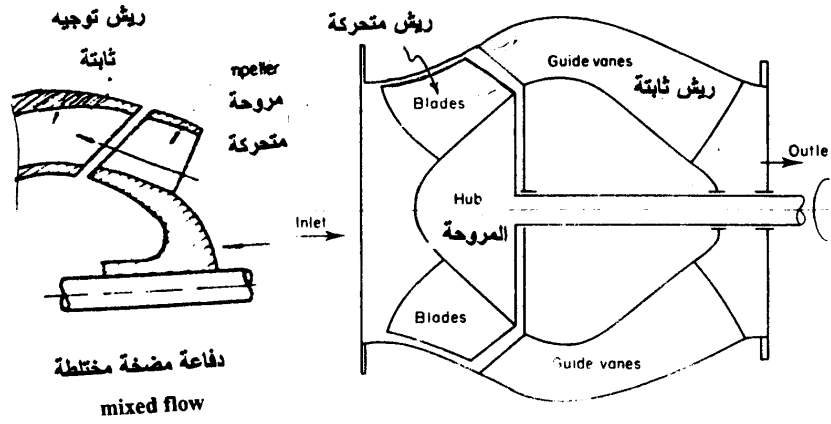
ج- مضخات مختلطة (شكل ٣-٢):- وفيها يكون السريان عند مخرج المروحة له مركبتين أحدهما فى إتجاه محور المروحة والآخر فى إتجاه نصف القطر.



شكل (١-٢): إتجاه السريان فى المضخات الطاردة المركزية



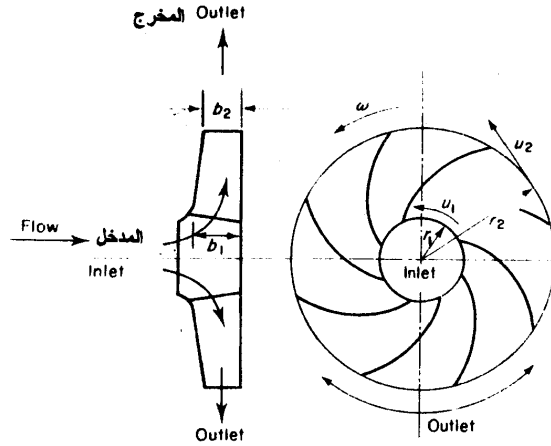
شكل (٢-٢): إتجاه السريان في المضخات المحورية



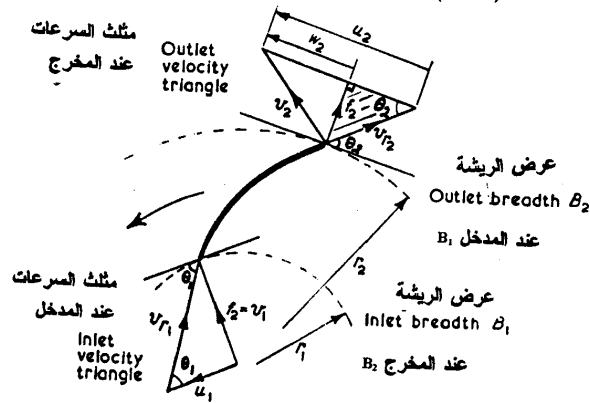
شكل (٣-٢): إتجاه السريان في المضخات المختلطة

٢-١ - مثلث السرعات:

لشرح نظرية عمل المضخات الديناميكية يوضح شكل (٢-٤) مروحة مضخة طاردة مركزية مبين عليها إتجاه السريان كما يوضح شكل (٢-٥) مثلث السرعات Velocity Triangle عند المدخل والمخرج من ريشة المروحة.



شكل (٢-٤): مروحة مضخة طاردة مركزية



شكل (٢-٥): مثلثات السرعات عند المدخل والمخرج

باعتبار المثلث المظلل

$$\tan \theta_2 = \frac{f_2}{U_2 - W_2} \quad \text{or} \quad \cot \theta_2 = \frac{U_2 - W_2}{f_2}$$

$$f_2 \cdot \cot \theta_2 = U_2 - W_2$$

$$\therefore W_2 = U_2 - f_2 \cdot \cot \theta_2$$

$$U_2 = \omega r_2 = \frac{\pi D_2 N}{60}$$

Discharge = Peripheral area x radial velocity

$$Q = 2\pi r_1 B_1 f_1 = 2\pi r_2 B_2 f_2$$

حيث أن ω = السرعة الزاوية للمروحة

$$U_1 = \omega r_1 \quad \& \quad U_2 = \omega r_2$$

حيث أن u هي السرعة المحيطية أو سرعة حافة الريشة

$$\text{Power} = T \cdot \omega = \gamma Q H_{th} \quad \text{وحيث أن القدرة}$$

$$T = F \cdot r \quad \text{وحيث أن عزم الدوران} = \text{القوة} \times \text{ذراع الدوران}$$

$$= (\rho Q W) \cdot r \quad \text{حيث أن} \quad (F = m \frac{dv}{dt} = \rho Q V)$$

$$\text{so Torque transmitted} = \rho Q (w_2 r_2 - w_1 r_1)$$

$$\therefore \text{Power} = \gamma Q H_{th} = T \cdot \omega$$

$$= \rho Q (W_2 \cdot r_2 - W_1 \cdot r_1) \cdot \omega$$

$$\text{but } \omega = \frac{u}{r} \quad \text{so that } \omega r_2 = u_2 \quad \text{and} \quad \omega r_1 = u_1 \quad \text{بالتعويض}$$

$$\gamma Q H_{th} = \rho Q (W_2 \cdot U_2 - W_1 \cdot U_1)$$

وتنتج من ذلك معادلة أويلر للمضخات Euler's Pump equation:

$$\left[H_{th} = \frac{W_2 \cdot U_2}{g} - \frac{W_1 \cdot U_1}{g} \right]$$

إذا ما صنعت الريشة بحيث تأخذ زاوية المدخل θ_1 هذه القيمة التي تجعل السرعة المطلقة للمياه عند المدخل v_1 في اتجاه نصف قطري أي تمر بالمركز وهذا هو المتبع عادة، في هذه الحالة تكون

$$f_1 = v_1 \quad \& \quad W_1 = 0$$

ويؤول قانون أويلر للمضخات إلى

$$\left[H_{th} = \frac{W_2 \cdot U_2}{g} \right]$$

وبذلك تكون الكفاءة الكلية للمضخة

$$\eta = \frac{Output}{Input} = \frac{\rho Q H_m}{Shp}$$

وتكون الكفاءة الهيدروليكية أو المانومترية

$$Manometric\ efficiency = \eta_h = \frac{H_m}{H_{th}} = \frac{H_m}{U_2 \cdot W_2 / g}$$

حيث

$$\omega = \text{السرعة الزاوية للمروحة} \text{ rad./s}$$

$$U = \text{سرعات حافة الريشة أو السرعة المحيطية}.$$

$$D_2, D_1 = \text{قطري المروحة عند مدخلها وعند مخرجها}.$$

$$v_{r1}, v_{r2} = \text{سرعات المياه بالنسبة للريشة}.$$

$$v_2, v_1 = \text{السرعات المطلقة للمياه absolute velocity}.$$

$$f_2, f_1 = \text{سرعتي السريان العموديتين على مقطعي السريان عند المدخل}$$

للمروحة وعند المخرج.

$$W_2, W_1 = \text{سرعتي الدوران للمياه عند المدخل وعند المخرج}.$$

$$\theta_2, \theta_1 = \text{زاوية المدخل والمخرج للريشة}.$$

٢-٢- السرعة النوعية (N_s) Specific Speed :-

عادة يستخدم مؤشر يبين نوع المضخة و هو السرعة النوعية. وتعرف السرعة النوعية (N_s) لمضخة معينة بأنها السرعة التي تدور بها مضخة مشابهة هندسيا لهذه المضخة وأبعادها هي تلك التي تجعلها ترفع تصرف مقداره الوحدة بضغوط مقداره الوحدة.

وقد تعرف أيضا بأنها سرعة المضخة باللفة / دقيقة والتي إذا دارت بها عند تخفيض حجمها فأنها تضخ ١ جالون / دقيقة عند ضغوط كلي مقداره ١ قدم ولذلك فهي أهم خاصية للمضخة تعطى بدلالاتها جميع المتغيرات الأخرى مثل منحنيات الأداء و شكل المروحة. بحيث أن أى مضختين لهما نفس قيمة السرعة النوعية تكونان متشابهتان بصرف النظر عن حجمهما ويكون لهما نفس شكل المنحنيات الأداء بصرف النظر عن القيمة.

$$N_s = \frac{N\sqrt{Q}}{H^{3/4}}$$

السرعة النوعية لمضخة معينة تحدد من قيم (Q) ، (H) التي تتناظر أقصى كفاءة لسرعة دوران معينة (N) وتمثل أيضا القيم عند مرحلة واحدة من المضخات متعددة المراحل.

وحيث أن السرعة النوعية تعبر عن نوع المضخة فإن المضخة ذات السرعة النوعية الصغيرة مناسبة لرفع تصرفات صغيرة بضغوط كبير، أما الطلمبات ذات السرعة النوعية الكبيرة فإنها تناسب رفع التصرفات الكبيرة بضغط صغير كما هو موضح من معادلة السرعة النوعية فإن السرعة النوعية (N_s) لها

مقياس وتعتمد قيمتها على الوحدات المستخدمة للتعبير عن كل عنصر عناصر الطرف الأيمن وغالبا ما يؤخذ النظام الإنجليزى للسرعة النوعية فى تقسيم المضخات حسب قيمة السرعة النوعية.

$$N_{s(English)} = \frac{rpm \sqrt{gpm}}{ft^{3/4}}$$

حيث:

N : لفة/دقيقة rpm .

Q : التصرف بالجالون فى الدقيقة gpm .

H : الرفع أو الضاغط الذى تعطية المضخة بالقدم ft .

أما فى النظام المترى فيعبر عن السرعة النوعية

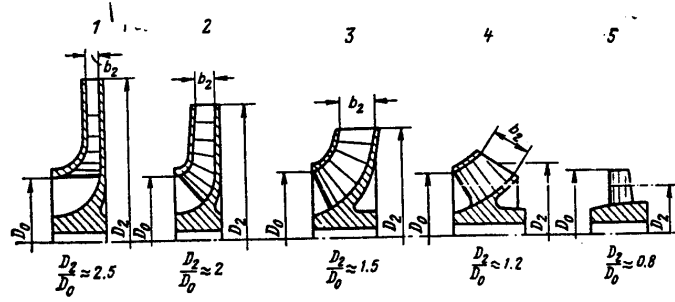
$$N_s(Metric) = \frac{rpm \sqrt{m^3/s}}{m^{3/4}}$$

وتستخدم العلاقات الآتية عند استخدام النظام المترى للحصول على قيمة السرعة النوعية فى النظام الإنجليزى حيث أن قيمة السرعة النوعية فى النظام الإنجليزى هى الأساس فى تقسيم المضخات.

$$\frac{rpm \sqrt{gpm}}{ft^{3/4}} = 51.64 \frac{rpm \sqrt{m^3/s}}{m^{3/4}} = 1.633 \frac{\sqrt{l/s}}{m^{3/4}}$$

تقسيم المضخات حسب قيمة السرعة النوعية كما يلي حسب الوحدات المستخدمة:

| نوع المضخة | $\frac{rpm \sqrt{gpm}}{ft^{3/4}}$ | $\frac{rpm \sqrt{m^3/s}}{m^{3/4}}$ | $\frac{rpm \sqrt{l/s}}{m^{3/4}}$ |
|--|-----------------------------------|------------------------------------|----------------------------------|
| مضخات ذات سريان قطري (تصرف منخفض ورافع مرتفع) | ٣٥٠٠-٥٠٠ | ٧٠-١٠ | ٢١٠٠-٣٠٠ |
| مضخات مختلطة (تصرف ورافع وسط) | ٧٥٠٠-٣٥٠٠ | ١٥٠-٧٠ | ٤٥٠٠-٢١٠٠ |
| مضخات محورية (تصرف مرتفع ورافع منخفض) | ١٢٠٠٠-٧٥٠٠ | ٢٥٠-١٥٠ | ٧٥٠٠-٤٥٠٠ |



شكل (٢-٦): التصميمات المختلفة للمراوح حسب السرعة النوعية

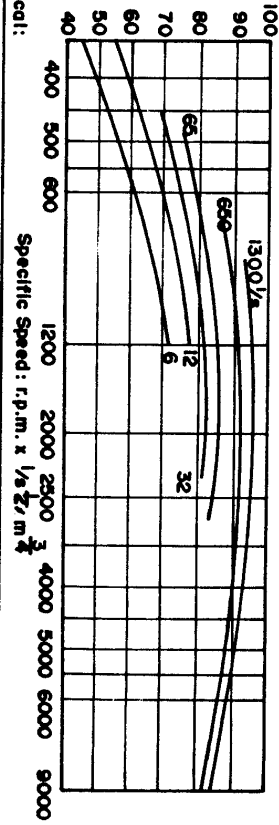
يتضح من الشكل (٦-٢) أنه كلما زادت النسبة بين فتحة الخروج B_2 وقطر المروحة D_2 زاد التصرف و قل الضغط الذى تعطيه المضخة والعكس بالعكس. وكلما قلت النسبة بين قطر المروحة D_2 وقطر فتحة الدخول D_0 زاد التصرف و قل الضاغط الذى تعطيه المضخة والعكس بالعكس.

يوضح شكل (٧-٢) تأثير السرعة النوعية على كفاءة المضخات المختلفة فعند التصرفات المرتفعة لا يمكن الحصول على كفاءة عالية من المضخات ذات السريان المحورى ذات السرعة النوعية المرتفعة. ويتضح أيضاً من الشكل أن المضخات الطاردة المركزية ذات السرعة النوعية المنخفضة يمكن الحصول منها على ضغط مرتفع ولكن تحت تصرف منخفض وأيضاً وأيضاً نجد أنه فى السريان القطرى نسبة قطر المروحة D_2 إلى قطر فتحة الدخول D_0 تزيد عن ١,٥ لتصل إلى ٣,٥ بينما فى المضخات ذات السريان المحورى تقل لتصل إلى ١ أو ٠,٨ بينما يقل الضاغط ليصل إلى ٥ متر. ويوضح شكل (٧-٢) أيضاً العلاقة بين التصرف والضغط والكفاءة والقدرة المستهلكة وذلك المضخات القطرية والمختلفة والمحورية فى المضخات ذات السريان القطرى نجد أنه بزيادة التصرف عند نقطة تصميم المضخة (أعلى كفاءة) يقل الضغط وأيضاً الكفاءة وتزيد القدرة المستهلكة وهذه النقطة فى منتهى الأهمية وسبب زيادة القدرة المستهلكة هو أنه بزيادة التصرف بنسبة ٢٥٪ مثلاً يقل الضغط بنسبة ١٠٪ وتقل الكفاءة بنسبة ١٠٪ أيضاً وحيث أن القدرة المستهلكة عبارة عن حاصل ضرب التصرف فى الضغط والقسم على الكفاءة نجد أن القدرة المستهلكة تزيد بمقدار ٢٥٪ وكما سبق فإنه فى كثير من التطبيقات العملية نجد أن كثير من المزارع يقومون بزيادة التصرف وذلك بالتوسع فى استخدام المياه إما بتركيب عدد أكبر

من الرشاشات أو فتح عدد كبير من المحابس في نفس الوقت ثم يبدأ المزارعون في الشكوى من انخفاض الضغط والكفاءة وزيادة استهلاك الطاقة وأيضاً سخونة المحرك لعدم قدرته إلى إعطاء الطاقة المطلوبة.

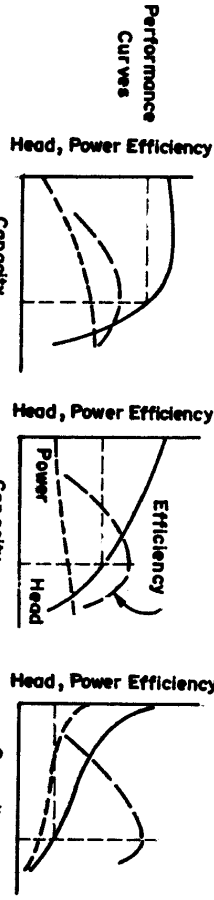
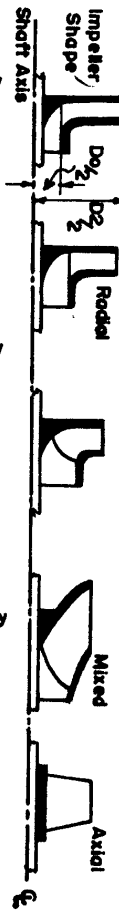
فعند زيادة القدرة اللازمة لإدارة المضخة يزداد التيار الكهربى المار وذلك لأن القدرة الكهربائية عبارة عن حاصل ضرب فرق الجهد فى شدة التيار وحيث أن فرق الجهد ثابت فإنه بزيادة القدرة يبدأ المحرك فى سحب تيار أو أمبير أكبر من إستهلاكه التصميمى لمواجهة هذه الزيادة فى القدرة وبالتالي تحدث السخونة فى المحرك والكابلات الموصلة للتيار الكهربى. وهكذا نتيجة لزيادة الحمل مرة واحدة على المضخة لفترة زمنية طويلة تبدأ مادة العزل فى الإنصهار وأحتراق الملفات وبالتالي إنهيار المحرك تماماً.

على عكس الحال فى المضخات المحورية التى يقل فيها الضغط بزيادة التصريف وأيضاً تقل الكفاءة وعلى ذلك نقل أيضاً القدرة المستهلكة ويتم الإستفادة من هذه العملية فى فتح محبس الطرد فى بداية تشغيل المضخات المحورية للحصول على أقل قدرة مطلوبة عند بداية التشغيل.



Typical:

| Head | 100m | 60m | 30m | 15m | 5m |
|-----------|---------|---------|---------|---------|-----|
| D_2/D_1 | 3.5-2.0 | 2.0-1.5 | 1.5-1.3 | 1.3-1.1 | 1.0 |



شكل (٧-٢): خصائص المضخات الديناميكية طبقا للسرعة النوعية

مثال:

قطر المروحة في مضخة طاردة مركزية ١,٢ متر وسرعة المروحة المحيطية ٩ م/ث وسرعة خروج المياه ١,٥ م/ث، زاوية المخرج للريش ٣٠ درجة على المحيط، وتصرف المضخة ٣,٤ م^٣/ث. فكم يكون عزم الدوران لعمود المروحة.

الحل

$$T = \rho Q W_2 r_2$$

$$W_2 = U_2 - f_2 \cot \theta_2$$

$$U_2 = 9 \text{ m/s} , \quad f_2 = 1.5 \text{ m/s} , \quad \theta_2 = 30^\circ$$

$$W_2 = 9 - 1.5\sqrt{3} = 6.4 \text{ m/s}$$

$$\rho = 1000 \text{ kg/m}^3 , \quad Q = \frac{3.4}{60} \text{ m}^3/\text{s} , \quad r_2 = 0.6 \text{ m}$$

$$\begin{aligned} \text{Torque on Shaft} &= 1000 \times \frac{3.4}{60} \times 6.4 \times 0.6 \\ &= 217 \text{ N.m} \end{aligned}$$

مثال:

قطر المروحة في مضخة طاردة مركزية ٠,١ متر وعرض ريشة المروحة عند المخرج ١٥ مم. وكان عدد الريش ١٦ ومنحنية للخلف بزاوية ٢٥ درجة على المماس للمحيط، وكان التصرف خلال الريش ٨,٥ م^٣/ث. عندما تدور بسرعة ٧٥٠ لفة/دقيقة، أحسب الضاغط النظري الذي تعطيه المضخة.

الحل

$$\text{Area at outlet, } A = \pi D_2 B_2 = \pi \times 0.1 \times 15 \times 10^{-3} = 4.71 \times 10^{-3} \text{ m}^2$$

$$\text{Velocity of flow at outlet, } f_2 = \frac{Q}{A} = \frac{8.5 \times 10^{-3}}{3600 \times 4.71} = 0.501 \text{ m/s}$$

$$\text{Blade Velocity at outlet, } U_2 = \frac{\pi D_2 N}{60} = \frac{\pi \times 750 \times 0.1}{60} = 3.927 \text{ m/s}$$

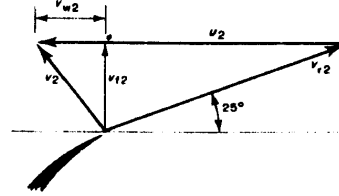
From the outlet velocity triangle

$$\tan 25^\circ = \frac{f_2}{U_2 - W_2}$$

$$W_2 = U_2 - f_2 \cot \theta_2$$

$$3.927 - 0.501 \cot 25^\circ$$

$$2.85 \text{ m/s}$$



The theoretical head is given by Euler's equation

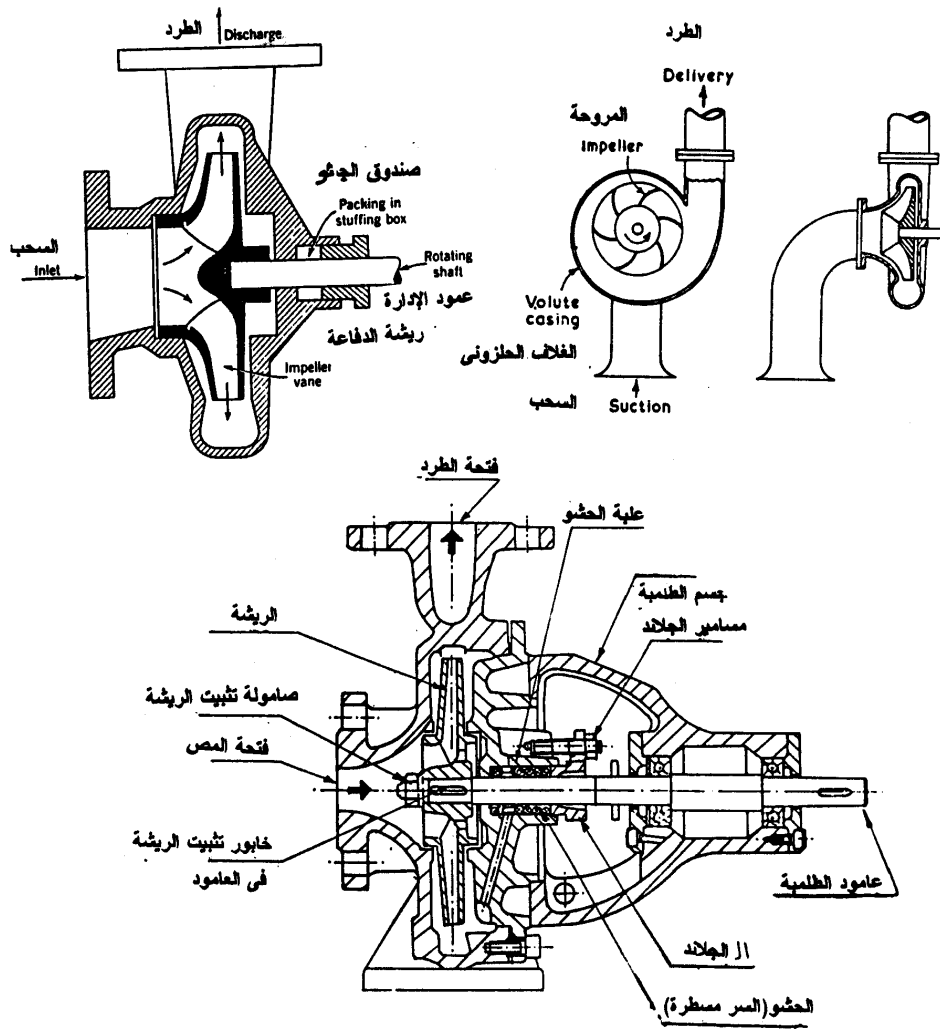
$$H_{th} = \frac{U_2 W_2}{g} = \frac{3.927 \times 2.85}{9.81} = 1.17 \text{ m of water}$$

٢-٣- المضخات الطاردة المركزية Centrifugal Pumps

سميت المضخة الطاردة المركزية بهذا الإسم لأن الزيادة في الضغط بداخل المروحة تكون نتيجة القوة الطاردة المركزية.

٢-٣-١ الوصف الداخلى للمضخة:

تتكون المضخة أساسا من مروحة دواره *impeller* تحمل عدد من الريش المنحنية للخلف *vanes* وتدور داخل غلاف ثابت *casing* كما هو مبين بالشكل رقم (٢-٨).



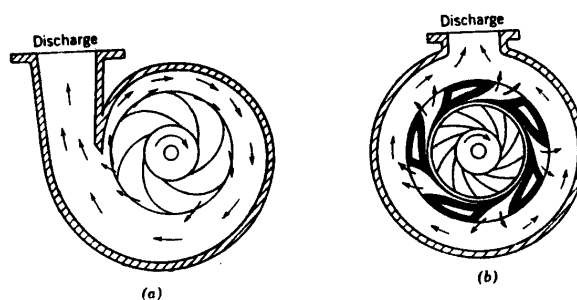
شكل (٢-٨): التركيب الداخلي للمضخة الطاردة المركزية

ويدخل السائل المضخة من مركزها وتبذل المروحة الدوارة شغل على السائل فيمر بالطرد المركزي ناحية الخارج وبذلك يترك السائل الدفاعة بزيادة في كل من السرعة والضغط وأثناء مرور السائل في الغلاف نحو أنبوبة الطرد يتحول جزء من طاقة السرعة للسائل إلى طاقة ضغط.

ويتصل بالمروحة الدوارة عمود المحرك لإعطائها الحركة الدورانية. ويمر عمود الإدارة من فتحة في الغلاف تزود بحشو أو مانع تسرب ميكانيكى لمنع تسرب السائل إلى خارج المضخة.

٢-٣-٢ - أنواع غلاف المضخة:

والغلاف الخارجى الثابت *casing* يكون بأبعاد مقاربة للمروحة الدوارة لتقليل التسرب من الخلوصات وهو يكون إما ذو شكل حلزوني *Volute type* أو ذو شكل توربيني *turbine or diffuser type* كما هو مبين في الشكل رقم (٢-٩). فالمضخات حلزونية الغلاف يكون محيط الغلاف الخارجى على هيئة أنبويه تتسع تدريجيا في اتجاه السريان لتقليل طاقة السرعة التي تتحول إلى طاقة ضغط وكذلك تؤدي إلى تقليل الاحتكاك، وينتهي الغلاف بقطر مساوى لقطر ماسورة الطرد. فكلما زادت مساحة مقطع السريان تتناقص السرعة وبالتالي يتزايد الضغط. والنوع الآخر من الغلاف والذي يسمى بالغلاف التوربيني ذو كفاءة عالية في تحويل طاقة الحركة إلى طاقة ضغط وهو كما في الشكل رقم (٢-٩) مزود بريش توجيه ثابتة *Stationary Guide Vanes* وهى بمثابة ممرات تتسع تدريجيا فتعمل على تناقص تدريجى في السرعة وبالتالي تزايد في الضغط. والغلاف التوربيني يكون دائرى الشكل ومركزة هو نفس مركز المروحة على خلاف الغلاف الحلزوني.



شكل (٢-٩): الغلاف الخارجى للمضخة الطاردة المركزية
(أ) شكل حلزوني (ب) شكل توربينى

٢-٣-٣- موانع التسرب:

حيث أن عمود المروحة الدوار يمر خلال غلاف الطلمبة الثابتة فإنه يستلزم الأمر وجود مانع لتسرب المياه حول العامود ويوجد نوعين من موانع التسرب:

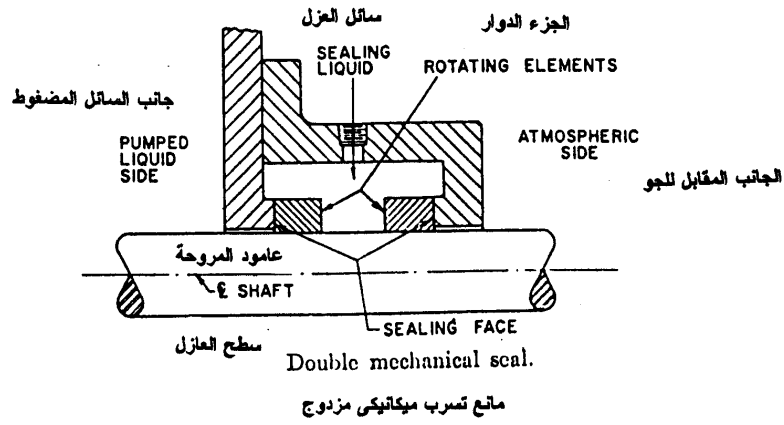
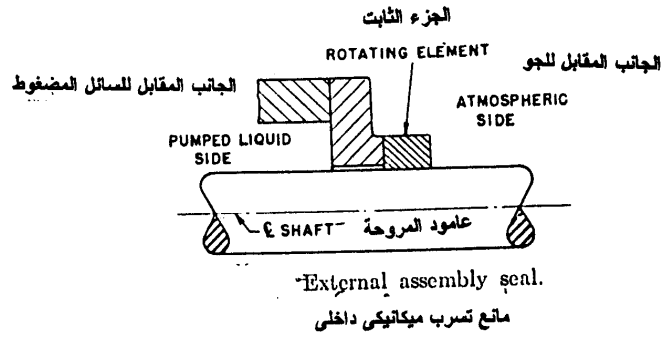
أ- صندوق الحشو Stuffine Box Packing

يحتوى هذا الصندوق شكل رقم (٢-٨) عادة على حشو طرى من الأسبستوس المخلوط بالجرافيت ويطلق على الحشو "سر مسطرة" وهناك أنواع مختلفة متوافرة فى السوق المحلى منها (قطنية بلجرافيت أو التفلون - أمينت بالزيت أو الشحم - تفلون - أمينت تفلون) ويجب أن يتصف الحشو بمواصفات هى أن يكون بالمقاس لطراز الطلمبة وأن يكون من مادة ناعمة لتقليل الاحتكاك بين العامود ومادة الحشو وكذلك مقاوم للتآكل وقابل للتشكيل والإنضغاط. ويتكون

الحشو من حلقات متتالية تضغط عليها جلبة الحشو (الجلاند). والأخيرة تكون مشقوقة إلى نصفين ليسهل فكها واستخراج الحشو التالف واستبداله بأخر جديد دون التعرض لأجزاء الطلمبة ويترك حيز كافى بين جلبة الحشو وكراسى التحميل (رولمان بلى) المجاور، ليسمح باستخراج جلبة الحشو كلما لزم الأمر. وعند وضع الحشو الجديد تربط مسامير الجلاند برفق مع السماح لتسرب ضئيل من المياه ليقوم بنوع من التزييت بين العامود والحشو ويمكن زيادة ربط مسامير لجلاند كلما لوحظت زيادة فى التسرب أثناء تشغيل الطلمبة مع مراعاة ألا ينعدم التسرب تماماً حتى لايتلف الحشو بالاحتكاك. وهذا النوع من مانع التسرب تماماً حتى لايتلف الحشو بالاحتكاك. وهذا النوع من مانع التسرب لايلتئم ضخات الضغط العالى حيث يتعرض الحشو للتلف بسهولة.

ب- مانع التسرب الميكانيكى Mechanical Seal

رغم اختلاف التصميمات لموانع التسرب الميكانيكى إلا ان اساسيات عملها واحدة. حيث أن أسطح التلاصق للمانع تقع فى مستوى عمودى على عمود الدوران وتتكون من سطح متحرك متصل بالعمود والسطح الآخر ثابت متصل بجسم المضخة وهذه الأسطح الناعمة اللامعة يفصل بينهما السائل الذى يقوم بعملية التزييت والتبريد لتقليل الاحتكاك وبالتالي فإن نظرية عمل مانع التسرب هى نفسها نظرية عمل كرسى التحميل Bearing حيث يوجد سطحان للتلامس بينهما سائل التزييت لتقليل الاحتكاك بين السطحين وقد يكون مانع التسرب داخلى Internal أو خارجى External وذلك حسب موقع مانع التسرب الدوار (Rotating element) كما فى الشكل (٢-١٠) ومانع التسرب الميكانيكى قد يحدث منه تسرب بسيط جداً وذلك عند حدوث تآكل فى سطح المانع



شكل (٢-١٠): الأنواع المختلفة لمانع التسرب الميكانيكي

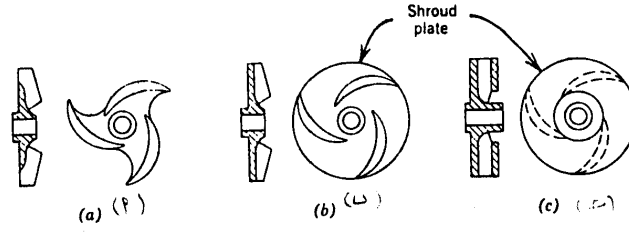
فى المضخات ذات الضغط العالى يستخدم الحشو المعدنى ليقاوم الضغط ويتركب من حلقة مثبتة فى عامود المضخة الدوار ويأى للضغط عليها وذلك لمنع تسرب المياه حول العامود الدوار وغلاف الطلمبة الثابت وعلى ذلك فإن استبدال الحشو المعدنى يتم بواسطة ميكانيكى متخصص على عكس تغيير السر مسطرة بالإضافة إلى تآكل الحشو المعدنى عند وجود مواد تساعد على التآكل فى الماء وأيضاً عند التشغيل الجاف.

٢-٣-٤- أنواع المراوح

وتتكون المروحة من عدة ريش فتصل من ٤ إلى ٨ فى المضخات الصغيرة ومن ١٦ إلى ٣٠ فى المضخات الكبيرة. ويكون إتجاه دوران المروحة بحيث ينزلق السائل على الجزء المحدب من الريشة لتقليل الإحتكاك وكذلك الطاقة المفقودة فى التصادم وبذلك يتضح أن إتجاه الدوران مهم جداً فعند تغيير إتجاه الدوران لا تعطى المضخة الكفاءة المطلوبة منها.

وتتقسم المضخات أيضاً حسب نوع المروحة فتوجد المراوح المقفلة *Enclosed* و *impellers* والمراوح شبه المقفلة *Semienclosed* والمراوح المفتوحة *Open* كما فى شكل رقم (٢-١١).

وتزود المراوح بفتحات إتزان الضغط *Balancing holes* لكى تعمل على معادلة الضغط على الريشة من ناحية السحب والطرء لتقليل قوى الدفع المحورى على المروحة *axial thrust* وكذلك تسمح بمرور جزء من المياه خلال الحشو ناحية الجلائد.

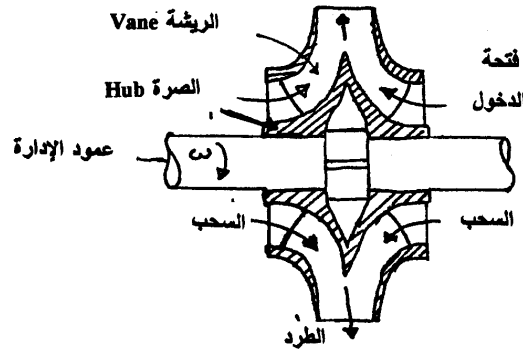


شكل (٢-١١): تقسيم المضخات حسب نوع المروحة
 (أ) مفتوحة (ب) شبه مقفلة (ج) مقفلة

المروحة المفتوحة تكون عبارة عن صرة (*hub*) تتصل بها الريش بينما المروحة المقفلة تتكون من قرصان *shroud plates* متوازيان، وبين القرصين مجموعة من الريش المنحنية تعمل كدليل للسريان وفي نفس الوقت لتثبيت القرصان معا.

أما المراوح شبه المقفلة فيوجد قرص واحد فقط مثبت عليه الريش. والمراوح المقفلة تكون كفاءتها أعلى من المراوح المفتوحة. ولو أن المروحة المفتوحة أفضل من وجهة نظر عدم الإنسداد بسهولة وتفضل في الإستخدام في حالة ضخ السوائل التي يوجد بها حمل عالق.

وقد تنقسم المضخات الطاردة المركزية أيضا إلى مضخات مفردة السحب، ومضخات مزدوجة السحب كما في الشكل رقم (٢-١٢). وتتصف الأخيرة بالتماثل كما أنها أيضا مزودة بمساحة مدخل كبيرة مع سرعات مدخل أصغر منها بالنسبة للمضخة مفردة السحب ذات نفس القطر الخارجى للدفاعة والمضخات الطاردة المركزية هي المضخات الأكثر شيوعا حيث أنها تستطيع التعامل مع جميع أنواع السوائل فى مدى كبير للتصرف والضغط. وتعطى ضاغط يصل إلى حوالى ٨٠ متر ماء للمرحلة الواحدة وتصرفات صغيرة إلى متوسطة. وبالمقارنة بجميع أنواع المضخات نجد أن تصرف المضخة الطاردة المركزية يكون أكبر من المضخات الإيجابية وأقل من تصرف المضخات المروحية، والضاغط الذى تعطيه أقل من ضاغط المضخات الإيجابية وأكبر من ضاغط المضخات المروحية.



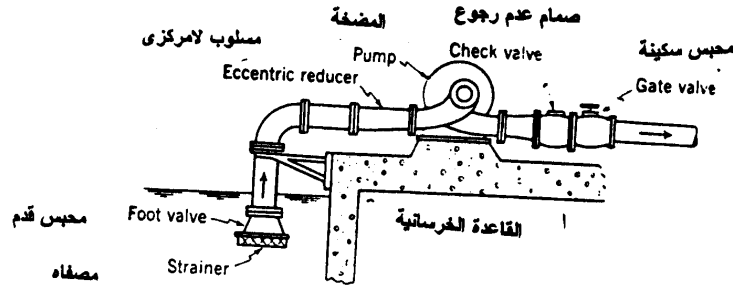
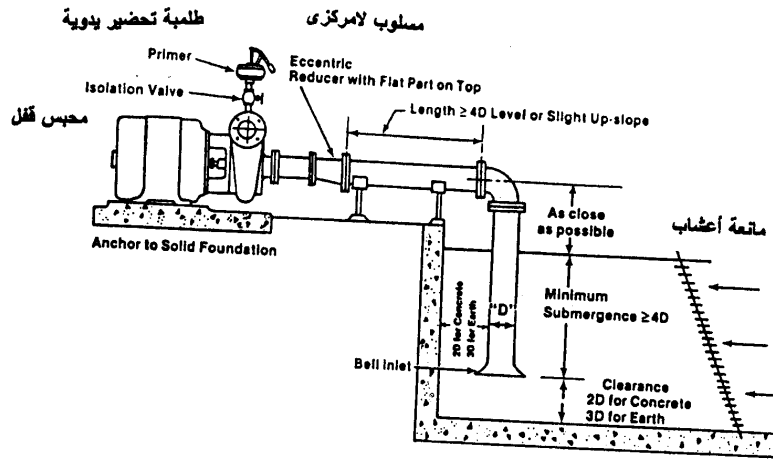
شكل (٢-١٢): أجزاء دفاعة مزدوجة السحب

Double-Suction impeller

٢-٣-٥- تركيب المضخة الطاردة المركزية Installation

يجب أن تركيب المضخة أولاً فى مأوى (غرفة) ذات تهوية جيدة تسمح بتبريد جيد للموتور ويفضل عمل فتحة تهوية (شباك) أمام فتحة المروحة لتبريد الموتور وأن يكون السقف مانع للتسرب حتى لا تسقط مياه المطر على لوحة التشغيل أو المحرك مما يتسبب فى حدوث قصر كهربائى أو تعرض المشغل للصعق بالتيار وأن تكون أرضية الغرفة مستوية بميل خفيف يسمح بمرور المياه باتجاه الصرف وعدم تراكم المياه بأرضية الغرفة وأن يتم تركيب بلاط للأرضية حيث أن المياه المتجمعة تسبب إنضغاط الرمال تحت القاعدة الخرسانية وحدوث ميل للمضخة يتسبب فى مشاكل أثناء التشغيل. ويجب أن تكون قاعدة المضخة أفقية تماماً ويتم ذلك باستخدام ميزان مياه وأن تكون وصلات الشحب (المص) والطرد مثبتة على حوامل خاصة بها حتى لا تؤثر على ضغط المضخة والمحرك كما فى الشكل (٢-١٣).

وتعتبر أول خطوات التركيب إنشاء القاعدة الخرسانية التى سيتم تثبيت المضخة والمحرك عليها وسمك الصبة الخرسانية يكون فى حدود ٤٠ سم وأبعادها تكون أكبر من الأبعاد الأفقية للمحرك والمضخة معاً بمسافة حوالى ١٠ سم للمحرك الكهربى إلى ٣٠ سم للمحرك الديزل ويجب أن تكون القاعدة الخرسانية معزولة عن الأرضية الخرسانية بلوح من الفلين أو المطاط لتقليل الإهترازات. ويجب أن لا يقل وزن القاعدة الخرسانية عن ١٥٠٪ من وزن المعدات (المضخة والمحرك) فوقها ويمكن حساب إرتفاع القاعدة الخرسانية المطلوبة من المعادلة التالية:



شكل (٢-١٣): تركيب المضخة الطاردة المركزية

$$D = \frac{1.5 \times EW}{L \times W \times 2165}$$

حيث:

D : عمق أو ارتفاع القاعدة الخرسانية بالمتر.

EW : وزن المعدات (المحرك والمضخة) بالكيلوجرام.

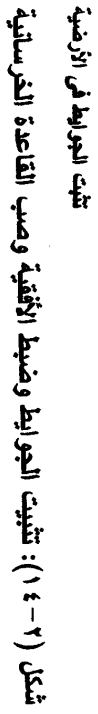
W : عرض القاعدة الخرسانية بالمتر.

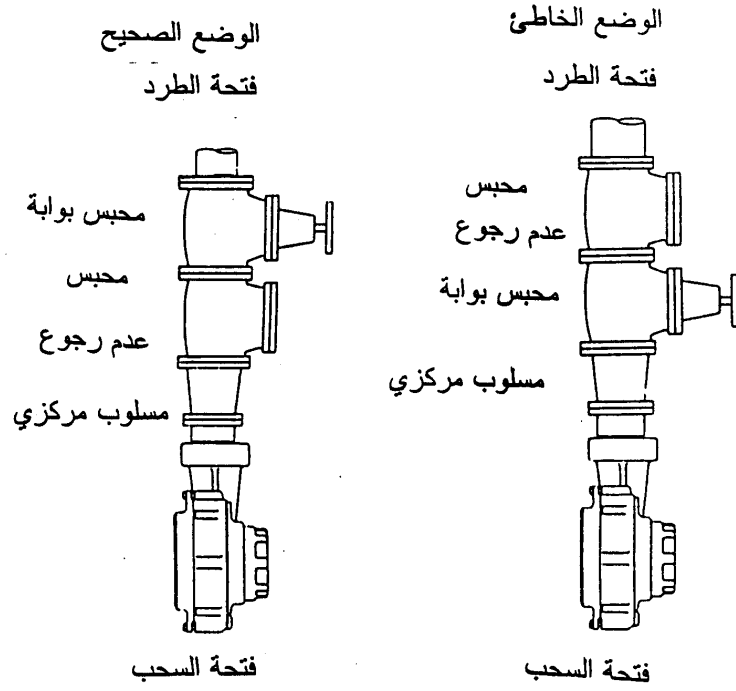
L : طول القاعدة الخرسانية بالمتر.

٢١٦٥ : وزن متر مكعب من الخرسانة بالكيلوجرام (١٣٥ رطل/قدم^٣).

وعند صب القاعدة الخرسانية يجب تثبيت الجوايط وضبط الأفقية قبل الصب ويجب ألا يقل عدد هذه الجوايط عن ٦ وبطول مناسب (٣٠سم) وفائدة الجوايط أنه يستخدم في تثبيت قاعدة المحرك والمضخة بالقاعدة الخرسانية كما هو مبين بالشكل رقم (٢-١٤).

ويجب مراعاة ترتيب تركيب كل من محبس القفل ومحبس عدم الرجوع على خط طرد المضخة حيث يجب تركيب محبس عدم الرجوع أولاً بعد المضخة مباشرة ثم يتبعه محبس القفل وليس العكس كما هو موضح بالشكل (٢-١٥). وعند تركيب وصلة السحب لابد أن تكون مثبتة جيداً أثناء التركيب بدعامات حديدية لمنع اهتزازها أثناء العمل. كما يجب أن يكون عمق المياه كافي أعلى فانوس السحب ومصفاء الأعشاب لضمان غمر فتحة السحب بالكامل ولمنع حدوث دوامات داخل البيرة وبالتالي دخول الهواء مع المياه إلى ماسورة السحب مما ينتج عنه حدوث إهتزازات وضوضاء في المضخة وانخفاض في كل من التصريف والضغط بالإضافة إلى أن المضخة قد تفقد تحضيرها أثناء التشغيل وتتوقف عن ضخ المياه.





شكل (٢-١٥): ترتيب كل من محبس القفل ومحبس عدم الرجوع

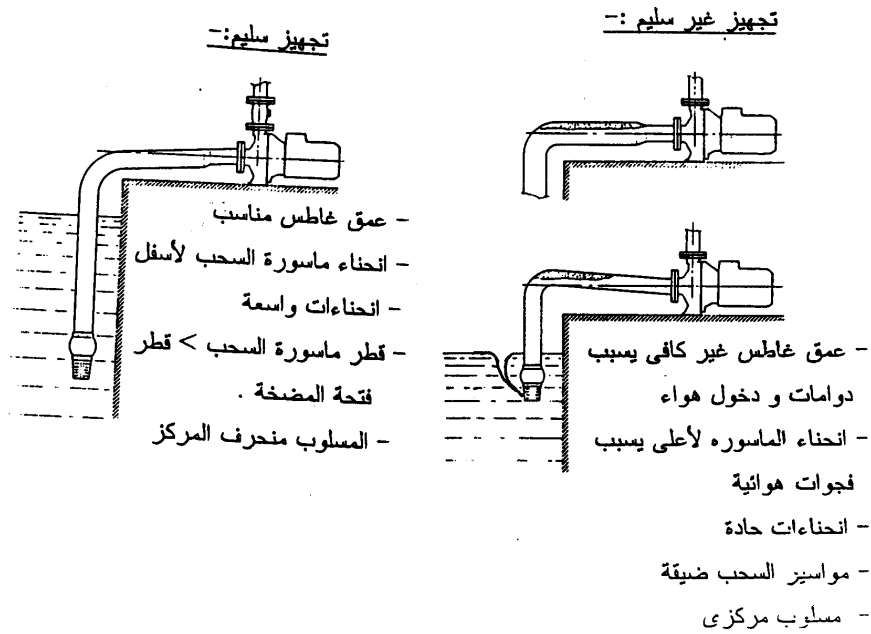
وعادة يتم تركيب مسلوب بعد ماسورة السحب وقبل نقطة دخول المياه إلى المضخة لخفض القطر بين ماسورة السحب والمضخة (قطر ماسورة السحب أكبر من قطر فتحة السحب في المضخة) ومن الأخطاء الشائعة استخدام مسلوب مركزي Concentric reducer أو متماثل بالنسبة لزوايا الميل على جوانبه بل يجب استخدام مسلوب غير مركزي Eccentric reducer (زاوية ميله منحرفة عن المركز) لضمان استمرار سريان المياه وعدم حدوث تفريغ نتيجة لوجود ثغرة هوائية داخل خط السحب.

وعند تركيب خط السحب يجب أن يأخذ ميل خفيف إلى أسفل ولا يجوز أن يميل لأعلى بالنسبة إلى فتحة السحب في المضخة لمنع تكون جيوب هوائية كما بالشكل رقم (٢-١٦) . ومن الضروري أيضاً تجنب الانحناءات الحادة في خط السحب كما في الشكل رقم (٢-١٧) . وكذلك يجب استخدام ماسورة أفقية لا يقل طولها عن ١٢ قطر الماسورة فإذا كان قطر الماسورة ٣ بوصة يكون طولها ٣٦ قدم وإذا كان قطر الماسورة ٤ بوصة يكون طولها ٤٨ قدم وهكذا وذلك لتقليل الدوامات وبالتالي تقليل فواقد خط السحب . ومن العمليات المهمة التي يجب التأكد منها عند تركيب المضخة عملية ضبط أفقية وإتزان عمود المضخة والمحرك وذلك للحصول على أفقية وإتزان في توصيل الحركة من عمود المحرك إلى عمود الطلمبة بدون حدوث اهتزازات أو ترحيل أو فرق في المنسوب يعمل على إنهيار الوحدة بالكامل ويؤثر تأثير مباشر على الحوامل (رولمان البلى) ويؤدي إلى تلفها لذا يجب العناية التامة بإجراء عملية ضبط أفقية وتطابق محاور الأعمدة المشتركة بالكابلنج وهو المسئول عن نقل الحركة كما هو مبين بالشكل رقم (٢-١٨) .

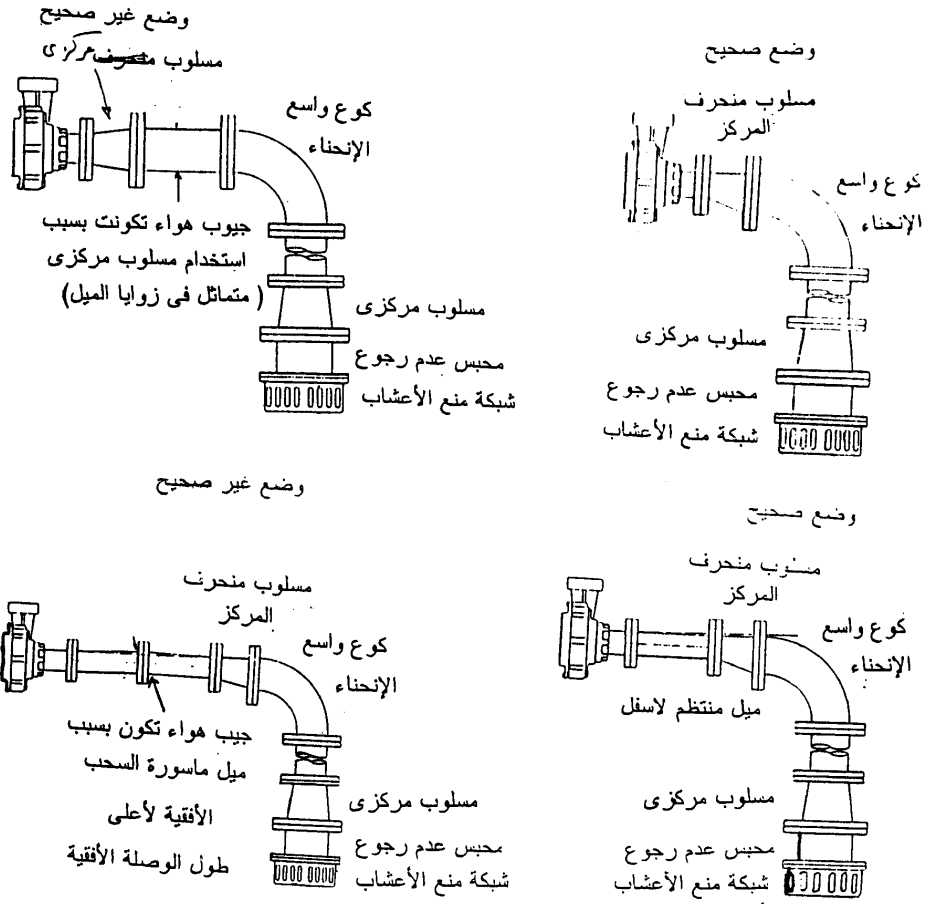
ويتم اختبار الأفقية وتطابق المحاور بوضع مسطرة ذات حافة معدنية حادة مستقيمة تماماً تسمى الإده على نصف الكابلنج Coupling alignment ثم ننظر من أمامها إلى المسافة بين الحافة والكابلنج كما في الشكل (٢-١٨) . وهنا يظهر فجوة بين حافة الإده وأحد نصفي الكابلنج بما يدل على أنه يوجد فرق في المنسوب بين النصفين مما يستلزم رفع هذا الجزء ليصبح مساوياً للجزء الآخر أى يجب إما رفع المضخة أو المحرك ولا تقتصر عملية الضبط هنا على الإتجاه الرأسى بل يجب ضبط الإتزان الأفقى أيضاً للكابلنج أى يتم الضبط فى الأربع

إتجاهات (أعلى وأسفل بالإضافة إلى اليسار واليمين) وذلك لجعل دوران كل من عمود المضخة وعمود المحرك على محور واحد حتى لا يحدث اهتزاز أثناء الدوران يؤثر على باقى الأجزاء سواء فى المضخة أو المحرك.

وقبل تشغيل المضخة يجب التأكد من نظافة المجرى المائى (التبطين) وكذلك نظافة وسلامة شبكة الأعشاب بالإضافة إلى نظافة حوض المص (البيارة) حيث يجب تطهيره بصفة دورية من ترسيبات الطمي والرمال التى تسبب تهالك وتلف وتآكل أجزاء المضخة الداخلية.



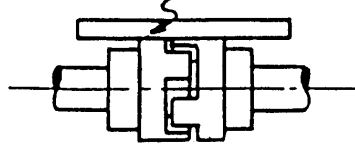
شكل (٢-١٦): طريقة التركيب السليمة لوصلة السحب والأخطاء الشائعة عند التركيب



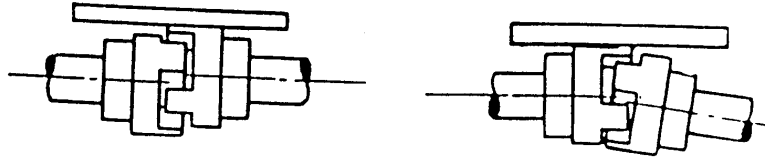
شكل (٢-١٧): النصائح الصحيحة والخاطئة في تركيب وصلة السحب

مسطرة معدنية ذات حافة حادة

(الإداة)



وضع صحيح



أوضاع غير صحيحة للتركيب تحتاج إلى ضبط

شكل (٢-١٨): ضبط أفقية وتطابق وصلة المحاور

Electrical Connections التوصيلات الكهربائية

إن الاستخدام السليم للموتورات الكهربائية فى الضخ يتطلب النوع المناسب من الموتورات الكهربائية والتركيب الصحيح مع الحماية المناسبة للموتور. مع اختيار المقاس المناسب من الكابلات الكهربائية بحيث يكون أقصى فاقد فى فرق الجهد ٢٪ من جهد الخط عند الحمل الكامل للتيار.

التيار الكهربى العمومى هو تيار متردد (Alternating Current (AC) يصلنا فى تردد ٥٠ سيكل و ٢٢٠ فولت وهذا التيار هو الغالب فى أوروبا ومعظم بلاد العالم عدا الولايات المتحدة الأمريكية فهو ذو تردد ٦٠ سيكل و ١١٠ فولت. والتيار المتردد لا يكون فيه إتجاه التيار نفس إتجاه الفولت ولذن توجد زاوية (ϕ) بينما جيب تمامها $\cos \phi$ هو ما يسمى بمعامل القدرة Power Factor ومعامل القدرة غالباً يكون أقل من الواحد ويساوى تقريباً ٠,٨ - ٠,٩ وهذا يفسر إعطاء قدرة المعدات التى تعمل بالتيار المتردد بالكيلو فولت أمبير وليس بالكيلووات (Kilovolt - amps (KVA حيث ان القدرة الفعلية بالكيلووات تساوى الكيلو فولت أمبير مضروباً فى معامل القدرة.

$$KW = P.F. \times KVA$$

والعامل الآخر الذى يجب أن ننتبه إليه هو عند نقل الكهرباء مسافة طويلة فإنه لدواعى اقتصادية للتوفير فى مساحة مقطع الكابلات الكهربائية فإن التيار الكهربى ينقل عبر خطوط جهد عالية حيث أنه لنقل قدرة كهربية معينة فإنه بزيادة فرق الجهد يقل التيار الكهربى المار وبالتالي تقل مقطع الكابل أو قطره وهذا يمكن تشبيهه بنقل المياه عبر المواسير حيث أنه يمكن نقل نفس كمية المياه بضغط مرتفع فى مواسير أقل قطراً حيث ان القدرة المائبة عبارة عن حاصل ضرب الضغط \times التصريف فيمكن الحصول على نفس القدرة بزيادة الضغط وتقليل التصريف أو بمعنى آخر التقليل فى مساحة مقطع الماسورة وبالتالي يمكن التوفير فى تكلفة المواسير. وعلى هذا الأساس فإن التيار الكهربى المغذى يمر بعدد من مراحل التخفيض حيث أن الخطوط الرئيسية تعطى فرق جهد ٦٦ كيلو فولت ثم يتم تخفيضها إلى ١١ كيلو فولت باستخدام محول ١١/٦٦ ثم تخفض مرة اخرى إلى ٣٨٠ فولت بمحول ٣٨٠/١١٠٠٠ وهذه القيمة النهائية هى التى يمكن أن تدخل على المحرك وتمثل التيار المغذى.

مصدر التيار المتردد بذبذبة ٥٠ سيكل وفرق جهد ٣٨٠ فولت ثلاثي الأطوار (٣ فاز) 3-phase عادة ما يكون متوافر في المزرعة. والكابل يحتوى على ٤ أطراف للتيار ثلاثي الأطوار عادة يستخدم لتشغيل الموتورات الكهربائية ثلاثية الأطوار. على الرغم من أنه يمكن الحصول على تيار أحادي الطور Single Phase بفرق جهد ٢٢٠ وذلك من المصدر ثلاثي الأطوار وذلك لاستخدامه في الإضاءة أو تشغيل الموتورات الأحادية الأطوار.

والموتورات ذات القدرة الأعلى من ٣ حصان غالباً ما تكون ثلاثية الأطوار 3-phase squirrel cage induction motors وهي تمتاز برخص التكلفة سواء الشرائية أو تكاليف التشغيل ونعومة الحركة وإطالة عمر التشغيل. وتستخدم الموتورات ذات الطور الواحد single phase induction motors في تشغيل المضخات تحت ضغط وتصرف منخفض.

وتحتوى لوحة الكهرباء للموتورات ٣ فاز على عداد الكهرباء ومؤشر لكل من التيار والفولت وكذلك لمبات بيان indicator lamps ومفتاح رئيسى main switch وبادئ التشغيل Starter.

فعداد الكهرباء ومؤشر التيار والفولت تعتبر مؤشرات مفيدة ولكن ليست ضرورية فعداد الكهرباء يعطى كمية الكهرباء المستهلكة بالكيلووات. ساعة والفولتيمتر voltmeter والأميتر ammeter هما مؤشر لقيمة التيار وفرق الجهد لتيار التغذية بأطواره الثلاثة (3-phase) أما لمبات البيان فتعطى مؤشر إذا كانت الغازات الثلاثة يمر بها التيار الكهربى أم لا.

المفتاح الرئيسى وهو يقوم بتوصيل التيار الكهربى من خط التغذية إلى الموتور فى حالة الموتور إحادى الطور فإنه يحتوى على منصهرات لطرفين واحد للغاز والثانى المتعادل وفى حالة الموتورات ثلاثية الأطوار يحتوى على ثلاثة منصهرات لثلاثة فازات.

وحيث أن الموتورات ذات التيار المتردد تسحب تيار كهربى فى بداية التشغيل ٤ أمثال التيار عند التشغيل العادى إذا تم تشغيلها فى البداية على فرق الجهد الكامل Full Line Voltage ولهذا فمن الضرورى للموتورات الثلاثية الأطوار أن تزود ببداى Starter على الخط وذلك لتخفيض التيار الكهربى فى بداية الحركة وهو يكون على شكل مفتاح ستار - دلتا Star- delta starter وذلك للموتورات أكبر من ٥ حصان.

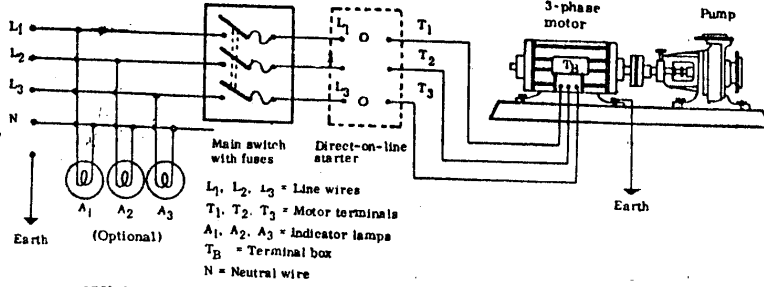
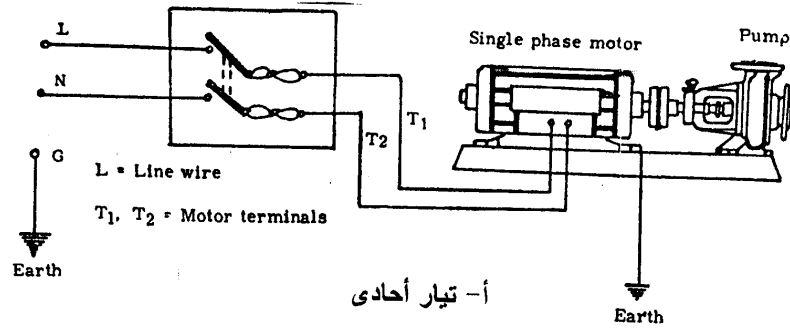
أما الأقل من ٥ حصان فيستعمل مفتاح مباشر ذو زر يعمل باللمس Push button starters / Direct - on - line starter كما فى الشكل ويحتوى على أوفرلود Overload وذلك لإمكان إيقاف الموتور فى حالة زيادة الحمل. وهذا المفتاح يحتوى على زرین push buttons أحدهما للتشغيل عادة لونه أخضر والآخر للإيقاف ولونه أحمر.

أما مفتاح ستار دلتا فإنه يعمل بالهواء air-break وذلك للموتورات قدرة ١٥-٥ حصان أما الموتورات الأعلى من ذلك فإنه يعمل بالزيت - immersion Oil وهذا المفتاح يعمل بمبادئ تخفيض فرق الجهد. فعند بدء التشغيل يقوم بتوصيل الموتور بستار وبالتالي يخفض فرق الجهد إلى $\frac{1}{\sqrt{3}}$ phase voltage

بالتالى تخفيض التيار phase current بنفس النسبة. ولهذا فإن الموتور يحتوى على ٦ أطراف كما هو موضح بالشكل (٢- ١٩) لإمكان التوصيل بستار عند بدء التشغيل. ولهذا عند بدء الضغط على مفتاح التشغيل فإن الموتور يدار على توصيل ستار ثم بعد ذلك يدار على توصيل دلتا على كامل فرق الجهد. ويزود مفتاح بدء التشغيل Starter بمفتاح اوفرلود overload releases وذلك لحماية الموتور من الزيادة فى التيار حيث يوقف الموتور عند الزيادة ١٠٪ فوق أقصى تيار للموتور Maximum motor current وهذا المفتاح من النوع المغناطيسى magnetic type أو النوع الحرارى thermal type.

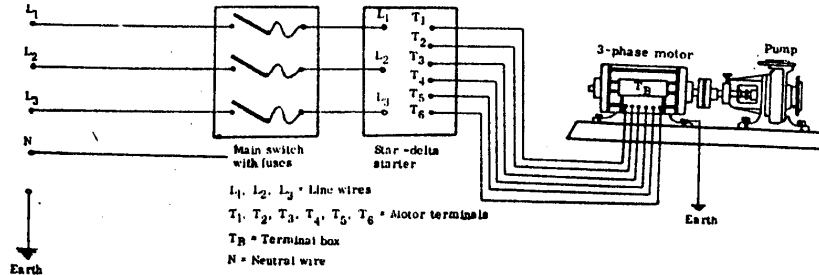
ينقسم نوع العزل داخل الموتور الكهربى Motor Insulation حسب اقصى درجة حرارة للتشغيل إلى أربعة أقسام هى:

- Class A - ٩٠ درجة مئوية
- Class B - ١٣٠ درجة مئوية
- Class F - ١٥٥ درجة مئوية
- Class H - ١٨٠ درجة مئوية



Wiring diagram for 3-phase motor with direct-on-line starter

ب- تيار ثلاثي أطوار



Wiring diagram for a 3-phase motor with star-delta starter.

ج- تيار ثلاثي ستر - دلتا

شكل (١٩-٢) التوصيلات الكهربائية للموتور الكهربى

٢-٣-٦- التشغيل الذاتي للمضخة بواسطة بالونة الهواء

Hydro- Pneumatic Tanks

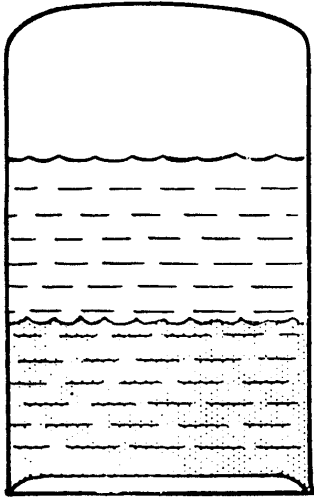
فى بعض التطبيقات العملية يتطلب التغذية بالمياه تحت ضغط أوتوماتيكياً مما يستلزم استخدام خزان هواء مضغوط (بالونة هواء) على خط طرد المضخة وذلك لكى يتحكم فى تشغيلها ذاتياً عند انخفاض الضغط فعند رفع المياه إلى الشقق فى العمارات السكنية يتطلب ذلك وجود المياه باستمرار داخل شبكة المواسير تحت ضغط فعند فتح الصنبور (الحنفية) داخل الشقة فإن ضغط المياه ينخفض مما يتسبب فى تشغيل المضخة أوتوماتيكياً لعدم تكرار هذه العملية عند كل فتح للصنبور فإن وضع بالونة الهواء على خط الطرد للمضخة يستوعب كمية من المياه تكون بمثابة مياه مخزنة وذلك لتقليل عدد مرات تشغيل المضخة فى الساعة وذلك حتى لا يحدث سخونة للمحرك الكهربى فالحدد الأقصى لعدد مرات التشغيل فى الساعة هو حوالى ١٠ مرات. ولحساب حجم البالونة المطلوبة لتركيبها على المضخة يرجع للشكل رقم (٢-٢٠). حيث V_1 هى حجم المياه فى غرفة الهواء (البالونة) كنسبة مئوية من حجم البالونة الكلى وذلك عند الضغط المرتفع للمياه P_1 ضغط مطلق وهو ضغط إيقاف المحرك Cut-out Pressure عن طريق مفتاح الضغط Pressure switch أما V_2 فهى حجم المياه فى غرفة الهواء كنسبة مئوية من حجم البالونة الكلى عند الضغط المنخفض P_2 ضغط مطلق وهو ضغط بدء تشغيل المحرك Cut-In Pressure عن طريق مفتاح الضغط ولحساب حجم المياه الممكن سحبه من البالونة عند انخفاض الضغط المطلق من P_1 إلى P_2 يمكن إتباع الآتى باستخدام قانون بويل للغازات وذلك لتغير حجم الهواء فى الفراغ من $(V - V_1)$ عند ضغط مطلق P_1 إلى $(V - V_2)$ عند ضغط مطلق P_2 حيث V الحجم الكلى للبالونة.

$$P_1 (V - V_1) = P_2 (V - V_1)$$

$$\frac{P_1}{P_2} = \frac{V - V_1}{V - V_2}$$

$$\frac{P_1 - P_2}{P_2} = \frac{V - V_2 - V + V_1}{V - V_1}$$

$$\left(\frac{P_1}{P_2} - 1 \right) = \frac{V - V_2 - V + V_1}{V - V_1}$$



— V_1 = النسبة المئوية لحجم الماء الموجود بالبالونة عند ضغط الفصل لمفتاح الضغط.

— V_2 = النسبة المئوية لحجم الماء الموجود بالبالونة عند ضغط تشغيل لمفتاح الضغط.

شكل (٢٠-٢): بالونة الهواء

وحيث أن V_1 ، V_2 هي كنسبة مئوية من الحجم الكلى للبالونة V فإن النسبة المئوية لحجم الماء الممكن سحبه من البالونة $V_1 - V_2$ يساوى

$$V_1 - V_2 = \left(\frac{P_1}{P_2} - 1 \right) (100 - V_1)$$

وعند استخدام هذه المعادلة يجب أن يعبر عن الضغط بالقيمة المطلقة والحجم كنسبة مئوية لحجم البالونة.

مثال:

بالونة حجمها ١٠٠٠ جالون وكان ضغط فصل المحرك الكهربى لها ٤٠ رطل/البوصة^٢ عند إمتلاء البالونة بحجم مياه ٦٠٪ من حجمها الكلى وكان ضغط تشغيل المحرك الكهربى ٢٠ رطل/البوصة المربعة فما هو سعة البالونة التخزينية للماء . Storage Capacity

الحل:

يجب تحويل الضغط القياسى إلى ضغط مطلق قبل التعويض فى المعادلة:

$$\frac{P_1}{P_2} = \frac{40 + 14.7}{20 + 14.7} = \frac{54.7}{34.7} = 1.58$$

$$\begin{aligned} \text{Storage Capacity} &= (1.58 - 1)(100 - 60) = 23.2\% \\ &= 1000 \times 0.232 = 232 \text{ gal} \end{aligned}$$

تحديد سعة خزان الضغط Pressure Tank Size

يتم تحديد سعة خزان الضغط (البالونة) بعشرة أمثال التصريف المطلوب للشبكة في الدقيقة فمثلاً إذا كان التصريف المطلوب للشبكة ١٠٠ جالون في الدقيقة فإن سعة خزان الضغط تكون ١٠٠٠ جالون. وبالمثل إذا كان التصريف المطلوب للشبكة ١,٥ م^٣/س أى ٢٥ لتر/دقيقة فإن سعة خزان الضغط المطلوب ٢٥٠ لتر.

ويوجد طريقة حسابية لتحديد سعة خزان الضغط من المعادلة الآتية:

$$V_t = \frac{5Q(P_2 + 14.7)}{P_2 - P_1}$$

فعند تطبيق هذه المعادلة على المثال السابق وهو عندما يكون تصريف الشبكة ١٠٠ جالون/دقيقة وضغط إيقاف وتشغيل المحرك ٤٠، ٢٠ باوند/بوصة المربعة فإن:

$$V_t = \frac{5 \times 100(40 + 14.7)}{40 - 20}$$

$$V_t = \frac{500 \times 55}{20} = 1375 \text{ gal}$$

بالمقارنة بالطريقة التقريبية وهى عشرة أمثال التصريف أى ١٠٠٠ جالون.

حيث:

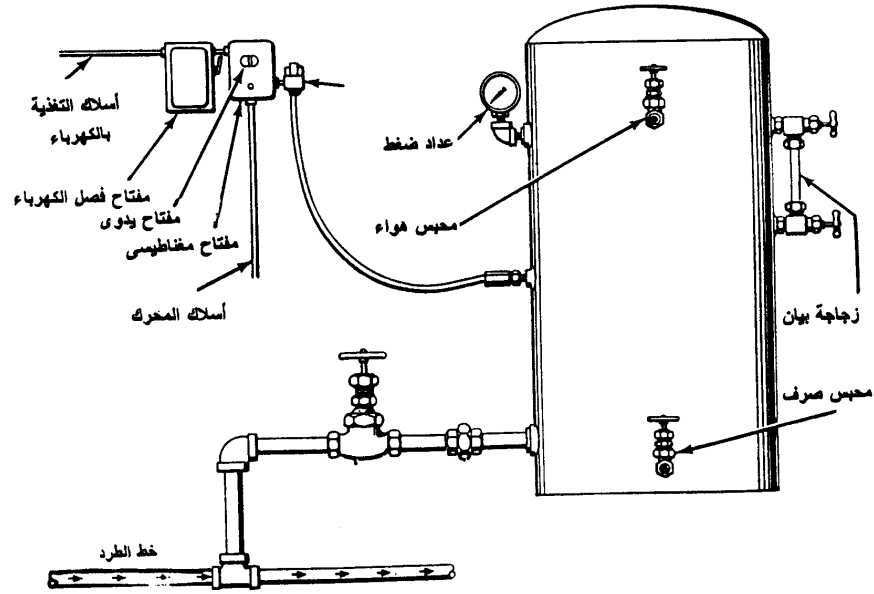
P_1 : أقل ضغط قياسي فى الوعاء Psi

P_2 : أعلى ضغط قياسي فى الوعاء Psi

V_t : حجم الوعاء بالجالون

Q : تصريف المضخة جالون/دقيقة gpm

يوضح شكل رقم (٢-٢١) طريقة توصيل بالونة الهواء بخط الطرد ومفتاح الضغط



شكل (٢-٢١): طريقة توصيل خزان ضغط الهواء بخط الطرد ومفتاح الضغط

٢-٤- المضخات الرأسية متعددة المراحل

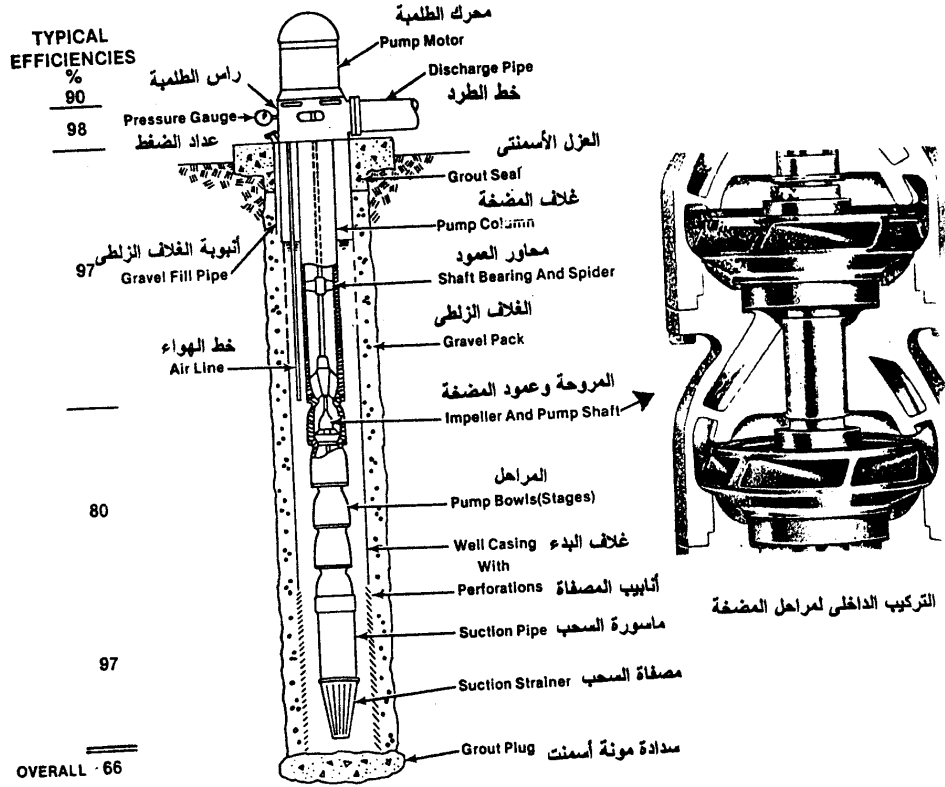
والمضخات الطاردة المركزية إما أن تكون مفردة المرحلة *Single Stage* أو متعددة المراحل *Multi-Stage pump*. في الأخيرة تتصل دفتان متطابقتان أو أكثر على التوالي وغالبا على عمود إدارة رأسى. ويكون التصرف الكلى هو نفس تصرف المرحلة الواحدة ولكن الضاغط الكلى يساوى حاصل ضرب الضاغط للمرحلة الواحدة في عدد المراحل.

٢-٤-١- المضخات التوربينية للآبار العميقة *Turbine Pump*

ومثال المضخة متعددة المراحل هو مضخة الآبار العميقة كما فى الشكلين رقم (٢-٢٢)، (٢-٢٣)، وحيث أنها يلزم تركيبها فى غلاف البئر المحدد القطر، فإن القطر الكلى لمجموعة المضخة يجب أن يكون صغير نسبيا. وبذلك تكون الدفاعات صغيرة القطر، ويكون الضاغط الناشئ فى المروحة الواحدة صغيرا بسبب القطر الصغير للدفاعة، وبالتالي يلزم لمضخة الآبار العميقة أن يكون لها عدد من المراحل لكى تقوم برفع الماء إلى الإرتفاع المطلوب.

ويطلق على المضخات الطاردة المركزية الرأسية (محور الدوران رأسى) متعددة المراحل بالمضخات التوربينية *Turbine Pumps* حيث أن الأغلفة والطاسات لمضخة الآبار العميقة غالبا ما تكون توربينية (مركزية) وليست حلزونية، ويجب أن يوجه الماء عند خروجه من إحدى الدفاعات إلى الدفاعة التالية، فمن العادة استخدام ريش توجيه ثابتة فى الممرات الفاصلة. ويشكل الغلاف الثابت أحد حدود الجدار لممر العضو الدوار، والدفاعة غالبا ما تكون

ذات سريان مختلط وهي إما أن تكون مفتوحة أو مغلقة وتستخدم الدفاعات المفتوحة عندما تكون المادة المراد ضخها لها قابلية لسد ممرات الدفاعة المغلقة.



شكل (٢-٢٢): قطاع في مضخة توربينية ذات محرك كهربى رأسى أجوف
Hollow - shaft

وفى المضخات التوربينية للأبار العميقة تكون الدفاعة معلقة رأسياً على عمود الإدارة وتكون أنبوبة الطرد طويلة. وتؤوى طاسة المضخة الدفاعة وريش التوجيه. ويطلق على المضخة بأنها متعددة المراحل حينما يكون لها عدة طاسات متصلة على التوالي للحصول على الضاغط الكلى المطلوب، وتوضع جميع هذه الطاسات تحت سطح الماء فى البئر. وتعتمد كفاءة هذه المضخة على مدى صغر الخلوص بين المروحة وغلاف المضخة حيث يعتمد الفاقد فى التسرب على مدى الخلوص الموجود. وقد يزود رأس المضخة بسقاطه مسننة أو جهاز تشييق التروس لمنع المضخة من الدوران فى الإتجاه المعاكس نتيجة التصرف العكسى عند إيقاف مصدر القدرة والذى يتسبب فى فك وتسبب بعض الملحقات ومن هذا يتضح أهمية وضع صمام عدم الرجوع *check valve* بعد المضخة مباشرة.

وتدار المضخة بواسطة محرك كهربائى أو محرك ديزل على سطح الأرض ويتصل بعمود إدارة رأسى طويل مثبت فى مكانه بواسطة سنادات أو محاور إرتكاز منشأه فى أنبوبة الطرد أو التصرف.

ويتميز هذا النوع من المضخات بعدم حاجته لتفريغ الهواء منه عند بدء تشغيله (أى لا يحتاج إلى عملية تحضير) وذلك نظراً لأن المضخة تكون مغمورة فضلاً عن مناسبتها للإستعمال عند وجود تذبذب كبير نوعاً فى مستوى سطح الماء. أما عيبها فهو تعذر الوصول لبعض أجزائها وبالتالي صعوبة فحصها أو معينتها.

ويرجع إنخفاض الكفاءة لهذا النوع من المضخات ذات العمود الرأسى إلى السماح باستمرار تشغيلها بدون إجراء إصلاحات بها وتآكل كراسى التحميل أوسطوح الارتكاز بل أحيانا إلى حين توقفها عن العمل.

٢-٤-١-١ - اختيار عمود المضخة التوربينية Shaft Selection

تنشأ قوى الدفع على العمود الرأسى للمضخة التوربينية نتيجة نوعين من قوى الدفع الأول يسمى بالدفع الاستاتيكي Static Thrust والثانى الدفع الهيدروليكي Hydraulic Thrust. والدفع الاستاتيكي ينشأ من وزن جميع الأجزاء الدورانية وهو ثابت مع الزمن سواء المضخة فى وضع تشغيل أو إيقاف. أما الدفع الهيدروليكي فهو ينشأ من القوى الهيدروليكية المحورية من دوران المراوح impellers أى فى حالة تشغيل المضخة فقط. ويتم اختيار قطر عمود المضخة Line shaft على أساس القدرة القصوى للمضخة Maximum Horse Power مع الأخذ فى الاعتبار تأثير قوى الدفع على عمود المضخة Pump Thrust وذلك عند سرعة دوران معينة (لفة/ دقيقة). وتقوم الشركات المصنعة للمضخات بعمل جداول جدول رقم (٢-١) لاختيار قطر عمود المضخة على أساس أن العمود الصلب Steel Shaft يتحمل أقل إجهاد للخضوع minimum Yield Strength ٤٠٠٠ رطل/البوصة المربعة (٢٧٠٠ كجم/سم^٢) وجهد شد Tensile Strength ٦٧٠٠٠ رطل/البوصة المربعة (٤٥٠٠ كجم/سم^٢) وتحسب قوى الدفع الفعلية actual thrust لمضخة الآبار التوربينية من المعادلة التالية:

$$Thrust = K_H TDH + K_L LS + K_N NS$$

حيث:

$$K_H = K_h \frac{\pi}{4} (0.23 D_b)^2 \quad kg_f / m \quad (lb_f / ft)$$

$$K_h = 5.3 \times 10^{-3} \text{ Metric units}$$

$$= 2.3 \text{ English Units}$$

D_b = القطر الاسمي لغلاف المضخة بالمم (بوصة)
nominal diameter of pump column

$$K_L = K_l d_s^2 \quad kg_f / m \quad (lb_f / ft)$$

$$K_l = 2.0 \times 10^{-3} \text{ Metric units}$$

$$= 2.85 \text{ English units}$$

d_s = قطر عمود المضخة مم (بوصة) pump shaft

$$K_N = K_n D_b^3 \quad kg_f (lb_f)$$

$$K_n = 2.76 \times 10^{-7} \text{ Metric units}$$

$$= 0.01 \text{ English units}$$

حيث:

$Thrust$: قوى الدفع على عمود المضخة التوربينية للأبار العميقة كجم (رطل).

TDH : الضاغط الديناميكي الكلي الذي تعطيه المضخة متر (قدم)

LS : طول عمود المضخة متر (قدم)

NS : عدد مراحل المضخة number of pump stages or impellers

ويعتمد كل من عامل الضاغط K_H وعامل المراحل K_N على تصميم المروحة بالإضافة إلى قطر المضخة.

مثال:

احسب قوى الدفع الفعلية لمضخة توربينية لأبار عميقة تدور على سرعة ١٧٥٠ لفة/دقيقة وقطر عمود المضخة $1\frac{3}{4}$ بوصة إذا كان قطر المضخة ١٢ بوصة وعدد المراحل ٥ وطول عمود المضخة ٧٠ قدم والضغوط الديناميكية الكلي ٢٥٨ قدم.

الحل:

$$K_H = 2.3 \frac{\pi}{4} (0.23 \times 12)^2 = 13.76 \quad lb_f / ft$$

$$K_L = 2.85 \left(1\frac{3}{16}\right)^2 = 4.0 \quad lb_f / ft$$

$$K_N = 0.01(12)^3 = 17.28 \quad lb_f$$

$$\begin{aligned} Thrust &= K_H TDH + K_L LS + K_N NS \\ &= 13.76 \times 258 + 4.0 \times 70 + 17.28 \times 5 = 3901.4 \quad lb_f \end{aligned}$$

وبالنظر في جدول رقم (١-٢) أمام قطر العمود $1\frac{3}{16}$ بوصة نجد أن أقصى قدرة يمكن أن ينقلها عند سرعة ١٧٥٠ لفة/دقيقة هي ٨٢ حصان وأن أقصى قوى دفع مسموح بها Thrust هي ٥٤٠٠ رطل بالمقارنة بقوى الدفع المحسوبة الفعلية وهي ٣٩٠١,٤ باوند.

٢-١-٤-٢ - اختيار قطر غلاف المضخة Column Selection

يعتمد الفاقد في الضغط نتيجة الاحتكاك في غلاف المضخة على قطر غلاف المضخة وقطر عمود المضخة والتصرف المار بالمضخة بالإضافة إلى طول غلاف المضخة كما في الجدول رقم (٣-٢). ويتم تصميم قطر المضخة Pump Column على أساس تقريبي بحيث لا يتعدى الفاقد في الاحتكاك في غلاف

المضخة عن ٥ متر/١٠٠ متر (٥ قدم/١٠٠ قدم). ويجب أن يقل قطر غلاف المضخة Pump bowl عن قطر أنابيب تغليف البئر Casing أى يترك خلوص مقداره ١ بوصة حول غلاف المضخة. ويحسب قطر أنابيب تغليف البئر بحيث أن السرعة الرأسية للمياه فى البئر لا تزيد عن ٣ قدم/ثانية. والجدول رقم (٢-٢) يوضح العلاقة بين قطر أنابيب تغليف البئر وقطر المضخة وكمية إنتاج البئر (التصرف).

جدول (١-٢) أقصى قدرة بالحصان يمكن أن ينقلها عمود المضخة التوربينية وكذلك أقصى قوة دفع يتحملها العمود وذلك عند سرعة دوران مختلفة.

| قطر عمود المضخة بالبوصة Shaft | أقصى قوة دفع يتحملها | | سرعة دوران العمود لفة/دقيقة | | | |
|-------------------------------|----------------------|-------------|--|------|------|------|
| | باوند | كيلوجرام | أقصى قدرة يمكن أن ينقلها عمود المضخة بالحصان | | | |
| المضخة بالبوصة | Thrust | عمود المضخة | ١٤٥٠ | ١٧٥٠ | ٢٩٠٠ | ٣٤٥٠ |
| ٣/٤ | ٢٠٠٠ | ٩٠٦ | ١٦ | ١٩ | ٣٢ | ٣٨ |
| ١ | ٣٧٠٠ | ١٦٧٦ | ٤٠ | ٤٨ | ٨٠ | ٩٦ |
| ١ ٣/٤ | ٥٤٠٠ | ٢٤٤٦ | ٦٧ | ٨٢ | ١٣٥ | ١٦٣ |
| ١ ١/٢ | ٧٩٠٠ | ٥٣٠٠ | ١٢١ | ١٤٥ | ٢٤١ | ٢٩٠ |
| ١ ١/٤ | ١١٧٠٠ | ٥٣٠٠ | ٢٢٠ | ٢٦٥ | ٤٤٠ | ٥٣٠ |
| ١ ١/٢ | ١٤٧٠٠ | ٦٦٥٩ | ٣٠٥ | ٣٦٥ | ٦١٠ | ٧٤٠ |
| ٢ ٣/٤ | ١٩٢٠٠ | ٨٩٦٨ | ٤٥٥ | ٥٤٥ | ٩٠٠ | |
| ٢ ١/٢ | ٢٤٤٠٠ | ١١٠٥٣ | ٦٤٥ | ٧٩٠ | ١٢٩٠ | |
| ٢ ١/٤ | ٣٠٠٠٠ | ١٣٥٩٠ | ٨٩٠ | ١٠٦٠ | | |
| ٢ ١/٢ | ٣٦٢٠٠ | ١٦٣٩٩ | ١١٧٠ | ١٤٠٠ | | |

جدول (٢-٢) العلاقة بين قطر أنابيب تغليف البنر وقطر المضخة وكمية الإنتاج

| الحد الأدنى لقطر أنابيب تغليف البنر (بوصة) | القطر المناسب لأنابيب التغليف (بوصة) | القطر الاسمي لمراوح المضخة (بوصة) | الإنتاج المتوقع م ^٣ /س |
|---|---|--------------------------------------|--------------------------------------|
| ٥ (قطر داخلي) | ٦ (قطر داخلي) | ٤ | أقل من ٢٣ |
| ٦ (قطر داخلي) | ٨ (قطر داخلي) | ٥ | ١٧ - ٤٠ |
| ٨ (قطر داخلي) | ١٠ (قطر داخلي) | ٦ | ٣٤ - ٩١ |
| ١٠ (قطر داخلي) | ١٢ (قطر داخلي) | ٨ | ٨٠ - ١٤٨ |
| ١٢ (قطر خارجي) | ١٤ (قطر خارجي) | ١٠ | ١٣٦ - ٢٠٥ |
| ١٤ (قطر خارجي) | ١٦ (قطر خارجي) | ١٢ | ١٩٣ - ٢٩٥ |
| ١٦ (قطر خارجي) | ٢٠ (قطر خارجي) | ١٤ | ٢٧٣ - ٤٠٩ |
| ٢٠ (قطر خارجي) | ٢٤ (قطر خارجي) | ١٦ | ٣٦٤ - ٦٨٢ |

| التصرف جالون/ دقيقة | | | | | | | | | | | قسط المعد | المنفعة أو أجرة المنفعة | قسط المعد |
|---------------------------------|------|------|------|------|------|------|------|------|------|------|--------------|-------------------------------|--------------|
| ٥٠٠٠ | ٤٠٠٠ | ٣٠٠٠ | ٢٠٠٠ | ١٥٠٠ | ١٠٠٠ | ٨٠٠ | ٦٠٠ | ٤٠٠ | ٢٠٠ | ١٠٠ | قسط المعد | المنفعة أو أجرة المنفعة | |
| الفاقد في الاحتكاك قدم/ ١٠٠ قدم | | | | | | | | | | | قسط المعد | المنفعة أو أجرة المنفعة | |
| | | | | | | ٧,٠٠ | ٤,٢ | ٢,٠٥ | ٠,٥٩ | ٠,١٧ | ١ 1/4 | ٦ | |
| | | | | | | ٩,٠٠ | ٥,٣٠ | ٢,٥٥ | ٠,٧٣ | ٠,٢١ | ١ 1/4 | | |
| | | | | | | | ٦,٨٠ | ٣,٣٠ | ٠,٩٦ | ٠,٢٨ | ٢ | | |
| | | | | | | | ٩,٦ | ٤,٧٥ | ١,٤٠ | ٠,٤٠ | ٢ 1/4 | | |
| | | | | | | | | ٧,٦٠ | ٢,٢٠ | ٠,٦٥ | ٣ | | |
| | | | ٥,٦٥ | ٣,٣٧ | ١,٦٠ | ١,٠٨ | ٠,٦٤ | | | | ١ 1/4 | ٨ | |
| | | | ٦,٧٠ | ٣,٩٠ | ١,٩ | ١,٣ | ٠,٧٣ | ٠,٣٥ | | | ١ 1/4 | | |
| | | | | ٦,٨٠ | ٣,٢٢ | ٢,١٧ | ١,٢٨ | ٠,٦١ | | | ٢ | | |
| | | | | ٨,٢٠ | ٣,٩٠ | ٢,٦٠ | ١,٥٢ | ٠,٧٤ | | | ٢ 1/4 | | |
| | | | | | ٥,٤٠ | ٣,٦٠ | ٢,١٠ | ١,٠٠ | ٠,٢٩ | | ٣ | | |
| | | | ٥,٦٥ | ٢,٦٩ | ١,٥٩ | ٠,٧٧ | ٠,٥١ | ٠,٣١ | | | ١ 1/4 | ١٠ | |
| | | | ٦,٤ | ٣,٠٢ | ١,٨٠ | ٠,٨٥ | ٠,٥٧ | ٠,٣٣ | | | ٢ | | |
| | | | ٧,٢٥ | ٣,٥٠ | ٢,٠٦ | ٠,٩٩ | ٠,٦٥ | ٠,٣٠ | ٠,١٩ | | ٢ 1/4 | | |
| | | | ٨,٩٥ | ٤,٢٥ | ٢,٤٧ | ١,١٧ | ٠,٧٧ | ٠,٤٥ | ٠,٢٢ | | ٣ | | |
| | | | | ٦,٧٠ | ٣,٩٠ | ١,٩٠ | ١,٣٠ | ٠,٧٤ | ٠,٣٥ | | ٤ | | |
| ٦,٤٠ | ٤,٧٠ | ٢,٥٠ | ١,٢٠ | ٠,٧١ | ٠,٣٤ | | | | | | ٢ | ١٢ | |
| ٧,٣٠ | ٤,٨٠ | ٢,٨٧ | ١,٣٦ | ٠,٨٠ | ٠,٣٨ | ٠,٢٥ | | | | | ٢ 1/4 | | |
| ٨,٥٥ | ٥,٦٥ | ٣,٣٠ | ١,٥٧ | ٠,٩٣ | ٠,٤٤ | ٠,٢٩ | | | | | ٣ | | |
| | ٧,٨٥ | ٤,٥٥ | ٢,١٠ | ١,٣٠ | ٠,٦٠ | ٠,٤٥ | ٠,٢٤ | | | | ٤ | | |
| | | ٦,٤٠ | ٣,٠٠ | ١,٨٠ | ٠,٨٥ | ٠,٥٧ | ٠,٣٤ | | | | ٥ | | |
| ٤,٠٥ | ٢,٧٠ | ١,٥٩ | ٠,٧٧ | ٠,٤٦ | | | | | | | ٢ | ١٤ | |
| ٤,٣٥ | ٢,٩٠ | ١,٦٨ | ٠,٨١ | ٠,٤٨ | ٠,٢٣ | | | | | | ٢ 1/4 | | |
| ٤,٨٠ | ٣,٢٠ | ١,٩٠ | ٠,٩٢ | ٠,٥٥ | ٠,٢٧ | | | | | | ٣ | | |
| ٥,٨٠ | ٣,٨٥ | ٢,٢٠ | ١,١٠ | ٠,٦٦ | ٠,٣٢ | ٠,٢١ | | | | | ٤ | | |
| ٧,٢٠ | ٤,٨٥ | ٢,٨٧ | ١,٣٨ | ٠,٨٢ | ٠,٤٠ | ٠,٢٧ | | | | | ٥ | | |

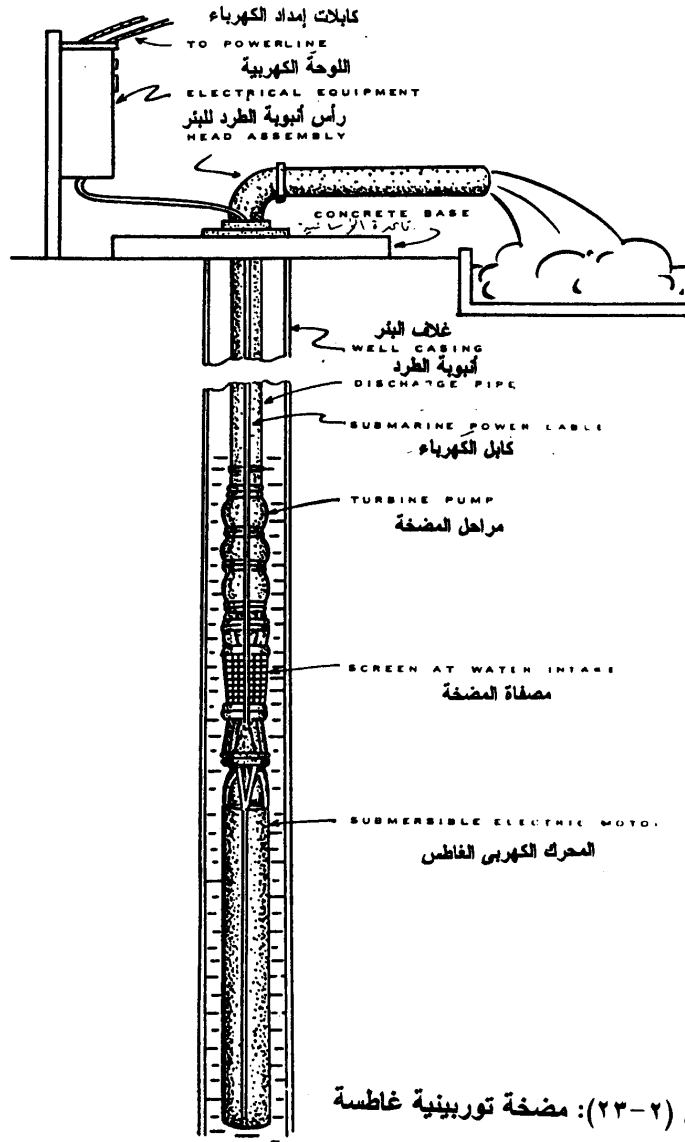
م/س = ٤,٤ جالون / دقيقة
جالون / دقيقة = ٠,٠٦٣ لتر / ث

٢-٤-٢ - المضخات الغاطسة Submersible Pumps

تسمى مضخة الأعماق التوربينية بالمضخة الغاطسة إذا اتصل بها المحرك الكهربائي من أسفل أي يكون المحرك الكهربائي غاطسا تحت سطح الماء كما في الشكل رقم (٢-٢٤). وتزداد كفاءة هذا النوع بسبب اتصاله المباشر وتبريده الفعال الناتج عن الغمر الكامل مما يسمح بخفض مقدار الحديد والنحاس الموجود بقلب المضخة وتوفير عمود الإدارة الطويل.

وقد استعملت المضخات الغاطسة في الآبار التي يصل عمقها أكثر من ألف متر، كما واستعملت وحدات تصل مراحلها إلى أكثر من ٢٥٠ مرحلة. واستعملت محركات غاطسة تصل قدرتها إلى ٢٥٠ حصان وقطر غلافها ٢٠ سم كما يوجد محركات ذات قدرة أكبر ولها غلاف بقطر أكبر، وتتاح المضخات للآبار التي يبلغ قطرها ١٠ سم فأكثر.

والميزة الرئيسية للمضخات الغاطسة هي إمكان استعمالها في الآبار العميقة جدا حيث تصبح الأعمدة الطويلة غير عملية. وقد تستعمل المضخات الغاطسة أيضا عندما يكون من المرغوب فيه وضع تجهيزات المضخة تحت سطح الأرض كأن يكون من غير المريح أو غير المقبول الشكل أو معرض للخطر إذا وضع فوق سطح الأرض.

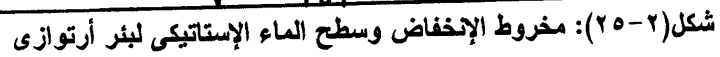


-Submersible pump.

Pumping From Wells الضخ من الآبار

يهدف تصميم البئر إلى الحصول على أقصى إنتاج من البئر بالنسبة للمتر الطولى من عمق الحفر ويتحقق ذلك عندما يساوى مقدار الهبوط فى مستوى الماء داخل البئر drawdown نصف سمك الطبقة الحاملة للمياه أو بمعنى آخر نصف عمق إختراق البئر للطبقة الحاملة للمياه كما فى الشكل . ولكن عند عمل التحليل الاقتصادي لحفر البئر وتركيب المضخة والعمر الافتراضى لكل منهم والتكاليف الثابتة وتكاليف التشغيل فإ نتيجة التحليل تكون نحو تعميق البئر بطر أكبر للمصفاة Screen وبمقدار هبوط أقل Drawdown. فإذا افترضنا أن نسبة إختراق الطبقة الحاملة للمياه هي Y وأن سمك الطبقة الحاملة للمياه هو h فإن طول المصفاة هو yh ومقدار الهبوط DD يساوى $DD = (1-y)h$ وعمق مستوى الماء الإستاتيكي من سطح الأرض يساوى SL .

وأفضل فرض يمكن وضعه عند تصميم البئر هو إفتراض أن البئر من النوع الأرتوازى (المحصور) ذو السريان المستقر Steady-State artesian conditions. وسوف نفترض أيضاً أن يخرق الطبقة الحاملة للمياه إختراقاً تاماً Full Penetration رغم أن ذلك غالباً لا يتحقق ولكن هذه الفروض تقوم بتبسيط الحل.


$$Q = \frac{2\pi K h^2 (y - y^2)}{\ln \frac{r_e}{r_w}}$$

K : نفاذية الطبقة الحاملة للمياه (متر/ث).

وهي تتراوح بين ٤م/يوم (٤,٦٣ × ١٠^{-٥} م/ث) للحجر الرملي
sandstone إلى ٤٠م/يوم للرمل sand.

y : نسبة إختراق الطبقة الحاملة للمياه تحت مستوى الماء الديناميكي.

y/h : طول المصفاة بالمتر screen length

r_e : نصف قطر دائرة التأثير للبئر وهو يتراوح بين ١٠٠ إلى ١٠٠٠ متر.

r_w : نصف قطر البئر بالمتر

فغالباً ما يكون تصرف البئر معلوم والمطلوب هو إيجاد طول المصفاة y/h .

مثال:

بئر تصرفه ٢٠٠ م^٣/س وكان عمق الماء الإستاتيكي ١٥ متر ومعامل
النفاذية للطبقة الحاملة للمياه ٤٠ م/يوم (٤,٧٢ × ١٠^{-٤} م/ث) ونصف قطر
دائرة التأثير للبئر ٣٠٥ متر ونصف قطر البئر ٣٠ سم. ونسبة إختراق الطبقة
الحاملة للمياه تحت مستوى الماء الديناميكي $y = 0.83$ أوجد طول المصفاة التي
تخترق الطبقة الحاملة للمياه.

الحل:

$$Q = \frac{2\pi K h^2 (y - y^2)}{\ln \frac{r_e}{r_w}}$$

$$\frac{200}{60 \times 60} = \frac{2\pi \times 4.72 \times 10^{-4} h^2 (0.83 - 0.83^2)}{\ln \frac{30.5}{0.3}}$$

$$h^2 = \frac{0.0555 \times (6.9243)}{29.656 \times 10^{-4} \times 0.1411} = 918.3945$$

$$h = 30.3 \text{ m}$$

وحيث أن عمق الماء الإستاتيكي $SL = 15 \text{ m}$

فإن عمق البئر $= 30.3 + 15 = 45.3 \text{ متر}$.

وأن طول المصفاة yh يساوى

$$yh = 0.83 \times 30.3 = 25.15 \text{ m}$$

ومقدار الهبوط DD يساوى

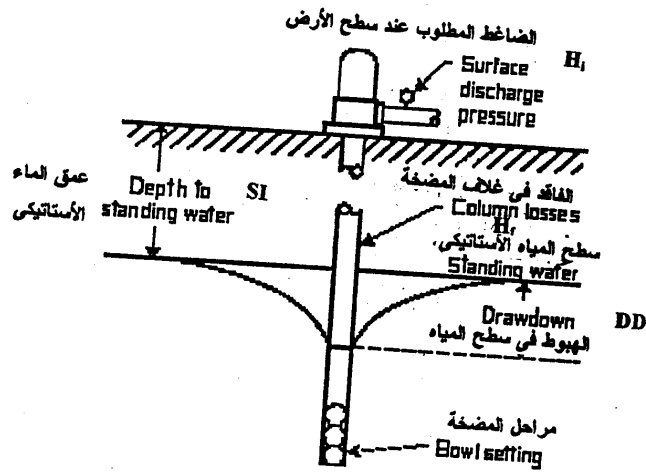
$$DD = (1 - y)h$$

$$= (1 - 0.83) 30.3 = 5.15 \text{ m}$$

وكما يتضح فإنه يمكننا الحصول على علاقة بين قيمة y , DD وأيضاً Q والعلاقة بين تصرف البئر ومقدار الإنخفاض Drawdown مهمة جداً فى تصميم المضخة حيث أن مقدار الضاغط الديناميكي الكلى المطلوب من المضخة يتحدد بمقدار الإنخفاض DD وقدرة المضخة تتحدد بمقدار كل من الإنخفاض DD والتصرف Q . ولهذا فإننا يمكننا بالتعويض عن عدة قيم لنسبة إختراق الطبقة الحاملة للمياه y نحصل على عدة قيم للإنخفاض DD المقابلة لها ومنها نعوض فى المعادلة للحصول على قيمة Q المناظرة لقيم y .

- ٢-٤-١-٣- تحديد الضاغط الديناميكي الكلي لمضخات الآبار Well Pumps
كما هو واضح من الشكل رقم (٢-٢٦) يتحدد الضاغط الديناميكي الكلي
لمضخة الآبار بمجموع الضغوط الآتية:-
- ١- عمق سطح الماء الإستاتيكي بالبنر (SL).
 - ٢- الضاغط المطلوب من المضخة عند سطح الأرض (H_i).
 - ٣- الفاقد داخل غلاف المضخة H_f ويتم تحديده بالإستعانة بجدول رقم (٢-٣).
 - ٤- الهبوط في سطح المياه نتيجة الضخ DD.
- وبذلك يكون الضاغط الديناميكي الكلي لمضخة الآبار TDH كما يلي:

$$TDH = SL + H_i + H_f + DD$$

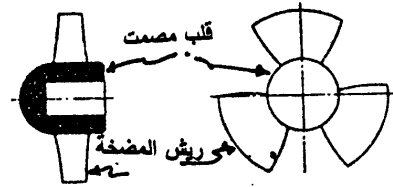
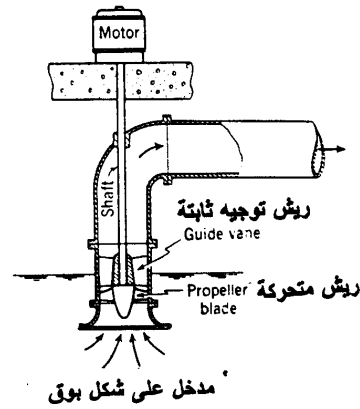


شكل (٢-٢٦): حساب الضاغط الديناميكي الكلي لمضخات الآبار

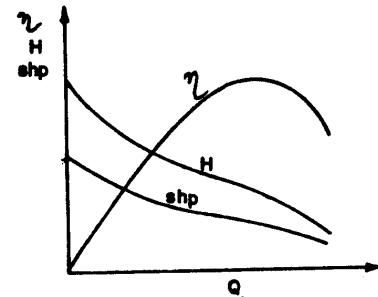
٢-٥- المضخات المحورية (الطلمبات ذات السريان المحورى) Propeller Pumps or axial Flow Pumps

٢-٥-١- الوصف والآداء

ينطبق على المضخات المحورية ما سبق دراسته على المضخات الطاردة المركزية مع مراعاة أنها تعطى تصرفات أكبر وضغوط أقل من ١٢ متر ماء. ونظرا لإختلاف شكلها فإن شكل منحنيات آدائها يختلف عن منحنيات أداء المضخات الطاردة المركزية، والأشكال (٢-٢٧) توضح الأجزاء الرئيسية المكونة للمضخة المحورية ومنحنيات آدائها.



فاعة (مروحة) سريان محورى Axial-flow impeller



منحنيات أداء مضخة ذات سريان محورى
عند سرعة دوران معينة

شكل (٢-٢٧): المضخات المحورية

ويلاحظ من منحنيات الأداء أن معدل النقص في الضاغط مع زيادة التصرف أكبر منه في حالة المضخات الطاردة المركزية وأن قدرة العمود اللازمة لتشغيل المضخة تكون أكبر ما يمكن عند تصرف صفر (أى عندما يكون محبس الطرد مغلق بالكامل)، ولذلك يراعى فتح المحبس بالكامل عند بدء تشغيل المضخة بعكس مضخات الطرد المركزى. ونلاحظ أيضاً أن القدرة تقل بزيادة التصرف بعكس مضخات الطرد المركزى. وتأثير زيادة السرعة في هذا النوع من المضخات يؤدي إلى رفع منحنى الضاغط المانومتري والقدرة كما في حالة المضخات الطاردة المركزية.

الريش المتحركة تكون مشابهة للمروحة المستخدمة في السفن (الرفاصات). أما ريش التوجيه الثابتة فإنها تستخدم لتوجيه المياه في إتجاه المحور عند دخولها إلى المروحة ولكي تعطى بقدر الإمكان السرعة عند المخرج الإتجاه المحورى.

والمضخات المحورية لا تحتاج لتحضير حيث أنها تعمل دائماً تحت سطح السائل (غاطسة)، وتستخدم هذه المضخات في محطات صرف المجارى - والصرف الزراعى - وقد تستخدم لرفع المياه عند رافع استاتيكي منخفض حيث تعطى تصرف كبير.

٢-٥-٢ - تحديد العمق المغمور للمضخات الرأسية Submergence

يجب أن تغمر مراحل المضخات الرأسية تحت سطح المياه وذلك لأن الدوران الجاف للمراوح يسبب تلفها من جراء إرتفاع درجة حرارتها والشكل رقم

(٢-٢٨) يوضح أبعاد تركيب المضخة الرأسية فى بيارة السحب والجزء المغمور K_s من المعادلة الآتية:

$$K_s = \frac{0.64Q}{D^2}$$

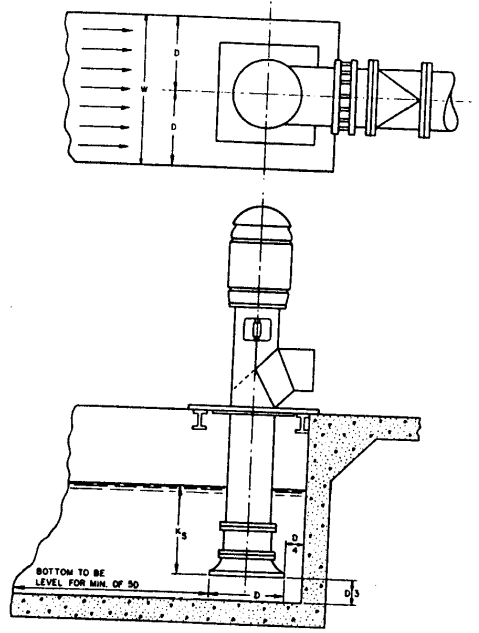
حيث:

K_s : العمق المغمور بالمتر.

Q : تصرف المضخة م^٣/ث

D : قطر الأنبوبة متر

وهذا الجزء المغمور مهم من ناحية منع حدوث دوامات Vortex Suppression فحدوث الدوامات يتسبب فى دخول الهواء مع الماء وحدوث التكيف وبالتالي تخفيض التصرف والضغط الذى تعطيه المضخة بالإضافة إلى تلف المراوح وحدوث ضوضاء واهتزازات بالمضخة. كما يجب أن تصمم البيارة أيضاً بحيث تتراوح سرعة دخول المياه إليها من ٠,٣ إلى ٠,٦ متر/ثانية وأن يتم تسوية أفقية قاع البيارة بما لا يقل عن ٥ أضعاف قطر فانوس ماسورة السحب. ويجب التأكد من أن العمق المغمور K_s والمحسوب من المعادلة السابقة يضمن تغطية مراحل المضخة أو مروحة المضخة فى حالة المرحلة الواحدة كما يجب أن يزيد عن صافى ضاغط السحب الموجب NPSH كما هو وارد فى كتالوج الشركة المصنعة لضمان عدم حدوث التكيف.



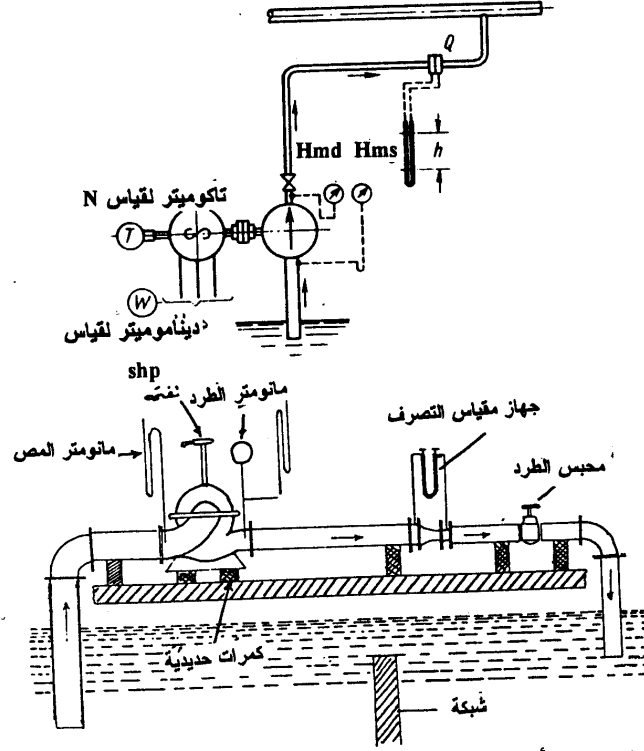
شكل (٢-٢٨): تحديد الجزء المعمور K للمضخات الرأسية

٢-٦- منحنيات أداء المضخات

بإجراء اختبارات فعلية على مضخة ما Pump Testing يمكن الحصول على مجموعة منحنيات تعبر عن تغير كل من القدره shp والضاغظ H والكفاءه η مع التصرف وذلك عند سرعة دوران N معينه وتسمى هذه المنحنيات بمنحنيات خواص المضخه Characteristic Curve أو منحنيات الأداء للمضخه Performance Curves. حيث أن المضخات الطارده المركزيه يمكن تغيير

تصرفها الذي تعطيه من صفر إلى حد أقصى معين حسب فتحة محبس الطرد throttling أى حسب المقاومة الموجودة فى خط الأنابيب. لذلك فإن الشركات المنتجة للمضخات تقوم بعمل إختبار للمضخة ووضع نتائج الإختبار فى صورة منحنيات أداء أو فى صورة جداول وتعطى فى كتالوج المضخة.

ويتم الإختبار عند سرعة دوران معينه N تقاس بواسطة جهاز التاكوميتر Tachometer ويتم إجراء القياسات الآتية كما هو مبين فى الشكل رقم (٢-٢٩):



شكل (٢-٢٩): أجهزة اختبار المضخة لإيجاد منحنيات الأداء عند سرعة دوران معينة

١- قياس التصريف Q بواسطة الطريقه الحجمية أو فرق الضغط (h) قبل وبعد فتحة القياس.

٢- قياس الضاغط H_m وذلك بتسجيل قراءة عدادات الضغط قبل وبعد المضخة. حيث:

$$H_m = H_{md} - H_{ms}$$

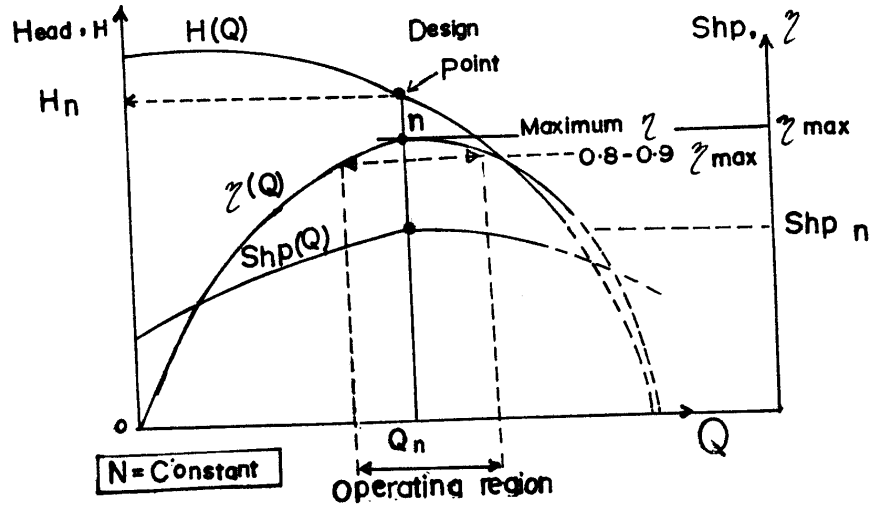
٣- قياس قدرة العمود shp وذلك إما بواسطة جهاز القدره الديناموميتر Dynamometer أو باستخدام محرك كهربى تم معايرته وقياس القدرة الكهربائية المستهلكه بالكيلووات وعن طريق معرفة كفاءة المحرك يمكن إيجاد قدرة العمود. ثم نكرر التجربة بتغيير التصريف بواسطة محبس الطرد Throttling مع حساب كفاءة المضخة عند كل تجربه من المعادله الآتية:

$$\eta = \frac{Q H_m}{Shp}$$

وتدون القراءات فى جدول كالاتى:

| N = constant | | | | | | |
|--------------|---|---|---|---|---|---|
| Q | ✓ | ✓ | ✓ | ✓ | ✓ | ✓ |
| H_m | ✓ | ✓ | ✓ | ✓ | ✓ | ✓ |
| shp | ✓ | ✓ | ✓ | ✓ | ✓ | ✓ |
| η | ✓ | ✓ | ✓ | ✓ | ✓ | ✓ |

وعادة ترسم هذه المنحنيات بين التصريف (على المحور الأفقى) والضاغط المانومتري الذى تعطيه المضخة, كفاءة المضخة, قدرة العمود المطلوبة لإدارة العمود (على المحور الرأسى) عند سرعة دوران ثابتة كما فى الشكل رقم (٢-٣٠).



شكل (٢-٣٠): منحنيات أداء مضخة طاردة مركزية

من المنحنى شكل (٢-٣٠) نلاحظ أن الضاغط المانومتري الذي تعطيه المضخة يقل بزيادة التصريف. وأن الكفاءة تكون أكبر ما يمكن عند نقطة تصميم المضخة Design Point وتقل إذا ابتعدنا عن هذه النقطة لذلك يجب دائماً استخدام المضخة بحيث تكون نقطة تشغيلها في المدى من ٨٠٪ إلى ٩٠٪ من قيمة أقصى كفاءة أي يكون التصريف المار أقرب ما يمكن إلى Q_{normal} (Q_n) الموضحة بالرسم. ونلاحظ أيضاً أن القدره تكون أقل ما يمكن عند ($Q = \text{zero}$) التصريف صفر أي عندما يكون محبس الطرد مغلق بالكامل؛ وتزداد بزيادة التصريف إلى حد أقصى معين ثم تبدأ في الإنخفاض. وتكون نقطة أقصى استهلاك للقدره قريبه عادة من نقطة أقصى كفاءة. ولهذا السبب فإنه في بداية تشغيل المضخة الطارده المركزيه يقلل محبس الطرد تماماً وتدار المضخة فتكون القدره المطلوبه في

البدايه أقل ما يمكن ثم يفتح صمام الطرد تدريجيا للحصول على التصرف المطلوب ويحدث ذلك إذا كان ضغط الطرد الإستاتيكي كبيرا . ومن المنحنى أيضا نرى أنه إذا حدث أي زياده في الحمل على موتور التشغيل over load وذلك يظهر من سخونه غير الطبيعيه فى الموتور فإنه يمكن تقليل الحمل بإغلاق محبس الطرد جزئيا مما يقلل التصرف وبالتالي يقلل الحمل على الموتور.

ويسمى الضاغط الذى يناظر تصرف مقداره صفر بضغوط الإيقاف shut-off head, كما نلاحظ من المنحنى أيضا أنه بزيادة التصرف يقل الضغط لسرعة دوران معينه, فإن الكفاءة تكون أكبر ما يمكن لقيمه محددة للتصرف أو للضاغط هى القيمه العاديه عند النقطة n.

$$@ \eta_{max} . (Q_n, H_n, shp_n)$$

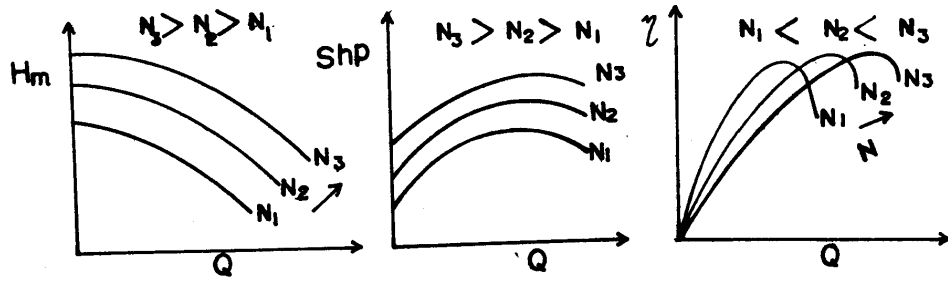
فبتغيير سرعة دوران المضخة عند ثبوت قطر المروحة يتغير أداء المضخة تبعا لقوانين المضخات النظرية Affinity laws كالاتى:

$$\frac{Q_2}{Q_1} = \frac{N_2}{N_1} \quad \frac{H_2}{H_1} = \left(\frac{N_2}{N_1} \right)^2 \quad \frac{Shp_2}{Shp_1} = \left(\frac{N_2}{N_1} \right)^3$$

أما عند تغيير قطر المروحة وثبات سرعة الدوران فإن:

$$\frac{Q_2}{Q_1} = \frac{D_2}{D_1} \quad \frac{H_2}{H_1} = \left(\frac{D_2}{D_1} \right)^2 \quad \frac{Shp_2}{Shp_1} = \left(\frac{D_2}{D_1} \right)^3$$

ويوضح شكل (٣١-٢) تأثير سرعة الدوران على منحنيات أداء المضخة:



شكل (٢-٣١): تأثير التغير في سرعة الدوران على منحنيات أداء المضخة

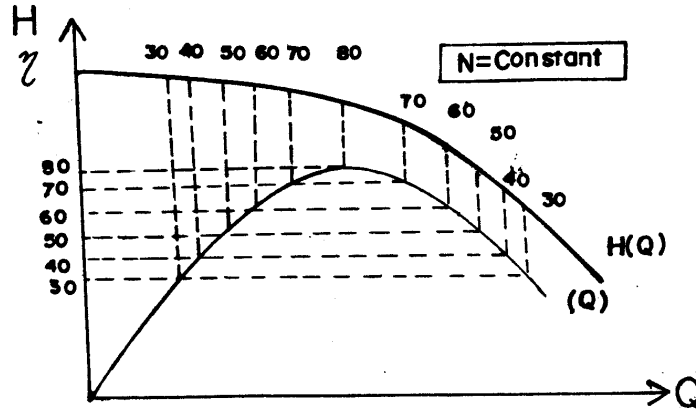
من الأشكال السابقة نجد أن زيادة سرعة الدوران ترفع الضاغط الذي تعطيه المضخة عند أي تصرف كنتيجة لزيادة القوى الطاردة المركزي بزيادة السرعة، وحيث أن القدرة اللازمة لتشغيل المضخة يمكن حسابها من المعادلة $(Shp = \frac{\gamma Q H_m}{\eta})$ نجد أن القدرة المطلوبة لتشغيل المضخة عند تصرف معين تزداد نتيجة زيادة الضاغط. أما تأثير السرعة على كفاءة المضخة فإنه يكون طفيفاً وعلى هذا نجد أنه يمكن الحصول على ضاغط أكبر من المضخة وبالتالي على تصرف أكبر إذا استخدم محرك ذو سرعة أكبر على نفس المضخة بشرط زيادة قدرته أيضاً بحيث تتناسب مع قدره المطلوبه عند السرعة الأكبر. نفس الأشكال السابقة يمكن الحصول عليها إذا قمنا بزيادة قطر المروحة من D_1 إلى D_2 إلى D_3 .

منحنيات أداء المضخة عند سرعات مختلفة:

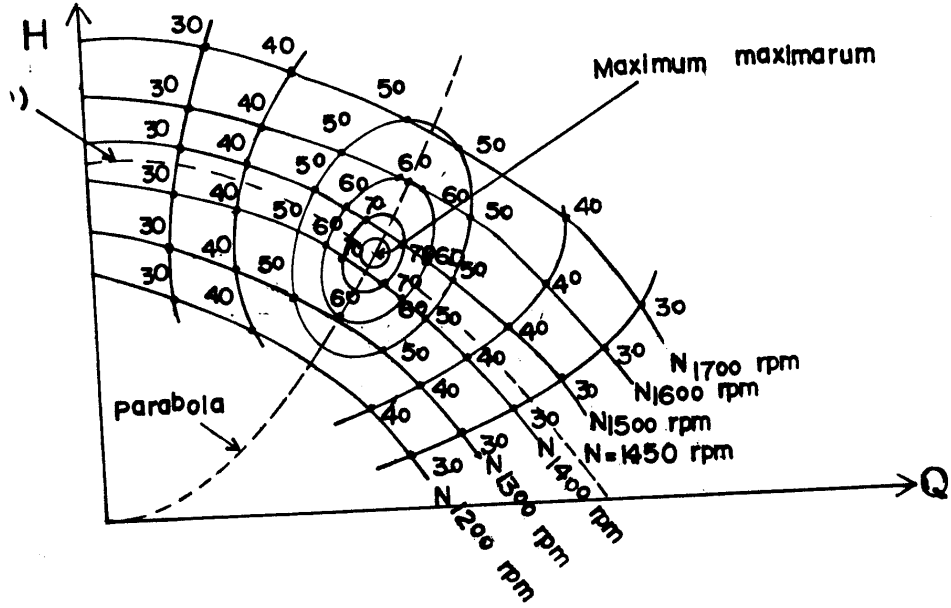
Iso efficiency Diagram or Oak- leaf Diagram

من منحنيات أداء المضخة $H(Q)$, $\eta(Q)$ يمكن أن نحصل على منحنى واحد وهو $H(Q)$ ومرقم عليه قيم الكفاءة المختلفة كما هو مبين في شكل (٢-٣٢):

إذا قمنا بتكرار هذا العمل عند سرعات دوران مختلفة فإننا نحصل على منحنيات مختلفة (شكل ٢-٣٣) وبتوصيل نقاط الكفاءات المختلفة نحصل على منحنيات تساوى الكفاءات وتشبه خطوط الكونتور وتسمى هذه المنحنيات Iso efficiency Diagram or Oak- leaf Diagram.



شكل (٢-٣٢): منحنى أداء المضخة مرقم عليه الكفاءات



شكل (٢-٣٣): منحنيات تساوى الكفاءات

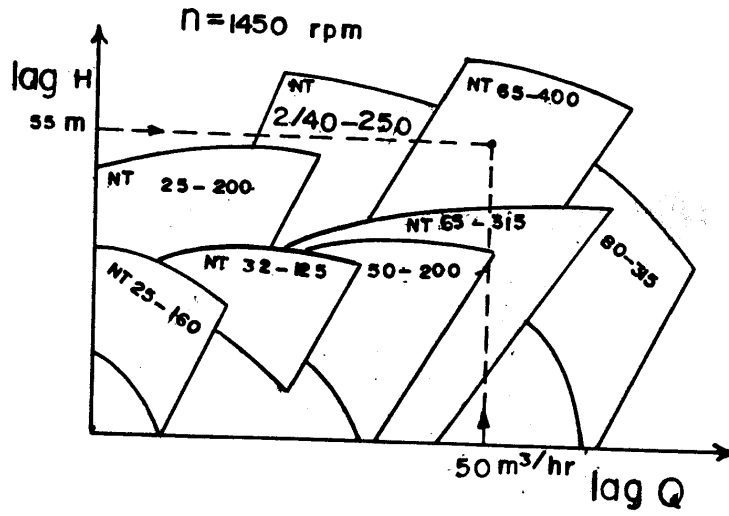
وتقوم الشركات المصنعة بعمل ما يسمى بمنحنيات إختيار المضخة Selection Diagram من بين المضخات التى تصنعها الشركة والموجوده داخل الكتالوج. فمثلا فى الشكل رقم (٢-٣٤). بمعلومية $H = 55m$, $Q = 50 m^3/hr$ نحصل على نوع المضخه NT 65-400 . أى المضخه من طراز NT وقطر فتحة الطرد ٦٥مم وقطر المروحة ٤٠٠مم ويجب الإشارة إلى أن هذه المنحنيات عند سرعة ثابتة وهى ١٤٥٠ لفة/ دقيقة ومن هذه المعلومات يتم الحصول من الكتالوج على منحنيات أداء المضخة التى طرازها NT 65 - 400 وهى كما بالشكل رقم (٢-٣٥). ومن هذه المنحنيات يمكن الحصول على المعلومات الآتية:

$$Q = 50 \text{ m}^3/\text{hr}$$

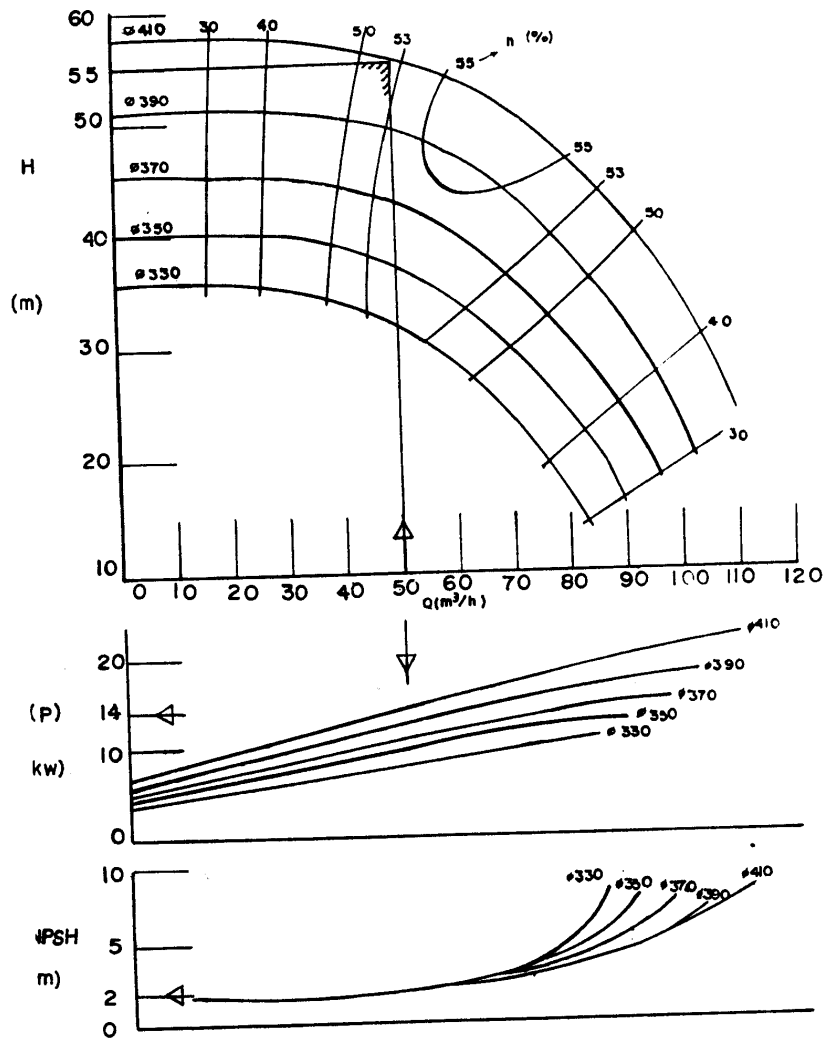
$$H = 55 \text{ m}$$

قطر المروحة المطلوبة ١٠٤ مم $\phi 410$

كفاءة المضخة $\eta = 53\%$



شكل (٢-٣٤): منحنيات اختيار المضخة



شكل (٢-٣٥): منحنيات أداء المضخة التي تم إختيارها

وبالنزول على منحنى القدرة المطلوبة $P(kw)$ لمروحة قطرها ٤١٠ مم نجد أن القدرة تساوى ١٤ كيلووات وبالنزول على منحنى صافى ضاغط السحب الموجب NPSH نجد أنه يساوى ٢ متر. وواضح أن نقطة تشغيل المضخة لاتقع تماماً عند نقطة أقصى كفاءة وهى ٥٥٪ بل تقع عند نقطة قريبة منها وهى ٥٣٪ كفاءة مما يدل على أننا فى بعض الأحيان لايمكننا تشغيل المضخة عند نقطة أقصى كفاءة وذلك حسب المضخات المتوافرة فى الأسواق وايضاً حسب نقطة التشغيل المطلوبة من شبكة الأنابيب وعند إختيار المحرك المطلوب فإن قدرته تزيد عن القدرة المطلوبة للمضخة ففى هذا المثال قدرة المحرك المضخة تساوى $1,36 \times 14 = 19$ حصان وبالتالي تكون قدرة المطلوب لايقبل عن $19 \times 1,2 = 23$ حصان أى محرك كهربى قدرة ٢٥ حصان.

مثال:

المطلوب إستنتاج منحنيات مضخه طارده مركزيه عند سرعة دوران ١٦٠٠ لفة/د إذا علمت أن أداء المضخه عند سرعة ٢٠٠٠ لفة/د كانت كالآتى:

$$N_1 = 2000 \text{ rpm}$$

| | | | | | | |
|--------|----|----|----|----|-----|-----|
| H_m | 50 | 47 | 43 | 40 | 35 | 20 |
| shp | 0 | 30 | 60 | 90 | 125 | 140 |
| η | 0 | 50 | 77 | 80 | 70 | 35 |

الحل:

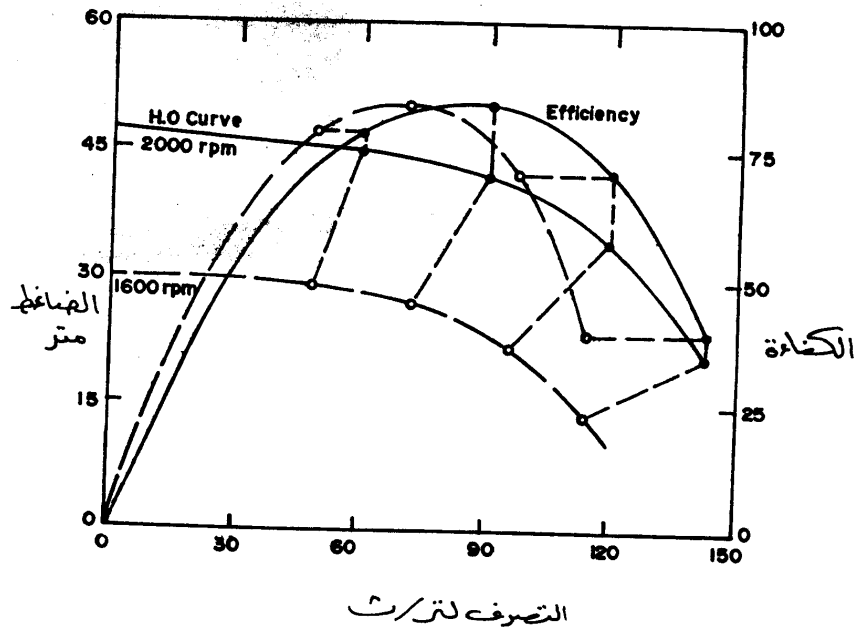
$$\frac{Q_2}{Q_1} = \frac{N_2}{N_1} = \frac{1600}{2000} = 0.8$$

$$\frac{H_2}{H_1} = \left(\frac{N_2}{N_1} \right)^2 = \left(\frac{1600}{2000} \right)^2 = 0.64$$

$$\therefore Q_2 = Q_1 \times 0.8 \quad \& \quad H_2 = H_1 \times 0.64$$

نقوم بضرب قيم التصريف في الجدول السابق في معامل ٠,٨ والضغوط في ٠,٦٤ عند نفس قيم الكفاءات السابقة فنحصل على منحنيات الأداء عند السرعة المطلوبة وهي ١٦٠٠ لفة/د. كما هو مبين بالشكل (٣٦-٢).

| | | | | | | |
|--------------------------|----|-------|-------|------|------|------|
| $N_2 = 1600 \text{ rpm}$ | | | | | | |
| H_m | 32 | 30.08 | 27.25 | 25.6 | 22.4 | 12.8 |
| shp | 0 | 24 | 48 | 72 | 100 | 112 |
| η | 0 | 50 | 77 | 80 | 70 | 35 |



شكل (٣٦-٢) منحنيات الأداء عند سرعة دوران ١٦٠٠، ٢٠٠٠ لفة/د

٢-٧- التكيف في المضخات Cavitation in Pumps

إذا إنخفض الضغط داخل المضخة أو في أنبوبة السحب إلى ضغط يساوى أو أقل من ضغط بخار السائل عند درجة حرارة التشغيل فإن جزء من السائل يتبخر ويكون فقاعه من البخار تتحرك مع السائل داخل المضخة إلى نقطه ذات ضغط أكبر غير مناسب لوجود البخار فتتفجر فقاعة البخار تاركة فراغ يندفع باقى السائل لملئه فيصطدم بريش المروحة قرب منطقة الخروج بقوة اصطدام كبيرة مصحوبا بارتفاع فى درجات الحرارة و يؤدي ذلك إلى:

- ١- حدوث إهتزازات ميكانيكية بالمضخة.
- ٢- صوت طرقات متتالية.
- ٣- إنخفاض فى الضاغط والتصرف والكفاءة.
- ٤- بتكرار الظاهره مع دوران المضخة يحدث تآكل في المروحة والريش قرب منطقة الخروج ويشبه إلى حد كبير تسوس الأسنان Teeth Cavities لذا سميت هذه الظاهره بالتكيف.

ولتجنب هذه الظاهره يجب التأكد من أن أقل ضغط قبل المضخة أو داخلها يكون دائما أكبر من ضغط البخار؛ وحيث أن ضغط البخار يعطى دائما كقيمه مطلقه Absolute بينما تكون الحسابات الأخرى بالقيم المقاسه أو القياسيه فإنه لتجنب حدوث التكيف يكون:

$$P_{min} > P_v - P_{atm}$$

gage Press gage Press

بالقسمه على γ حيث $P = \gamma \cdot h$

$$h_{min} > h_v - h_{atm}$$

وبدراسة ديناميكية حركة السائل داخل المضخة وجد أن الضغط ينخفض قليلا داخل المضخة نتيجة الاحتكاك والدوامات قبل أن يبدأ في الارتفاع مره أخرى بعد إكتساب الطاقة اللازمة من المروحة، وبقياس توزيع الضغط على الريش كما هو موضح بشكل (٢-٣٧):

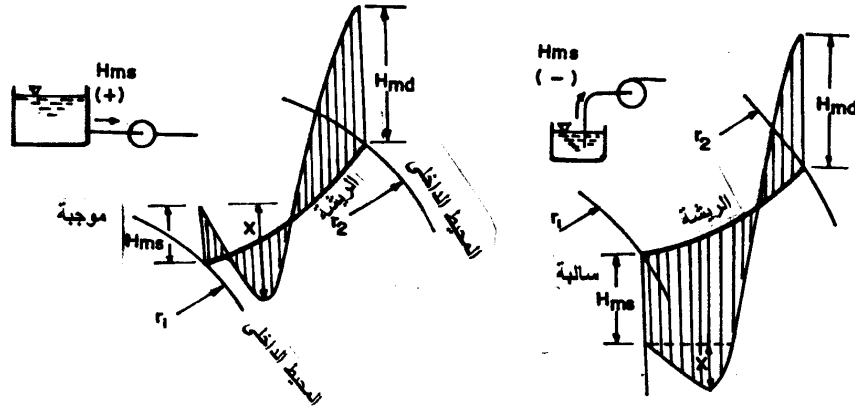
ويسمى الإنخفاض الذي يحدث في الضغط على الريشه بالإنخفاض الديناميكي للضغط (X) Dynamic head deficiency وتتناسب قيمته مع الضاغط المانومتري للمضخة.

$$X \propto H_m$$

$$X = \sigma H_m$$

حيث σ يسمى بمعامل التكيف أو معامل توما للتكيف Thoma Cavitation Coefficient حيث أن توما هو الذي إقترح التناسب السابق ومن الجدير بالذكر أنه يطلق على X أيضا بصافي ضاغط السحب الموجب المطلوب.

$$\text{Net positive suction head required} = \text{NPSHR} = X = \sigma H_m$$



شكل (٢-٣٧): توزيع الضغط على الريش

ويعتمد معامل توما على خواص المضخة ونوعها، وعلى هذا الأساس يكون أقل ضغط في دائرة المضخة يساوى:

$$h_{min} = H_{ms} - X = H_{ms} - \sigma H_m = H_{ms} - NPSHR$$

لتجنب حدوث التكيف:

$$P_{min} > P_v - P_{atm}$$

$$H_{ms} - \sigma H_m > h_v - h_{atm}$$

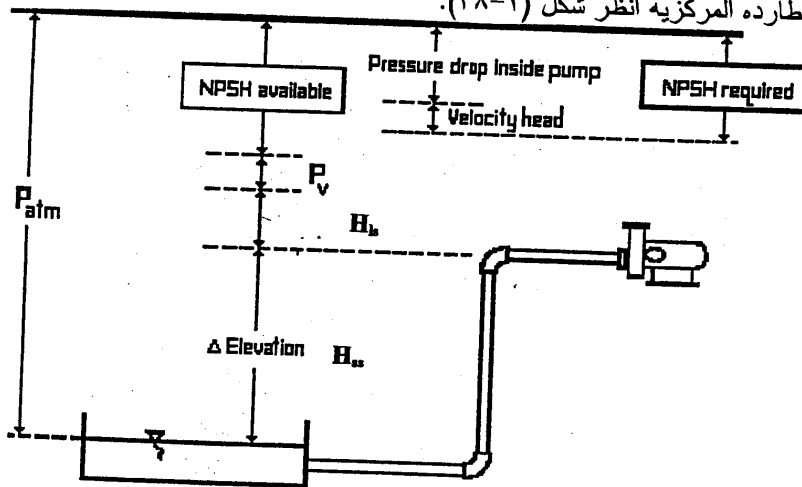
وحيث أن:

$$H_{ms} = H_{ss} - H_{ls} - \frac{v_s^2}{2g}$$

$$\therefore H_{ss} - H_{ls} - \frac{v_s^2}{2g} - \sigma H_m > h_v - h_{atm}$$

وهى المعادلة الواجب تحقيقها لضمان عدم حدوث التكيف في المضخات

الطارده المركزيه انظر شكل (٣٨-٢).



شكل (٣٨-٢): إيجاد ضاغط السحب الموجب المتاح NPSH لمضخة منسوبها أعلى من سطح المياه في خزان السحب

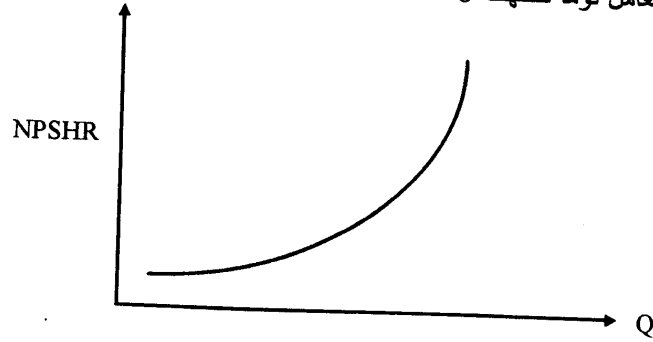
من هذه المعادله وحيث أن الطرف الأيمن يعتبر ثابتاً ويعتمد على نوع السائل ودرجة حرارته والضغط الجوى فى مكان التشغيل جدول رقم (٢-٤)، فإنه لتجنب التكيف يجب الاحتفاظ بالطرف الأيسر أكبر ما يمكن وذلك بزيادة قيم الحدود الموجبه وتقليل قيم الحدود السالبه كما يلى:

- ١- وضع المضخه فى أوطى منسوب ممكن بالنسبه للمضخه لزيادة قيمة H_{ss} .
- ٢- تقليل الفواقد في ماسورة السحب بوضعها أقرب ما يمكن لخزان السحب وتجنب وجود أي انحناءات أو تغييرات في المساحه فيها أو زيادة قطرها إذا أمكن ولذلك يكون قطر ماسورة السحب أكبر من ماسورة الطرد.
- ٣- إختيار المضخات ذات معامل التكيف (σ) أقل ما يمكن وذلك في الحالات الحرجه التي يكون إحتمال حدوث التكيف فيها قائم ، لأن المضخات ذات معامل التكيف الصغير تكون عادة أعلى سعرا من المضخات المناظره ذات معامل تكيف أكبر.

تعطى X فى الكتالوجات المضخات بإحدى الطريقتين:

- ١- تسمى X بالـ NPSHR وتعطى على شكل منحنى مع التصرف كما فى الشكل (٢-٣٩).

- ٢- يعطى معامل توما للتكيف σ .



شكل (٢-٣٩): منحنى صافى ضاغط السحب الموجب على التصرف

جدول (٢-٤): ضاغط البخار عند درجات حرارة مختلفة والضاغط الجوى عند إرتفاعات مختلفة من سطح البحر.

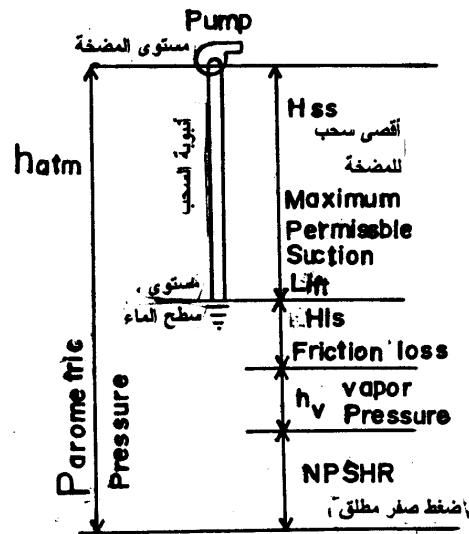
| الضاغط الجوى | | الإرتفاع عن سطح البحر | | الضاغط البخارى | | درجة الحرارة | |
|--------------|------|-----------------------|-------|----------------|------|--------------|------|
| (m) | (ft) | (m) | (ft) | (m) | (ft) | (°C) | (°F) |
| ١٠,٤ | ٣٤,٠ | ٠ | ٠ | ٠,٠٦ | ٠,٢ | ٠,٠ | ٣٢ |
| ١٠,٢ | ٣٣,٠ | ١٥٠ | ٥٠٠ | ٠,٠٩ | ٠,٣ | ٤,٤ | ٤٠ |
| ١٠,٠ | ٣٢,٨ | ٣٠٠ | ١٠٠٠ | ٠,١٣ | ٠,٤ | ١٠,٠ | ٥٠ |
| ٩,٨ | ٣٢,٢ | ٤٦٠ | ١٥٠٠ | ٠,١٨ | ٠,٦ | ١٥,٦ | ٦٠ |
| ٩,٦ | ٣١,٦ | ٦١٠ | ٢٠٠٠ | ٠,٢٦ | ٠,٨ | ٢١,١ | ٧٠ |
| ٩,٥ | ٣١,٠ | ٧٦٠ | ٢٥٠٠ | ٠,٣٦ | ١,٢ | ٢٦,٧ | ٨٠ |
| ٩,٣ | ٣٠,٥ | ٩١٠ | ٣٠٠٠ | ٠,٤٩ | ١,٦ | ٣٢,٢ | ٩٠ |
| ٩,٠ | ٢٩,٤ | ١٢٢٠ | ٤٠٠٠ | ٠,٦٧ | ٢,٢ | ٣٧,٨ | ١٠٠ |
| ٨,٦ | ٢٨,٣ | ١٥٢٠ | ٥٠٠٠ | ٠,٩٠ | ٢,٩ | ٤٣,٣ | ١١٠ |
| ٨,٣ | ٢٧,٣ | ١٨٣٠ | ٦٠٠٠ | ١,١٩ | ٣,٩ | ٤٨,٩ | ١٢٠ |
| ٨,٠ | ٢٦,٢ | ٢١٣٠ | ٧٠٠٠ | ١,٥٦ | ٥,١ | ٥٤,٤ | ١٣٠ |
| ٧,٧ | ٢٥,٢ | ٢٤٤٠ | ٨٠٠٠ | ٢,٠٣ | ٦,٧ | ٦٠,٠ | ١٤٠ |
| ٧,٤ | ٢٤,٣ | ٢٧٤٠ | ٩٠٠٠ | ٢,٦٢ | ٨,٦ | ٦٥,٦ | ١٥٠ |
| ٧,١ | ٢٣,٤ | ٣٠٥٠ | ١٠٠٠٠ | ٣,٣٤ | ١١,٠ | ٧١,١ | ١٦٠ |

تحديد أقصى سحب للمضخة: Allowable Suction Head

تكمُن أهمية تحديد أقصى سحب للمضخة في أنها تعتمد على مكان التركيب من حيث قيمة الضغط الجوي الذي يعتمد على المنسوب فوق سطح الأرض وأيضاً يعتمد على درجة حرارة التشغيل التي تحدد ضغط بخار الماء أما فيما يخص حرارة المضخة فإنها تعتمد على قيمة الفاقد في الضغط داخل المضخة متمثلة في صافي ضاغط السحب الموجب NPSHR هذا بالإضافة إلى قيمة الفواقد في خط السحب فهي تختلف من تصميم لآخر. يوضح شكل (٤٠-٢) كيفية تحديد أقصى سحب للمضخة.

$$(H_{ss})_{max} = h_{atm} - h_v - H_{ls} - \sigma \cdot H_m$$

$$= h_{atm} - h_v - \Sigma H_{ls} - NPSHR$$



شكل رقم (٤٠-٢): تحديد أقصى سحب للمضخة

مثال:

مضخة ترفع المياه بضغوط كلى ٢٠ متر ومعامل توما للتكهف ٠,١٠ إذا
على أن الضغط البارومتري $abs \text{ } 96.5 \text{ kN/m}^2$ وضغط البخار
 $4.95 \text{ kN/m}^2 \text{ abs}$ على فرض أن الفواقد فى الضاغط عند المدخل ماسورة
السحب وفى خلالها ١,٥ متر. احسب أقصى إرتفاع يمكن وضع المضخة عليه
فوق سطح المياه فى خزان السحب.

$$\begin{aligned}(H_{ss})_{max} &= \frac{P_{atm}}{\gamma} - \frac{P_v}{\gamma} - \Sigma H_{ls} - \sigma \cdot H_m \\ &= \frac{96.5}{9.81} - \frac{4.94}{9.81} - 1.5 - (0.1 \times 20) \\ &= 5.83\end{aligned}$$

٢-٨- تحضير المضخات: Priming

عادة يتم تحضير المضخات الطاردة المركزية فقط حيث أن الأنواع
الأخرى من المضخات لا تحتاج تحضير. فإذا استخدمت مضخة طاردة مركزية
وكان مستواها أعلى من مستوى الماء فى خزان السحب فإنه يلزم تحضيرها قبل
التشغيل وذلك بأن تملأ بالسائل قبل التشغيل لأن الضاغط الذى تعطيه المضخة
يكون من نفس نوع المائع الموجود داخلها وعلى هذا إذا دارت المضخة وبدخلها
هواء فإن الضاغط الناتج يكون من الهواء وبالتالى يكون الضاغط المانومتري
الناتج $(P_m = \gamma_{ar} \cdot H_m)$ صغير جدا لأن γ_{air} تساوى $\frac{1}{800}$ من γ_{water} أى
 $\left(\frac{\rho_{air}}{\rho_{water}} = \frac{1.25 \text{ kg/m}^3}{1000 \text{ kg/m}^3} = \frac{1}{800} \right)$. وبالتالى يكون هذا الضغط غير كافى لسحب
السائل من خزان السحب ودفعه إلى خزان الطرد. أما بعد ملأها بالسائل فإن

الضغط المانومتري الناتج يكون $(P_m = \gamma_{liquid} H_m)$ كبير بالدرجة التى تمكن المضخة من سحب السائل ودفعه فى أنبوبة الطرد، ومن الجدير بالذكر أن المضخات التى توضع تحت منسوب المياه فى خزان السحب لا يلزم لها عملية تحضير .

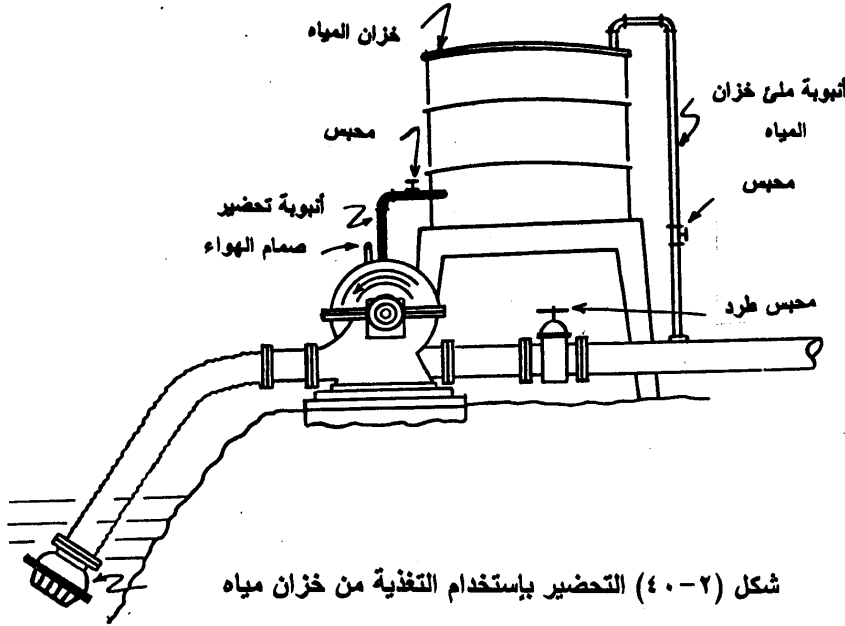
طرق تحضير المضخات:

١ - التحضير باستخدام التغذية من مصدر خارجي:

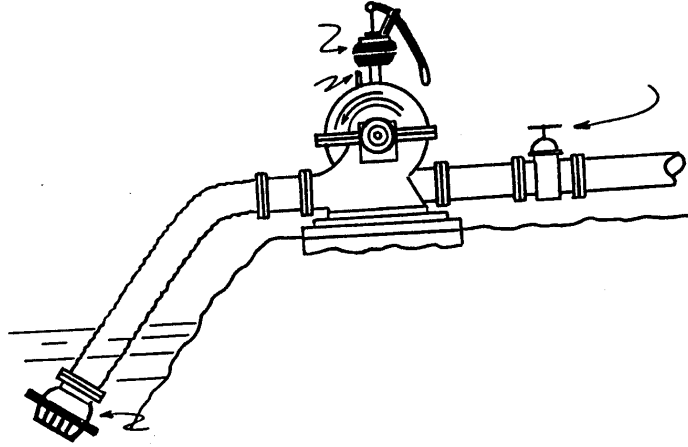
وقد يتم ذلك عن طريق ملئ المضخة وخط السحب بالماء بوضع قمع داخل طبة تحضير المضخة وتوجد هذه الطبة بغلاف المضخة وإما استخدام خزان يحتفظ به مملوءاً كما بالشكل رقم (٢-٤١). وتتم هذه الطريقة بغلق صمام التصريف وفتح صمام الهواء ثم فتح صمام تغذية المياه من الخزان حتى يتم طرد الهواء من صمام الهواء ثم يتم غلق صمام التغذية وصمام طرد الهواء وفتح صمام التصريف وبدء تشغيل المضخة. ويلاحظ هنا أهمية وجود محبس القدم (محبس عدم رجوع) وذلك لكى لا تتسرب المياه من خط السحب إلى بيارة السحب وباستخدام محبس القدم يتم التحضير فقط عند أول تشغيل أو عند ترك المضخة مدة طويلة بدون تشغيل وكذلك بعد الصيانات حيث يحتفظ محبس عدم الرجوع بالمياه داخل خط السحب وغلاف المضخة ويوضح شكل رقم (٢-٤٣) نوعين من محابس القدم.

٢- التحضير باستخدام مضخة تحضير يدوية:

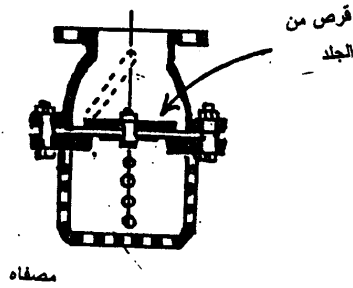
تستخدم مضخة التحضير اليدوية كما فى الشكل رقم (٢-٤٢) لتحضير المضخة لأول تشغيل أيضاً أو عند فقد المياه من خط السحب إذا حدث تسريب من محبس عدم الرجوع (محبس القدم) حيث أنه فى بعض الأحيان يدخل من صفاة الأعشاب بعض الشوائب التى تتسبب فى تعليق قرص الصمام وبالتالي تسريب المياه منه إلى بيارة السحب مما يفقد المضخة تحضيرها ولتحضير المضخة نعلق صمام الهواء وصمام التصريف ثم نبدأ بتشغيل المضخة اليدوية (الكاركة) لسحب الهواء من ماسورة السحب وذلك حتى يتم تفريغ الهواء تماماً من خط سحب المضخة ويتم تشغيل المضخة ويوضح شكل رقم (٢-٤٤) قطاع فى المضخة اليدوية.



شكل (٢-٤٠) التحضير باستخدام التغذية من خزان مياه



شكل (٢-٤٢): التحضير باستخدام مضخة تحضير يدوية



Foot Valve
With Strainer;
Hinged Type



Foot Valve
With Strainer;
Poppet Type

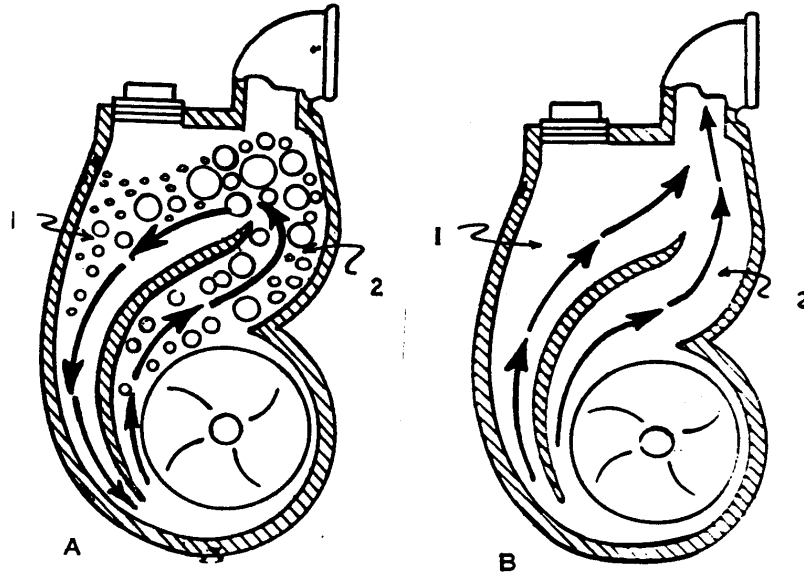
شكل (٢-٤٣): النوعين الشائع استخدامهم من محابس القدم



Self - Priming Centrifugal Pump

تحتوى المضخات الطاردة المركزية ذات التحضير الذاتى على تجويف أو غرفة داخل جسم المضخة بحيث تكون مملوءة بالماء عند بداية التشغيل. فعند تشغيل المضخة فإن الماء يندفع إلى أعلى إلى غرفة التحضير كما هو مبين بالشكل (٢-١٤). يتولد عن اندفاع الماء خلخلة عند فتحة سحب المضخة مما يتسبب فى سحب الهواء من خط السحب وإختلاطه بالماء داخل المضخة واندفاعه

لأعلى وهروبه من المضخة منفصلاً عن الماء الذي يتجه لأسفل تحت تأثير وزنه. وبتكرار هذه العملية يتم تفريغ خط السحب من الهواء وإحلال الماء محله وبذلك يتم تحضير المضخة وتصبح الغرفة ٢،١ في الشكل (٢-٤٥ب) كغرفة واحدة ولا يحدث دوامات للمياه أثناء تشغيل المضخة كما كان يحدث عند وجود الهواء عند بداية التحضير. وتزود المضخة بمحبس عدم رجوع عند مدخل خط السحب بحيث تظل المياه داخل خط السحب ولا يتم تحضير المضخة إلا عند تركيبها لأول مرة أو إصلاحها وذلك بملئ المضخة بالمياه يدوياً وذلك من طبة التحضير الموجودة بجسم المضخة.



شكل (٢-٤٥): المضخات الطاردة المركزية ذات التحضير الذاتي.

٢-٩- أعطال المضخات Troubleshooting

لقد وصلت صناعة المضخات إلى مستوى عالى الدقة بحيث انه يمكن تشغيل المضخات لفترة زمنية طويلة بدون ظهور أية أعطال بها. ولكن قد تحدث الأعطال من التصميم أو التركيب غير السليم أو من عدم الصيانة. وهذه هي بعض الأعطال والأسباب المحتملة لحدوثها.

١- المضخة لاتعطى تصرف أو تصرفها غير كافى.

- لم يتم تحضير المضخة.
- سرعة الدوران منخفضة جداً.
- ضاغط الطرد مرتفع جداً
- ضاغط السحب أكبر من المسموح به.
- انسداد المروحة (الدفاع)
- دوران المروحة فى الإتجاه العكسى.
- انسداد فانوس السحب.
- تسرب الهواء إلى داخل ماسورة السحب.
- عيوب ميكانيكية بالمروحة أو مانع التسرب.
- محبس القدم Foot Valve فى فانوس السحب قطره صغير.
- نهاية ماسورة السحب غير مغمورة بدرجة كافية فى المياه داخل حوض المص.

٢- لضغط الذى تعطيه المضخة غير كافى

- تسرب الهواء إلى داخل ماسورة السحب.
- قطر المروحة صغير جداً.

- سرعة الدوران منخفضة جداً.
- تلف المروحة.
- تلف الحشو.

٣- إستهلاك القدرة المرتفع للمضخة:

- السرعة العالية جداً للمضخة.
- الإختيار الخاطئ للمضخة.
- المياه باردة جداً.
- عيوب ميكانيكية.

٤- إهتزاز وضوضاء بالمضخة

- حدوث تكهف.
- المحرك غير متزن.
- تآكل فى كراسى التحميل Bearings.
- عدم إتزان المروحة (الدفاع) نتيجة لحدوث تلف بها.
- دخول الهواء ماسورة السحب من خلال تأثير الدوامات المائية فى حوض لمص.
- حدوث طرق المياه Water Hammer فى خط المواسير.

٢-١٠ - منحنى خط الأنابيب (منحنى الأنبوبه)

Piping Curve (System Curve)

توصلنا فيما سبق إلى أن الضاغط المانومتري المطلوب من المضخة H_m يمكن حسابه من:

$$H_m = H_{st} + h_f + \frac{v_s^2}{2g}$$

حيث h_f مجموع الفواقد في خط الأنابيب.

وبالتعويض عن مجموع الفواقد h_f في المعادله السابقه يمكن حساب

الضاغط المطلوب ليمر تصرف معين في خط الأنابيب كالآتي:

$$H_m = H_{st} + f \frac{l}{d} \frac{v^2}{2g} + \frac{v^2}{2g} (K_1 + K_2 + K_3 + \dots) + \frac{v^2}{2g}$$

$$H_m = H_{st} + \frac{v^2}{2g} \left[f \frac{l}{d} + \Sigma K + 1 \right]$$

وذلك إذا كان قطر خط السحب يساوى قطر خط الطرد

$$v = v_s = v_d$$

$$\therefore v = Q / \left(\frac{\pi}{4} d^2 \right)$$

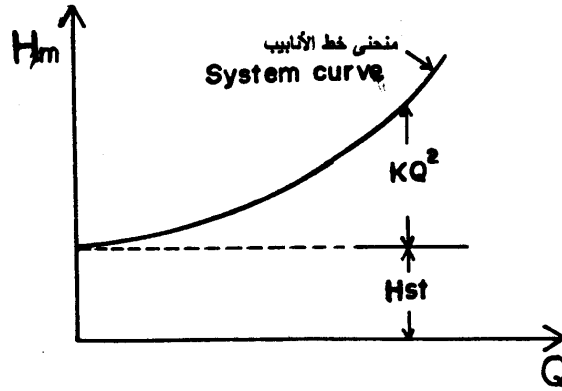
$$H_m = H_{st} + \frac{f \frac{l}{d} + \Sigma K + 1}{\left(\frac{\pi}{4} d^2 \right)^2 \times 2g} Q^2$$

$$\therefore H_m = H_{st} + K Q^2$$

حيث K ثابت خط الأنابيب وليس له علاقه بالمضخه على الإطلاق.

بتكرار التعويض في المعادله السابقه للحصول على عدة قيم للتصرف Q نحصل على القيم المقابله H_m وهي تمثل قيم الضاغط اللازم لمرور التصرفات المقابله. ويسمى المنحنى الناتج بمنحنى خط الأنابيب أو منحنى الأنبويه (شكل ٤٦-٢). ونلاحظ أن السريان فى الجزء الأول من المنحنى يكون رقائقي ثم يصبح إضطرابي ويزيد حتى يصل إلى الإضطراب الكامل وفيه تظل قيمة f ثابتة لياقي قيم المنحنى فإذا كان الجزء المهم بالنسبة لنا هو الجزء الأخير من المنحنى يمكن التعويض من البدايه بقيمة f عند الإضطراب الكامل لتبسيط معادله المنحنى.

| | | | | | | |
|-------|---|---|---|---|---|---|
| Q | ✓ | ✓ | ✓ | ✓ | ✓ | ✓ |
| H_m | ✓ | ✓ | ✓ | ✓ | ✓ | ✓ |



شكل (٤٦-٢): منحنى خط الأنابيب

١١-٢ - تشغيل المضخات Pump Operation

١-١١-٢ - نقطة التشغيل Operation Point

من منحنى أداء المضخة الطارده المركزيه (H_m , Q) نجد أن المضخة الطارده المركزيه يمكن أن تعمل عند أي نقطه من نقاط المنحنى ولكن عند وضع هذه المضخة في خط أنابيب معين فإن نقطة التشغيل لهذه المضخة يمكن تحديدها برسم منحنى خط الأنابيب مع منحنى أداء المضخة على رسم واحد بنفس مقياس الرسم (شكل ٢-٤٧) فتكون نقطة التشغيل هي نقطة تقاطع المنحنيين حيث أنها النقطه الوحيده التي يتساوى عندها التصرف المار في الخط مع التصرف المار في المضخة، وكذلك يكون الضاغط الذي تعطيه المضخة مساوى للضاغط المطلوب للتغلب على فرق المنسوب والفواقد المختلفه في خط الأنابيب. على يمين نقطة التقاطع نجد أن الضاغط المطلوب لخط الأنابيب أكبر من الضاغط الذي تعطيه المضخة لذلك يستحيل أن تعمل المضخة في هذا الخط عند تصرف أكبر من تصرف نقطة التشغيل؛ لذلك يسمى تصرف نقطة التشغيل بأقصى تصرف للمضخة في هذا الخط Q_{max} .

على يسار نقطة التشغيل نجد أن الضاغط الذي تعطيه المضخة أكبر من الضاغط المطلوب عند خط الأنابيب لذي يمكن أن تعمل المضخة على تصرف أقل من تصرف نقطة التشغيل بشرط أن تنتقل نقطة التقاطع بين منحنى أداء المضخة ومنحنى خط الأنابيب إلى اليسار من نقطة التقاطع الأولى وحيث أن أداء المضخة عند سرعه ثابتة لا يمكن تغييره فإن الحل الأخير هو رفع منحنى خط الأنابيب إلى أعلى وذلك بزيادة الفاقد في الطاقه بطريقه يمكن التحكم فيها

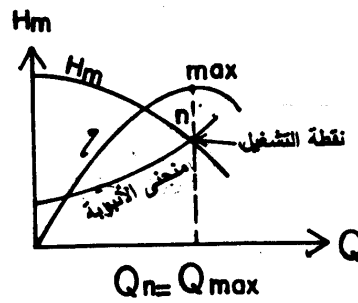
وذلك عن طريق إستخدام محبس فكلما زاد إغلاق المحبس زادت الفواقد في خط الأنابيب وارتفع منحنى خط الأنابيب إلى أعلى .

إذا كانت نقطة التشغيل تقابل نقطة التشغيل العادية للمضخة Normal Point فإنها تكون النقطة المثلى للتشغيل.

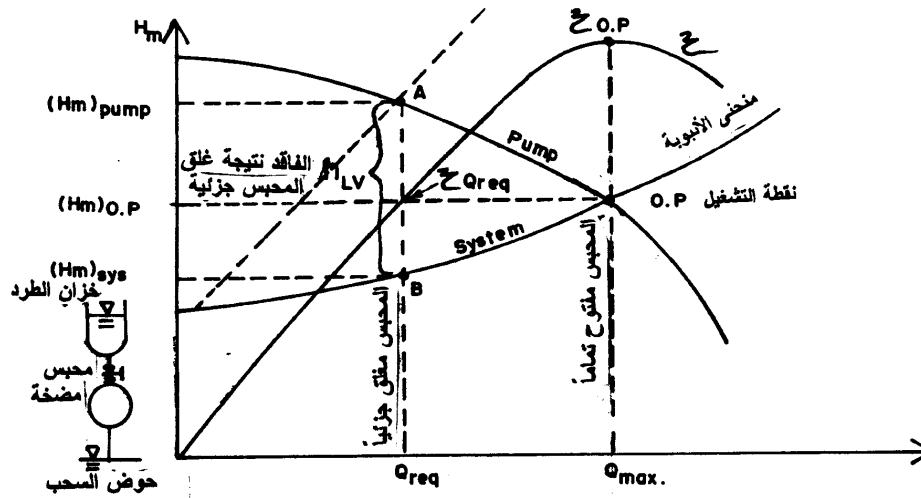
$$very\ best @ Q_{max} = Q_n$$

أى أن تشغيل المضخة يكون عند أقصى كفاءه كما فى شكل (٤٧-٢).

وكما هو موضح بشكل (٤٨-٢) إذا أردنا تقليل التصريف من Q_{max} إلى Q_{req} نغلق المحبس قليلا مما يسبب إرتفاع منحنى خط الأنابيب إلى الوضع المبين، وبالتالي تنتقل نقطة التقاطع من Q_{max} إلى Q_{req} مع ملاحظة أن المسافه من A إلى B تمثل الفاقد فى المحبس نتيجة إغلاقه h_{lv} .



شكل (٤٧-٢): نقطة تشغيل المضخة



شكل (٢-٤٨): نقطة التشغيل عند إغلاق المحبس جزئياً

ولذا لا ينصح باستخدام طريقة غلق المحبس جزئياً في المضخات التي تعمل بصفه مستمره حيث أن الفاقد في الطاقه نتيجة غلق المحبس جزئياً معناه استهلاك زائد في الطاقه .

عند نقطة التشغيل يمكن حساب القدره على عمود المضخه كالاتى:

$$shp = \frac{\gamma Q_{max} (H_m)_{O.P.}}{\eta_{O.P.}}$$

عند غلق المحبس جزئياً:

@ Q_{req}

$$h_{lv} = (H_m)_{pump} - (H_m)_{system}$$

$$(shp)_{Q_{req}} = \frac{\gamma Q_{req} \times (H_m)_{pump}}{\eta_{Q_{req}}}$$

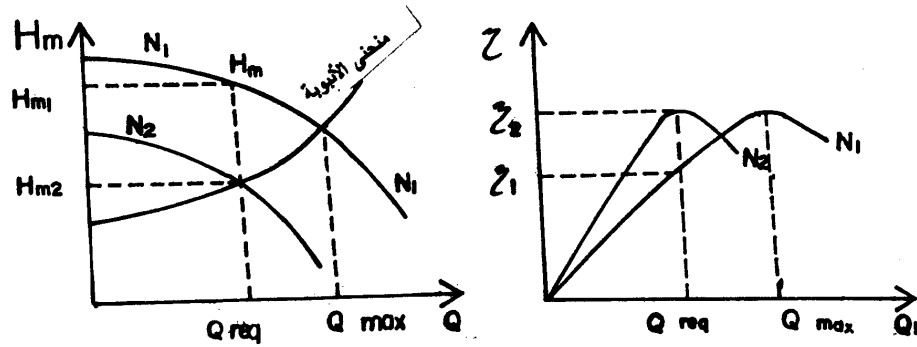
وتكون قدره المفقوده في المحبس:

$$shp_{loss} = \frac{\gamma Q_{req} \times h_{lv}}{\eta_{Q_{req}}}$$

ويكون ثمن الطاقه المفقوده في المحبس سنويا:

$$Energy\ loss\ cost = shp_{loss} \times Time\ (hrs / year) \times (cost \cdot kw.hr)$$

والطريقه الثانيه وهى الأفضل للحصول على تصرف أقل Q_{req} هي تخفيض سرعة دوران المضخه كما في الشكل (٢-٤٩) وذلك إذا كان المحرك المستعمل ذو سرعه متغيره.



شكل (٢-٤٩): طريقة تخفيض التصريف عن طريق تخفيض سرعة دوران المضخة

في حالة الطريقه الأولى (المحركات ذات سرعة دوران ثابتة N_1) فإن القدره تكون:

$$shp_1 = \frac{\gamma Q_{req} \cdot H_{m1}}{\eta_1}$$

في حالة الطريقه الثانيه (محركات ذات سرعات دوران متغيره N_2) فإن القدره تكون:

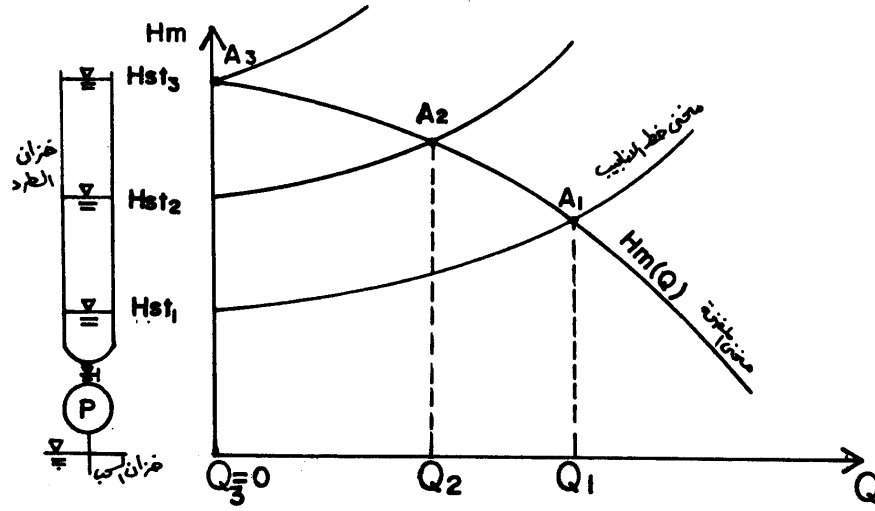
$$shp_2 = \frac{\gamma Q_{req} \cdot H_{m2}}{\eta_2}$$

ويكون الوفّر في الطاقه المستهلكه في خلال العام :

$$Energy\ Saving = (shp_1 - shp_2) \times Time(hrs \ year) \times cost / kw.hr$$

سعر الكيلووات . ساعة × ساعات التشغيل السنويه × فرق القدره بالكيلووات = الوفّر في الطاقه المستهلكه

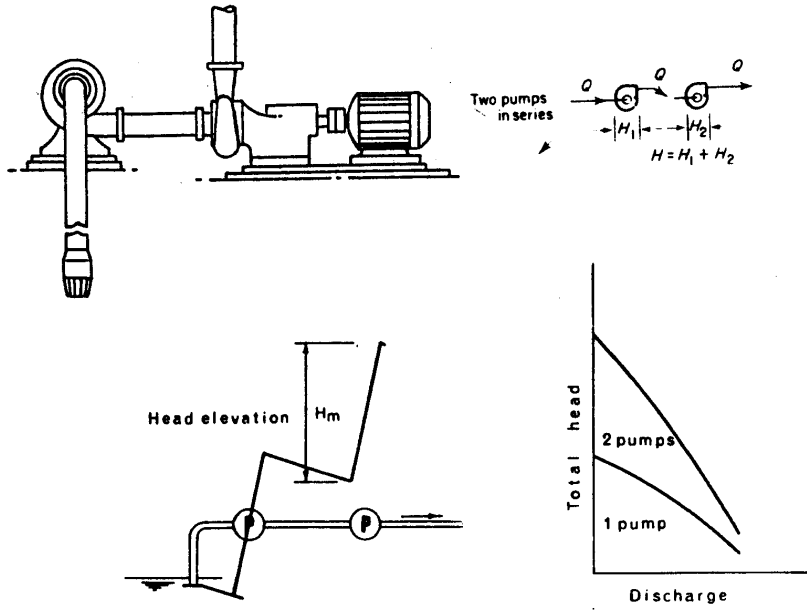
وأخيراً لنعتبر الحالة التي عندها يثبت كلاً من المحبس مفتوحاً وخواص خط الأنابيب تظل كما هي ولكن المتغير الوحيد هو الرفع الإستاتيكي من إلى H_{st2} إلى H_{st3} فيقل التصريف إلى النقطه التي يتساوى فيها $H_{st1} = H_{shut-off}$ مع ضاغط الإيقاف عند $Q = 0$ أي أن المضخه تدور ولا تعطى تصريف أى ترفع المياه إلى مستوى H_{st3} فقط كما هو واضح في شكل (٢-٥٠):



شكل (٢-٥٠): تأثير تغيير الرفع الإستاتيكي على نقطة التشغيل

٢-١١-٢ تشغيل المضخات على التوالي Pumps Operating in Series

في كثير من التطبيقات العملية يتطلب الحصول على ضاغط مرتفع أو قد يوجد خط أنابيب طويل يتطلب لتوصيل المياه فيه رفع الضغط عند عدة نقاط على طول مسار الخط لذلك نستعمل توصيل المضخات على التوالي لرفع الضغط وكما هو واضح من الشكل (٢-٥١) فإن توصيل المضخات على التوالي يتطلب مرور نفس التصرف فيها أما الضغط الكلي فهو عبارة عن مجموع الضغط الذي تعطيه كل مضخة.



شكل (٢-٥١): توصيل مضختين على التوالي

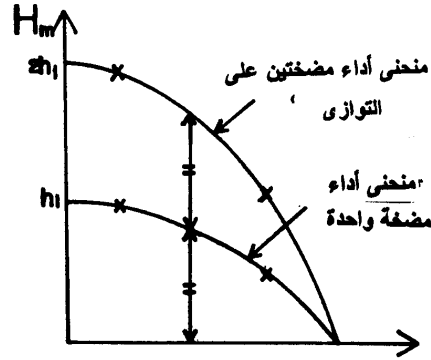
يتم إستنتاج منحنى أداء مضختين من نفس النوع من جدول الأداء لمضخة واحدة وذلك بتثبيت التصريف Q ومضاعفه H_m وبذلك نرسم منحنى أداء مضختين متصلتين على التوالي كما هو موضح في الشكل (٢-٥٢).

منحنى أداء مضخة واحد

| | | | | |
|-----------|----|----|----|----|
| $Q(l/s)$ | 0 | 10 | 20 | 30 |
| $H_m (m)$ | 25 | 27 | 23 | 15 |

منحنى أداء مضختين على التوالي

| | | | | |
|-----------|----|----|----|----|
| $Q(l/s)$ | 0 | 10 | 20 | 30 |
| $H_m (m)$ | 50 | 54 | 46 | 30 |



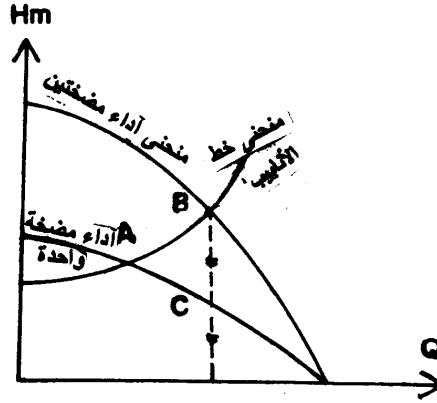
شكل (٢-٥٢): الحصول على منحنى أداء مضختين على التوازي بمضاعفة الضغط لمنحنى أداء مضخة واحدة

ومن الملاحظ من أول وهله أن توصيل مضختين على التوازي تعطي ضعف الضغط ولكن هذا ليس صحيحاً وأن فرضنا هذا فقط عند رسم منحنى أداء مضختين؛ أما في الواقع فإن هذا الضغط يعتمد على شكل منحنى خط الأنابيب وتقاطعه مع منحنى أداء المضختين لتحديد نقطة التشغيل كما يوضح شكل (٢-٥٣).

في حالة توصيل المضخات على التوازي نجد أنه إذا كان التصريف في أحد المضخات المتصلة على التوازي يساوي Q فإن هذا التصريف هو نفسه التصريف المار في أي مضخة أخرى ويساوي تصريف المجموعه بينما إذا كان الضغط الذي تعطيه المضخة الواحده H فإن الضغط الناتج من المجموعه $n \times H$ حيث n عدد الوحدات لذلك يمكن إستنتاج منحنى أداء

مجموعه من المضخات المتماثلة المتصلة على التوالي من منحنى أداء مضخة واحدة منهم بتثبيت قيمة التصريف Q ومضاعفة قيمة الضغط بمقدار عدد الوحدات كما يتضح من الشكل (٥٣-٢).

- A : نقطة تشغيل مضخة واحدة في خط الأنابيب .
 B : نقطة تشغيل مضختين على التوالي في نفس الخط .
 C : نقطة تشغيل مضخة واحدة تعمل ضمن مجموعته مكونه من مضختين على التوالي.



شكل (٥٣-٢): نقطة تشغيل مضختين على التوالي

وحيث أن نقطة تشغيل أى مضخة هي نقطة التقاطع بين منحنى الأداء ومنحنى خط الأنابيب لذلك يجب رسم منحنى أداء المجموعه مع منحنى خط الأنابيب وإيجاد نقطة التقاطع لمعرفة نقطة تشغيل المجموعه كما هو موضح بالشكل (٢-٥٣)، ويتضح الآتى:

أن نقطة تشغيل مضختين على التوالي (B) يكون عندها التصريف والضغط أكبر من التصريف والضغط عند نقطة تشغيل مضخة واحده منفردة في الخط.

$$H_B > H_A \quad Q_B > Q_A$$

بينما النقطة التي تعمل عندها مضخة واحده ضمن المجموعه وهي النقطة (C) يكون عندها التصريف مساوي لتصريف المجموعه والضغط مساوي لنصف ضغط المجموعه إذا كانت مكونه من مضختين أو يساوي $\frac{H_{total}}{n}$ حيث n عدد المضخات المتماثله:

$$Q_B = Q_C \quad H_B = 2H_C \quad \eta_C = \eta_B \quad @Q = Constant$$

$$shp_{total} = n_p \frac{\gamma Q_p H_p}{\eta_p} \quad shp_{total} = 2 \frac{\gamma Q_C H_C}{\eta_C}$$

حيث:

n_p : عدد المضخات.

Q_p : تصريف المضخة الواحده عند نقطة تشغيل المجموعه وتساوى Q_C .

H_p : الضاغط الذى تعطيه المضخة الواحده عند تشغيل المجموعه وتساوى H_C في المثال.

ونلاحظ:

$$Q_{max} = Q_B = Q_C = Q_p$$

$$Q_i = Q_p$$

$$H_i = n_p \cdot H_p$$

المضخات متطابقه أو متماثله

٢-١١-٣ تشغيل المضخات على التوازي Pump Operating in Paralled

غالباً ما تحتوى محطات الضخ (الرفع) على عدة مضخات متصلة على التوازي كما هو مبين بالشكل (٢-٥٤) حيث يمكن الحصول على تصرفات مختلفة وذلك بتشغيل مضخة واحدة فى الخط أو تشغيل مضختين أو ثلاث مضخات وذلك حسب التصرف المطلوب من المحطة.

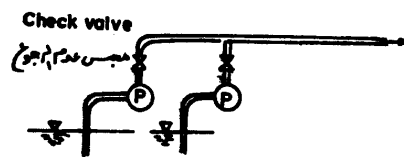
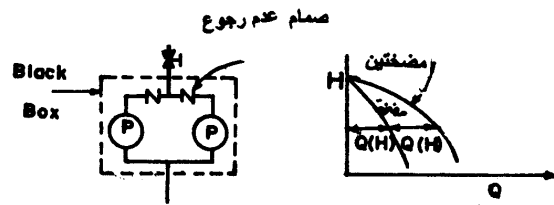
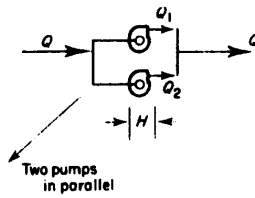
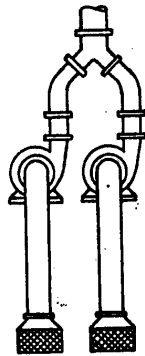
يمكن إستنتاج منحنى أداء مضختين متماثلتين متصلتين على التوازي من جدول أداء مضخه واحده وذلك بتثبيت الضغط (H_m) ومضاعفة التصرف أو ضرب تصرف الوحدة فى عدد المضخات.

جدول أداء مضخة واحدة

| Q (l/s) | 0 | 10 | 20 | 30 | 40 |
|--------------------|----|----|----|----|----|
| H _m (m) | 25 | 27 | 23 | 15 | 14 |

جدول أداء مضختين على التوازي

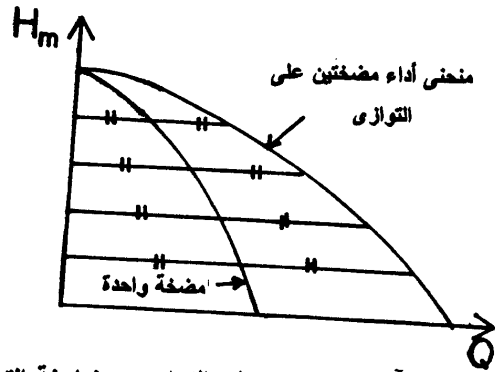
| Q (l/s) | 0 | 20 | 40 | 60 | 80 |
|--------------------|----|----|----|----|----|
| H _m (m) | 25 | 27 | 23 | 15 | 14 |



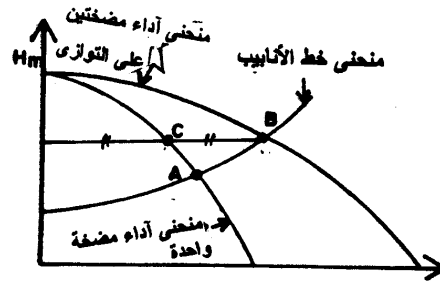
$$Q_t = n_p Q_p$$

$$H_t = H_p$$

شكل (٢-٥٤): توصيل مضختين على التوازي



شكل (٢-٥٥): الحصول على أداء مضختين على التوازي بمضاعفة التصريف لمنحني أداء مضخة واحدة



شكل (٢-٥٦): طريقة الحصول على نقطة تشغيل مضختين على التوازي

- A : نقطة تشغيل مضخة واحدة منفردة في الخط.
 B : نقطة تشغيل مضختين على التوازي في نفس الخط.
 C : نقطة تشغيل مضخة واحدة تعمل ضمن مجموعته مكونه من مضختين متصلتين على التوازي.

في حالة توصيل المضخات على التوازي يمكن إستنتاج منحنى أداء المجموعه من منحنى أداء الوحده وذلك بتثبيت الضغط عند أي نقطه من نقط منحنى أداء الوحده ومضاعفة التصرف بنسبة عدد الوحدات $Q_t = n_p \cdot Q_p$ ولإيجاد نقطة تشغيل مجموعته متصله على التوازي في خط أنابيب، نرسم منحنى أداء المجموعه ومنحنى خط الأنابيب ونوجد نقطة التقاطع، في الشكل (٢-٥٥) الموضح نجد أن نقطة التشغيل (B) للمجموعه يكون عندها التصرف والضغط أكبر من التصرف والضغط عند نقطة تشغيل واحدة (A) في الخط.

$$Q_B > Q_A \quad H_B > H_A$$

نقطه (C) تمثل نقطه تشغيل مضخة واحدة تعمل ضمن مجموعته مكونه من مضختين متصلتين على التوازي.

$$Q_B = 2 Q_C$$

$$H_B = H_C$$

ولحساب قدرة تشغيل مجموعته متصله على التوازي:

$$shp_{total} = n_p \frac{\gamma Q_p H_p}{\eta_p}$$

$$shp_{total} = 2 \frac{\gamma Q_C H_C}{\eta_C}$$

$$Q_p = \frac{Q_t}{n_p}$$

$$Q_C = \frac{Q_B}{2}$$

نقطه التشغيل عندما تعمل مضخة واحدة فقط في الخط $Q_{max} = Q_A$

نقطه التشغيل عندما تعمل المضخات على التوازي في الخط $Q_{max} = Q_B$

مثال:

مضخة منحنى أدائها (فرضا لتبسيط الحل) $H_m = 20 - 2Q$ ، حيث Q (m^3/hr) والفواقد في خط الأنابيب تتبع العلاقة الآتية والرافع الإستاتيكي 0.5 . أوجد جبريا وتخطيطيا نقطة التشغيل في الحالات الآتية:

- ١ - تشغيل مضخة واحدة في الخط.
- ٢ - تشغيل مضختين على التوالي في الخط.
- ٣ - تشغيل مضختين على التوازي في الخط.

الحل:

$$H_p = 20 - 2Q \quad \text{معادلة أداء مضخة واحدة}$$

$$H_m = 5 + 0.5Q \quad \text{معادلة خط الأنابيب}$$

١ - في حالة تشغيل مضخة واحدة في الخط:

نحصل على نقطة التشغيل وهي نقطة التقاطع بين منحنى خط الأنابيب ومنحنى أداء المضخة أى نحل المعادلتين معا جبريا فنحصل على نقطة التشغيل وهي التي تعطى أقصى تصرف في الخط أيضا.

$$20 - 2Q = 5 + 0.5Q$$

$$\therefore Q = 6 m^3/hr$$

بالتعويض في أي من المعادلتين ولتكن معادلة أداء المضخة عن $Q = 6$ نحصل

$$H_m = 20 - 2(6) = 8m \quad \text{على قيمة } H_m$$

$$Q = 6 m^3/hr \quad \& \quad H_m = 8 \quad \therefore \text{نقطة التشغيل هي}$$

٢- في حالة تشغيل مضختين على التوالي في الخط:

$$H_t = 2H_p \quad \text{معادلة أداء مضختين على التوالي}$$

$$= 2(20 - 2Q)$$

وبحل معادلة خط الأنابيب مع معادلة أداء المضختين على التوالي نحصل على نقطة التشغيل

$$5 + 0.5Q = 2(20 - 2Q)$$

$$Q = 7.7 \text{ m}^3 / \text{hr}$$

ثم بالتعويض في إحدى المعادلتين عن قيمة Q ولتكن معادلة المضختين على التوالي

$$H_t = 2(20 - 2(7.7))$$

$$= 8.8 \text{ m}$$

∴ نقطة التشغيل في حالة استخدام مضختين على التوالي هي:

$$Q = 7.7 \text{ m}^3 / \text{hr} \quad \& \quad H_t = 8.8 \text{ m}$$

وفي هذه الحالة فإن الضاغط الذي تعطيه المضخة الواحد في الخط هو

$$4.4 = \frac{8.8}{2} \quad \text{عند تصرف } 7.7 \text{ متر مكعب/ساعة.}$$

٣- في حالة تشغيل مضختين على التوازي:

$$Q_t = 2Q_p$$

$$H_p = 20 - 2Q_p$$

معادلة أداء مضخة واحد

$$\therefore Q_p = \frac{20 - H_p}{2}$$

$$Q_t = 2Q_p = 2 \left(\frac{20 - H_p}{2} \right) = 20 - H_p$$

وبحل المعادلتين. معادلة خط الأنابيب والمضختين

$$\therefore H_p = 20 - Q_i$$

$$5 + 0.5Q = 20 - Q$$

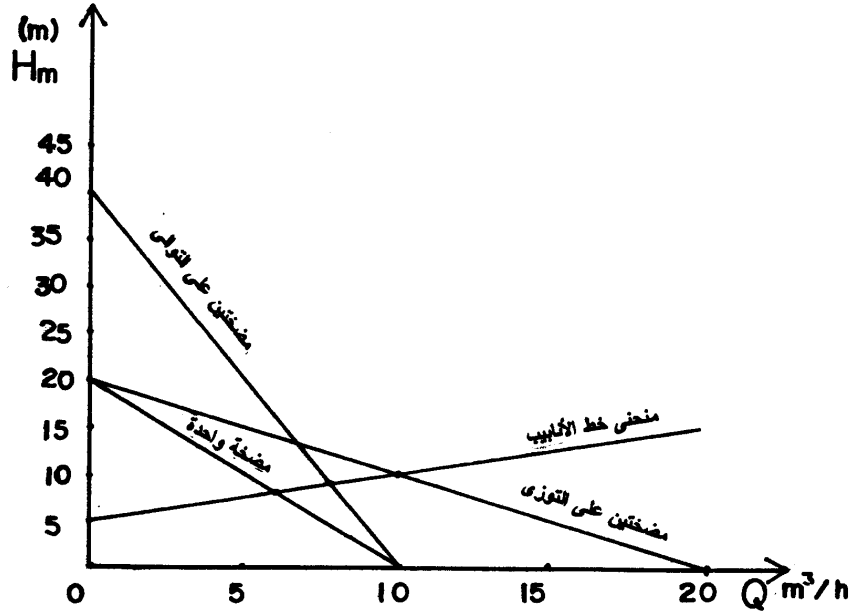
$$\therefore Q_i = 10 \text{ m}^3 / \text{hr}$$

\therefore نقطة التشغيل في حالة استخدام مضختين على التوازي هي

$$Q_i = 10 \text{ m}^3 / \text{hr} \quad \& \quad H = 20 - 10 = 10 \text{ m}$$

وفي هذه الحالة فإن التصريف الذي تعطيه المضخة الواحد في الخط هو

$$\frac{1}{2} \times 20 = 10 \text{ م}^3/\text{س عند ضاغط مقداره } 10.$$



مثال: مضخة منحنيات أدائها كما يلي:

| | | | | |
|--------------------|----|----|----|----|
| Q (l/s) | 0 | 10 | 20 | 30 |
| H _m (m) | 30 | 26 | 20 | 10 |
| η % | 0 | 60 | 80 | 68 |

عندما استخدمت هذه المضخة في خط أنابيب كان أقصى تصرف

٢٠ لتر/ث والرافع الإستاتيكي ١٥ متر. احسب:

١- التصرف في الخط إذا استخدمنا مضختين على التوازي ثم قارن قدرة العمود في الحالتين.

٢- إذا استخدمنا ٣ مضخات على التوازي كم يصبح التصرف وقدرة العمود الكلية.

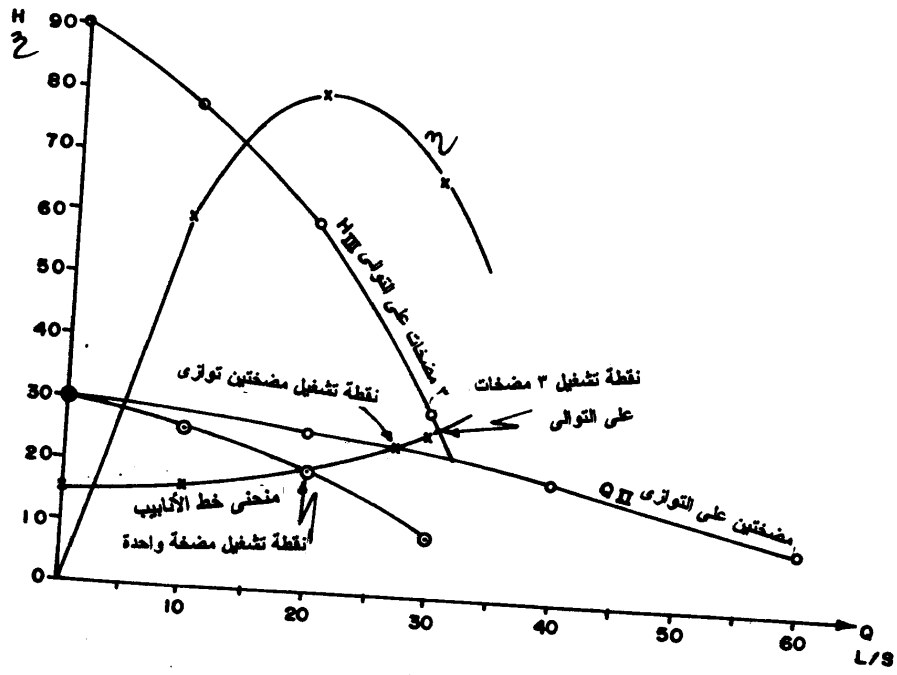
الحل:

| | | | | |
|----------------|----|----|----|----|
| Q | 0 | 10 | 20 | 30 |
| H | 30 | 26 | 20 | 10 |
| η | 0 | 60 | 80 | 68 |
| Q _n | 0 | 20 | 40 | 60 |
| Q _m | 90 | 78 | 60 | 30 |

قدرة العمود المطلوبه في حالة استعمال المضخة الواحده في الخط

$$shp_1 = \frac{\gamma Q_p H_p}{\eta} = \frac{1000 \times \frac{20}{1000} \times 20}{0.80 \times 75}$$

$$H_m = H_s + K Q^2 \quad \text{منحنى الأنبوبة} \quad 20 = 15 + K (20)^2 \quad \therefore K = \frac{5}{(20)^2}$$



$$\therefore H_m = 15 + 5 \left(\frac{Q}{20} \right)^2$$

معادلة منحنى خط الأنابيب

بالتعويض في منحنى خط الأنابيب

| | | | | |
|----------------|----|-------|----|-------|
| Q | 0 | 10 | 20 | 30 |
| H _m | 15 | 16.25 | 20 | 26.25 |

من تقاطع منحنى خط الأنابيب مع منحنى مضختين على التوازي نحصل

$$Q_n = 27 \text{ l/s}$$

$$Q_i = \frac{27}{2} = 13.5 \text{ l/s} = \frac{\text{تصرف الخط}}{\text{عدد المضخات}}$$

ومن منحنى أداء المضخة الواحد عند تصرف ١٣,٥ لتر/ث يكون الضاغط

$$24 \text{ متر والكفاءة } 72\%$$

$$\therefore \text{ قدرة العمود المطلوبه للخط } shp_{II} = 2 \times \frac{13.5 \times 24}{0.72 \times 75} = 12 \text{ hp}$$

نقطة تشغيل ٣ مضخات على التوالي هي ٣١ لتر/ث وضاغط ٢٨ متر

$$\therefore \text{ ضاغط المضخة الواحد } = \frac{28}{3} \text{ متر وتصرف الخط هو التصرف الذى يمر}$$

بالمضخة الواحد ٣١ لتر/ث

قدرة العمود المطلوبه للخط.

$$shp_{III} = 3 \times \frac{31 \times \frac{28}{3}}{0.66 \times 75} = 17.5 \text{ hp}$$

مثال على إيجاد نقطة التشغيل فى حالة توصيل المضخات على التوالي والتوازي:

تعمل مضختان متماثلتان فى تغذية خط أنابيب بالماء تحت ضاغط

أستاتيكي ٤٤ متر. والعلاقة بين تصرف المضخة والضاغط الذى تعطيه هي

$$H = 128 + 14Q - 108Q^2 \text{ حيث } Q \text{ التصرف م}^3/\text{ث، } H \text{ الضاغط بالمتر ويبلغ}$$

طول خط الأنابيب ٨٦٥ متر وقطره ٠,٦ متر ومعامل الاحتكاك ٠,٠١٨ احسب

التصرف فى خط الأنابيب إذا وصلت المضختين على التوالي ثم احسب أيضاً إذا

وصلت المضختين على التوازي.

الحل:

$$H_f = \frac{fL V_2}{d 2g} = \frac{8 fL Q^2}{\pi^2 d^5 g}$$

$$H_f = \frac{8 \times 0.018 \times 865 Q^2}{\pi^2 (0.6)^2 \times 9.8} = 16.56 Q^2$$

وبذلك تصبح معادلة خط الأنابيب بعد إضافة الضغوط الاستاتيكي

$$H = 44 + 16.6 Q^2$$

في حالة توصيل المضختان على التوالي

$$2(128 + 14Q - 108 Q^2) = 44 + 16.6 Q^2$$

$$232.6 Q^2 - 28 Q - 212 = 0$$

$$Q = \frac{28 \pm \sqrt{28^2 - 4(232.6)(-212)}}{2 \times 232.6}$$

$$Q = \frac{28 \pm 445}{465.2} = 1.02 m^3 / s$$

في حالة توصيل المضختان على التوازي

$$128 + \frac{14Q}{2} - 108 \left(\frac{Q}{2} \right)^2 = 16.6 Q^2 + 44$$

$$43 Q^2 - 7 Q - 84 = 0$$

وبالمثل بحل المعادلة من الدرجة الثانية ورفض الجذر السالب فإن

$$Q = 1.49 m^3 / s$$

مثال على إيجاد نقطة تشغيل المضخة عند سرعات دوران مختلفة:

مضخة طاردة مركزية تدار على سرعة ١٠٠٠ لفة/ دقيقة بواسطة

محرك ديزل وكانت العلاقة بين التصريف والضغوط كالآتي:

| | | | | | | |
|------------------------|------|------|------|------|------|------|
| Q(m ³ /min) | 0 | 4.5 | 9.0 | 13.5 | 18.0 | 22.5 |
| H(m) | 22.5 | 22.2 | 21.6 | 19.5 | 14.1 | 0 |

وكان طول خط الأنابيب ٦٩ متر وقطر أنابيب السحب والطرء ٣٠ سم وكان الضاغط الأسطوانى ١٥ متر وتضخ المياه فى الجو عند نهاية خط الطرد وكان فاقد الدخول يقدر بطول مكافئ من خط الأنابيب مقداره ٦ متر وعلى فرض أن معامل الاحتكاك يساوى ٠,٠٢٤ احسب التصريف الذى يمر فى خط الأنابيب وكذلك الضاغط الذى تعطيه المضخة. ثم إذا خفضت سرعة الدوران إلى ٨٥٠ لفة/دقيقة فارسم منحنى أداء المضخة فى هذه الحالة وأوجد نقطة التشغيل فى هذه الحالة.

الحل:

عند تخفيض سرعة دوران المضخة فإنه يمكن إيجاد منحنى أداء المضخة من قانون تشابه المضخات كالتالى:

$$\frac{Q_2}{Q_1} = \frac{N_2}{N_1} = \frac{850}{1000} \quad \therefore Q_2 = Q_1 \times 0.85$$

$$\frac{H_2}{H_1} = \left(\frac{N_2}{N_1} \right)^2 = \left(\frac{850}{1000} \right)^2 \quad \therefore H_2 = H_1 \times 0.722$$

وبالتعويض عن قيم أداء المضخة من الجدول المعطى نحصل على أداء المضخة عند سرعة ٨٥٠ لفة/دقيقة $N = 850 \text{ rpm}$

| | | | | | | |
|------------------------|------|-----|------|-------|------|------|
| Q(m ³ /min) | 0 | 3.8 | 7.65 | 11.47 | 15.3 | 19.1 |
| H(m) | 16.2 | 16 | 15.5 | 14 | 10 | 0.0 |

ولإيجاد منحنى الأنبوبة

$$H = H_{st} + H_f + \frac{V^2}{2g}$$

$$= 15 + \frac{V^2}{2g} \left[f \frac{L}{d} + 1 \right]$$

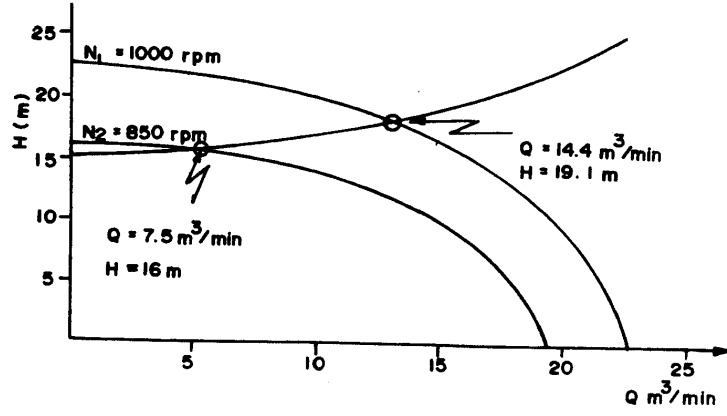
$$\begin{aligned}
&= 15 + \frac{Q^2}{2gA^2} \left[0.024 \frac{(69+6)}{0.30} + 1 \right] \\
&= 15 + \frac{Q^2}{\gamma \times 9.81 \times \left(\frac{\pi}{4} (0.30)^2 \right)^2} \left[0.024 \frac{75}{0.30} + 1 \right] \\
&H = 15 + 0.0198 Q^2
\end{aligned}$$

وبالتعويض عن عدة قيم للتصرف تحصل على القيم المقابلة للمضاط

لرسم منحنى الأنبوبة.

| | | | | | | |
|------------------------|----|------|------|------|------|------|
| Q(m ³ /min) | 0 | 4.5 | 9 | 13.5 | 18 | 22.5 |
| H(m) | 15 | 15.4 | 16.6 | 18.6 | 21.4 | 25 |

ثم نوقع كل من منحنى الأنبوبة ومنحنى أداء المضخة عند سرعة الدوران ١٠٠٠ لفة/دقيقة وعند سرعة الدوران ٨٥٠ لفة/دقيقة.



منحنى أداء المضخة ومنحنى الأنبوبة

الباب الثالث

مضخات الإزاحة الإيجابية

الباب الثالث

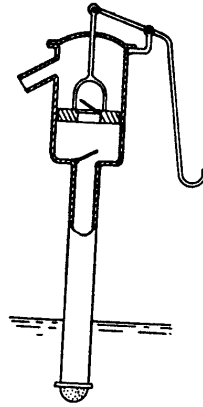
مضخات الإزاحة الإيجابية

٣-١- المضخات الترددية:

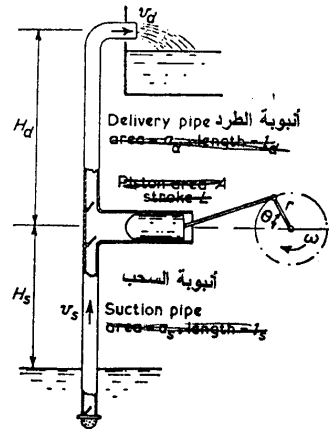
من المضخات الترددية المضخة الماصة الكابسة ومضخة الغشاء المرن.

٣-١-١- المضخة الماصة الكابسة اليدوية

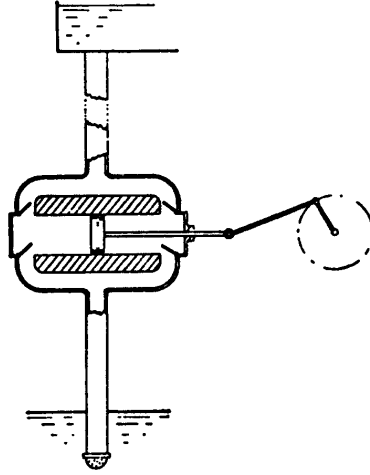
تتكون المضخة الماصة الكابسة (شكل ٣-١) من اسطوانة أو أكثر بكل منها مكبس يتحرك حركة ترددية داخل الأسطوانة عن طريق ذراع توصيل *Connecting rod* وذراع إدارة *Crank*، ومتصل برأس الأسطوانة أنابيب السحب والطرء عن طريق محابس عدم رجوع بحيث يفتح محبس السحب أثناء حركة المكبس إلى الخارج ويغلق أثناء حركة المكبس إلى الداخل وفي نفس الوقت يفتح محبس الطرد. والمضخة فردية أو أحادية الفعل *single acting pump* (شكل ٣-٢) هي التي يتصرف منها السائل خلال مشوار واحد من كل دوره. أما المضخة الثنائية أو المزدوجة الفعل *Double acting pump* (شكل ٣-٣) فهي التي يتصرف منها السائل خلال كل من مشواري الحركة من كل دوره وبذلك يكون التصرف الخارج من المضخة أكثر إنتظاماً.



شكل (١-٣): المضخة الماصة الكابسة اليدوية



شكل (٢-٣): مضخة ماصة كابسة ميكانيكية فردية الفعل



شكل (٣-٣): مضخة ترددية مزدوجة الفعل

حساب تصرف المضخة الماصة الكاسية:

حجم السائل الذي يدخل الأسطوانة أثناء مشوار السحب يطرد أثناء مشوار الطرد ويكون التصرف الذي تعطيه المضخة:

$$Discharge = Piston\ area \times stroke \times rev / sec. \times volumetric\ efficiency$$

$$Q = \frac{\pi}{4} D^2 \times S \times \frac{N}{60} \times \eta_{vol}$$

حيث:

D : قطر المكبس أو القطر الداخلي للأسطوانة.

$S = 2R$: طول مشوار المكبس.

N : سرعة الدوران لفة/دقيقة (rpm).

الكفاءة الحجمية = ١ - التسرب $\eta_{vol} = 1 - leakage$

نتيجة للتسرب من بين المكبس والأسطوانة وكذلك نتيجة لرجوع جزء من السائل إلى أنبوبة السحب قبل إغلاق محبس السحب في بداية مشوار الطرد فإن التصرف الفعلى من المضخة يكون أقل من التصرف النظرى وتسمى النسبة بينهما بالكفاءة الحجمية (η_{vol}) وتتراوح قيمتها بين ٠,٧ - ٠,٩٧.

$$\eta_{vol} = \frac{Q_{actual}}{Q_{ideal}}$$

فى حالة المضخة مزدوجة الفعل شكل (٣-٤ب) فإن التصرف يحسب كما يلى:

$$Q = \left[2 \left(\frac{\pi}{4} D^2 \right) - \frac{\pi}{4} d^2 \right] S \frac{N}{60} \eta_{vol}$$

$$Q = \frac{\pi}{4} (2D^2 - d^2) S \frac{N}{60} \eta_{vol}$$

حيث d : قطر ذراع التوصيل.

أما إذا كانت المضخة تتركب من عدة أسطوانات n وكانت المكابس تأخذ الحركة من عمود كرنك مشترك *Common Crank shaft* وتسمى المضخة *multiplex pump* فإن تصرف المضخة فى هذه الحالة يكون تصرف المكبس \times فى عدد المكابس:

$$Q = \frac{\pi}{4} D^3 S \frac{N}{60} \eta_{vol} \times n$$

حيث: n عدد المكابس

وتعرف المضخة الترددية بنسبة طول المشوار إلى قطر الأسطوانة

$c_{p.av}$ *average* سرعة المكبس المتوسطة $Stroke-boratio \left(\frac{S}{D} \right)$

$piston\ speed$ فعادة، كلما إرتفعت سرعة المكبس المتوسطة قلت نسبة المشوار

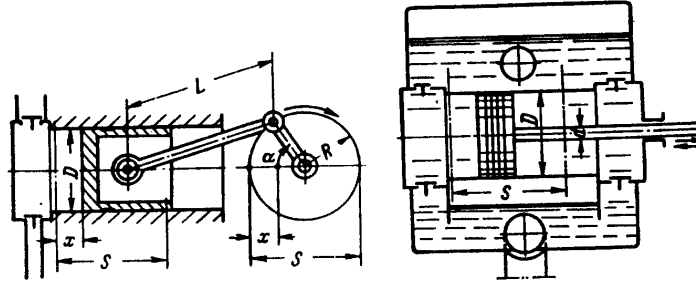
إلى قطر الأسطوانة وغالباً تكون $\frac{S}{D} = 0.8 \text{ to } 2, C_{p.av} = 0.5 \text{ to } 0.9 \text{ m/s}$

تذبذب التصرف في المضخات الترددية:

لنعتبر مضخة فردية الفعل كما في شكل (٣-١٤) فعند تحريك المكبس إلى

اليمين فإنه يقطع مسافة قدرها X حيث :

$$X = R - R \cos \theta$$



شكل (٣-١٤): طريقة عمل المضخات الترددية

حيث θ زاوية الكرنك *Crank angle* مقاسة من وضع المكبس أقصى اليسار وتكون السرعة المتغيرة لحركة المكبس V_{pst} هي:

$$V_{pst} = \frac{dx}{dt} = \frac{d}{dt} (R - R \cos \theta) = R \sin \theta \frac{d\theta}{dt}$$

ولكن $\frac{d\theta}{dt} = \omega$ هي السرعة الزاوية لعمود الكرنك angular velocity

$$\therefore V_{pst} = R \omega \sin \theta \quad (1)$$

وتكون العجلة لحركة المكبس *Piston acceleration* a_{pst}

$$a_{pst} = \frac{d v_{pst}}{dt} = R \omega \cos \theta \frac{d\theta}{dt}$$

$$a_{pst} = R \omega^2 \cos \theta \quad (2)$$

ومن هذا يتضح أن العجلة للمكبس تتغير مع زاوية الكرنك تبعاً لجيب تمام الزاوية ومن المعادلة (١) ، (٢) يمكن بيان أن:

| | | |
|------------------------|----------------------|-------------------------|
| @ $\theta = 0$ | $v_{pst} = 0$ | $a_{pst} = R \omega^2$ |
| @ $\theta = 90^\circ$ | $v_{pst} = R \omega$ | $a_{pst} = 0$ |
| @ $\theta = 180^\circ$ | $v_{pst} = 0$ | $a_{pst} = -R \omega^2$ |

والعلاقة بين التصرف وسرعة المكبس هي:

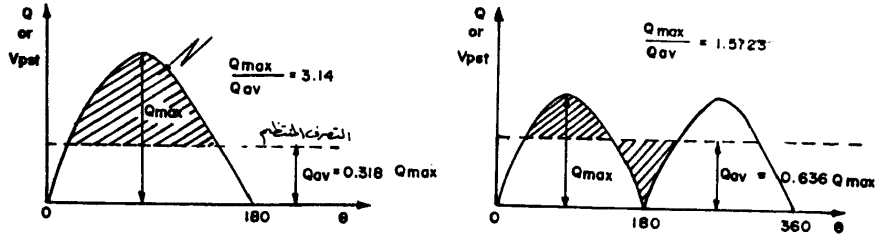
$$Q = \text{piston speed} \times \text{piston area}$$

$$= V_{pst} \times A_{pst}$$

$$= (R \omega \sin \theta) \left(\frac{\pi D^2}{4} \right) = \frac{\pi}{4} D^2 R \omega \sin \theta$$

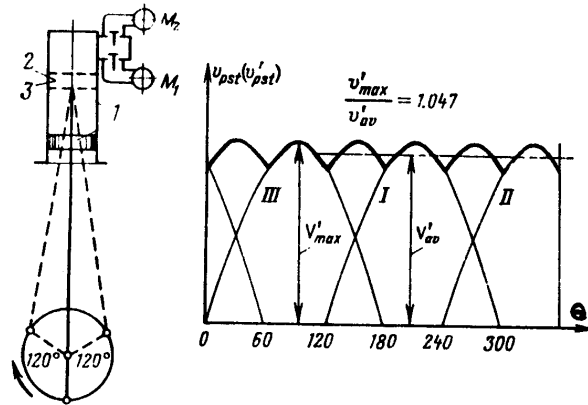
ومن ذلك يتضح أن سرعة المكبس والتصرف يتبع جيب زاوية الكرنك

ويمكن تمثيل هذه المعادلة بيانياً كالآتي شكل (٣-٥):



شكل (٣-٦): العلاقة بين التصرف وزاوية الكرنك

ويتضح من المعادلة رقم ٢ أن قوى القصور الذاتي $Inertia\ force = ma$ تصل إلى ذروتها عندما تصل عجلة المكبس إلى قيمتها العظمى عند كل من النقطة الميتة العليا والنقطة الميتة السفلى للمكبس والتي يغير فيها المكبس اتجاه حركته. فكما في المعادلة رقم ٢ فإن قوى القصور الذاتي تتناسب مع عجلة المكبس والتي بدورها تتناسب مع مربع السرعة الزاوية (ω) لعمود المضخة. ولهذا فإن عند السرعات العالية لعمود المضخة فإن قوى القصور الذاتي قد تصل إلى قيمة كبيرة تسبب عدم إستمرارية التصرف وتمنع التشغيل العادى للمضخة. ومالم نستخدم وسيلة لمنع النبضات أو الدفعات فى السحب والطرء فإن التصرف فى المضخة سوف يتسم بعدم الإنتظام وإحدى الوسائل ذات الكفاءة العالية فى القضاء على تذبذب التصرف هى إستعمال أكثر من اسطوانة متصلة على التوازي بحيث تكون المكابس متصلة بعمود كرنك واحد وقد لوحظ أن الأعداد الفردية للإسطوانات تعطي تصرف أكثر إنتظاما من الأعداد الزوجية، فلنعتبر المثال الذى فيه ثلاثة اسطوانات متصلة بعمود كرنك واحد بحيث تكون مرتبة على عمود الكرنك بزاوية $\frac{360}{3} = 120^\circ$ كما فى شكل (٣-٦):



شكل (٦-٣): مضخة فردية الفعل ذات ثلاثة أسطوانات

فإذا استخدمت أكثر من إسطوانة فإنها تعمل بالتبادل بمعنى أنه أثناء مشوار سحب الإسطوانة الأولى تكون الثانية في مشوار طرد وهكذا. وإذا كانت المضخة ذات إسطوانة واحدة أو أسطوانتين يكون التصرف الخارج غير منتظم مع الزمن كما يتضح من الشكل، إذ أنه يتبع حركة المكبس التوافقية البسيطة حيث تبدأ حركة المكبس في بداية المشوار بسرعة صفر تتزايد مع الزمن لتصل إلى أقصى قيمة في منتصف المشوار ثم تعود إلى التناقص حتى تصل إلى الصفر في نهاية مشوار الطرد. ويكون التصرف صفراً أثناء مشوار السحب إذا كانت المضخة ذات إسطوانة واحدة، لذلك يستخدم في هذه الحالة غرفة هواء *air chamber or vessel* (شكل ٧-٣) بها هواء مضغوط أو نيتروجين خامل بحيث يختزن جزء من السائل بها تحت ضغط مرتفع أثناء مشوار الطرد ثم يتم تصريفه أثناء مشوار السحب وهكذا مما يجعل التصرف أكثر انتظاماً. وبذلك تكون الطريقة الثانية للحصول على تصرف منتظم (منع التذبذب في التصرف)

هى إستعمال غرفة الهواء حيث أن الطريقة الأولى هى استخدام أكثر من إسطوانة.

يوضح القانون العام للغازات نظرية عمل غرفة الهواء

$$P \forall = constant$$

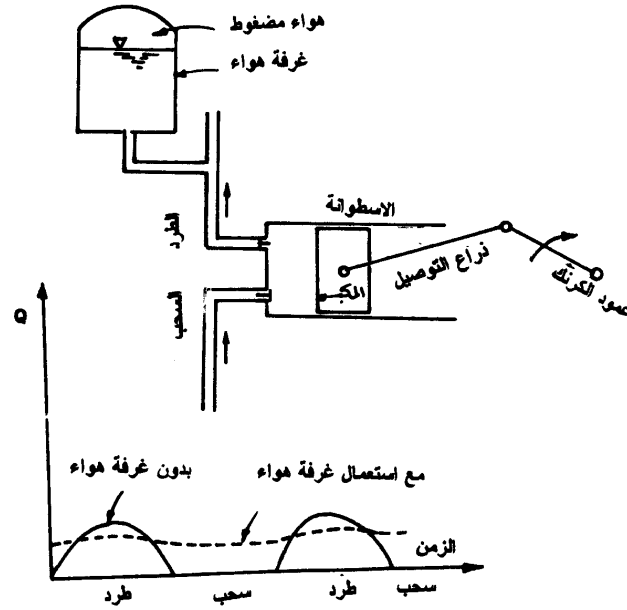
حيث \forall : حجم وزن معلوم من الهواء داخل غرفة الهواء .

P : ضغط الهواء داخل غرفة الهواء .

وعند إعتبار الحالتين لغرفة الهواء أى فى أثناء مشوار السحب وأثناء

مشوار الطرد فإن:

$$P_{max} \cdot \forall_{min} = P_{min} \cdot \forall_{max}$$



شكل (٧-٣): إضافة غرفة هواء فى المضخات الترددية

التحكم فى تصرف المضخة الماصة الكابسة:

من معادلة التصرف فى المضخة الماصة الكابسة نجد أن التصرف يعتمد على D, S, N, η_{vol} وحيث أنه من غير العملى تغيير D وأيضا نادرا ما يمكن التحكم فى η_{vol} فإن التحكم فى التصرف يمكن أن يتم عن طريق تغيير S, N .

١ - تغيير S طول المشوار:

حيث أن $S = 2R$ ، بأنه يمكن التحكم فى R لإعطاء التصرف المطلوب.

٢ - التحكم فى سرعة الدوران N :

قد يمكن التحكم فى سرعة الدوران (شكل ٣-٨) للتحكم فى التصرف عن طريق إستخدام محرك ذو سرعات دوران متغيرة أو استعمال صندوق تروس لتغيير السرعات.

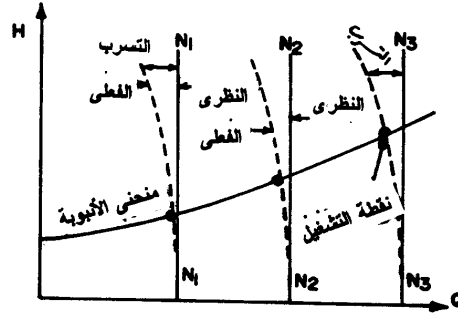
$$N_3 > N_2 > N_1$$

٣ - إستخدام أنبوبة رجوع من الطرد إلى السحب *bypass*:

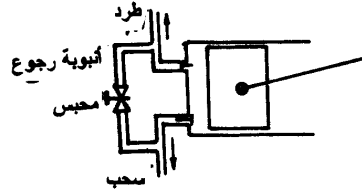
كما هو موضح بالشكل (٣-٩) وبها محبس عند إغلاقه تماما يمر تصرف المضخة بالكامل فى ماسورة الطرد وإذا فتح المحبس جزئيا يعود جزء من التصرف إلى جانب الطرد وبالطبع تستخدم هذه الطريقة لتقليل التصرف ولا تصلح لزيادة التصرف، وعيب هذه الطريقة فاقد الطاقة الذى لا نستفيد منه بالنسبة للجزء الراجع إلى أنبوبة السحب.

تعطى المضخة الماصة الكابسة أكبر تصرف بالنسبة لباقي أنواع المضخات الإيجابية ولكن أقل من تصرف مضخات الضغط الديناميكي حيث أن سرعة الدوران وحجم الأسطوانة لا يمكن زيادته لتجنب قوى القصور الذاتى. وتستخدم هذه المضخات فى الأغراض الصناعية التى تتطلب ضغط مرتفع وتصرف قليل قبل المكابس ومضخات تغذية الغلايات فى محطات توليد القوى

الكهربية وفي التطبيقات الزراعية مثل موتورات رش المبيدات وفي حقن الأسمدة في مياه الري وأيضا في رفع المياه الأرضية وخاصة بغرض الشرب.



شكل (٣-٨): التحكم في تصرف المضخة عن طريق تغيير السرعات

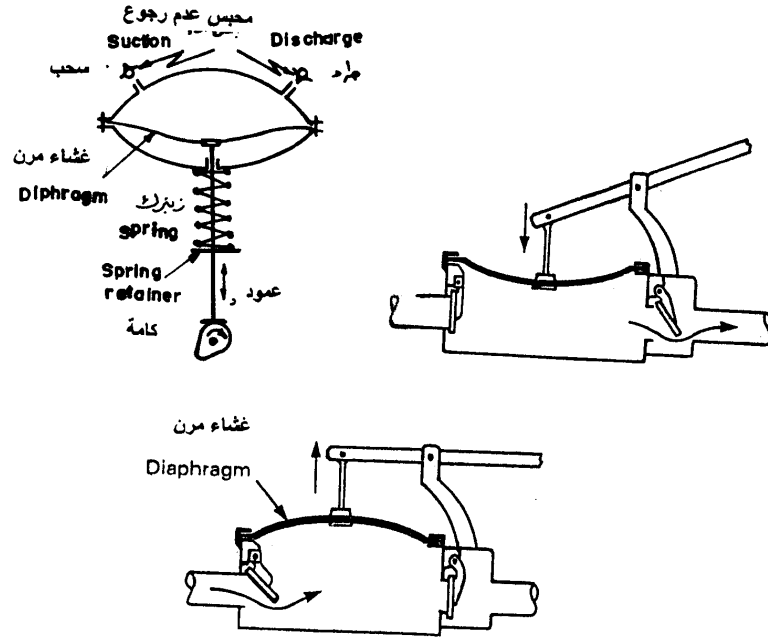


شكل (٣-٩): التحكم في التصرف عن طريق استخدام أنبوبة رجوع

٢- مضخة الغشاء المرن : Diaphragm Pump

تتكون هذه المضخة كما يوضح شكل (٣-١٠) من جزئين يثبتان معا بمسامير وبينهما غشاء مرن يتحرك حركة ترددية عن طريق عمود وكامة وزنبرك لضمان ملاسة العمود للكامة.

الإستخدام: تستخدم فى الحالات التى يكون فيها الضغط المطلوب منخفض ومن المهم عدم وجود تسرب كما هو الحال فى نقل أنواع الوقود سريعة الإشتعال وكذلك الكيماويات السامة والتى تتفاعل مع المعادن بشدة وتستخدم فى معظم أنواع السيارات لنقل البنزين من التانك إلى الكاربوراتور.



شكل (٣-١٠): مضخة الغشاء المرن

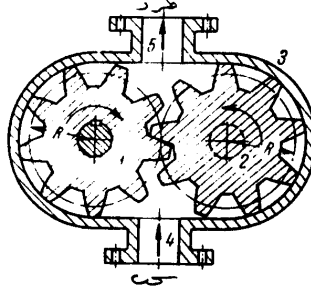
مميزاتها: منخفضة التكاليف نسبيا ولا تحتاج إلى صيانة (صيانتها قليلة جدا)
والتسرب فيها يساوى صفرا ولها القدرة على ضخ السوائل العالقة *Slurries*
والكيماويات القارضة *Corrosive chemicals*.
عيوبها: ضغطها محدود نسبيا من ٨ إلى ١٠ بار وتصرفها محدود من ٤٠ إلى
٦٠ لتر/ساعة.

٢-٣ - المضخات الدورانية Rotary Pumps:

١-٢-٣ - المضخة الترسية Gear Pump :

يوضح الشكل (٣-١١) رسم تخطيطي لتصميم المضخة الترسية وهي
عبارة عن ترسين ١ , ٢ معشقين يدوران داخل غلاف ٣. أحد هذه التروس قائد
(drive) رقم ١ ومتصل بعمود الإدارة والترس الآخر ٢ منقاد (driven). أو
عاطل (idle). وعندما تدور التروس حسب الاتجاه المبين بالأسهم فإن السائل
المحبوس *Trapped* بين أسنان الترس يتجه من غرفة السحب رقم ٤ إلى غرفة
الطرد رقم ٥ حيث أن السائل يدفع من الفراغات بين الأسنان عند تعشيق الترسين
ببعضهما. والترسان يكونان من نفس المقاس أو متطابقان *Same Size*.

ولا تستخدم هذه المضخة إلا لنقل الزيوت حتى تكون ذاتية التزييت
ويكون التسرب من جانب الطرد إلى جانب السحب أقل ما يمكن نتيجة لزوجة
الزيت الكبيرة. ويستخدم هذا النوع عادة في السيارات لنقل الزيت من خزان
الزيت (الكرتير) إلى الأجزاء المتحركة التي تحتاج لتزييت. ويلاحظ أن الخلوص
بين التروس والغلاف يجب أن يكون صغيرا جدا لتقليل التسرب، وإذا زاد هذا
الخلوص تقل الكفاءة الحجمية والتصرف والضغط المانومتري للمضخة بصورة
واضحة.



شكل (٣-١١): المضخة الترسية

وكما فى شكل (٣-١٢) المقابل فإن التسرب يحدث أيضا بطريقة أخرى حيث أن جزء من السائل فى فراغات السن f يعود إلى غرفة السحب أى أن التسرب يحدث من جهة الطرد إلى جهة السحب. ونتيجة التسرب تصل الكفاءة الحجمية إلى من ٧٠ إلى ٩٠٪. وتعطى هذه المضخة ضغوط مرتفعة وتصرفات متوسطة بالنسبة لباقي المضخات الإيجابية (تصرفات أكبر من مضخة الغشاء المرنة وأقل من الماصة الكابسة) ويشيع إستخدامها لدفع الزيت فى الإسطوانات الهيدروليكية بصفة عامة مثل المكابس والروافع والأوناش الهيدروليكية. ويحسب تصرف المضخة الترسية كالتالى:

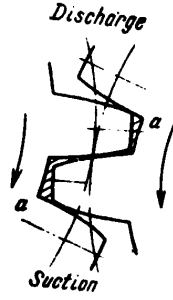
$$Q = 2al n \frac{N}{60} \eta_{vol}$$

حيث : a = مساحة الفراغ بين سنتين من أسنان الترس.

l = عرض الترس.

n = عدد أسنان الترس الواحد.

N = السرعة الدورانية للترس (لفة/دقيقة) rpm.



شكل (٣-١٢): هروب جزء من السائل من ناحية الطرد إلى ناحية السحب

حيث أن حجم فراغات الترس الواحد aln

توجد حجم الفراغات في الترس الواحد عمليا بوضع الترس في مخبر مدرج بها سائل بعد سد فتحة عمود الإدارة فيكون حجم السائل المزاح مساوى للحجم الفعلى للترس. وبحساب حجم الترس لو كان مصمما من المعادلة:

$$V_{solid} = \frac{\pi}{4} D^2 l$$

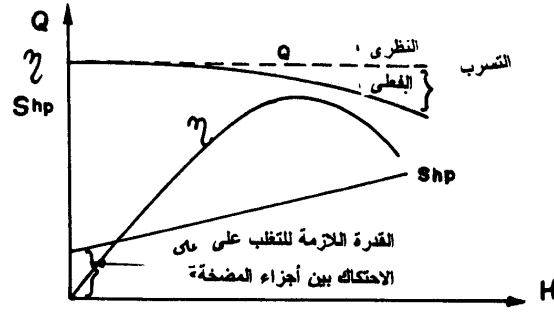
حيث D = القطر الخارجى للترس.

فإنه يمكن حساب حجم الفراغات في الترس بحساب الفرق بين حجم

$$aln = V_{solid} - V_{actual} \quad \text{الترس المصمت وحجمه الفعلى}$$

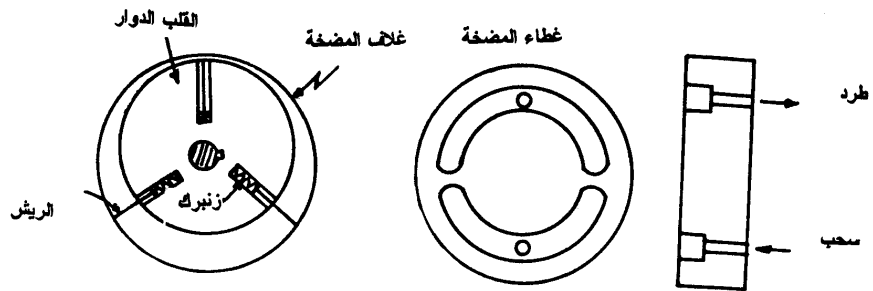
ونلاحظ أنه عند عكس إتجاه دوران التروس ينعكس إتجاه السريان في خطوط الأنابيب المتصلة بالمضخة (Reversibility). ويلاحظ أيضا أن طريقة تغيير التصرف تتم إما عن طريق إستخدام خط رجوع أو تغيير سرعة الدوران. ومنحنيات أداء المضخة الترسية كما بالشكل (٣-١٣)

ملحوظة: جميع أنواع المضخات الإيجابية ينطبق عليها هذه المنحنيات للأداء .



شكل (٣-١٣): منحنيات أداء المضخة الترسية

٣-٢-٢ - مضخة الريش Vane Pump:



شكل (٣-١٤): طريقة عمل مضخة الريش

تتكون مضخة الريش كما فى الشكل رقم (٣-١٤) من غلاف خاجى مستدير وقلب دوار عبارة عن قرص مستدير به شقوق فى إتجاه نصف القطر تتحرك داخلها ريش ذات سمك صغير بحيث تظل دائما ملامسة للغلاف الخارجى. ويكون مركز القلب الدوار غير منطبق على مركز الغلاف. لضمان ملامسة الريش للغلاف يوضع خلفها زنبركات داخل الشقوق أو تعتمد على القوة الطاردة المركزية فى حالة السرعات العالية للدوران، أثناء دوران القلب الدوار نجد أن حجم الفراغ بين أى ريشتين يتعرض للزيادة أو النقصان حسب وضعهما فى الغلاف لذلك تتم عملية السحب أثناء نصف الدورة وعملية الطرد أثناء النصف الآخر لذلك تصنع بالغطاء مجارى للسحب والطرد على شكل نصف دائرة تقريبا كما فى الشكل.

يستخدم هذا النوع من المضخات أيضا للزيوت لضمان تزييت كافى للريش داخل الشقوق ولنقط تلامسها مع الغلاف لمنع التآكل وتعطى تصرفات وضغوط مقاربة لمضخة التروس وتستخدم لنفس الأغراض.

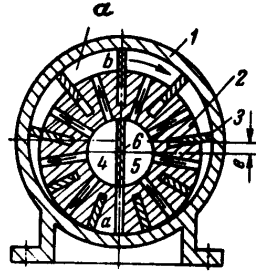
ويوجد هناك نوعان من مضخات الريش والنوع الأول وهو مبين بالشكل (٣-١٥) وهو ذو تغذية خارجية *external Supply* ويتركب من قلب (٢) يدور داخل الغلاف (١) وتتحرك الريش (٣) *Vane* أو *Gates* قطريا فى شقوق داخل القلب. ويوضع الغلاف من الداخل بحيث أن غرفة السحب (٤) يفصلها عن غرفة الطرد (٥) الريش والسطح الأسطوانى المحكم *Ab* , *cd*. وللتشغيل العادى للمضخة يجب ألا يقل طول الوتر *Ah* والوتر *cd* عن طول المسافة بين الريش وبعضها، فعندما يدور القلب فإن السائل ينحسر (ينحبس) نتيجة اللامركزية بين

الغلاف والقلب الدوار (e) فى الفراغ (a) بين الريش وينتقل هذا الحجم من السائل من جهة السحب إلى جهة الطرد.

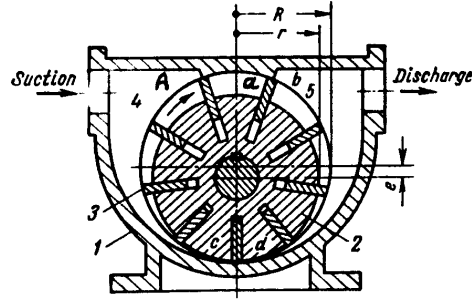
والنوع الثانى من هذه المضخات مبين فى شكل (٣-١٦) وهو ذو تغذية داخلية *internal supply* وهذا النوع بتشابه مع النوع الأول ولكن يختلف عنه فى طريقة السحب والطرد فقط، فهو يتكون من الغلاف (١) والقلب الدوار (٢) والريش (٣). حيث يسحب السائل ويضخ من فتحة محورية فى القلب الدوار وتقسّم هذه الفتحة إلى غرفتين واحدة للسحب (٤) والأخرى للطرد (٥) بواسطة حائط محكم (٦).

وحجم السائل المنصرف بين زوج من الريش فى الفتحة الواحدة من عمود الإدارة هو $a.l$ ويحسب التصرف كالآتى:

$$Q = a.l.n \frac{N}{60} \eta$$



شكل (٣-١٥): مضخة ريش ذات تغذية داخلية



شكل (٣-١٦): مضخة ريش ذات تغذية خارجية

حيث n : عدد الريش.

l : عرض الريشة.

a : مساحة الفراغ بين ريشتين متجاورتين.

N : عدد اللفات (لفة/الدقيقة) rpm .

وتتراوح الكفاءة الحجمية η_{vol} بين ٠,٩٤ إلى ٠,٩٨ نتيجة التسرب من الخلوصات من جانب الطرد إلى جانب السحب .

عند عكس إتجاه الدوران فى النوعين السابقين من المضخات الريشية ينعكس إتجاه السريان (*reversible*). أما إذا كان السائل مندفع بضغط ابتدائى عند دخول المضخة وفتحة السحب فإن ذلك يتحول إلى عزم دوران على عمود الإدارة (*convertible*).

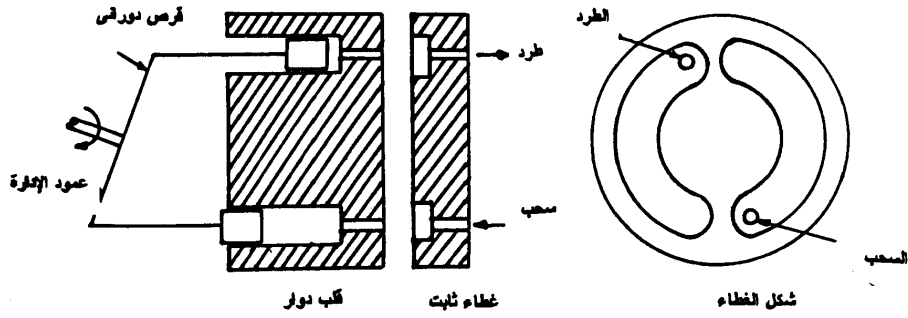
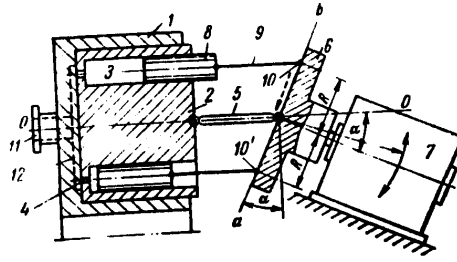
ويمكن تغيير التصرف في هذه المضخة عن طريق إحدى الطرق الآتية:

- ١- خط رجوع من جهة الطرد إلى جهة السحب.
- ٢- تغيير السرعة الدورانية N .
- ٣- تغيير مقدار اللامركزية e eccentricity بين القلب الدوار والغلاف (لاحظ أنه إذا كان مركز القلب بنطبق على مركز الغلاف أى أن $e = 0$ فإن التصرف $Q = 0$ أيضا).

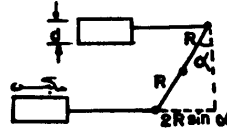
٣-٢-٣ مضخة الأسطوانات الدورانية Rotary Piston Pumps:

تنقسم هذه المضخات إلى مجموعتين الأولى مضخة الأسطوانات المحورية Radial كما في شكل (٣-١٧)، والأخرى مضخة الأسطوانات القطرية Radial كما في شكل (٣-١٧). والقلب الدوار (٢) يدخل بإحكام داخل الغلاف الثابت (١) ويدور بحرية داخلية حول المحور 0-0 كما في شكل (٣-١٧). وداخل القلب الدوار (٢) يوجد إسطوانات (٣) محورها موازى لمحور الدوران 0-0 ومن هنا يطلق على هذه المضخة أيضا " مضخة الإسطوانات المتوازية ". وتتصل رأس الإسطوانات (٣) بفتحات تغذية (٤). ويتصل القلب الدوار (٢) بالقرص المائل (٦) المتصل بعمود المحرك الكهربى (٧) عن طريق عمود مفصلى (٥) *universal joint shaft* وتتصل المكابس (٨) بالقرص الدوار المائل (٦) عن طريق ذراع توصيل (٩). فعندما يدور القرص (٦) والقلب (٢) فإن المفاصل ١٠، ١٠ ترسم دائرة فى مستوى ab والذى يميل بزاوية α على مستوى الدوران. وهكذا تتحرك المكابس (٨) داخل الإسطوانات (٣) مسافة محورية (المشوار) S تساوى

$$Stroke=S= 2R\sin\alpha$$



شكل (٣-١٧): مضخة الأسطوانة المحورية



وعندما يتحرك المفصل ١٠ إلى أعلى يتحرك المكبس إلى خارج
الأسطوانة محدثاً شوط السحب فيدخل السائل من الفتحة رقم (١١) ومنها إلى
المخرج رقم (١٢) إلى فتحة السحب في رأس الأسطوانة رقم (٤). أما مشوار

الطرد فيحدث عند تحرك المفصل ١٠ إلى أسفل فيتحرك المكبس إلى داخل الأسطوانة محدثاً شوط الطرد.

ويحسب التصرف من هذه المضخة كالتالي:

$$Q = \frac{\pi}{4} d^3 \sin \alpha \frac{N}{60} \eta_{vol}$$

$$Q = 2R \sin \alpha \frac{\pi}{4} d^3 n \frac{N}{60} \eta_{vol}$$

حيث d : قطر المكبس.

n : عدد الأسطوانات.

N : سرعة الدوران (لفة/الدقيقة).

η_{vol} : الكفاءة الحجمية وتساوى ٠,٩٧ لهذه المضخة.

ويلاحظ أن عكس إتجاه الدوران يعكس إتجاه السريان (*reversible*) فإذا دفع السائل من فتحة السحب تحت ضغط فإنه يدفع المكبس بقوة مما يتسبب في إدارة القرص رقم (٦) حيث تتحول مركبات القوى المماسية إلى عزم دوران *torque* على عمود القرص *Plate shaft*.

شكل رقم (٣-١٨) يوضح رسم تخطيطي لتصميم مضخة إسطوانية قطرية *radial piston pump* والإسطوانات القطرية (٢) في داخل القلب الدوار (١) تعمل كإسطوانات بداخلها مكابس (٣) ورأس هذه المكابس يلامس سطح الغلاف الداخلي (٤) ويعمل كدليل للمكابس ومركز لقلب الدوار (١) لا ينطبق على مركز الغلاف (٤) بمسافة لا مركزية قدرها e *eccentricity* . ويفصل الحائط رقم (٥) الموجود بدخل القلب الدوار إلى غرفتين واحدة للسحب وهي رقم (٦) والأخرى للطرد - رقم (٧) فعند يتحرك القلب الدوار في اتجاه عقرب

الساعة فإن المكابس تتحرك في القوس ab بعيدا عن المركز وبذلك تسحب السائل من غرفة السحب (٦). ويقدر طول مشوار المكبس S كالاتى:

$$Stroke = S = 2e$$

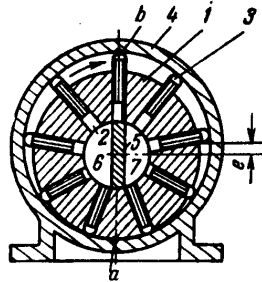


ويحسب التصرف كالاتى:

$$Q = \frac{\pi}{4} d^2 2e n \frac{N}{60} \eta_{vol}$$

η_{vol} : الكفاءة الحجمية وتساوى ٠,٩٧ لهذه المضخة.

وأىضا عند عكس إتجاه الدوران يعكس إتجاه السريان (*reversible*) وإذا دفع السائل للمضخة من فتحة السحب تحت ضغط فإنه يدفع المكابس بقوة مما يتسبب فى توليد عزم دوران على القلب الدوار ويسمى ذلك *convertible*: هذه المضخة تعطى ضغوط أعلى نسبيا من مضخة الريش والتروس وسعرها مرتفع وتستخدم للزيت فقط لتكون ذاتية التزييت.



شكل (٣-١٨): مضخة الأسطوانة القطرية

الباب الرابع

تكاليف تشغيل المضخات

الباب الرابع

تكاليف تشغيل المضخات

غالباً ما يطلب من المهندس مقارنة تكاليف الضخ لعدة أنواع من الطلمبات التي تدار بالكهرباء أو آلات الاحتراق الداخلى (محركات الديزل). وقد يتطلب الأمر أيضاً حساب تكاليف ضخ المياه لتحديد تكاليف الرى. والغرض من التعرض لهذا الموضوع هنا هو إلقاء الضوء على العوامل المختلفة التى يجب أخذها فى الاعتبار عند حساب تكاليف الضخ عند طرد الطلمبة وعند حساب تكاليف تشغيل المضخات يجب أولاً تحديد سعة المضخة وكمية المياه المطلوب ضخها.

حساب سعة المضخة:

لكى يتم حساب سعة المضخة يجب أولاً معرفة الإحتياجات المائية لعملية الضخ فإذا كانت منزلية يتم حساب الإحتياجات المائية المنزلية. وإذا كانت بغرض الرى يتم حساب الإحتياجات المائية للمحاصيل المطلوب زراعتها.

الاحتياجات المائية المنزلية

| | |
|-------------------------------|-------------|
| احتياجات الفرد لمختلف الأغراض | ٢٠٠ لتر/يوم |
| احتياجات الخيل أو المواشى | ٤٠ لتر/يوم |
| احتياجات البقرة الحلوب | ١٢٠ لتر/يوم |
| احتياجات الأغنام | ٦ لتر/يوم |
| احتياجات ١٠٠ فرخة | ٢٠ لتر/يوم |

| | |
|-------------------------------------|------------------------------|
| حنفية مياه شرب (سريان مستمر) | ١٥٠-٣٠٠ لتر/يوم |
| تصرف دش الحمام | ١ م ^٣ /س |
| تصرف حنفية حوض المطبخ | ٠,٥ - ١ م ^٣ /س |
| تصرف المراض | ١ م ^٣ /س |
| تصرف خرطوم بفوهة $\frac{1}{2}$ بوصة | ٠,٥ - ٠,٧٥ م ^٣ /س |
| تصرف خرطوم بفوهة $\frac{3}{4}$ بوصة | ١ م ^٣ /س |

الاحتياجات المائية للمحاصيل (الرى)

يمكن الحصول على الاحتياجات المائية للمزروعات المختلفة من الجداول المختلفة وذلك للوجه القبلى ومصر الوسطى والوجه البحرى كما فى الجدول (٤-١، ٤-٢، ٤-٣). وبوجه عام فإن الاحتياجات المائية تتراوح بين ٦-٩ مم/يوم أى حوالى ٢٥ م^٣ فدان/يوم إلى ٣٨ م^٣ فدان/يوم وذلك عند أقصى الاحتياجات وهى خلال أشهر يونيو ويوليو وأغسطس حيث الرقم ٦ مم/يوم للمناطق المعتدلة - ٩ مم/يوم للمناطق الصحراوية والحارة.

جدول (٤-١): الاحتياجات المائية النظرية لمنطقة مصر العليا (وجه قبلي) بالسنتيمترات

[illegible]

جدول (٤-١): الاحتياجات المائية النظرية لمنطقة مصر العليا (وجه قبلي) بالمستفيضة

| المحصول | يناير | فبراير | مارس | أبريل | مايو | يونيو | يوليو | أغسطس | سبتمبر | أكتوبر | نوفمبر | ديسمبر | الإجمالي |
|-------------|-------|--------|-------|-------|-------|-------|-------|-------|--------|--------|--------|--------|----------|
| حاصل صيفي | | ٥,٨١ | ١٢,٤٠ | ١٦,٤٠ | ١٤,٣١ | | | | | | | | ٤٨,٩٢ |
| حاصل نيلي | ١١,٤٠ | | | | | | | ٠ | | ٣,١٩ | ٦,٩٠ | ١١,٦٩ | ٣٣,١٨ |
| لوز (جذر) | | | | | | | | | | | | | |
| لوز (شتل) | | | | | | | | | | | | | |
| سمسم | | | | | ٤,٨١ | ١٦,٠٠ | ١٨,٨١ | ٨,٠٠ | | | | | ٤٧,٦١ |
| ذرة رقيقة | | | | | | ١٠,١٩ | ١٩,١٩ | ٢٢,٩٠ | ١٣,١٩ | | | | ٦٥,٤٦ |
| قوت صويا | | | | | | ١٦,٠٩ | ٢٦,٨٠ | ٥,٣١ | | | | | ٧٣,٣٩ |
| قصب سكر | ٨,٤٠ | ٩,٩٠ | ١٣,٦٩ | ٢٤,١٩ | ٢٦,١٩ | ٣٠,٤٠ | ٢٩,٥٩ | ٢٥,٠٠ | ٢٠,٠٩ | ١٣,٩٠ | ٩,٣١ | ٦,١٩ | ٢١٦,٨٤ |
| طماطم نيلي | ١١,٤٠ | | | | | | | | | ٣,١٩ | ٦,٩٠ | ١١,٦٩ | ٣٣,١٨ |
| طماطم صيفي | | ٥,٨١ | ١٢,٤٠ | ١٦,٤٠ | ١٤,٣١ | | | | | | | | ٤٨,٩٢ |
| طماطم شتوي | ٤,٥٠ | | | | | | | ١,٥٩ | ٧,٨١ | ١٠,٩٠ | ١٠,٩٠ | ٨,٥٩ | ٤٤,٣٠ |
| خضروات صيفي | | | | ٣,٤٠ | ٦,١٩ | ١٦,٥٩ | ١٠,٣١ | ٤,٨١ | ٤,٤٠ | ٤,٦٩ | ٢,٨١ | | ٥٥,٨٠ |
| خضروات نيلي | | | | | | | ٠,٦٠ | ٦,٦٩ | ١٠,٤٠ | ٨,٩٠ | ٧,١٩ | ٥,٠٩ | ٤١,٥٦ |
| خضروات شتوي | | ٧,٨١ | ١,٦٩ | ١,٤٠ | | | | ٠,٦٩ | ٥,٠٠ | ٩,٤٠ | ٨,٩٠ | ٦,٨١ | ٣٨,٣٠ |
| قمح | | ٧,٥٩ | ١٠,١٩ | ١١,٦٩ | | | | | | | ٢,١٩ | ٦,٩٠ | ٥٢,١٦ |

المصدر: وزارة الموارد المائية والري

جدول $(r - z)$:

| الوصف | الرجوع | ديسمبر | نوفمبر | الكمبر | سبتمبر | أغسطس | يولي | يونيو | مايو | أبريل | مارس | فبراير | يناير | المجموع |
|----------------|--------|--------|--------|--------|--------|-------|-------|-------|-------|-------|-------|--------|-------|---------|
| شعر | ٤٧,٦١ | ٥,٨١ | ١,١٠ | | | | | | ١,٦٩ | ١١,٥٩ | ١٣,٣١ | ٧,٨١ | ١,٣١ | |
| مواضع | ١٢٣,٥٢ | ٤,٨١ | ٦,٠٠ | ٩,٥٩ | ١٧,٠٠ | ١٤,٤٠ | ١٤,٩٠ | ١٤,٩٠ | ١٤,٣١ | ١٣,٤٠ | ٨,٤٠ | ٦,٠٠ | ٤,٨١ | |
| برسيم | ٦٧,٨٠ | ٦,١٩ | ٥,٥٠ | | | | | | ١٣,٠٩ | ١٥,٨١ | ١٢,٩٠ | ٨,٤٠ | ٥,٩٠ | |
| برسيم تحريش | ٢٦,٠٩ | ٦,١٩ | ٥,٥٩ | | | | | | | | | ٨,٤٠ | ٥,٩٠ | |
| قلن | ٨٤,٥٨ | | | | ٥,٠٠ | ١٠,١٩ | ٢١,٨١ | ١٩,٥٠ | ١٥,٧٨ | ٩,٣١ | ٣,٠٠ | | | |
| كلن | ٣٣,٤٩ | ٨,٠٠ | ٤,٥٠ | | | | | | | ٣,٥٠ | ٩,٠٠ | ٨,٥٠ | | |
| فلكية | ٩٨,٥٨ | | | ١٠,٨١ | ١٥,٦٩ | ١٦,١٩ | ١٤,٣١ | ١٢,٤٠ | ١١,٤٠ | ١٠,٦٩ | ٧,٠٩ | | | |
| مقاطعة الازراق | | | | | | | | | | | | | | |
| فرل سولاني | ٤٤,٤٩ | | | | | ٤,٥٠ | ١٢,٠٠ | ١٢,٥٠ | ١٠,٠٠ | ٥,٥٠ | | | | |
| فرل | ٣٧,٣٠ | ٥,٩٠ | ٣,٤٠ | | | | | | | ٢,٤٠ | ١١,٩٠ | ٧,١٩ | ٦,٥٠ | |
| عش | ٣٥,٨٠ | ٩,٠٠ | ٤,٨١ | ١,٤٠ | | | | | | ٣,٥٩ | ٨,٥٠ | ٨,٥٠ | | |
| نزة غلي | ٥٤,٩٩ | | ٢,٦٩ | ١٢,٥٩ | ١٧,٩٠ | ١٥,٨١ | ٦,٠٠ | | | | | | | |
| نزة صفى | ٦١,١٨ | | | | ٣,٥٠ | ١٦,١٩ | ٢٢,٤٠ | ١٥,١٩ | ٤,٩٠ | | | | | |
| بصل صفى | ٧٠,٤٩ | | | | ٦,٠٠ | ١٦,٥٠ | ١٧,٠٠ | ١٤,٠٠ | ١١,٠٠ | ٦,٠٠ | | | | |
| بصل شوى | ٤٠,٠٦ | ٥,١٩ | | | | | | | | ٧,٦٩ | ١٠,٩٠ | ٨,٥٩ | ٧,٦٩ | |

جدول (٤-٢): الاحتياجات المائية النظرية لمنطقة مصر الوسطى بالمنبتات

| المحمول | يناير | فبراير | مارس | أبريل | مايو | يونيو | يوليو | أغسطس | سبتمبر | أكتوبر | نوفمبر | ديسمبر | الإجمالي |
|-------------|-------|--------|-------|-------|-------|-------|-------|-------|--------|--------|--------|--------|----------|
| بطاطس صيفي | | ٥٠٠ | ١٠٨١ | ١٤٨١ | ١٤٠٠ | | | | | | | | ٤٤,٦١ |
| بطاطس نثلي | ٩٠٠ | | | | | | | | | ٧,٩٠ | ٥,٩٠ | ٩,٩٠ | ٢٧,٧١ |
| أرز (نادر) | | | | | ٣,٥٩ | ٢١,٤٠ | ٣٠,٦٨ | ٣٤,٦٨ | ٣٣,٩٠ | ٨,٨١ | | | ١٦٣,٠٦ |
| أرز (شغل) | | | | | ٠,٥٠ | ٣,٠٩ | ٣٠,٦٨ | ٣٤,٦٨ | ٣٣,٩٠ | ٨,٨١ | | | ١١١,٦٧ |
| سمسم | | | | | ٤,٥٩ | ١٥,٦٩ | ١٧,٨١ | ٢٢,٩٠ | ١٣,١٩ | | | | ٤٥,٥٩ |
| نرة رفيعة | | | | | | ١٠,١٩ | ١٩,١٩ | ٢٢,٩٠ | ٤,١٩ | | | | ٦٥,٤١ |
| فول صويا | | | | | ١٣,٦٩ | ٢٢,٥٠ | ٢١,١٩ | ٤,١٩ | | | | | ٦١,٥٦ |
| قصب سكر | ٤,٦٩ | ٧,٠٠ | ١٠,١٩ | ١٢,٣١ | ١٧,٠٩ | ١٨,٣١ | ٢٠,٥٠ | ٢٢,٥٩ | ٢١,٣١ | ١٦,٤٠ | ١٢,٩٠ | ٧,٤٠ | ١٧٠,٦٨ |
| طماطم نثلي | ٩,٠٠ | | | | | | | | | ٢,٩٠ | ٥,٩٠ | ٩,٩٠ | ٢٧,٧١ |
| طماطم صيفي | | | | | ١٤,٠٠ | | | | | | | | ٤٤,٦١ |
| طماطم شتوي | ٣,٦٩ | | | | | | | | ٦,٣١ | ٦,٩٠ | ١٠,٥٠ | ١٠,٠٩ | ٣٨,٦٨ |
| خضروات نثلي | | | ٠,٣١ | ١,٨١ | ٤,٠٩ | ٨,٠٠ | ١٠,٠٠ | ٥,١٩ | ٤,١٩ | ٤,٥٩ | ٢,٩٠ | ١,٨١ | ٤٤,٩٩ |
| خضروات شتوي | | | | | | ٠,٥٠ | ٧,٤٠ | ٦,١٩ | ٩,٠٩ | ٨,١٩ | ٦,٥٩ | ٤,٦٩ | ٣٨,١٦ |
| قمح | ٦,٣١ | ٧,٨١ | ١٣,٣١ | ١١,٥٩ | ١,٦٩ | | | | ٤,١٩ | ٨,٠٠ | ٨,٥٩ | ٦,٥٩ | ٣١,٧٨ |
| | | | | | | | | | | | ١,١٠ | ٥,٨١ | ٤٧,٦١ |

المصدر: وزارة الموارد المائية والري

جول (٤-٣): الاحتياجات المائية النظرية لمنطقة الدلتا (وجه بحري) بالسنتيمترات

[illegible]

| المحصول | يناير | فبراير | مارس | أبريل | مايو | يونيو | يوليو | أغسطس | سبتمبر | أكتوبر | نوفمبر | ديسمبر | الإجمالي |
|-------------|-------|--------|-------|-------|-------|-------|-------|-------|--------|--------|--------|--------|----------|
| بطاطس صيفي | | ٥,٠٠ | ٩,٨١ | ١٤,٨١ | ١٣,٨١ | | | | | | | | ٤٣,٤٢ |
| بطاطس شتوي | ٨,٣١ | | | | | | | | | ٢,٩٠ | ٥,٠٠ | ٨,٨١ | ٢٥,٠٢ |
| أرز (تدر) | | | | | | | | | | | | | |
| أرز (شقل) | | | | | | | | ٣٤,٦٨ | ٣٣,٩٠ | ٨,٨١ | | | ١٠٨,٠٧ |
| سمسم | | | | | ٤,٥٠ | ١٥,٠٠ | ١٦,٥٠ | ٧,٠٠ | | | | | ٤٢,٩٩ |
| فردة رقيقة | | | | | | | | | | | | | |
| فول صويا | | | | | | | | ٣,٥٩ | | | | | ٤٨,٠٩ |
| قصب سكر | ٤,٦٩ | ٧,٠٠ | ١٠,١٩ | ١٢,٣١ | ١٧,٠٩ | ١٩,٥٠ | ١٣,٩٠ | ٢٠,٥٠ | ٢١,٣١ | ١٦,٤٠ | ١٢,٩٠ | ٧,٤٠ | ١٧٠,٦٨ |
| طماطم شتوي | ٨,٣١ | | | | | | | | | ٢,٩٠ | ٥,٠٠ | ٨,٨١ | ٢٥,٠٢ |
| طماطم صيفي | | ٥,٠٠ | ٩,٨١ | ١٤,٨١ | ١٣,٨١ | | | * | | | | | ٤٣,٤٢ |
| طماطم شتوي | ٧,٦٩ | | | | | | | | ٢,٥٠ | ٨,٥٠ | ١٠,٠٩ | ٩,٨١ | |
| خضروات صيفي | | | | | | | | ٤,١٩ | ٤,٥٠ | ٢,٨١ | ١,٦٩ | | ٤٥,٤٠ |
| خضروات شتوي | | | | | | | | ٥,١٩ | ١٠,٠٠ | ٩,٣١ | ٦,٩٠ | ٤,٤٠ | ٣٨,٧١ |
| خضروات شتوي | ٥,١٩ | ٢,٩٠ | ١,٥٩ | ١,٣١ | | | | | ٢,٠٠ | ٦,٨١ | ٥,٤٠ | ٧,١٩ | ٣٢,٤٠ |
| فص | ٤,٢٨ | ٥,٥٠ | ٩,٥٩ | ١٠,٥٠ | ٢,٤٠ | | | | | | ٠,٦٩ | ٤,٤٠ | ٣٨,٣٧ |

المصدر: وزارة الموارد المائية والري

طريقة حساب سعة (تصرف) المضخة المستخدمة فى الري:

بعد معرفة الاحتياجات المائية للمحاصيل المطلوب زراعتها يمكن استخدام المعادلة التالية فى حالة توافر المياه باستمرار وعدم وجود مناوبات للري.

$$Q = \frac{4.2 ET_c \times A}{E_i \times H}$$

حيث:

Q : تصرف المضخة م^٣/س

ET_c : الاحتياجات المائية مم/يوم

A : المساحة المطلوب ريها بالفدان.

E_i : كفاءة الري وهى حوالى ٠,٥ - ٠,٦٠ فى الري بالغمر.

٠,٧٥ فى الري بالرش.

٠,٨٥ فى الري بالتنقيط.

H : عدد ساعات التشغيل اليومى للمضخة فى وقت أقصى الاحتياجات خلال

الصيف أما فى حالة خضوع المنطقة لنظام مناوبات الري فإن تصرف

المضخة يحسب كالآتى:

تصرف المضخة (م^٣/س) =

$$\frac{\text{المساحة بالفدان} \times \text{الاحتياجات المائية م}^3/\text{فدان} \times \text{يوم} \times \text{مدة المناوبة}}{\text{مدة العمالة باليوم} \times \text{ساعات التشغيل اليومى} \times \text{كفاءة نظام الري}}$$

مثال:

المطلوب حساب تصرف الطلمبة اللازمة لرى مساحة ٥ فدان وكانت الاحتياجات المائية ٣٠ م^٣/فدان. يوم وكفاءة نظام الرى بالغمر ٦٠٪ والمناوبة ثلاثية مدتها ١٨ يوم (٦ عمالة + ١٢ بطالة). وكانت ساعات التشغيل اليومى ١٥ ساعة.

الحل:

$$\text{تصرف المضخة} = \frac{18 \times 30 \times 5}{0.6 \times 15 \times 6} = 50 \text{ م}^3/\text{س}$$

مثال:

المطلوب حساب تصرف المضخة اللازمة لرى مساحة ٥ فدان وكانت الاحتياجات المائية ٧ مم/يوم وكفاءة نظام الرى بالرش ٧٥٪ وساعات التشغيل اليومى ١٢ ساعة.

الحل:

$$Q = \frac{4.2 E T_c \times A}{E_i \times H}$$

$$= \frac{4.2 \times 7 \times 5}{0.75 \times 12} = 16.3 \text{ m}^3 / \text{hr}$$

وفى الأراضى القديمة للوادي والدلتا حيث الرى بالغمر ونظام المناوبات قد تحسب مقننات الرى على أساس ٣٥٠ م^٣/فدان/ ريه كل ١٥ يوم (٥ عمالة + ١٠ بطالة) لرى القطن والذرة والحدائق والبرسيم والمحاصيل الشتوية أما مناطق زراعة الأرز فتحسب على أساس ٤٢٠ م^٣/فدان/ ريه (ريه كل ٨ يوم على أساس ٤ عمالة + ٤ بطالة). وفى مناطق تطوير الرى بالغمر لأراضى الوادي والدلتا قد تحسب تصرف المضخة على أساس تقريبي هو ١ لتر/ث لكل ١ فدان حيث يلغى نظام المناوبات وتطلق المياه بصفة مستمرة فى ترع التوزيع.

تكاليف الضخ: Cost of Pumping

تنقسم تكاليف الضخ إلى تكاليف ثابتة Fixed cost وتكاليف التشغيل

.Operating cost

١ - التكاليف الثابتة:**أ- تكاليف الفائدة على رأس المال Interest**

وتحسب على أساس سعر الفائدة السائد على متوسط قيمة محطة الضخ بما فى ذلك المأوى والقاعدة ومواسير السحب والضخ ولوحة التحكم وغيرها من المعدات الرأسمالية اللازمة لإنشاء محطة الضخ.

$$\text{التكاليف السنوية لرأس المال} = \frac{\text{القيمة الشرائية}}{٢} \times \text{معدل الفائدة}$$

ب- تكاليف التأمين والضرائب Texas and Insurance

فى حالة وجود مثل هذه التكاليف يمكن اعتبارها تساوى ١٪ من القيمة

الشرائية لمحطة الضخ Initial cost.

ج- تكاليف الاستهلاك

قد تحسب على أساس العمر الافتراضى لمحطة الضخ أو الأجزاء المختلفة لها أو على أساس زمن التشغيل time of operation. ففى حالة محطات الضخ التى تستخدم أقل من ٢٠٠٠ ساعة فى السنة فإن العمر الافتراضى قد يستخدم فى هذه الحالة أما محطات الضخ التى تستخدم أكثر من ٢٠٠٠ ساعة فى السنة أى تستخدم باستمرار خلال السنة فإنه يفضل استخدام ساعات التشغيل

السنوات. والجدول (٤-٤) يوضح العمر الافتراضي والذي يستخدم لحساب الإستهلاك.

جدول (٤-٤) العمر الافتراضي لمحطات الضخ

| العمر الافتراضي | الصف |
|------------------------|------------------------------------|
| ٢٠ سنة | ١- بنر |
| ٢٠ سنة | ٢- مأوى محطة الضخ |
| | ٣- المضخة التوربينية |
| ١٦٠٠٠ ساعة أو ٨ سنوات | المراوح (تمثل ٥٠٪ من قيمة الطلمبة) |
| ٣٢٠٠٠ ساعة أو ١٦ سنة | عمود الطلمبة وباقي الأجزاء |
| ٣٢٠٠٠ ساعة أو ١٦ سنة | ٤- المضخة الطاردة المركزية. |
| | ٥- وسائل نقل القدرة |
| ٣٠٠٠٠ ساعة أو ١٥ سنة | التروس |
| ٦٠٠٠ ساعة أو ٣ سنوات | سيور حرف V |
| ١٠٠٠٠ ساعة أو ٣ سنوات | سيور عدلة من المطاط |
| ٢٠٠٠٠ ساعة أو ١٠ سنوات | سيور عدلة من الجلد |
| ٥٠٠٠٠ ساعة أو ٢٥ سنة | ٦- محرك كهربى |
| ٢٨٠٠٠ ساعة أو ١٤ سنة | ٧- محرك ديزل |
| | ٨- محرك بنزين |
| ٨٠٠٠ ساعة أو ٤ سنوات | تبريد هواء |
| ١٨٠٠٠ ساعة أو ٩ سنوات | تبريد ماء |

٢ - تكاليف التشغيل:

أ - تكاليف الوقود Fuel consumption

- الكهرباء Electric

فى حالة تكاليف الطاقة للمحركات الكهربائية

$$kW - hr / 1000 m^3 Pumped = \frac{TDH \times 2.72}{Pump\ eff. \times drive\ eff. \times motor\ eff.}$$

حيث: الكيلووات - ساعة لضخ ١٠٠٠ م^٣ مياه kW - hr / 1000 m³ Pumped

TDH : الضاغط الكلى المطلوب من المضخة بالمتري.

Pump eff. : كفاءة الطلمبة كنسبة كسرية decimal.

drive eff. : كفاءة نقل الحركة كنسبة كسرية.

وتساوى ٩٥٪ للتروس - ٩٠ - ٩٥٪ للسيور حرف v

٨٠ - ٩٠٪ للسيور العدلة

motor eff. : كفاءة المحرك كنسبة كسرية.

وتحسب التكاليف السنوية كالتالى:

$$Annual\ Cost = \frac{Total\ No.m^3\ for\ year \times kW - hr / 1000 m^3 \times cost\ per\ kW - hr}{1000}$$

$$تكاليف\ الطاقة\ السنوية = \frac{كمية\ المياه\ بالمتري\ المكعب \times الكيلووات. ساعة / ١٠٠٠ م^3 \times سعر\ الكيلووات. ساعة}{١٠٠٠}$$

أما فى حالة معرفة عدد ساعات التشغيل السنوية وقدرة المحرك الفرمالية

فإنه تحسب التكاليف كالتالى:

$$KW = \frac{Bhp \times 0.735}{\text{motor eff.}}$$

$$\text{Annual Cost} = \text{Operating hours} \cdot \text{year} \times KW \times \text{cost per KW} - \text{hr}$$

وتحسب القدرة الفرمالية من المعادلة الآتية:

$$Bhp = \frac{Q (m^3/h) \times TDH (m)}{270 \times \text{pumpeff.} \times \text{drive eff.}}$$

- آلات الاحتراق الداخلي Internal Combustion

يمكن حساب معدل استهلاك الوقود بدقة إذا توافرت منحنيات الأداء للشركة لمصنعة للمحرك ولكن في حالة عدم توافر هذه المنحنيات يمكن حساب معدل استهلاك الوقود كالآتي:

$$\text{معدل استهلاك السولار للمحرك الديزل (لتر/ساعة)} =$$

$$0,20 \text{ لتر/ ساعة لكل حصان} \times \text{قدرة المحرك الفرمالية بالحصان}$$

تكاليف التشغيل في الساعة = القدرة الفرمالية بالحصان \times استهلاك السولار باللتر لكل حصان في الساعة \times سعر لتر السولار

$$\text{التكاليف السنوية للسولار} = \text{تكاليف لتشغيل في الساعة} \times \text{ساعات التشغيل السنوية}$$

ب- تكاليف الزيوت والتشحيم Lubricating Oil and Greases

تهمل تكاليف الزيوت والتشحيم في حالة استخدام المحركات الكهربائية أما في حالة المحركات الديزل فإنه يتم حساب تكاليف الزيوت كالآتي:

- لتر زيت لكل ٥٠ لتر سولار من استهلاك المحرك.

- أو تكلفة الزيوت قد تقدر بحوالى ١٠٪ من تكاليف الوقود.

ج- تكاليف صيانة والإصلاح Maintenance and Repairs

$$\frac{\text{نصف تكلفة الشراء}}{\text{العمر الافتراضى بالسنوات}} = \text{التكاليف السنوية للإصلاح والصيانة}$$

د- تكلفة عامل تشغيل محطة الضخ:

وتعتمد على راتب ميكانيكى التشغيل (سائق الماكينة) فيحسب فى مصر بالشهر وفى حالات أخرى قد يحسب على أساس ساعات التشغيل السنوية ومعدل سعر تشغيل العمالة فى الساعة.

هـ- التكاليف السنوية = التكاليف الثابتة + تكاليف التشغيل

الباب الخامس

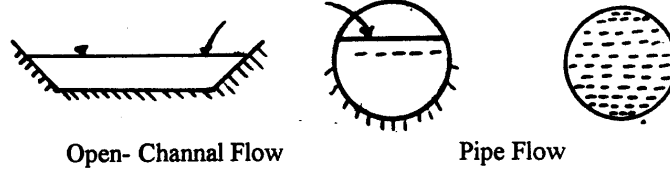
هيدروليكا القنوات المكشوفة

Open - Channel Hydraulic

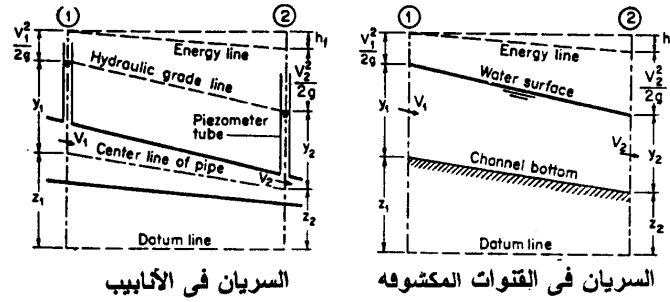
الباب الخامس

السريان فى القنوات المكشوفة

تعتبر القنوات المكشوفة Open Channel لا يقتصر على المجارى المفتوحة التى ليس لها غطاء علوى يفصل بينها وبين الجو الخارجى ولكن يشمل أيضاً المجارى المقفلة غير كاملة الامتلاء مثل الأنفاق والمصارف والبرايخ والمجارى الصحية حيث يكون سطح الماء فيها حراً ويتعرض إلى ضغط متماثل هو الضغط الجوى على طول خط السريان.



ويمكن مقارنة السريان فى القنوات المكشوفة بالسريان فى الأنابيب باستخدام معادلة برنولى للطاقة عند نقطتين (١) ، (٢) كما فى الشكل (٥-١).



شكل (٥-١): مقارنة بين السريان فى الأنابيب والقنوات المكشوفة

$$Y_1 + Z_1 + \frac{v_1^2}{2g} = Y_2 + Z_2 + \frac{v_2^2}{2g} + (h_f)_{1-2} \quad (1)$$

حيث:

Y = عمق السريان فوق قاع المجرى أو ارتفاع المياه في البيزومتر فوق مركز الأنبوبة (الضاغط)

Z = بعد قاع المجرى عند مستوى المقارنة Datum أو بعد مركز الأنبوبة عن مستوى المقارنة.

V = سرعة السريان

h_f = الفاقد في الاحتكاك

وبين شكل (١-٥) تطبيق معادلة برنولي (١) في حالة السريان في الأنابيب والسريان في القنوات المكشوفة.

أنواع السريان Types of Flow

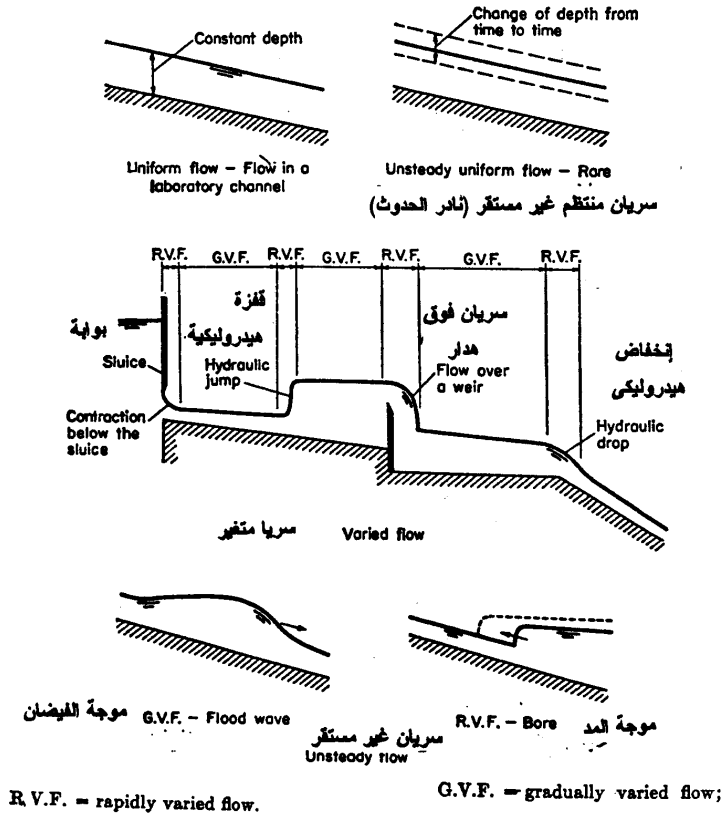
طبقاً لتغير عمق السريان مع الزمن والمسافة يمكن تقسيم الجريان في القنوات المكشوفة إلى الأنواع التالية شكل (٢-٥):

١- سريان مستقر Steady Flow

وهو السريان الذي يكون فيه العمق ثابت مع الزمن ويمكن تقسيم السريان المستقر إلى

أ- سريان منتظم Uniform Flow

وفيه يكون عمق السريان ثابت على إمتداد المجرى من مقطع إلى آخر.



شكل (٥-٢): أنواع السريان في القنوات المكشوفة (المصدر chow)

ب- سريان متغير Varied Flow

وفيه يتغير عمق السريان على إمتداد المجرى. وهو نوعان I سريان متدرج التغير Gradually varied flow وفيه يكون التغير فى العمق خلال وحدة الطول على إمتداد المجرى صغير II سريان سريع التغير rapidly varied flow وفيه يكون التغير فى عمق السريان فجائى كما يحدث فى الهدارات. وأمثلة السريان المستقر موضحة فى شكل (٢-٥).

٢- سريان غير مستقر Unsteady Flow

ويعرف على أنه السريان الذى يتغير فيه عمق السريان مع الزمن ويمكن تقسيم السريان غير المستقر أيضاً إلى:

أ- سريان منتظم Unsteady Uniform Flow

وفيه يتغير عمق السريان على إمتداد المجرى بالتساوى مع الزمن وهذه الحالة مستحيلة الحدوث فى الطبيعة.

ب- سريان متغير Unsteady Varied Flow

ويمكن تقسيمه إلى:

١- سريان متدرج التغير Gradually varied unsteady flow ومثال هذه

الحالة موجة الفيضان التى تتحرك عبر المجرى Flood Wave.

٢- سريان سريع التغير Rapidly varied unsteady flow ومثال هذه

الحالة موجة المد Tidal bores والتى قد تحدث فى الخلجان غير

العميقة Shallow bays وفروعها.

وأمثلة السريان غير المستقر موضحة فى شكل (٢-٥)

معادلات السريان المنتظم Uniform Flow Equations

اوجد المهندس الفرنسى شيزى Chézy العلاقة الأصلية بين سرعة السريان والخواص الهيدروليكية لحالة السريان والفاقد فى الطاقة والتي أتبعها معادلة مانينج Manning's equation بعد مرور مائة عام. (شيزى ١٧٦٩) وكان عمل شيزى فى السريان المنتظم على أساس قياسات ميدانية قام بها فى شمال فرنسا على قناة كوربالت Courpalet Canal ونهر السين Seine River. وتكتب معادلة شيزى على الصورة:

$$V = C \sqrt{RS}$$

حيث:

V = متوسط سرعة السريان

R = نصف القطر الهيدروليكي

S = ميل خط الطاقة متر/متر

C = معامل شيزى ويمثل معامل مقاومة السريان $m^{1/2}/s$

ويعرف نصف القطر الهيدروليكي كالاتى:

$$R = \frac{A}{P}$$

حيث:

A = مساحة مقطع السريان

P = المحيط المبتل

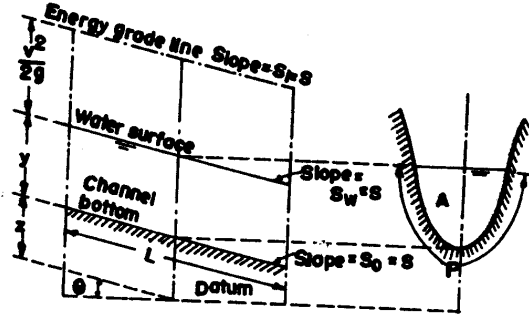
يبين شكل (٣-٥) حالة السريان المنتظم لقناة مفتوحة حيث أن السطح الحر معرض للضغط الجوي والذي قيمته ثابتة على جميع نقاط هذا السطح فإن السطح الحر يمثل خط الميل الهيدروليكي (H.G.L.) والذي ميله S_w وحيث أنه لحالة السريان المنتظم يكون عمق السريان ثابت فينتج أن $S_w = S_o$ حيث S_o هو ميل قاع المجرى كما هو مبين بالشكل (٣-٥). وحيث أن السريان المنتظم يعرف بالآتي:

١- عمق السريان ومساحة السريان وسرعة السريان والتصرف عند أى مقطع فى القناة تكون متساوية.

٢- خط الطاقة وسطح الماء وقاع المجرى تكون متوازية لذلك فإن ميل هذه

$$S_f = S_w = S_o = S$$

حيث: S_f هو ميل خط الطاقة



شكل (٣-٥): المصطلحات الخاصة بمعادلة شيزى للسريان المنتظم فى القنوات المكشوفة

أستنتج المهندس الأيرلندى مانينج عام ١٨٨٩ معادلته لتحديد قيمة معامل شيزى C من واقع نتائج مجموعة كبيرة من التجارب كالاتى:

$$C = \frac{1}{n} R^{1/6} \quad SI \text{ units}$$

$$C = \frac{1.486}{n} R^{1/6} \quad English \text{ units}$$

معامل مانينج n = Manning's n = Kutter's n

ولكى تكون قيمة n ثابتة فى كلا النظامين المترى والإنجليزى فإن ١,٤٨٦ تمثل الجذر التكعيبي للتحويل ٣,٢٨٠٨ قدم/متر. وبتعويض قيمة C فى معادلة شيزى تحصل على معادلة مانينج

$$V = \frac{1}{n} R^{2/3} S^{1/2} \quad SI \text{ units}$$

حيث:

V = متوسط سرعة السريان. متر/ث

R = نصف القطر الهيدروليكي لمقطع السريان. متر

S = ميل خط الطاقة وهو نفسه ميل قاع المجرى متر/متر.

حيث أنه فى حالة السريان المنتظم $S_f = S_w = S_o = S$

وتعتبر معادلة مانينج اليوم من أكثر المعادلات إنتشاراً فى العالم لتحليل السريان فى القنوات المكشوفة وذلك لأنها تجمع بين السهولة والدقة فى آن واحد. ويتوقف معامل مانينج (n) للخشونة على خشونة سطح المجرى وتواجد نباتات وكثافتها وإنتظام المجرى واستواءه ووجود عوائق للسريان. ويمكن الإستعانة

بالجداول (جدول ٥-١) لإختيار القيمة المناسبة للمعامل n . ويمكن كتابة معادلة مانينج على الصورة الآتية باستخدام معادلة الاستمرار.

جدول (٥-١): معامل مانينج n

| قيمة n المستعملة * | حالة المجرى المائي |
|----------------------|-----------------------------------|
| | <u>القنوات المبطنة</u> |
| ٠,٠١٢ | مجرى مبطن بالأسمنت |
| ٠,٠١٥ | مجرى مبطن بالخرسانة (فورم خشبية) |
| ٠,٠٢٠ | مجرى مبطن بالریش والأسمنت |
| ٠,٠١٣ | مجرى مبطن بالأسفلت الناعم. |
| ٠,٠١٦ | مجرى مبطن بالأسفلت الخشن |
| | <u>المجاري الطبيعية</u> |
| ٠,٠٢٥ | مجرى في أرض زلطية ومستقيم ومنتظم. |
| | مجرى في أرض زلطية |
| ٠,٠٢٦ | مجرى ترابي مستقيم به بعض الحشائش |
| ٠,٠٣٠ | مجرى ترابي نظيف به انحناءات |
| ٠,٠٥٠ | مجرى ترابي به إنحناءات |

* وبصفة عامة يمكن أخذ $n = 0.02$ للمجاري الجديدة النظيفة، ٠,٠٢٥ للمجاري المتوسطة النظافة، ٠,٠٣ للمجاري المملوءة بالحشائش أما في المجاري المبطنة بالخرسانة فيتراوح معامل الخشونة بين ٠,٠١٢ و ٠,٠١٦ حسب درجة اتقان التبطين

$$Q = V.A$$

$$Q = \frac{1}{n} 4R^{2/3} S'$$

حيث:

$$Q = \text{التصرف م}^3/\text{ث}$$

$$A = \text{مساحة مقطع السريان م}^2$$

$$R = \frac{A}{P} = \text{نصف القطر الهيدروليكي متر وهو يساوي}$$

$$P = \text{المحيط المبتل.متر.}$$

والجدول (٥-٢) يعطى الخواص الهندسية لمقاطع القنوات المختلفة

مثال:

احسب التصريف لسريان منتظم فى مجرى مائى مقطعه على شكل مستطيل من الخرسانة Unfinished concrete وميل قاع المجرى ٠,٠١٠١ متر/متر وعرض المقطع ١,٨ متر وعمق السريان ٠,٥٤١ متر ($n = 0.017$)

الحل:

$$R = \frac{A}{P} = \frac{1.8(0.541)}{1.8 + 2(0.541)}$$

$$R = 0.338 \text{ m}$$

$$V = \frac{1}{n} R^{2/3} S^{1/2}$$

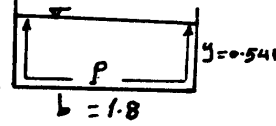
$$V = \frac{1}{0.017} (0.338)^{2/3} (0.0101)^{1/2}$$

$$V = 2.868 \text{ m/s}$$

$$Q = VA$$

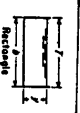
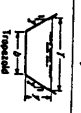
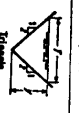


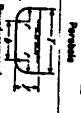

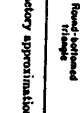
$$= 2.868 (0.974)$$

$$2.79 \text{ m}^3/\text{s}$$



جدول (٢-٥): الخواص الهندسية لمقاطع القنوات المختلفة (المصدر Chow)

GEOMETRIC ELEMENTS OF CHANNEL SECTIONS

| Section | Area A | Wetted perimeter | Hydraulic radius R | Top width T | Hydraulic depth D | Section factor Z |
|---|---|---|---|---|---|--|
|  Rectangle | by | $b + 2y$ | $\frac{by}{b + 2y}$ | b | y | $by^{3/2}$ |
|  Trapezoid | $(b + sy)y$ | $b + 2y\sqrt{1 + s^2}$ | $\frac{(b + sy)y}{b + 2y\sqrt{1 + s^2}}$ | $b + 2sy$ | $\frac{(b + sy)y}{b + 2sy}$ | $\frac{[(b + sy)y]^{3/2}}{\sqrt{b + 2sy}}$ |
|  Triangle | sy^2 | $2y\sqrt{1 + s^2}$ | $\frac{sy}{2\sqrt{1 + s^2}}$ | $2sy$ | $\frac{1}{2}y$ | $\frac{\sqrt{2}}{2}sy^{3/2}$ |
|  Circle | $\frac{1}{2}r^2(\theta - \sin \theta)$ | $\frac{1}{2}r\theta$ | $\frac{1}{2} \left(\frac{1 - \sin \theta}{\theta} \right) r$ | $\frac{(\sin \frac{\theta}{2})r}{2\sqrt{r(1 - \sin \frac{\theta}{2})}}$ | $\frac{1}{2} \left(\frac{\theta - \sin \theta}{\sin \frac{\theta}{2}} \right) r$ | $\frac{\sqrt{2}}{32} \frac{r^3 (\theta - \sin \theta)^{3/2}}{(\sin \frac{\theta}{2})^{3/2}}$ |
|  Parabola | $\frac{1}{2}by$ | $r + \frac{8}{3}y$ | $\frac{2ry}{3r + 8y}$ | $\frac{3}{2} \frac{A}{b}$ | $\frac{1}{2}y$ | $\frac{1}{2} \sqrt{b} y^{3/2}$ |
|  Semi-circular | $\left(\frac{\pi}{2} - 3 \right) r^2 + (b + 2r)y$ | $(\pi - 2)r + b + 2y$ | $\frac{(\pi/2 - 3)r^2 + (b + 2r)y}{(\pi - 2)r + b + 2y}$ | $b + 2r$ | $\frac{(\pi/2 - 3)r^2 + y}{b + 2r} + y$ | $\frac{[(\pi/2 - 3)r^2 + (b + 2r)y]^{3/2}}{\sqrt{b + 2r}}$ |
|  Rounded rectangular ($r < y$) | $\frac{\pi r^2}{4} - \frac{r^2}{2} (1 - s \cos^2 \theta)$ | $\frac{\pi r}{2} \sqrt{1 + s^2} - \frac{2r}{2} (1 - s \cos^2 \theta)$ | $\frac{A}{P}$ | $2[r(\theta - \pi) + r\sqrt{1 + s^2}]$ | $\frac{A}{P}$ | $A \sqrt{\frac{A}{P}}$ |
|  Rounded rectangular ($r > y$) | | | | | | |

* Satisfactory approximation for the interval $0 < s \leq 1$, where $s = b/r$. When $s > 1$, use the exact expression $P = (7/2)[\sqrt{1 + s^2} + 1/s \ln(s + \sqrt{1 + s^2})]$.

حالة السريان State of Flow

فى السريان داخل الأنابيب تسود قوى القصور الذاتى Inertial Forces وقوى اللزوجة Viscous Forces أما السريان فى القنوات المكشوفة فتسود فيه كل من قوى القصور الذاتى وقوى الجاذبية gravity force ولييان حالة السريان تم استنتاج أرقام لابعدية Dimensionless Numbers مثل رقم رينولد (R_e) Reynold's Number لوصف السريان فى الأنابيب ورقم فرود (F_r) Froude Number لوصف السريان فى القنوات المكشوفة. ويمكن تعيين كل من الرقمين كالآتى:-

$$\begin{aligned}
 \text{inertia force} &= Ma = \rho L^3 \left(\frac{v^2}{L} \right) \\
 &= \rho v^2 L^2 \\
 \text{viscosity force} &= \mu \left(\frac{dv}{dy} \right) A \\
 &= \mu \left(\frac{v}{L} \right) L^2 \\
 &= \mu v L \\
 \text{gravity force} &= Mg \\
 &= \rho L^3 g
 \end{aligned}$$

$$R_e = \frac{\text{inertia}}{\text{viscosity}} = \frac{\rho v^2 L^2}{\mu v L} = \frac{\rho v L}{\mu}$$

$$F_r = \sqrt{\frac{\text{inertia}}{\text{gravity}}} = \sqrt{\frac{\rho v^2 L^2}{\rho L^3 g}} = \sqrt{\frac{v^2}{L g}}$$

ويعكس رقم فرود تأثير قوى الجاذبية على حالة السريان $F_r = \frac{v}{\sqrt{g L}}$

حيث:

L = الطول المعبر عن مقطع السريان وهو يساوى العمق الهيدروليكي D فى حالة السريان فى القنوات المكشوفة. بينما يساوى قطر الماسورة فى السريان داخل الأنابيب.

ويقسم السريان فى القنوات المكشوفة حسب حالته إلى سريان هادئ (سريان تحت حرج) Subcritical flow وسريان هادر (سريان فوق حرج) Super critical flow وترتبط حالة السريان برقم يسمى رقم فرود Froude number F_r فإذا كان رقم فرود أقل من الواحد كان السريان هادئاً أو تحت حرج وإذا كان رقم فرود أكبر من الواحد كان السريان هادراً أما فى حالة السريان الحرج فإن رقم فرود يساوى الوحدة.

$$F_r = \frac{V}{\sqrt{gD}} \quad \text{ويعكس } F_r \text{ تأثير قوى الجاذبية على حالة السريان}$$

حيث

$$D = \frac{A}{T} = \text{عمق المياه الهيدروليكي}$$

$$V = \text{السرعة المتوسطة للقطاع المائى}$$

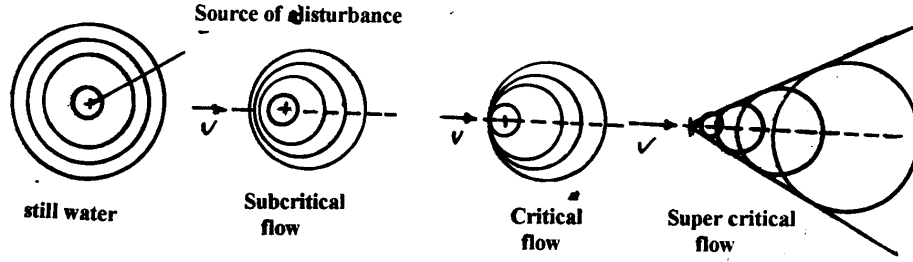
$$g = \text{عجلة الجاذبية الأرضية}$$

$$F_r = 1 \quad \text{critical} \quad \frac{v^2}{2g} = \frac{D}{2}$$

$$F_r < 1 \quad \text{subcritical}$$

$$F_r > 1 \quad \text{supercritical}$$

إذا سقط حجر في مجرى مائي فإن شكل موجات المياه المتكونة نتيجة قذف الحجر تعبر عن حالة السريان كما يلي:



عند تغير السريان من فوق الحرج إلى السريان تحت الحرج تنتج ظاهرة تسمى بالقفزة الهيدروليكية Hydraulic Jump والعكس تسمى بانخفاض هيدروليكي Hydraulic drop.

أكفاً مقطع هيدروليكي Efficient section

المقطع الإقتصادي

بدراسة معادلة مانينج نجد أنه لمساحة معينة وكذلك لميل معين فإن التصريف خلال القناة عند خشونة معينة يبلغ أقصاه عندما يبلغ نصف القطر الهيدروليكي قيمته القصوى ويبلغها عندما يبلغ المحيط المبطل قيمته الصغرى. وعندما يقل المحيط المبطل تقل تكاليف التبطين وبالتالي يصبح المقطع هو الأفضل هيدروليكياً وكذلك الأكثر إقتصادية.

مثال:

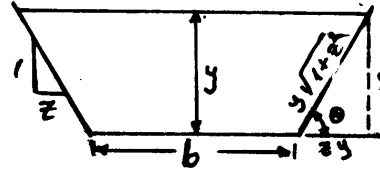
أوجد نسب الأبعاد المقطع شبه منحرف في المجرى المبين بالشكل والتي تجعل التصريف أقصى ما يمكن لمساحة مقطع سريان محددة وميل جوانب محدد. ثم أثبت أيضاً إنه في حالة تغيير ميل الجوانب فإن المقطع الأكثر كفاءة هو نصف المسدس half hexagon.

الحل:

$$Q = \frac{1}{n} AR^{2/3} S^{1/2}$$

بكتابة معادلة مانينج

فأنه نجد أنه لقيمة معينة من مساحة المقطع A وخشونة n وميل s فإن أقصى تصرف يحدث عند أقصى $R = \frac{A}{P}$ وبالتالي أقل قيمة للمحيط المبتل P



$$A = (b + zy)y \quad (1)$$

$$b = \frac{A}{y} - zy \quad (2) \text{ وبالتالي يمكن كتابة}$$

$$P = b + zy\sqrt{1+z^2}$$

$$P = \frac{A}{y} + (2\sqrt{1+z^2} - z)y \quad (3)$$

وبالتعويض عن قيمة b

فإذا كان A, Z ثابتة فإن P ستكون أقل ما يمكن

إذا كان $\frac{dp}{dy} = 0$ ولذلك تفاضل المعادلة بالنسبة لـ y

$$\frac{dp}{dy} = -\frac{A}{y^2} + 2\sqrt{1+z^2} - z = 0$$

$$A = y^2 (2\sqrt{1+z^2} - z) \quad (4)$$

وبالتعويض عن قيمة A من المعادلة (١)

$$by + zy^2 = y^2 (2\sqrt{1+z^2} - z)$$

(ونلاحظ هنا في حالة المستطيل $z=0$) وللحصول على أقصى تصرف

$$b = 2y(\sqrt{1+z^2} - z) \quad (5) \text{ للحصول على أقصى تصرف}$$

وفي حالة المستطيل نعوض $z=0$ فيكون أقصى تصرف عند $b = zy$ أما

الآن فنوجد ميل الجوانب للقطاع والتي لها أقصى كفاءة ممكنة وقيمة b التي حصلنا عليها سابقاً تعطى الكفاءة المثلى.

وذلك بمفاضلة المعادلة (٣) بالنسبة لـ z وثبتت y وتساوى بالصفر

$$\frac{dP}{dz} = -y + 2y \frac{2z}{2\sqrt{1+z^2}} = 0$$

$$\therefore \frac{2z}{\sqrt{1+z^2}} = 1$$

$$4z^2 = z^2 + 1$$

$$\therefore z = \frac{1}{\sqrt{3}}$$

وإذا كانت θ هي زاوية ميل الجوانب على الأفقى فإن

$$\tan \theta = \frac{1}{z} = \sqrt{3}$$

وبالتالى

$$\theta = 60^\circ$$

وبذلك يكون المقطع ذو الأقصى كفاءة ممكنة هو نصف سدس.

وبالتعويض عن قيمة z في المعادلة رقم (5)

$$b = 2y \left(\sqrt{1 + \frac{1}{3}} - \frac{1}{\sqrt{3}} \right)$$

$$b = \frac{2y}{\sqrt{3}}$$

وبالتعويض عن قيمة z في المعادلة رقم (4)

$$A = y^2 \left(2\sqrt{1 + \frac{1}{3}} - \frac{1}{\sqrt{3}} \right) = \sqrt{3} y^2$$

$$A = \sqrt{3} y^2$$

باستخدام المعادلة (5) يمكن استنتاج معادلة عامة مفيدة وهي $R = \frac{y}{z}$

$$R = \frac{A}{P} = \frac{by + zy^2}{b + 2y\sqrt{1+z^2}}$$

وبتعويض قيمة b من المعادلة (5)

$$R = \frac{2y^2(\sqrt{1+z^2} - z) + zy^2}{2y(\sqrt{1+z^2} - z) + 2y\sqrt{1+z^2}}$$

$$= \frac{y(2y\sqrt{1+z^2} - zy)}{2(2y\sqrt{1+z^2} - zy)} = \frac{y}{2}$$

$$\therefore R = \frac{y}{2}$$

مثال ١:

مجرى مقطعه على شكل شبه منحرف كما في الشكل فاحسب التصرف

المار في القناة

$$n = 0.025$$

$$S = \frac{1}{1800}$$

الحل:

$$A = (b + zy)y$$

$$= (4 + 1.5(1.2))1.2$$

$$= 6.96 \text{ m}^2$$

$$P = b + 2y\sqrt{1 + z^2}$$

$$= 4 + 2 \times 1.2\sqrt{1 + (1.5)^2}$$

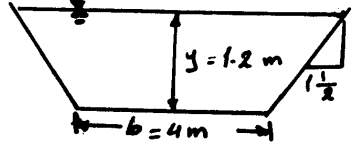
$$= 8.33 \text{ m}$$

$$R = \frac{A}{P} = \frac{6.96}{8.33} = 0.836 \text{ m}$$

$$Q = \frac{1}{n} AR^{2/3} S^{1/2}$$

$$= \frac{1}{0.025} (6.96) (0.836)^{2/3} \left(\frac{1}{1800} \right)^{1/2}$$

$$= 5.82 \text{ m}^3 / \text{s}$$



مثال ٢:

ما هو الشرط اللازم توافره حتى يكون القطاع المستطيل الشكل هو الأفضل هيدروليكياً.

الحل:

المطلوب: إيجاد الشرط الذي يجعل طول المحيط المبتل أقل ما يمكن

$$P = b + 2y$$

$$A = b \times y = \text{constant} \quad \text{وحيث أن}$$

$$\therefore P = \frac{A}{y} + 2y$$

نفاضل المعادلة بالنسبة للمتغير (y) ثم نساوى الناتج بالصفر أى أن

$$\frac{dp}{dy} = \frac{A}{y^2} + 2 = 0$$

$$A = 2y^2$$

$$A = by = 2y^2$$

وينتج أنه لكى يكون القطاع المستطيل الشكل ذو المساحة المعلومة A هو الأفضل هيدروليكياً بيم كل القطاعات المستطيلة والتي لها نفس المساحة يجب أن تكون النسبة بين b, y والمستنتجة من المعادلة كالآتى:

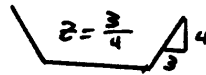
$$b = 2y$$

$$R = \frac{y}{2} \text{ إلى الإضافة إلى}$$

أى يكون القطاع على شكل نصف مربع

مثال ٣:

مجرى مقطعه شبه منحرف ميل جوانبه ٣ افقى إلى ٤ رأسى وميل قاعه ١ فى ٢٠٠٠ احسب الأبعاد المثلى للمجرى إذا كان المطلوب نقل تصرف ٠,٥ م^٣/ث. استخدم معادلة شيزى $C = 80 \text{ m}^{1/2} / \text{s}$



الحل:

$$R = \frac{y}{2} = \frac{A}{P} = \frac{by + zy^2}{b + 2y\sqrt{1+z^2}} = \frac{by + \frac{3}{4}y^2}{b + 2y\sqrt{1+\left(\frac{3}{4}\right)^2}}$$

$$\frac{y}{2} = \frac{by + \frac{3}{4}y^2}{b + \frac{5}{2}y} \quad \therefore 2by + \frac{3}{2}y^2 = by + \frac{5}{2}y^2$$

$$b = \frac{5}{2}y - \frac{3}{2}y = y \quad \therefore b = y$$

$$A = by + \frac{3}{4}y^2$$

$$= y^2 + \frac{3}{4}y^2 = \frac{7}{4}y^2 \leftarrow$$

$$P = b + 2y \sqrt{1 + \left(\frac{3}{4}\right)^2} = y + \frac{5}{2}y = \frac{7}{2}y \leftarrow$$

$$Q = AC \sqrt{RS}$$

$$0.5 = \left(\frac{7}{4}y^2\right)(80) \sqrt{\left(\frac{y}{2}\right)\left(\frac{1}{2000}\right)}$$

$$y = 0.552m \quad b = 0.552m$$

مثال:

حدد أكفاً مقطع هيدروليكي لمجرى مقطعه على شكل شبه منحرف ($n = 0.025$) لنقل تصرف ٤٥٠ قدم^٣/ث. إذا علمت أن أقصى سرعة للسريان بحيث لاتحدث نحر هي ٣ قدم/ث وميل الجوانب ١ رأس إلى ٢ أفقى. احسب أيضاً ميل القاع المطلوب.

الحل:

$$R = \frac{y}{2} = \frac{A}{P} = \frac{by + zy^2}{b + 2y\sqrt{1+z^2}} = \frac{by + 2y^2}{b + 2y\sqrt{5}} \rightarrow b = 2y\sqrt{5} - 4y$$

$$A = \frac{Q}{V} = \frac{450}{3} = by + 2y^2 \rightarrow b = (150 - 2y^2) / y$$

بمساواة المعادلتين السابقتين نحصل على

$$Y = 7.79 \text{ ft} \quad b = 3.67$$

وبالتعويض في معادلة مانينج

$$V = \frac{1.486}{n} R^{2/3} S^{1/2}$$

$$3 = \frac{1.486}{0.025} \left(\frac{7.79}{2} \right)^{2/3} S^{1/2} \rightarrow S = 0.000418$$

مثال:

ترعة، صمم مقطوعها على شكل شبه منحرف حيث عرض القاع (b) 6m ميل الجوانب 1 رأس : 2 أفقى - الميل الطولى لقاع الترعة ($S_0 = 10$)
 cm/km) الترعة مبطنة بالخرسانة ($n = 0.014$) وذلك حتى يمر التصريف
 التصميمى كجريان منتظم بعمق مقداره ($y = 1.5$ m). احسب قيمة ذلك التصريف
 التصميمى. إذا طلب منك تعديل التصميم حتى يمر ذلك التصريف فى الترعة
 بحيث تكون تكاليف التبطين أقل ما يمكن. فما هى الأبعاد التى تقترحها للترعة.
 احسب كذلك التوفير فى تكاليف التبطين.

الحل:

أولاً:

$$A = (6 + 2 \times 1.5) 1.5$$

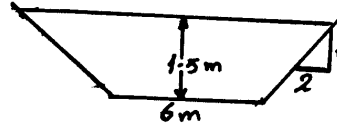
$$= 13.5 \text{ m}^2$$

$$P = 6 + 2 \times 3.354 = 12.708 \text{ m}$$

$$R = \frac{A}{P} = 1.0623 \text{ m}$$

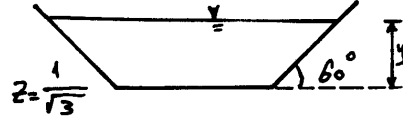
$$Q = \frac{1}{n} A R^{2/3} S^{1/2}$$

$$= \frac{1}{0.014} (13.5) (1.0623)^{2/3} (10^{-4})^{1/2} = 10.04 \text{ m}^3 / \text{s}$$



ثانياً: لكي يمر هذا التصريف التصميمي في مقطع التربة بحيث تكون تكاليف التبطین أقل ما يمكن، يجب أن يكون المقطع هو الأفضل هيدروليكياً كما

في الشكل



$$R = \frac{y}{2} \quad A = \sqrt{3} y^2 \quad \text{حيث}$$

وبالتطبيق في معادلة مانينج

$$Q = \frac{1}{n} A R^{2/3} S_0^{1/2}$$

$$10.04 = \frac{1}{0.014} (\sqrt{3} y^2) (0.5 y)^{2/3} (0.0001)^{1/2}$$

$$y^{8/3} = 12.8825 \quad \therefore y = 2.608 \text{ m}$$

$$A = by + \frac{1}{\sqrt{3}} y^2 = \sqrt{3} y^2$$

$$\therefore b = \frac{2}{\sqrt{3}} y = \frac{2}{\sqrt{3}} 2.608 = 3.011 \text{ m}$$

ثالثاً: لحساب نسبة التوفير في تكاليف التبطین نقارن بين طول المحيط المبني في

الحالة الأولى (P_1) وفي الحالة الثانية (P_2) حيث:

$$P = b + 2y \sqrt{1 + \frac{1}{3}} = b + \frac{2y}{\sqrt{3}} 2 = 9.034 \text{ m}$$

وتكون نسبة التوفير في تكاليف التبطین مقدارها

$$= \frac{P_1 - P_2}{P_1} \times 1000 = \frac{12.708 - 9.034}{12.708} \times 1000 = 28.9 \%$$

الطاقة النوعية

Specific Energy

تعرف الطاقة النوعية (E) لمقطع سريان ما بأنها الطاقة لوحدة الوزن لهذا المقطع على أساس أن مستوى المقارنة ($Datum$) يمر بأسفل نقطة فى القاع لهذا المقطع ($z = 0$) وعلى ذلك تكون الطاقة النوعية عند أى نقطة على امتداد المجرى هى مجموع عمق السريان (y) وضغط السرعة $\left(\frac{V^2}{2g}\right)$:

$$E = y + \frac{V^2}{2g}$$

حيث: E هى الطاقة النوعية بالمتري

وسوف نستخدم هنا فكرة التصريف لوحدة العرض من المجرى للمساعدة فى توضيح علاقات الطاقة النوعية. وسوف نستخدم مجرى مقطعه على شكل مستطيل عرضه (b) وتصرفه (Q) ولذلك فإن التصريف لوحدة العرض هو

$$q = \frac{Q}{b}$$

حيث: q = التصريف لوحدة العرض متر^٣/ث

ولذلك يمكن التعبير عن سرعة السريان كما يلى:

$$V = \frac{Q}{A} = \frac{q \cdot b}{y \cdot b} = \frac{q}{y}$$

وبذلك يمكن التعبير عن الطاقة النوعية كما يلى

$$E = y + \frac{q^2}{2gy^2}$$

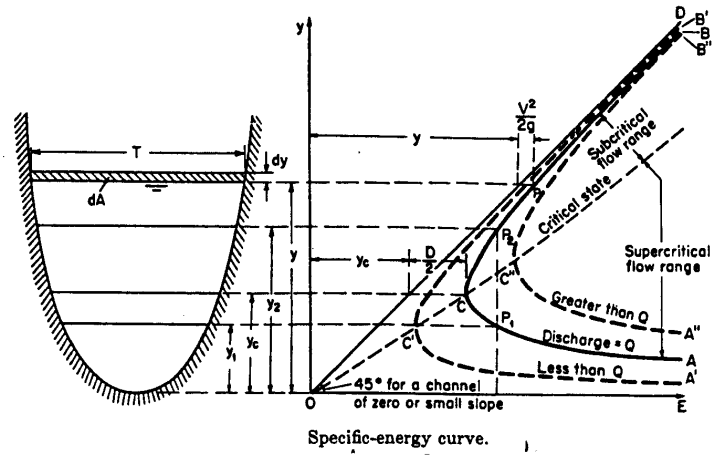
وبترتيب المعادلة على الصورة

$$(E - y) y^2 = \frac{q^2}{2g}$$

حيث أن الطرف الأيمن مقدار ثابت في السريان المستقر Steady-state. بتوقيع المعادلة السابقة على الرسم شكل (٤-٥) وذلك لقيمة محددة للتصرف q فإنها تقترب من الخط الذي يميل ٤٥° على الأفقى عند $(E - y) = 0$ أى $E = y$ وكذلك تقترب أيضاً من المحور الأفقى عند $y = 0$. فكما يتضح من الشكل أن المنحنى له فرعان، أحدهما يتقارب من المحور الأفقى فى إتجاه اليمين (عند $E = \infty$) والفرع الآخر يتقارب مع الخط الذى يمر بنقطة الأصل ويميل مع الأفقى بزاوية ٤٥° فى إتجاه اليمين إلى أعلى (عند $y = \infty$) ويوضح الشكل كذلك تأثيره زيادة أو نقصان التصرف على وضع المنحنى.

والمنحنى يبين أنه لقيمة محددة للطاقة النوعية من الممكن أن يمر التصرف أما بعمق صغير ($y_1 = y_{sup}$) أو بعمق كبير ($y_2 = y_{sub}$). كل من هذين العمقين يقال أنه عمق متبادل alternate depth للعمق الآخر.

عند نقطة C تكون قيمة الطاقة النوعية أقل ما يمكن (E_{min}). وتكون قيمة العمقين المتبادلين متساوية ($y_1 = y_2$). ويمكن إيجاد الشروط الذى توجد عنده E_{min} وذلك من المعادلة الخاصة بالطاقة النوعية حيث تكون



شكل (٤-٥): منحنى الطاقة النوعية

$$E_{min} \text{ at } \frac{dE}{dy} = 0$$

$$E = y + \frac{Q^2}{2gA^2}$$

$$V = \frac{Q}{A} \quad \text{حيث}$$

$$\frac{dE}{dy} = 1 - \frac{Q^2}{gA^3} \left(\frac{dA}{dy} \right)$$

$$= 1 - \frac{V^2}{gA} \left(\frac{dA}{dy} \right)$$

$$dA = T \cdot dy$$

$$\therefore \frac{dA}{dy} = T$$

$$\frac{dE}{dy} = 1 - \frac{V^2 T}{gA}$$

أقل قيمة للطاقة النوعية تحدث عند مساواة التفاضل بالصفر

$$\frac{dE}{dy} = 1 - \frac{V^2 T}{gA} = 0$$

$$\frac{V^2 \cdot T}{gA} = \frac{V^2}{gD} = F_r^2 = 1$$

أى عندما تكون

$$F_r = \frac{V}{\sqrt{gD}} = 1$$

$$\frac{Q^2}{g} = \frac{A^3}{T}$$

أو عندما تكون

حيث:

F_r = رقم فرود Froude number

D = العمق الهيدروليكي المتوسط Hydraulic depth

في حالة المقطع المستطيل يكون $D = y$

$$F_r = \frac{V}{\sqrt{gD}} = 1$$

ففي حالة السريان الحرج $y_1 = y_2 = y_3$

حيث:

y_c = عمق السريان الحرج ويسمى بالعمق الحرج Critical depth

سرعة السريان التي يمر بها تصرف محدد في مقطع معين بعمق يساوى

العمق الحرج (y_c) تسمى بالسرعة الحرجة Critical Velocity ويرمز لها بالرمز

V_c .

$$\frac{dE}{dy} = 1 - \frac{q^2}{gy^3} = 0 \quad \text{وفي حالة المقطع المستطيل}$$

$$y_c = \left(\frac{q^2}{g} \right)^{\frac{1}{3}} \quad \text{ومنها تحصل على العمق الحرج}$$

$$V = \frac{q}{y} \quad \text{وحيث أن}$$

فإن السرعة الحرجة يمكن الحصول عليها كالتالي:

$$V_c = \sqrt{g y_c}$$

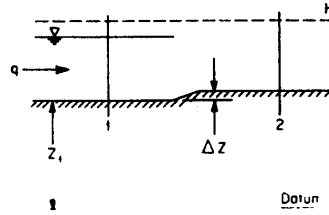
$$\frac{V_c^2}{2g} = \frac{y_c}{2}$$

$$E_{min} = y_c + \frac{V_c^2}{2g} = \frac{3}{2} y_c$$

$$y_c = \frac{2}{3} E_{min}$$

عوائق السريان Flow Constriction

سوف نأخذ مثالاً على عوائق السريان في حالة السريان في مجرى مقطعه مستطيل والعائق هو إرتفاع في قاع المجرى (*Step*) وسوف نفترض أن الطاقة الكلية للسريان (H) ثابتة قبل وبعد العائق بمعنى إهمال الفاقد في الاحتكاك عبر العائق. وأيضاً نفترض أن السريان تحت حرج بكتابة معادلة برنولي للسريان عبر القطاعين ١، ٢.



$$z_1 + y_1 + \frac{V_1^2}{2g} = (z_1 + \Delta z) + y_2 + \frac{V_2^2}{2g}$$

وبالتعويض عن وحدة التصريف $V = \frac{q}{y}$ نحصل على

$$z_1 + y_1 + \frac{q^2}{2g y_1^2} = (z_1 + \Delta z) + y_2 + \frac{q^2}{2g y_2^2}$$

والتي يمكن إختصارها إلى

$$H = z_1 + E_1 = (z_1 + \Delta z) + E_2$$

$$E_2 = E_1 - \Delta z$$

وحيث أننا نعمل على الذراع العلوى لمنحنى الطاقة النوعية حيث أن الفرض أن

السريان تحت حرج فإن $y_2 < y_1$

وبهذا يتضح أن عمق السريان يقل أو يتناقص بعد المرور على الارتفاع

أو العائق ولحساب العمق الجديد y_2 يجب حل المعادلة من الدرجة الثالثة *cubic*

equation كما يتضح من المثال التالى.

مثال:

مياه تسرى بسرعة ١,١ متر/ث بعمق ١,٨ متر فى مجرى مقطعه على

شكل مستطيل على فرض أن قاع المجرى أفقى. ويعترض المجرى ارتفاع أملس

smooth step ٠,١٥ متر فى القاع. احسب العمق بعد العائق على إهمال الفاقد فى

الاحتكاك.

الحل:

$$H = Z_1 + E_1 = (Z_1 + \Delta Z) + E_2$$

$$E_2 = E_1 - 0.15$$

$$E_1 = y_1 + \frac{V_1^2}{2g}$$

$$E_1 = 1.8 + \frac{(1.1)^2}{2 \times 9.81}$$

$$E_1 = 1.86 \text{ m}$$

$$E_2 = 1.86 - 0.15 = 1.71 \text{ m}$$

$$E_2 = y_2 + \frac{q^2}{2g y_2^3} \quad \because q = v \cdot y$$

$$E_2 = y_2 + \frac{(1.1 \times 1.8)^2}{2(9.81) y_2^3}$$

$$E_2 = y_2 + \frac{0.2}{y_2^3} = 1.71 \text{ m}$$

$$y_2^3 - 1.71 y_2^2 + 0.2 = 0$$

وهذه معادلة من الدرجة الثالثة يمكن حلها بطريقة المحاولة والخطأ أو

بطريقة نيوتن لحل المعادلات الغير خطية *Newton's method for non linear equations*

أولاً نضع المعادلة على صورة دالة في y ثم نأخذ تفاضلها كالتالي:

$$F(y) = 0 = y_2^3 - 1.71 y_2^2 + 0.2$$

$$F'(y) = 3 y_2^2 - 3.42 y_2$$

وللحل بطريقة نيوتن نفترض قيمة ابتدائية للعمق y_n وهي قيمة سابقة أيضاً

في عملية التكرار للحل والقيمة الحالية *Current iteration* هي y_{n+1} كالتالي:

$$y_{n+1} = y_n - \frac{f(y_n)}{f'(y_n)}$$

وبالتعويض عن القيم السابقة

$$y_{n+1} = y_n - \frac{y_n^3 - 1.71 y_n^2 + 0.2}{3 y_n^2 - 3.42 y_n}$$

نفترض قيمة ابتدائية *initial estimate* ١,٥ متر للعمق y_n

ونعوض في المعادلة السابقة ثم نكرر العملية إلى أن يتساوى فيها قيمتين متتاليتين أو تثبت القيمة أو بمعنى آخر تقترب قيمتين من بعضهما بالقدر الكافي لتحقيق الدقة المطلوبة للحل كما يلي:

| y_n | y_{n+1} |
|-------|-----------|
| 1.500 | 1.668 |
| 1.668 | 1.637 |
| 1.637 | 1.635 |
| 1.635 | 1.635 |

أى أن الرقم لم يتغير لثالث رقم عشري ولهذا

$$y_2 = 1.635m$$

ومن هذا يتضح أن عمق السريان تناقص بعد المرور على العائق.

مثال:

تسرى مياه بسرعة ٣ متر/ث و عمق سريان ٣ متر فى مجرى أملس مقطعه على شكل مستطيل. احسب أقصى ارتفاع لعائق يمكن أن يحفظ حالة السريان السابقة ثابتة من حيث التصرف مع فرض إهمال الفاقد فى الاحتكاك.

الحل:

$$E_1 = y_1 + \frac{v_1^2}{2g}$$

$$E_1 = 3 + \frac{(3)^2}{2 \times 9.81} = 3.459m$$

وأقصى إرتفاع للعائق يساوى الفرق بين الطاقة النوعية قبل العائق وأقل طاقة نوعية والتي تحدث عند العمق الحرج للسريان إذن نحسب العمق الحرج.

$$y_c = \left[\frac{q^2}{g} \right]^{1/3} \quad q = v \times y$$

$$y_c = \left[\frac{((3m/s)(3.0))^2}{9.81m/s^2} \right]^{1/3}$$

$$y_c = 2.021m$$

$$\therefore y_c = \frac{2}{3} E_{min}$$

أى أن

$$E_{min} = \frac{3}{2} y_c$$

$$\therefore E_{min} = \frac{3}{2} (2.02m) = 3.032m$$

ولهذا يكون أقصى إرتفاع للعائق

$$\begin{aligned} \Delta z_{max} &= E_1 - E_{min} \\ &= 3.459m - 3.032m \\ &= 0.427m \end{aligned}$$

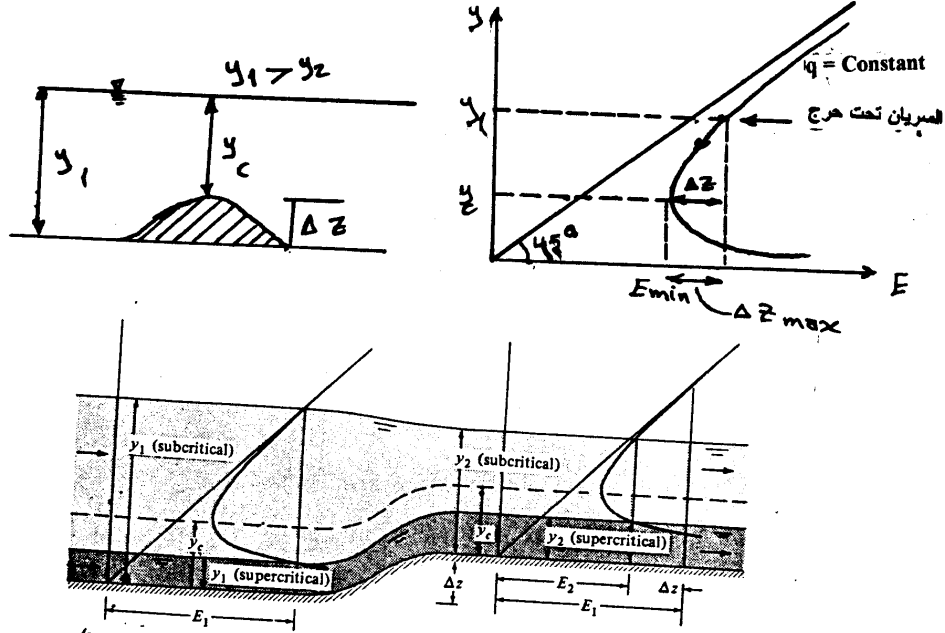
فإذا زاد إرتفاع العائق عن ذلك فإنه يعترض التصرف ولا يمكن المحافظة

على هذا التصرف.

ولذلك فإن زيادة الإرتفاع للعائق سوف يجعل السريان فى المجرى يتبع منحنى طاقة نوعية آخر منحرفاً جهة اليسار أى لتصرف أقل لوحدة العرض.

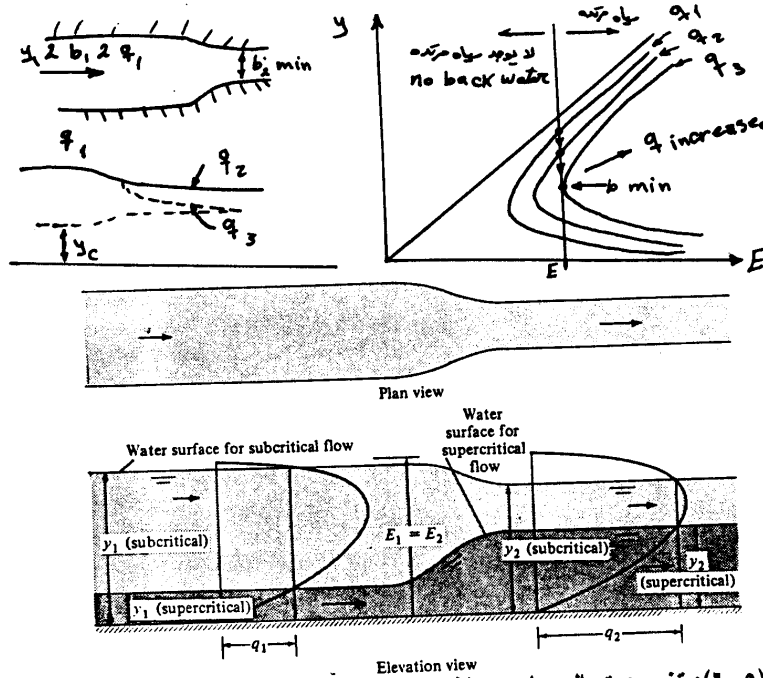
ونلاحظ أنه إذا كان السريان فوق حرج أى إننا نعمل على الفرع الأسفل عن منحنى الطاقة النوعية فإن $y_1 < y_2$ أى إننا نتحرك على المنحنى الأعلى كما هو موضح بالشكل (٥-٥).

أما إذا كان العائق هو ضيق فى عرض المجرى Change in width



شكل (٥-٥): تغير عمق المياه مع إرتفاع قاع المجرى. (المصدر Roberson)

يوضح الشكل (٦-٥) إن تضيق عرض المجرى يؤثر على عمق السريان تبعاً لحالة السريان فإذا كان السريان فوق حرج (هادر) فإن عمق السريان يتزايد بتقليل عرض المجرى أما إذا كان السريان تحت حرج (هادي) فإن عمق السريان يتناقص. وكما هو واضح من خط ثبات الطاقة E فإنه مع تقليل عرض المجرى b تتزايد قيمة q وذلك للحفاظ على ثبات التصريف الكلي إلى أن تصل إلى قيمة أقل عرض للمجرى b_{min} الذي يماس خط ثبات الطاقة النوعية E عند الحالة الحرجة للسريان وإذا حدث ضيق في المجرى أكثر من ذلك فإن المياه ترتد أعلى العائق ليزيد عمقها وبالتالي تزيد طاقتها E لكي يمكنها من عبور المجرى بتصريف q أكبر لوحدة العرض.



شكل (٦-٥): تغير عمق السريان مع تغير عرض المجرى (المصدر Roberson)

لاحظ أن q تتغير بتغير b مع ثبات Q حيث أن:

$$q = \frac{Q}{b}$$

مثال:

تسرى مياه في مجرى مقطعه على شكل مستطيل عرضه ٦ متر وعمق السريان ٣ متر بتصرف ٣٠ م^٣/ث. أحسب رقم فرود وحدد نوع السريان وكذلك العمق المتبادل *alternate depth*. واحسب أيضاً العمق الحرج لهذا التصرف.

الحل:

$$V = \frac{Q}{A} = \frac{30 \text{ m}^3/\text{s}}{(3\text{m})(6\text{m})} = 1.67 \text{ m/s}$$

$$F_r = \frac{V}{\sqrt{gy}} = \frac{1.67}{\sqrt{9.81 \times 3}} = 0.31 < 1 \quad \text{subcritical} \quad \text{سريان تحت حرج}$$

$$E = y + \frac{v^2}{2g}$$

$$= 3 + \frac{1.67^2}{2 \times 9.81} = 3.14 \text{ m}$$

$$E = y + \frac{q^2}{2gy^2}$$

وبحل المعادلة السابقة يمكن الحصول على العمق المتبادل

$$3.14 = y + \frac{25}{2 \times 9.81 y^2}$$

$$3.14 y^2 = y^3 + 1.27421$$

$$y^3 - 3.14 y^2 + 1.27421 = 0$$

$$y_{n+1} = y_n - \frac{f(y_n)}{f'(y_n)}$$

$$= y_n - \frac{y_n^3 - 3.14 y_n^2 + 1.27421}{3y_n^2 - 6.28 y_n}$$

| y_n | y_{n+1} |
|-------|-----------|
| 1 | 0.736 |
| 0.736 | 0.7266 |

$$y = 0.72 \text{ m}$$

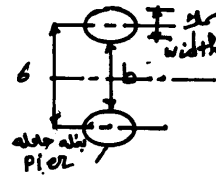
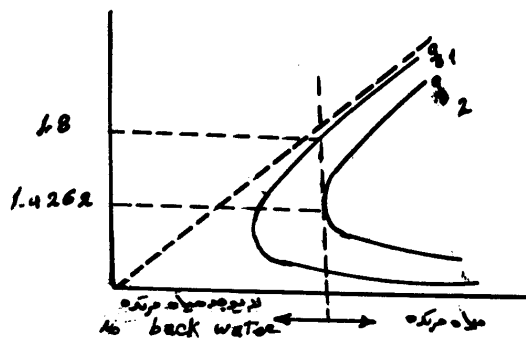
والعمق الحرج

$$y_c = \left(\frac{q^2}{g} \right)^{1/3} = \left(\frac{5^2}{9.81} \right)^{1/3} = 1.37 \text{ m}$$

مثال:

يمر تصريف لوحدة العرض ٤,٦٥ م^٣/ث.م في مجرى مقطعه على شكل مستطيل وعمق المياه ١,٨ متر. والمطلوب إنشاء كوبري *bridge* عبر المجرى ويحتاج عمل بعلات حامله *piers* على مسافات ٦ متر بين مراكز البعلات. فعلى فرض أن البعلات الحاملة ملساء ويمكن إهمال الفاقد في الاحتكاك. احسب سمك البعلات الحاملة بحيث لا يوجد مياه مرتدة خلف البعلات أو بمعنى آخر المحافظة على التصريف في المجرى.

الحل:



$$q_1 = 4.65$$

$$y_n = 1.8m$$

$$E = y + \frac{q^2}{2gy^2} = (1.8) + \frac{(4.65)^2}{2 \times 9.81 \times (1.8)^2} = 2.14m$$

$$y_c = \frac{2}{3} E = \frac{2}{3} \times 2.14 = 1.426667m$$

$$y_c = \sqrt[3]{\frac{q^2}{g}} \quad q^2 = (1.426667)^3 \times 9.81 = 28.486$$

$$q = 5.337$$

$$q_1 \times 6 = q_2 \times b$$

$$b = \frac{4.65 \times 6}{5.337} = 5.2274$$

$$width = 6 - 5.2274 = 0.7726m$$

∴ أقصى سمك للبغلات الحاملة هو ٠,٧٧ متر.

مثال:

أثبت أن عند حالة السريان الحرجة يكون التصريف أقصى ما يمكن وذلك

عند طاقة نوعية محددة (ثابتة)

الحل:

$$E = y + \frac{Q^2}{2gA^2}$$

$$2gA^2(E - y) = Q^2$$

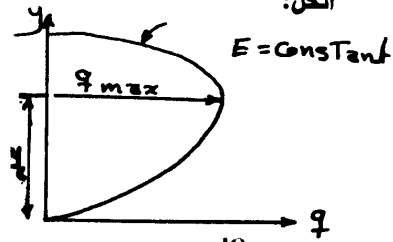
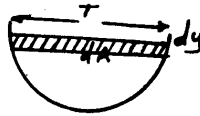
$$2g(2EA \frac{dA}{dy} - (A^2 + 2yA \frac{dA}{dy})) = 2Q \frac{dQ}{dy}$$

عند $\frac{dQ}{dy} = 0$ يكون التصريف أقصى ما يمكن

$$2EAT - A^2 - 2YAT = 0$$

$$T = \frac{dA}{dY} \quad \text{ويوضع}$$

بالقسمة على A.T



$$2E - \frac{A}{T} - 2y = 0$$

$$\frac{A}{T} = D \quad \text{ويوضع}$$

$$E - Y = \frac{D}{2}$$

وبالتعويض عن قيمة $E = y + \frac{v^2}{2g}$ نحصل على

$$\frac{v^2}{2g} = \frac{D}{2}$$

وهذا شرط السريان الحرج
أى أن عند السريان الحرج يكون التصرف عند قيمته العظمى

مثال: أثبت أن عند السريان الحرج فإن الطاقة النوعية تساوى ١,٥ عمق السريان وذلك لمجرى مقطعه مستطيل وميله الطولى يساوى صفراً.
الحل:

$$\frac{v^2}{2g} = \frac{D}{2}$$

عند السريان الحرج وميل صفر

$$D = Y \quad \text{ولمقطع مستطيل}$$

$$\frac{v^2}{2g} = \frac{Y}{2}$$

وتكون معادلة الطاقة النوعية فى هذه الحالة

$$E = Y + \frac{v^2}{2g}$$

$$E = Y_c + \frac{Y_c}{2}$$

عند السريان الحرج

$$E = \frac{3}{2} Y_c$$

عمق السريان المنتظم

normal depth

$$Q = \frac{1}{n} AR^{2/3} \sqrt{S} \quad \text{تصف معادلة مانينج السريان المنتظم}$$

$$AR^{2/3} = \frac{Q \cdot n}{\sqrt{S}} \quad \text{وبوضع المعادلة على الصورة}$$

يحتوى الجانب الأيمن من المعادلة على S, n, Q

بينما يعتمد الطرف الأيسر من المعادلة على شكل مساحة القطاع المائى فقط. ولهذا يتضح أنه لقيمة محددة من S, n, Q يوجد قيمة واحدة ممكنة فقط لعمق السريان لى يكون السريان منتظم. وهذا العمق للمياه يسمى عمق السريان المنتظم Y_n normal depth.

وغالباً ما تذيّل الأبعاد فى حالة السريان المنتظم بالحرف الصغير n أى Y_n, Q_n, S_n وهكذا لتدل على حالة السريان المنتظم وهى مأخوذة من *normal* ويوجد منحنيات شكل (٧-٥) لتسهيل عملية الحساب فى السريان المنتظم لمقاطع جريان مختلفة منها المستطيل والشبه منحرف والدائرة تسمى منحنيات السريان المنتظم أو منحنيات حساب عمق السريان المنتظم *Curves for determining the normal depth*.

مثال:

مجرى مقطعه على شكل شبه منحرف يحمل تصرف ٤٠٠ قدم^٣/ث
 $b = 20 \text{ ft} \quad z = 2 \quad S_0 = 0.0016 \quad n = 0.025$
 احسب عمق السريان المنتظم مستخدماً المنحنيات *Method of Design chart*

الحل:

$$AR^{2/3} = \frac{nQ}{1.486\sqrt{S}} \quad \text{English Unit}$$

$$= \frac{0.025 \times 400}{1.486 \sqrt{0.0016}} = 167.7$$

$$\frac{AR^{2/3}}{b^{8/3}} = \frac{167.7}{(20)^{8/3}} = 0.0569$$

ولهذه القيمة في المنحنى شكل (٧-٥) عند المحور الأفقى وعند المنحنى

$$\frac{Y}{b} = 0.168 \quad Z = 2 \text{ نقرأ على المحور الرأسى النسبة}$$

$$\frac{Y}{20} = 0.168 \quad \therefore Y_n = 3.36 \text{ ft}$$

مثال:

مجرى مائى مقطعه دائرى (بربخ Culvert) قطره ٣٦ بوصة موضوع على إحدار $S = 0.0016$ وكان $n = 0.015$ ويحمل تصرف ٢٠ قدم^٣/ث احسب عمق السريان المنتظم.

الحل:

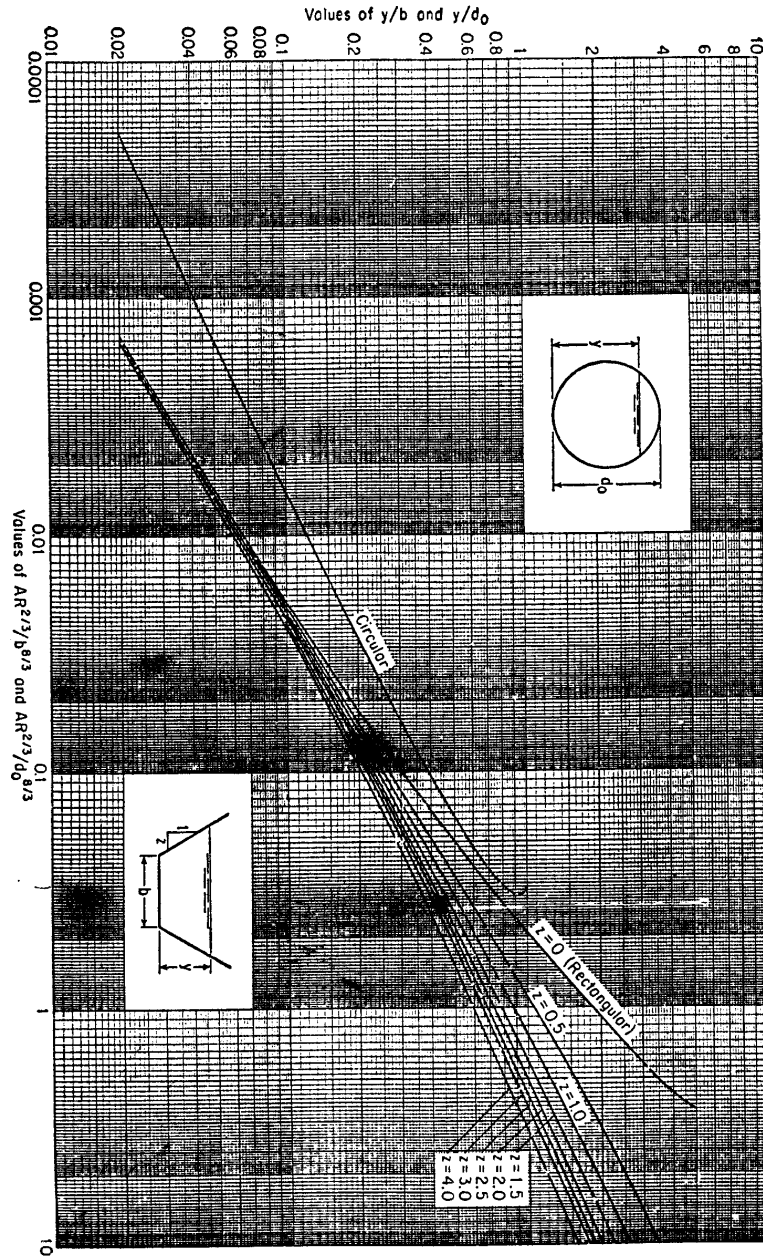
$$\frac{nQ}{1.486\sqrt{S}} = \frac{0.015 \times 20}{1.486\sqrt{0.0016}} = 5.04$$

$$\frac{AR^{2/3}}{d_0^{8/3}} = \frac{5.04}{(3)^{8/3}} = 0.269$$

ولهذه القيمة عند المحور نقابل المنحنى شكل (٧-٥) للمقطع الدائرى Circular

$$\frac{Y}{d_0} = 0.72 \text{ ونقرأ القيمة عند المحور الرأسى للنسبة}$$

$$\therefore Y = 0.72 \times 3 = 2.16 \text{ ft}$$



Curves for determining the normal depth.

شكل (٧-٥): منحنيات إيجاد العمق المنتظم (المصدر chow)

عمق السريان الحرج (العمق الحرج)

Critical depth

يتصف السريان في الحالة الحرجة بالآتي:

١- تبلغ الطاقة النوعية قيمتها الصغرى لتصرف معين.

٢- يبلغ التصرف قيمته العظمى عند قيمة معينة للطاقة النوعية.

٣- تبلغ القوة النوعية قيمتها الصغرى عند تصرف معين.

$$٤- \frac{V^2}{2g} = \frac{D}{2} \text{ عند الميول الصغيرة للمجرى } \theta = small$$

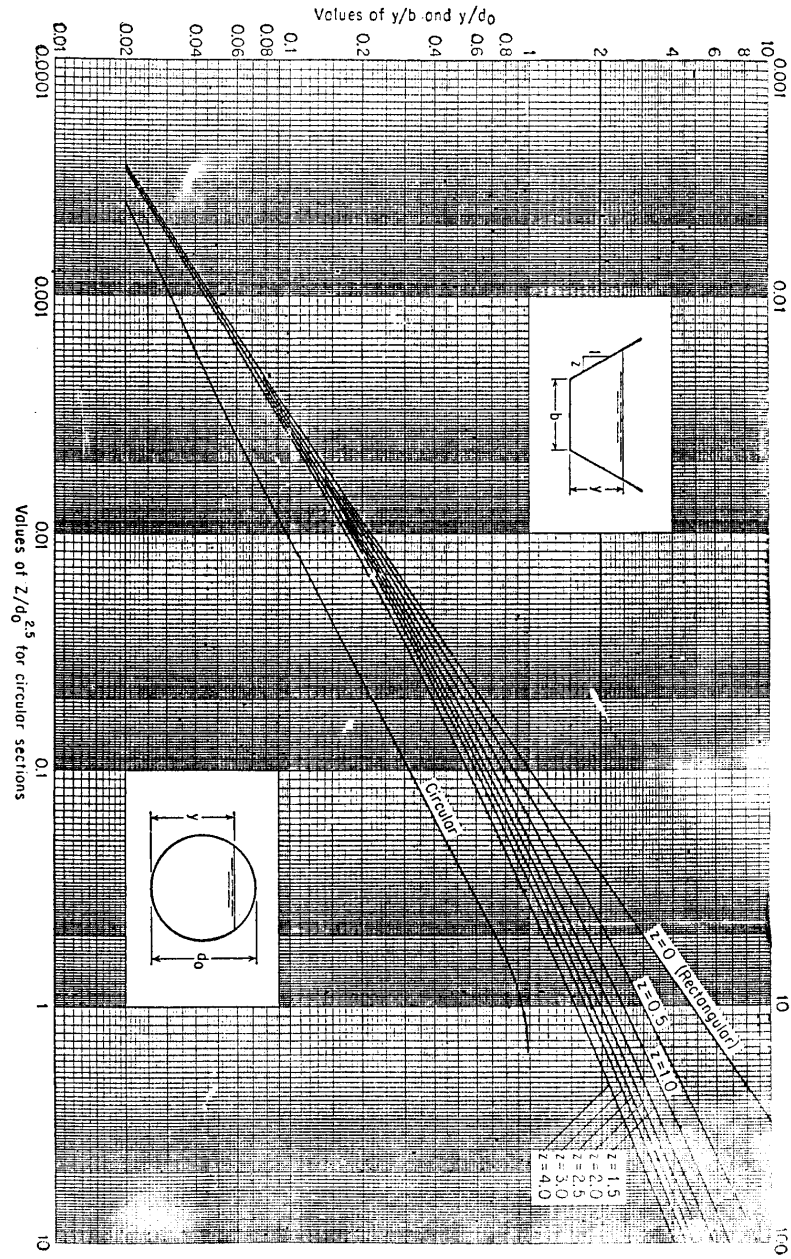
$$٥- F_r = 1$$

ويسمى عمق السريان لحالة السريان الحرجة بالعمق الحرج Y_c وكذلك يسمى الميل لقاع القناة في هذه الحالة بالميل الحرج S_c Critical slope ويتصف السريان إذا اقترب من الحالة الحرجة بعدم الاستقرار *unstable* ويرجع السبب في ذلك إن أى تغير صغير فى الطاقة النوعية يتسبب فى تغير كبير لعمق السريان حيث أن منحني الطاقة النوعية تقريباً رأسى عند السريان الحرج فأى تغير فى الطاقة النوعية يغير العمق للعمق المتبادل *alternate depth*. ولهذا عند السريان الحرج نلاحظ أن سطح المياه يكون غير مستقر و متموج *Wavy* ويحدث ذلك عامة نتيجة تغير بسيط فى خشونة القناة أو مساحة المقطع أو الميل أو أى ترسيب للطمى أو الشوائب فى المجرى. ولهذا عند التصميم إذا كان العمق للسريان عند العمق الحرج فيجب تغيير إما شكل أو ميل المجرى وذلك لتأمين الحصول على سريان مستقر.

ويوجد طريقة مبسطة لحساب العمق الحرج وهى طريقة إستخدام

منحنيات شكل (٥-٨) تحديد العمق الحرج *Curves for determining the*

Critical depth وتسمى أيضاً *Method of design chart*.



شكل (٥-٨): منحنيات إيجاد العمق الحرج (المصدر Chow)

$$\frac{V^2}{2g} = \frac{D}{2}$$

ف عند السريان الحرج

$$V = \frac{Q}{A} \quad \text{وبالتعويض}$$

$$\frac{Q^2}{A^2 2g} = \frac{D}{2}$$

$$\therefore \frac{Q}{\sqrt{g}} = A\sqrt{D}$$

$$Z = \frac{Q}{\sqrt{g}}$$

حيث Z هي معامل القطاع للسريان الحرج

Section factor for critical - flow

مثال:

احسب العمق الحرج لمجرى مقطعه على شكل شبه منحرف يحمل

$$b = 20 \text{ ft} \quad Z = 2 \quad \text{تصرف } 400 \text{ قدم}^3/\text{ث}$$

الحل:

$$Z = \frac{Q}{\sqrt{g}} = \frac{400}{\sqrt{32.2}} = 70.5$$

$$\frac{Z}{b^{2.5}} = \frac{70.5}{(20)^{2.5}} = 0.0394$$

وبهذه القيمة على المحور الأفقى نقابل المنحنى $Z = 2$ شكل (٥-٨)

ونقرأ على المحور الرأسى النسبة $\frac{Y}{b} = 0.108$

$$Y_c = 0.108 \times 20 = 2.16 \text{ ft}$$

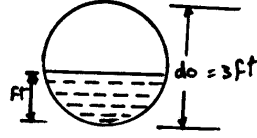
مثال:

احسب العمق الحرج لمجرى مقطعه دائري (برنيخ *culvert*) قطره ٣٦ بوصة ويحمل التصريف ٢٠ قدم^٣/ث.

الحل:

$$V = \frac{Q}{\sqrt{g}} = \frac{20}{\sqrt{32.2}} = 3.53$$

$$\frac{Z}{d_0^{2.5}} = \frac{3.53}{3^{2.5}} = \frac{3.53}{16.5} = 0.226$$



وبهذه القيمة على المحور الأفقي الأسفل نقابل المنحنى شكل (٥-٨)

للمقطع الدائري *Circular* ونقرأ على المحور الرأسى النسبة $\frac{Y}{d_0} = 0.48$

$$\therefore Y_c = 3 \times 0.48 = 1.44 \text{ ft}$$

الجريان سريع التغير

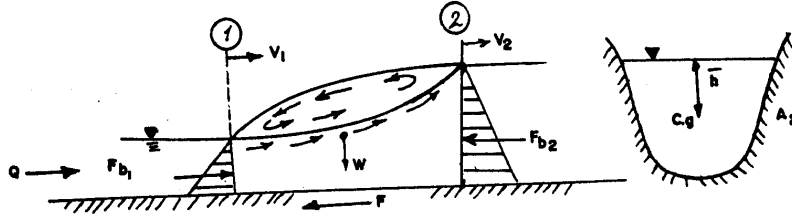
Rapidly Varied Flow

القفزة الهيدروليكية Hydraulic Jump

عند إنتقال السريان من حالة فوق الحرج (هادر) *Supercritical Flow* أى $(Y < Y_c)$ إلى حالة السريان تحت الحرج (هادئ) *Subcritical Flow* $(Y > Y_c)$ فإن الأنتقال يحدث فى صورة زيادة سريعة فى أعماق الجريان خلال مسافة قصيرة نسبياً. تسمى هذه الظاهرة بالقفزة الهيدروليكية وبقياس سرعات المياه خلال القفزة وجد أن الجزء السفلى منها تكون الحركة فيه إلى الأمام فى إتجاه السريان وفى صورة سريان يتسع فى الإتجاه الرأسى ويكون سريع التغير والجزء العلوى من القفزة يكون عبارة عن كتلة من الماء المختلط بالهواء وتتحرك هذه الكتلة عكس إتجاه حركة السريان. ويمكن القول بأن فى بداية القفزة يكون السريان فوق حرج ويكون الضغط موزع هيدروستاتيكياً وفى نهاية القفزة يكون السريان تحت حرج وتوزيع الضغط أيضاً هيدروستاتيكياً. وبين بداية القفزة ونهايتها سريان سريع التغير أى منطقة دوامات سطحية. وتستخدم القفزة الهيدروليكية لعدة أغراض منها:

- أ- تبديد طاقة السريان المار على الهدارات والسدود والمنشآت المائية.
- ب- زيادة عمق المياه على الجزء الخلفى لفروشات المنشآت المائية مما ينتج عنه زيادة الوزن المقاوم لقوى الرفع المائى على الفرش من أسفل والنتيجة من التسرب تحت الفرش.
- ج- زيادة عمق المياه خلف المنشآت المائية وذلك مما يسبب إستخدامها فى أغراض الري.

- د- خلط المواد الكيميائية المستخدمة في تنقية المياه.
- هـ- زيادة التصريف المار من تحت البوابات حيث تسبب زيادة الضغوط المؤثر على البوابة وذلك في حالة تكونها بعيداً بعض الشيء عن البوابة.



قفزة هيدروليكية في مجرى أفقى

العمق قبل القفزة Y_1 يسمى *initial depth* والعمق بعد القفزة Y_2 يسمى *sequent depth* أى العمق المرافق ويسمى العمقان Y_1, Y_2 بالعمقان المترافقان *Conjugate depth*. وبتطبيق معادلة كمية الحركة *Momentum eq*.

$$\Sigma F = \rho Q(V_2 - V_1) = m(V_2 - V_1)$$

$$F_{P1} - F_{P2} - F_F = \rho Q(V_2 - V_1)$$

مع فرض أن المجرى أفقى والمسافة بين المقطعين صغيرة ويمكن إهمال القوى المفقودة فى الاحتكاك بجدار المجرى أو قوى القص F_F أما قوى الضغط الهيدروستاتيكي على المستويين F_P .

$$F_{p1} = P_1 A$$

$$= \gamma h_1 A$$

$$= \gamma \frac{Y_1}{2} (Y_1 \times b_1)$$

إذا كان المجرى مستطيل الشكل ومنتظم

for rectangular cross-section

$$F_{p1} = \gamma \frac{Y_1}{2} b_1$$

$$\gamma \frac{Y_1^2}{2} b_1 - \gamma \frac{Y_2^2}{2} b_2 = \rho Q (V_2 - V_1)$$

$$Q = A_1 V_1 = A_2 V_2$$

ومن معادلة الاستمرار

$$\begin{aligned} \frac{\gamma Y_1^2 b_1}{2} - \frac{\gamma Y_2^2 b_2}{2} &= \rho Q \left(\frac{Q}{A_2} - \frac{Q}{A_1} \right) \\ &= \rho Q^2 \left(\frac{1}{A_2} - \frac{1}{A_1} \right) \end{aligned}$$

وبالقسمة على γ

$$\begin{aligned} \frac{Y_1^2 b_1}{2} - \frac{Y_2^2 b_2}{2} &= \frac{\rho Q^2}{\gamma} \left(\frac{1}{A_2} - \frac{1}{A_1} \right) \\ &= \frac{Q^2}{g} \left(\frac{1}{A_2} - \frac{1}{A_1} \right) \end{aligned}$$

ومع الفرض بأن مقطع المجرى مستطيل

$$Q = qb$$

$$\therefore A = bY$$

$$\frac{Y_1^2 b}{2} - \frac{Y_2^2 b}{2} = \frac{q^2 b^2}{g} \left(\frac{1}{bY_2} - \frac{1}{bY_1} \right)$$

وبالقسمة على b

$$\frac{Y_1^2}{2} - \frac{Y_2^2}{2} = \frac{q^2}{gY_2} - \frac{q^2}{gY_1}$$

$$\frac{q_1^2}{gY_1} - \frac{Y_1^2}{2} = \frac{q_2^2}{gY_2} - \frac{Y_2^2}{2}$$

وبتعريف القوة النوعية F

$$F = \text{Specific Force} = \frac{q^2}{gy} + \frac{y^2}{2}$$

ويسمى المقدار $\frac{q^2}{gy} + \frac{y^2}{2}$ والخاص بمقطع جريان معين بالقوة النوعية لهذا

المقطع ويرمز له F

ومن هذا يتضح أنه للقفزة الهيدروليكية فإن $F_1 = F_2$

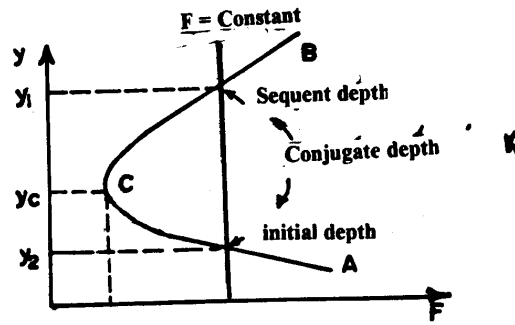
والقوة النوعية تمثل القوة لوحدة الوزن من الماء.

ولمجرى مقطعه ثابت على امتداد طوله ويمر به تصرف معين Q يمكن رسم

منحنى يوضح العلاقة بين العمق Y والقوى النوعية F ويسمى هذا المنحنى

بمنحنى القوى النوعية *Specific Force diagram* والشكل يوضح منحنى القوى

النوعية (ACB) لمقطع معين في مجرى له Q محددة



كما يتضح من الشكل أن المنحنى له فرعان أحدهما (CA) يتقارب مع المحور الأفقى (محور F) فى إتجاه اليمين ($F \rightarrow \infty$ at $Y \rightarrow 0$) والفرع الآخر (CB) يرتفع ويمتد لأعلى ناحية اليمين ($Y \rightarrow \infty$ at $F \rightarrow \infty$).

والمنحنى يوضح أنه لقيمة محددة للقوى النوعية (F) يمكن أن يمر التصريف إما بعمق صغير (Y_1) أو بعمق كبير (Y_2) كل من هذين العمقين هو العمق المرافق للآخر *Conjugate depth*.

عند نقطة C على المنحنى تكون قيمة القوى النوعية أقل ما يمكن (F_{min}) وتكون قيمة العمقين المترافقين متساوية وتساوى العمق الحرج $Y_1 = Y_2 = Y_c$ ويمكن إثبات ذلك كما يلى:

$$F_{min} @ \frac{dF}{dY} = 0$$

$$F = \frac{q^2}{gY} + \frac{Y^2}{2}$$

$$\frac{dF}{dY} = -\frac{q^2}{gY^2} + Y = 0$$

$$\frac{q^2}{gY^2} = Y \quad \therefore \frac{q^2}{g} = Y^3$$

وهذا هو العمق الحرج فى حالة المقطع المستطيل كما سبق برهانه فى الطاقة

$$\therefore Y = \sqrt[3]{\frac{q^2}{g}} \quad \text{النوعية}$$

$$\therefore F = \frac{Y^3 g}{gY} + \frac{Y^2}{2} = \frac{3}{2} Y^2$$

وبذلك تكون F_{min}

ولإيجاد العمق المرافق يتبع الآتى:

فى حالة القفزة الهيدروليكية $F_1 = F_2$

$$\frac{q^2}{gY_1} + \frac{Y_1^2}{2} = \frac{q^2}{gY_2} + \frac{Y_2^2}{2}$$

$$\frac{q^2}{g} \left(\frac{1}{Y_1} - \frac{1}{Y_2} \right) = \frac{1}{2} (Y_2^2 - Y_1^2)$$

$$\frac{q^2}{g} \left(\frac{Y_2 - Y_1}{Y_2 Y_1} \right) = \frac{1}{2} (Y_2 - Y_1) (Y_2 + Y_1)$$

$$\frac{q^2}{gY_2 Y_1} = \frac{1}{2} (Y_2 + Y_1)$$

$$q = Y_1 V_1$$

$$\frac{V_1^2 Y_1^2}{gY_1 Y_2} = \frac{1}{2} (Y_2 + Y_1)$$

$$\frac{V_1^2}{g} = \frac{1}{2} \frac{Y_2}{Y_1} (Y_2 + Y_1)$$

$$\frac{V_1^2}{gY_1} = F_{r1}^2 = \frac{1}{2} \frac{Y_2}{Y_1} \left(\frac{Y_2}{Y_1} + 1 \right)$$

ويمكن وضع المعادلة السابقة على صورة معادلة من الدرجة الثانية

$$\left(\frac{Y_2}{Y_1} \right)^2 + \left(\frac{Y_2}{Y_1} \right) - 2 F_{r1}^2 = 0$$

$$\frac{Y_2}{Y_1} = \frac{1}{2} \left(\sqrt{1 + 8 F_{r1}^2} - 1 \right)$$

ومن الممكن كتابة المعادلة السابقة على الصورة الآتية إذا كان المعلوم الحالة عند

$$\frac{Y_1}{Y_2} = \frac{1}{2} \left(\sqrt{1 + 8 F_{r2}^2} - 1 \right)$$

المقطع ٢

والآن سنحاول إيجاد الفقد في الطاقة نتيجة القفزة الهيدروليكية حيث أننا ذكرنا إنها تستخدم لتبديد طاقة السريان

$$\begin{aligned}\Delta E &= E_1 - E_2 \\ &= \frac{q^2}{2gY_1^2} + Y_1 - \left(\frac{q^2}{2gY_2^2} + Y_2 \right) \\ &= \frac{q^2}{2g} \left(\frac{1}{Y_1^2} - \frac{1}{Y_2^2} \right) + Y_1 - Y_2 \rightarrow (1)\end{aligned}$$

$$F_1 = F_2$$

في القفزة الهيدروليكية

$$\begin{aligned}\therefore \frac{q^2}{gY} + \frac{Y^2}{2} &= \frac{q^2}{gY_2} + \frac{Y_2^2}{2} \\ \frac{q^2}{g} \left(\frac{1}{Y_1} - \frac{1}{Y_2} \right) &= \frac{Y_2^2}{2} - \frac{Y_1^2}{2} \\ \frac{q^2}{g} &= \left(\frac{Y_2^2}{2} - \frac{Y_1^2}{2} \right) / \left(\frac{1}{Y_1} - \frac{1}{Y_2} \right) \rightarrow (2)\end{aligned}$$

بالتعويض معادلة (2) في معادلة (1) ينتج

$$\begin{aligned}\Delta E &= \frac{1}{2} \left(\frac{Y_1^2}{2} - \frac{Y_2^2}{2} \right) \left(\frac{1}{Y_1} + \frac{1}{Y_2} \right) + Y_1 - Y_2 \\ &= \frac{Y_2^2}{4Y_1} - \frac{Y_1}{4} + \frac{Y_2}{4} - \frac{Y_1^2}{4Y_2} + Y_1 - Y_2 \\ &= \frac{Y_2^2 - Y_1^2 Y_2 + Y_1 Y_2^2 - Y_1^3 + 4Y_1^2 Y_2 - 4Y_1 Y_2^2}{4Y_1 Y_2} \\ &= \frac{Y_2^3 - Y_1^3 - 3Y_1^2 Y_2 + 3Y_1 Y_2^2}{4Y_1 Y_2}\end{aligned}$$

$$\Delta E = \frac{(Y_2 - Y_1)^3}{4Y_1 Y_2}$$

الفاقد في الطاقة نتيجة حدوث القفزة الهيدروليكية

$$h_f = \Delta E$$

مثال:

تسرى مياه بعمق ٣٠ سم وبسرعة ١٦ متر/ث في مجرى مائى مستطيل المقطع فإذا تكونت قفزة هيدروليكية فما هو عمق السريان وسرعة المياه بعد حدوث القفزة الهيدروليكية واحسب كذلك الفاقد فى الطاقة نتيجة حدوث القفزة.

الحل:

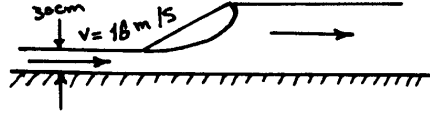
$$F_{r1} = \frac{V}{\sqrt{gY_1}} = \frac{16}{\sqrt{9.81(0.3)}} = 9.33$$

$$Y_2 = \frac{Y_1}{2} \left[\sqrt{1+8F_{r1}^2} - 1 \right]$$

$$= \frac{0.3}{2} \left[\sqrt{1+8(9.33)^2} - 1 \right] = 3.81 \text{ m} \quad \leftarrow$$

$$V_2 = \frac{q}{Y_2} = \frac{16(0.30)}{3.81} = 1.26 \text{ m/s} \quad \leftarrow$$

$$h_L = \Delta E = \frac{(Y_2 - Y_1)^3}{4Y_1Y_2} = \frac{(3.81 - 0.30)^3}{4(0.3)(3.81)} = 9.46 \quad \leftarrow$$



ويمكن حساب الفاقد فى الطاقة بطريقة أخرى والتحقق من النتيجة السابقة

كالآتى:

$$h_L = E_1 - E_2$$

$$= \left(0.30 + \frac{16^2}{2 \times 9.81} \right) - \left(3.81 + \frac{1.26^2}{2 \times 9.81} \right)$$

$$= 9.46 \text{ m}$$

تصميم القنوات ذات الجريان المنتظم

Channel Design for Uniform Flow

١ - القنوات الغير قابلة للنحر Nonerodible Channels

تعتبر القنوات المبطننة أو المحفورة فى طبقات صخرية قنوات غير قابلة للنحر. تعتمد طريقة تحديد أبعاد القنوات الغير قابلة للنحر (التصميم) على إستخدام معادلات السريان المنتظم مثل معادلة شيزى - مانينج باعتبار أكفا مقطع هيدروليكى بالإضافة إلى كل من العلاقات التجريبية والتى برهنة فعاليتها والإعتبار إلى الاقتصادية والعملية فى الإنشاء.

أ - أقل سرعة مسموح بها minimum Permissible Velocity

أقل سرعة مسموح بها هى السرعة التى تحتفظ بالسلت عالق فى المياه ولاتسمح بترسيبه فى قاع القناة (الإطماء). وهى أيضاً السرعة التى لاتسمح بنمو الحشائش والنباتات المائية والطحالب فى القناة. فإذا حدث إطماء أو نمو للنباتات المائية فى القناة فإن مقطع القناة يتغير ويتسبب فى إنحراف التصميم عن القيمة المستتجة من معادلات السريان المنتظم. وغالباً ما تستخدم أقل سرعة مسموح بها هى ٠,٦ إلى ٠,٩ متر/ث (٢-٣ متر/ث) وقد تؤخذ أحياناً ٠,٥ متر/ث.

ب - أكفا مقطع هيدروليكى Best hydraulic Section

ويعتبر أكفا مقطع هيدروليكى هو المقطع النصف دائرى. أما المقطع الشبه منحرف هو الأكثر إستعمالاً لسهولة الإنشاء وخاصة فى غرب الولايات المتحدة الأمريكية.

الإرتفاع الحر Freeboard

الإرتفاع الحر هو المسافة الرأسية بين سطح المياه فى المجرى وقمة التيطين كما هو مبين فى الشكل (٥-٩). والأرتفاع الحر يعتبر معامل أمان لمنع موجات المياه على السطح من أن تفيض على جوانب القناة وإضعاف تثبيت المجرى. والطريقة المعتادة فى تحديد الإرتفاع الحر هى طريقة مكتب الاستصلاح الأمريكى *U.S. Bureau of Reclamation* معبراً عنها بالنظام الدولى للوحدات.

$$F = [0.4572 Y_n]^{1/2} \quad \text{for } Q = 0.57 \text{ m}^3 / \text{s} (20 \text{ cfs})$$

$$F = [0.7620 Y_n]^{1/2} \quad \text{for } Q = 85 \text{ m}^3 / \text{s} (3000 \text{ cfs})$$

حيث:

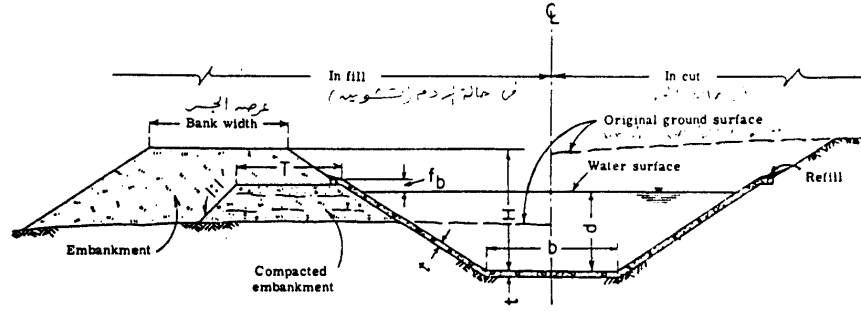
$$F = \text{الأرتفاع الحر بالمتر}$$

$$Y_n = \text{العمق العادى أو عمق السريان المنتظم بالمتر.}$$

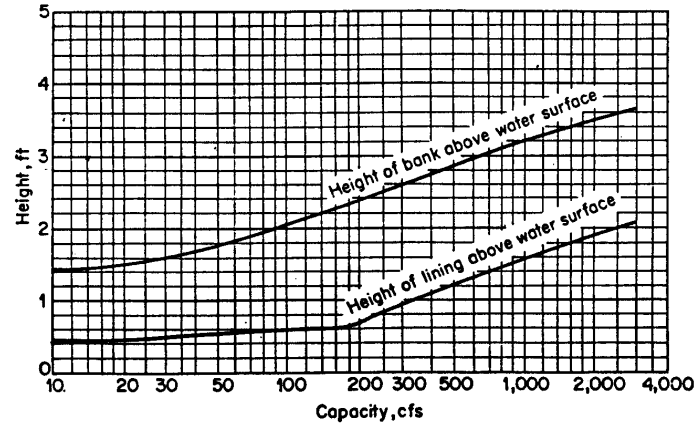
$$Q = \text{التصرف التصميمى.}$$

والإرتفاع الحر يتراوح بين ٠,٣ متر (١ قدم) للقنوات الصغيرة والغير عميقة إلى ١,٢ متر (٤ قدم) للقنوات التى تحمل تصرف أكبر من أو يساوى ٨٥ م^٣/ث. وأيضاً قد يستخدم إرتفاع حر يتراوح بين ٥% إلى أكثر من ٣٠% من عمق السريان فى المجرى.

ويمكن إيجاد الإرتفاع الحر أيضاً من المنحنيات التى قام بإعدادها مكتب الإستصلاح الأمريكى (USBR) كما هو مبين فى الشكل (٥-١٠).



شكل (٩-٥): قطاع نمطي في قناة مبطنة يوضح الإرتفاع لحر f_b ومنسوب الأرض لطبيعية في حالة الحفر وفي حالة الردم وتشوين الجسر (المصدر kretz)



شكل (١٠-٥): إيجاد الإرتفاع الحر وارتفاع الجسر للمجارى المبطنة (المصدر USBR)

حساب أبعاد مقطع القناة Calculation of Section Dimensions

تعتمد حسابات مقطع القناة على معادلة مانينج وبعض العلاقات التجريبية التي أثبتت فعاليتها.

- ١- تحديد معامل مانينج n حسب نوع مادة القناة.
- ٢- اختار ميل أو إنحدار قاع القناة S_0 حسب الطبوغرافية والاعتبارات العملية.
- ٣- تحديد التصريف التصميمي للقناة المطلوب نقله حسب المساحة المركبة على القناة والاحتياجات المائية للمحاصيل.
- ٤- تحديد معامل القطاع SF Section Factor من معادلة مانينج كالآتي:

$$SF = AR^{2/3} = \frac{nQ}{S_0^{1/2}}$$

- ٥- نحصل من المعادلة السابقة على عمق السريان Y_n على أساس أكفاً مقطع هيدروليكي

ويمكن استخدام شكل (٥-١١) في إيجاد القيم الشائعة الاستخدام لعرض القاع b في حالة القنوات المبطنية التي على شكل شبه منحرف وميولها الجانبية $Z = 2$ أو $Z = 3$ أي (١ رأسى إلى ٢ أفقى) ، (١ رأسى إلى ٣ أفقى) ونادراً ما يستخدم $Z = 0.5774$ وهى قيمة Z لأكفاً مقطع هيدروليكي. ويستخدم جدول (٥-٣) لإيجاد الميول الجانبية حسب نوع مادة القناة.

- ٦- بعد حساب أبعاد المجرى يتم حساب السرعة المتوسطة للسريان ومقارنتها بأقل سرعة مسموح بها لعدم حدوث الإطماء (ترسيب الطمي) أو نمو الطحالب والنباتات المائية ويجب التأكد أيضاً من أن السريان فوق حرج

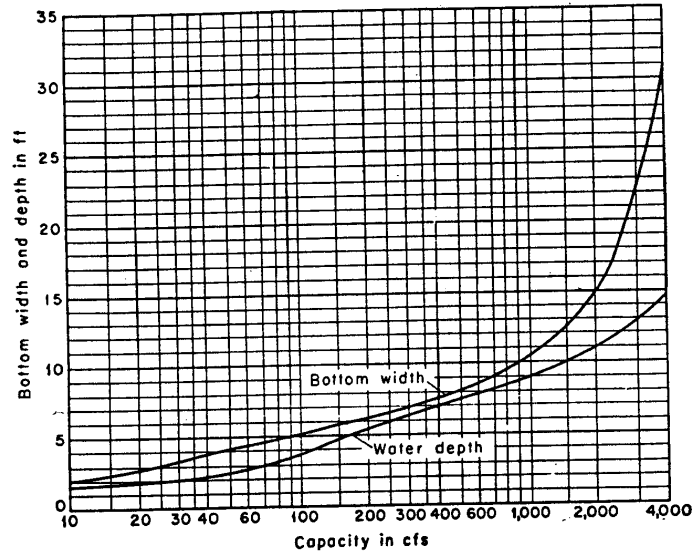
(هادئ) أى أن عمق السريان أكبر من عمق السريان الحرج ($Y_n > Y_c$) ويتحقق هذا الشرط بالبعد بقدر كافى عن حالة السريان الحرج $F_r = 1$ ولذلك نأخذ فى التصميم كمعامل أمان رقم فرود أقل من ٠,٨ $F_r < 0.8$.

٧- الخطوة الأخيرة تتمثل فى إضافة الإرتفاع الحر F إلى عمق سطح المياه.

جدول (٥-٣): الميول الجانبية المناسبة للمجارى المائية المحفورة فى مختلف أنواع التربة

| نوع التربة | الميل الجانبى أفقى : رأسى |
|---------------------------------------|------------------------------|
| صخرية | صفر : ١ (رأسية) |
| دبالية | $\frac{1}{4}$: ١ |
| طينية صلبة أو مبطنة بالخرسانة | ١ : ١ أو $(\frac{1}{2} : 1)$ |
| ترايبية مبطنة بالدبش أو ترايبية كبيرة | ١ : ١ |
| طينية متماسكة أو ترايبية صغيرة | $\frac{1}{2}$: ١ |
| رملية مفككة | ٢ : ١ |
| رملية لوحية أو طينية مسامية | ٣ : ١ |

وبصفة عامة يمكن أخذ Z تساوى ١ للأرض الطينية، ١,٥ للأرض الصفراء، ٢ للأرض الرملية أما فى القنوات المبطنة بالخرسانة فقد تؤخذ ١,٥



Experience curves showing bottom width and depth of lined channels.
(U.S. Bureau of Reclamation.)

شكل (١١-٥): القيم الشائعة لعرض القاع وعمق المياه للقنوات المبنية. (المصدر USBR)

مثال:

المطلوب إنشاء قناة مبطنة بالخرسانة معامل مانينج n يساوي ٠,٠١٥ لنقل تصرف ١,٧ م^٣/ث وتتأ القناة على أرض تتحدر بمقدار ٠,٠٠٢ متر/متر. وقطاع المجرى على شكل شبه منحرف. أفرض ميول الجوانب ١ إلى ٢ ($Z=2$) مستخدماً شكل (١١-٥) ومنها حدد أبعاد القطاع

الحل:

من الشكل (١١-٥) عند $Q = 1.7 \text{ m}^3/\text{s}$ (60 cfs)

$$b = 4.4 \text{ ft} = 1.34 \text{ m}$$

$$SF = AR^{2/3} = \frac{nQ}{S^{1/2}} = \frac{0.015 \times 1.7}{(0.002)^{1/2}} = 0.5702$$

تحسب معامل القطاع

من الشكل (٧-٥)

$$\frac{AR^{2/3}}{b^{8/3}} = 0.261 \rightarrow \frac{Y}{b} = 0.38 \quad @ \quad Z=2$$

$$\therefore Y_n = 0.509$$

Check the minimum permissible velocity

$$A = (b + ZY)Y = 1.34(0.509) + 2(0.509)^2 = 1.1935 \text{ m}^2$$

$$V_{av} = \frac{Q}{A} = \frac{1.7}{1.1935} = 1.424 \text{ m/s}$$

$$V_{av} > 0.6 \text{ m/s minimum}$$

تأكد من حالة السريان بحساب رقم فرود

$$F_r = \frac{V}{\sqrt{gD}} \quad D = \frac{A}{T}$$

$$T = b + 2ZY$$

$$= 1.34 + 2(2)(0.509)$$

$$= 3.368 \text{ m}$$

$$F_r = \frac{1.434}{\left(9.81 \frac{1.1935}{3.368}\right)^{1/2}} = 0.764 < 0.8 \text{ maximum}$$

أضف الارتفاع الحر F من شكل (١٠-٥) عند $Q = 1.7 \text{ m}^3/\text{s}$ (60 cfs)

$$f = 0.6 \quad ft = 0.182m$$

Total depth of lined trapezoidal channel

$$d_t = Y_n + F$$

$$= 0.507 + 0.182 = 0.689m$$

٢ - القنوات القابلة للنحر Erodible Channels

القنوات التى تشق فى أرض غير متماسكة أو غير صخرية وأيضاً غير المبطنّة تعتبر قناة قابلة للنحر أو التآكل. تصمم القنوات القابلة للنحر بحيث يحتفظ بآتزانها من حيث أقصى سرعة مسموح بها للمياه أو أقصى قوة تحدث على قاع القناة وجوانبها من حجم المياه المار فى المجرى تسبب تهايلها وتسمى قوى القص الحرج *Tractive Force*.

أقصى سرعة مسموح بها Maximim Permissible Velocity

أقصى سرعة مسموح بها فى المجرى هى السرعة التى لا تسبب نحر أو تآكل لقطاع المجرى. وتحسب أقصى سرعة مسموح بها من الجدول رقم (٥-٤) تبعاً لنوع مادة القناة. وهذا الجدول تنقسم فيه القيم إلى نوع المياه السارية إن كانت مياه صافية *clear water* أو مياه تحمل سلت أو غرين *transporting colloidal silts* فنتيجة الإتران الديناميكى لتركيز السلت فى السريان فإن المياه المحملة بالسلت أقل نحرأ لقطاع القناة من المياه الصافية. ولهذا السبب فإن أقصى سرعة مسموح بها فى حالة المياه المحملة بالسلت أكبر من المياه الصافية. والطريقة المتبعة فى تصميم القنوات القابلة للنحر هى:

جدول (٥-٤): أقصى قيمة للسرعات المسموح بها مع القيمة المناظرة لإجهاد القص لمجرى مستقيم (المصدر USBR)

| نوع التربة | معامل الخشونة n | مياه صافية | | | | مياه تحمل رسوبيات | | | |
|---------------------|--------------------|------------|------|-------------------|--------------------|-------------------|------|-------------------|--------------------|
| | | السرعة V | | إجهاد القص τ | | السرعة V | | إجهاد القص τ | |
| | | m/s | ft/s | N/m ² | lb/ft ² | m/s | ft/s | N/m ² | lb/ft ² |
| رمل ناعم | ٠,٠٢٠ | ١,٥٠ | ٠,٤٦ | ٠,٠٢٧ | ١,٢٩٣ | ٠,٧٦ | ٢,٥٠ | ٠,٠٧٥ | ٣٥٩١ |
| رملية لومية | ٠,٠٢٠ | ١,٧٥ | ٠,٥٣ | ٠,٠٣٧ | ١,٧٧٢ | ٠,٧٦ | ٢,٥٠ | ٠,٠٧٥ | ٣,٥٩١ |
| لومية سلتية | ٠,٠٢٠ | ٢,٠٠ | ٠,٦١ | ٠,٠٤٨ | ٢,٢٩٨ | ٠,٩١ | ٣,٠٠ | ٠,١١٠ | ٥,٢٦٧ |
| سلتية غروية | ٠,٠٢٠ | ٢,٠٠ | ٠,٦١ | ٠,٠٤٨ | ٢,٢٩٨ | ١,٠٧ | ٣,٥٠ | ٠,١٥٠ | ٧,١٨٢ |
| لومية متماسكة | ٠,٠٢٠ | ٢,٥٠ | ٠,٧٦ | ٠,٠٧٥ | ٣,٥٩١ | ١,٠٧ | ٣,٥٠ | ٠,١٥٠ | ٧,١٨٢ |
| رواسب بركانية | ٠,٠٢٠ | ٢,٥٠ | ٠,٧٦ | ٠,٠٧٥ | ٣,٥٩١ | ١,٠٧ | ٣,٥٠ | ٠,١٥٠ | ٧,١٨٢ |
| طينية صلبة متماسكة | ٠,٠٢٥ | ٣,٧٥ | ١,١٤ | ٠,٢٦٠ | ١٢,٤٤٩ | ١,٥٢ | ٥,٠٠ | ٠,٤٦٠ | ٢٢,٠٥٠ |
| سلتية غروية متماسكة | ٠,٠٢٥ | ٣,٧٥ | ١,١٤ | ٠,٢٦٠ | ١٢,٤٤٩ | ١,٥٢ | ٥,٠٠ | ٠,٤٦٠ | ٢٢,٠٥٠ |
| رسوبية صلبة | ٠,٠٢٥ | ٦,٠٠ | ١,٨٣ | ٠,٦٧٠ | ٣٢,٠٨٠ | ١,٨٣ | ٦,٠٠ | ٠,٦٧٠ | ٣٢,٠٨٠ |
| زلطية ناعمة | ٠,٠٢٠ | ٢,٥٠ | ٠,٧٦ | ٠,٠٧٥ | ٣,٥٩١ | ١,٥٢ | ٥,٠٠ | ٠,٣٢٠ | ١٥,٣٢٢ |
| لومية متدرجة | ٠,٠٣٠ | ٣,٧٥ | ١,١٤ | ٠,٣٨٠ | ١٨,١٩٤ | ١,٥٢ | ٥,٠٠ | ٠,٦٦٠ | ٣١,٦٠١ |
| سلتية متدرجة | ٠,٠٣٠ | ٤,٠٠ | ١,٢٢ | ٠,٤٣٠ | ٢٠,٥٨٨ | ١,٦٨ | ٥,٥٠ | ٠,٨٠٠ | ٣٨,٣٠٤ |
| زلط خشن | ٠,٠٢٥ | ٤,٠٠ | ١,٢٢ | ٠,٣٠٠ | ١٤,٣٦٤ | ١,٨٣ | ٦,٠٠ | ٠,٦٧٠ | ٣٢,٠٨٠ |
| كسر حجر وصخور | ٠,٠٣٥ | ٥,٠٠ | ١,٥٢ | ٠,٩١٠ | ٤٣,٥٧١ | ١,٦٨ | ٥,٥٠ | ١,١٠٠ | ٥٢,٦٦٨ |

١- تحديد قيمة معامل مانينج n.

٢- تحديد أقصى سرعة مسموح بها حسب نوع مادة القناة ونوع المياه.

٣- التعويض في معادلة مانينج وحساب معامل القطاع ρ كالآتي:

$$AR^{2/3} = \frac{nQ}{S_0^{1/2}}$$

وحساب معادلة الاستمرار $Q = VA$

$$\therefore SF_v = R^{2/3} = \frac{nV}{S_0^{1/2}}$$

مثال:

مجرى مقطعه على شكل شبه منحرف عرض القاع ٠,٦ متر وميل الجوانب ١ رأسى إلى ٢ أفقى المطلوب إنشائها فى أرض لومية سلتية غير متماسكة *noncolloidal silty loam* احسب أقصى تصرف بالمتر مكعب/ث. إذا كان إنحدار القناة ٠,٠٠٢ متر/متر وتحمل القناة مياه صافية.

الحل:

من الجدول (٤-٥) حسب نوع التربة والمياه الصافية.

$$n = 0.020$$

$$V_{max} = 0.61 \text{ m/s for clear water}$$

بالتعويض فى معادلة القطاع

$$SF_v = \frac{n V_{max}}{S_0^{1/2}} \quad SF_v = \frac{0.02(0.61)}{(0.002)^{1/2}} = 0.2728$$

$$R = \frac{(b + ZY) Y}{b + ZY (1 + Z^2)^{1/2}} = \frac{(0.6 + 2Y) Y}{0.6 + 2Y (5)^{1/2}}$$

$$= \frac{0.6Y + 2Y^2}{0.6 + 4.4721Y}$$

$$R = (SF_v)^{3/2} = (0.2728)^{3/2} = 0.1425$$

$$0.1425(0.6 + 4.4721Y) = 0.60Y + 2Y^2$$

$$\text{or } 0 = 2Y_n^2 - 0.0372 Y_n - 0.0855$$

وهذه معادلة من الدرجة الثانية لها جذران واحد سالب والآخر موجب وطبيعي
إننا نأخذ فقط الموجب لعمق المياه.

$$Y_n = \frac{+0.0372 \pm \sqrt{(0.0372)^2 + 4(2)(0.0855)}}{2(2)}$$

بأخذ الجذر الموجب

$$Y_n = 0.2163 \text{ m}$$

$$A = (b + ZY)Y = [0.60 + 2(0.2163)] 0.2163$$

$$= 0.2233 \text{ m}^2$$

$$Q_{max} = V_{max} \cdot A$$

$$= 0.61 (0.2233) = 0.136 \text{ m}^3/\text{s}$$

ويوجد محاولات كثيرة لإيجاد السرعة المتوسطة التي لاتحدث نحر أو
إطماء فى نفس الوقت ومن هذه المحاولات معادلة كنيدي الشهيرة *Kennedy*
1895 وكانت لدراسة التصريف والعمق فى ٢٢ قناة فى إقليم البنجاب فى الهند
Punjab على مياه محملة بالسلت (رسوبيات) وكانت المعادلة:

$$V_o = CY^x$$

حيث

V_o = سرعة عدم النحر والإطماء قدم/ث (السرعة المتزنة للمياه المحملة

بالطمي)

Y = عمق السريان بالقدم

$$C = 0.84 \quad \& \quad X = 0.64$$

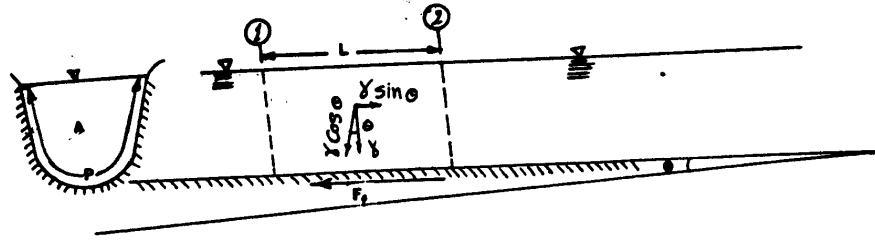
وبناء على دراسات أخرى عديدة فى أنحاء أخرى من العالم وجد أن قيمة
 C تعتمد على الأرض التى تشق فيها القناة وأن $X = 0.5$ فى حالة المياه الصافية
أما قيمة C للتربة الناعمة القوام مثل التى توجد فى مصر $C = 0.56$

| | |
|------------|---|
| $C = 0.84$ | للتربة الرملية الخفيفة الناعمة كما فى البنجاب فى الهند |
| $C = 0.92$ | للتربة الرملية الخفيفة الخشنة <i>Coarse light sandy soils</i> |
| $C = 1.01$ | للتربة السلتية اللومية الرملية <i>Sandy loamy silts</i> |
| $C = 1.09$ | للتربة السلتية الخشنة <i>Coarse silt or hard-soil debris</i> |

عند سريان مياه تحمل كمية معينة من الطمي فإذا زاد عن حد معين يحدث ترسيب (إطماء) أو إنخفضت السرعة نتيجة مرور المياه فى قطاع أكبر والعكس إذا قل تركيز الطمي عن النسبة المعينة تكون النتيجة تعويض هذا النقص بالنحر فى جوانب وقاع المجرى.

قوى السحب المسموح بها Permissible Tractive Force

يصحب سريان المياه فى القنوات المكشوفة قوى تتولد فى إتجاه السريان تسبب سحب لحبيبات التربة فى المحيط المبتل من القطاع وقد تصل هذه القوى إلى تحريك حبيبات التربة من مكانها وحملها مع الماء لتترسب فى مكان آخر من المجرى. بمساواة القوى التى تسبب الحركة بالقوى التى تقاوم الحركة يمكن تحديد جهد القص المتوسط على طول المحيط المبتل كما بالشكل كالاتى:



حيث $(A.L)$ = حجم المياه بين المقطعين (١) ، (٢)

γ = الوزن النوعي للمياه

$$\gamma = 9.81 \text{ kN} / \text{m}^3$$

$$= 1000 \text{ kg} / \text{m}^3 = 62.4 \text{ lb} / \text{ft}^3$$

F_f = قوى الاحتكاك (القص) *Shear or drag force*

على طول المحيط المبتل هو (τ_0) unit tractive force per unit wetted area

$$F_f = \tau_0 \cdot P \cdot L$$

فإن

$$F_f = \tau_0 \cdot P \cdot L = \gamma \sin \theta \cdot A \cdot L \quad \text{وبمساواة المعادلتين}$$

$$\sin \theta = \tan \theta = S \quad \text{وحيث أن زاوية ميل قاع المجرى صغيرة}$$

حيث S الميل الطولي لقاع المجرى

$$\tau_0 = \frac{\gamma S A L}{P L}$$

$$\therefore \tau_0 = \gamma R S \quad \text{kg} / \text{m}^2 \quad \text{or} \quad \text{N} / \text{m}^2 \quad \text{or} \quad \text{lb} / \text{ft}^2$$

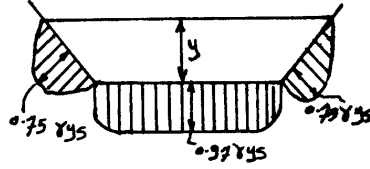
وتوزيع جهد القص على المحيط المبتل غير متساوى حيث أن جهد القص

الخرج لجوانب المجرى يقل عنه عند القاع بمعنى أن حركة حبيبات التربة تبدأ

على الجوانب قبل القاع حيث أن نسبة جهد القص على الجوانب إلى جهد القص

على القاع يساوى تقريباً ٠,٧٥ بالنسبة لقطاع شبه المنحرف وهو يعتمد على ميل الجوانب وكذلك زاوية الراحة *Angle of repose* لمادة القناة كما فى الشكل.

وتستخدم قيمة جهد القص الحرج فى تصميم القنوات القابلة للنحر حيث يمكن إيجاد قيمة نصف القطر الهيدروليكى من المعادلة السابقة وبالتالى تحديد أبعاد المقطع.



مثال:

احسب جهد القص المتوسط الواقع على المحيط المبتل لقناة مستطيلة القطاع عرض قاعها ٣ متر وميل القاع ١ متر لكل ١ كم وعمق الماء فيها ١,٢ متر.

الحل:

$$\begin{aligned}
 \tau_0 &= \gamma R S \\
 &= 1000 \frac{\text{kg}}{\text{m}^3} \left(\frac{1.2 \times 3}{3 + 2 \times 1.2} \right) \left(\frac{1}{1000} \right) \\
 &= 1000 \times 0.666 \times 0.001 = 0.666 \text{ kg / m}^2 \\
 &= 9810 \times 0.666 \times 0.001 = 6.54 \text{ N / m}^2
 \end{aligned}$$

السريان المتغير (غير المنتظم) Varied (nonuniform) Flow
 أو السريان المستقر متدرج التغير Steady Gradually Varied Flow

يتميز السريان الغير منتظم بتغير عمق السريان مع المسافة أى أن $\left(\frac{dy}{dx} \neq 0\right)$ ويحدث ذلك نتيجة لتغير السرعة مما يحتم تغيراً فى مساحة المقطع الهندسى لمجرى السريان والذى يظهر فى تذبذب العمق زيادة أو نقصاناً.

إحدى الطرق المستخدمة فى حل مسائل السريان المتغير هى طريقة الخطوة بخطوة *Step-by-Step procedure* والتي تفترض أن الفاقد فى الطاقة فى مسافة قصيرة من المجرى يتساوى معه فى حالة السريان المنتظم والذى فيه نصف القطر الهيدروليكي والسرعة المتوسطة تساوى المتوسط العددي للقيمتين عند بداية المسافة القصيرة ونهايتها. وبكتابة معادلة الطاقة للحالة المبينة بالشكل.

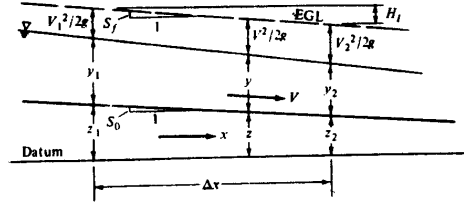
$$h_f = S_f X$$

$$Z_1 - Z_2 = S_0 X$$

$$Z_1 + Y_1 + \frac{V_1^2}{2g} = Z_2 + Y_2 + \frac{V_2^2}{2g} + h_f$$

$$S_0 X + Y_1 + \frac{V_1^2}{2g} = Y_2 + \frac{V_2^2}{2g} + S_f X$$

$$\therefore X = \frac{\left(Y_1 + \frac{V_1^2}{2g}\right) - \left(Y_2 + \frac{V_2^2}{2g}\right)}{S_f - S_0} = \frac{E_1 - E_2}{S_f - S_0}$$



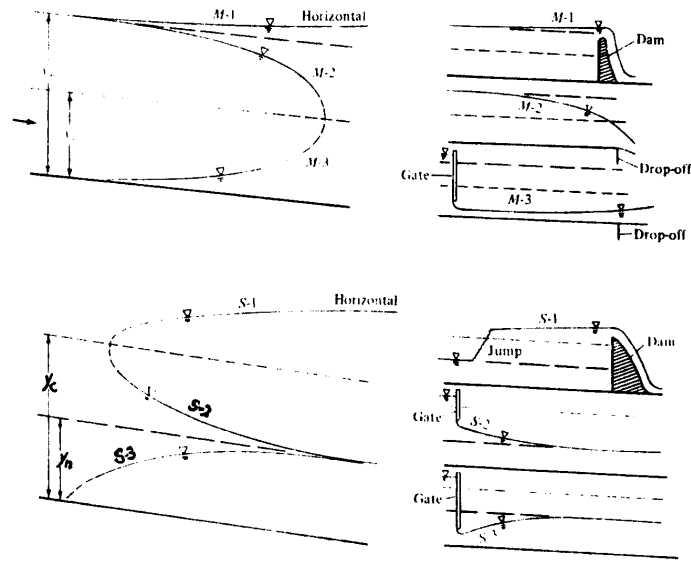
حيث: S_f : ميل خط الطاقة ، S_0 = ميل قاع المجرى
وتحسب ميل خط الطاقة S_f من معادلة مانينج

$$\frac{Q}{A} = V = \frac{1}{n} R^{2/3} S_f^{1/2}$$

$$\therefore S_f = \frac{n^2 V_{avg}^2}{R_{avg}^{4/3}}$$

$$V_{avg} = \frac{V_1 + V_2}{2} \quad R_{avg} = \frac{R_1 + R_2}{2}$$

ويعتمد شكل سطح المياه في مجرى ما على العلاقة بين عمق السريان Y والعمق الحرج Y_c والعمق المنتظم (العادي) Y_n كما في الشكل (١٢-٥) الذي يبين ٣ حالات شائعة للسريان المتغير لميل معتدل *mild slope* (M) حيث تكون $S_0 > S_c$ وكذلك $Y_n > Y_c$ والثلاث حالات الأخرى للسريان المتغير لميل شديد الإتحدار *Steep slope(s)* حيث تكون $S_0 < S_c$ وكذلك $Y_n < Y_c$.



شكل (٥-١٢): شكل سطح المياه للسريان المتغير عند حالتين لإنحدار قاع
المجرى الأولى عند الميل المعتدل والثانية عند ميل شديد الإنحدار

مثال:

تسرى مياه بتصريف $8.5 \text{ م}^3/\text{ث}$ فى قناة مستطيلة المقطع عرضها ٣ متر. ميل قاع المجرى سالب ويرتفع ٠.٢ متر لكل ١٠٠ متر فى إتجاه السريان. فإذا كان عمق المياه ينخفض من ٢.١٠ متر إلى ١.٦٥ متر خلال طول مقداره ١٥٠ متر. احسب معامل مانينج //

الحل:

$$V_1 = \frac{Q}{y_1 \cdot b} = \frac{8.5}{2.1 \times 3} = 1.35 \text{ m/s} \quad \frac{V_1^2}{2g} = \frac{(1.35)^2}{2 \times 9.81} = 0.093 \text{ m}$$

$$V_2 = \frac{Q}{y_2 \cdot b} = \frac{8.5}{1.65 \times 3} = 1.72 \text{ m/s} \quad \frac{V_2^2}{2g} = \frac{(1.72)^2}{2 \times 9.81} = 0.151 \text{ m}$$

$$R_1 = \frac{y_1 \cdot b}{2y_1 + b} = \frac{2.1 \times 3}{2 \times 2.1 + 3} = 0.875 \text{ m}$$

$$R_2 = \frac{y_2 \cdot b}{2y_2 + b} = \frac{1.65 \times 3}{2 \times 1.65 + 3} = 0.885 \text{ m}$$

$$V_{avg} = \frac{1.35 + 1.72}{2} = 1.54 \text{ m/s}$$

$$R_{avg} = \frac{0.875 + 0.885}{2} = 0.83 \text{ m}$$

$$Z_1 + Y_1 + \frac{V_1^2}{2g} - h_f = Z_2 + Y_2 + \frac{V_2^2}{2g}$$

$$0 + 2.10 + 0.093 - h_f = 0.2 (1.5) + 1.65 + 0.151$$

$$h_f = 0.092 \text{ m}$$

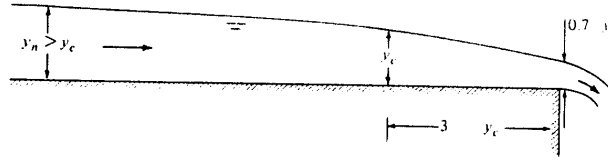
$$S = \frac{0.092}{150} = 0.000613 = \frac{n^2 (1.54)^2}{1 \times (0.83)^{2.48}} = 2.68 \text{ m}^2$$

$$n = 0.0151$$

مثال:

قناة مقطوعها على شكل مستطيل عرضه ٣ متر وينتهي المجرى بسقوط حر *Free outfall* فإذا كان التصريف ١٠ م^٣/ث والميل الطولي ٠.٠٠٢٥ ومعامل مانينج ٠.٠١٦ احسب Y_c ، Y_n واحسب سطح المياه لمسافة تبعد ١٥٠ متر أعلى نقطة السقوط الحر *upstream from the outfall*.

الحل:



Critical depth at a free overfall.

$$q = \frac{Q}{b} = \frac{10}{3} = 3.33 \text{ m}^3 / \text{s per m}$$

$$Y_c = \sqrt[3]{\frac{q^2}{g}} = \sqrt[3]{\frac{3.33^2}{9.81}} = 1.042 \text{ m}$$

$$Q = \frac{1}{n} AR^{2/3} S^{1/2}$$

$$10 = \frac{1}{0.016} AR^{2/3} (0.0025)^{1/2}$$

$$AR^{2/3} = 3.2$$

$$\frac{AR^{2/3}}{b^{8/3}} = \frac{3.2}{3^{8/3}} = \frac{3.2}{18.7207} = 0.1709$$

من منحنيات السريان المنتظم

$$\frac{Y}{b} \approx 0.446 \quad \therefore Y_n \approx 1.34 \text{ m}$$

وحيث أن $Y_n > Y_c$ السريان تحت حرج (هادئ) *subcritical* ويكونعمق الماء عند حافة السقوط $Y = 0.7 Y_c = 0.7 (1.04) = 0.73 \text{ m}$ ويكون العمق

الحرج ١,٠٤ متر عند مسافة تبعد حوالي ٣ متر أعلى الحافة.

$$S_f = \frac{n^2 V_{av}^2}{1 \times R_{av}^{4/3}}$$

$$X = \frac{\Delta E}{S_f - S_0} = \frac{\Delta E}{S_f - 0.0025}$$

| Y (m) | V (m/s) | $\frac{V^2}{2g}$ (m) | E (m) | V _{av} (m/s) | R _{av} (m) | S _f | X (m) | Σ X (m) |
|----------|------------|-------------------------|----------|--------------------------|------------------------|----------------|----------|------------|
| 1.04 | 3.205 | 0.524 | 1.546 | 3.06 | 0.630 | 0.00443 | 6 | 6 |
| 1.14 | 2.924 | 0.436 | 1.576 | 2.80 | 0.662 | 0.00346 | 33 | 39 |
| 1.24 | 2.688 | 0.368 | 1.608 | 2.58 | 0.694 | 0.00276 | 185 | 224 |
| 1.34 | 2.488 | 0.316 | 1.656 | | | | | |

محتويات الكتاب

| الصفحة | |
|--------|---|
| ٣ | مقدمه |
| ٩ | الباب الأول : أساسيات الهيدروليكا |
| ٥١ | الباب الثاني : المضخات الديناميكية |
| ١٦٥ | الباب الثالث : مضخات الإزاحة الإيجابية |
| ١٩١ | الباب الرابع : تكاليف تشغيل المضخات |
| ٢٠٩ | الباب الخامس : هيدروليكا القنوات المكشوفة |
| ٢٨١ | الملاحق |
| ٢٨٤ | المراجع |

التحويل من النظام الإنجليزى إلى النظام المترى

| | |
|--|--|
| LENGTH: | |
| Feet (ft) × 0.3048* | = Meters (m) |
| Inches (in) × 0.0254* | = Meters (m) |
| Miles (mi) × 1009.34 | = Meters (m) |
| Miles (mi) × 1.60934 | = Kilometers (km) |
| Nautical miles × 1852.0* | = Meters (m) |
| Yards (yd) × 0.9144* | = Meters (m) |
| AREA: | |
| Feet ² (ft ²) × 0.0929030 | = Meters ² (m ²) |
| Acres × 4046.86 | = Meters ² (m ²) |
| Miles ² (mi ²) × 2.58999 | = Kilometers ² (km ²) |
| VOLUME: | |
| Feet ³ (ft ³) × 0.02831685 | = Meters ³ (m ³) |
| Feet ³ (ft ³) × 28.31685 | = Literst |
| Yards ³ (yd ³) × 0.764555 | = Meters ³ (m ³) |
| Acre feet × 1233.48 | = Meters ³ (m ³) |
| Gallons (gal) × 0.00378541 | = Meters ³ (m ³) |
| Gallons (gal) × 3.78541 | = Literst |
| VELOCITY: | |
| Feet per second (ft/s) × 0.3048* | = Meters per second (m/s) |
| Miles per hour (mi/hr) × 0.44707* | = Meters per second (m/s) |
| Miles per hour (mi/hr) × 1.60934 | = Kilometers per hour (km/hr) |
| Knots × 0.514444 | = Meters per second (m/s) |
| Knots × 1.852 | = Kilometers per hour (km/hr) |
| DISCHARGE: | |
| Feet ³ per second (ft ³ /s) × 0.02831685 | = Meters ³ per second (m ³ /s) |
| Millions gallons per day × (mgd) 0.0438126 | = Meters ³ per second (m ³ /s) |
| Acre-feet per day × 0.0142764 | = Meters ³ per second (m ³ /s) |
| Gallons per minute (gal/min) × 0.0000630902 | = Meters ³ per second (m ³ /s) |
| FORCE: | |
| Pounds (lb) × 0.453592 | = Kilograms force (kgf) |
| Pounds (lb) × 453.592 | = Grams (g) |
| Pounds (lb) × 4.44822 | = Newtons (N) |
| Tons × 0.907185 | = Metric tons |

PRESSURE:

Pounds per foot² (lb/ft²) × 47.8803 ... = Newtons per meter² (N/m²)
Pounds per foot² (lb/ft²) × 4.88243 = Kilograms force per meter² (kgf/m²)
Pounds per inch² (lb/in²) × 6894.76 .. = Newtons per meter² (N/m²)
Pounds per inch² (lb/in²) × 703.070 = Kilograms force per meter² (kgf/m²)
Millibars (mb) × 100.0* = Newtons per meter² (N/m²)

UNIT WEIGHT:

Pounds per foot³ (lb/ft³) × 157.0875 .. = Newtons per meter³ (N/m³)
Pounds per foot³ (lb/ft³) × 16.0185 = Kilograms force per meter³ (kgf/m³)
Pounds per foot³ (lb/ft³) × 0.0160185 = Grams per centimeter³ (g/cm³)

MASS AND DENSITY

Slugs × 14.5939 = Kilograms (kg)
Slugs per foot³ × 515.379 = Kilograms force per meter³ (kgf/m³)

VISCOSITY

Pounds seconds per foot² (lb/ft²)
or slugs per foot second × 47.8803 ... = Newtons seconds per meter² (Ns/m²)
Feet² per second (ft/s) × 0.092903 = Meters² per second (m²/s)

*** Exact values.**

Liters × 1000.0 = centimeters³

Liters × 0.001 = meters³

Metric tons × 1000.0 = kilograms force

kilograms force × 100.000.0 = newtons

Newtons × 100.000.0 = dynes

Newton seconds per meter² × 0.1 = poises

الرموز في النظام الدولي للأرقام ومعناها

| Prefix (abbreviation) | Meaning |
|-----------------------|------------|
| Mega- (M) | 1,000,000. |
| Kilo- (k) | 1,000. |
| Hecto- (h) | 100. |
| Deka- (da) | 10. |
| Deci- (d) | 0.1 |
| Centi- (c) | 0.01 |
| Milli- (m) | 0.001 |
| Micro- (μ) | 0.00001 |

CONVERSION FACTORS تحويلات هامة

| VOLUME | | HEAD | |
|----------------------------------|--|-------------------------------|--|
| | 231. cu. inches | | 2.31 ft. head of water |
| | 0.1337 cu.ft | | 2.04 inches Mercury |
| 1 U.S. Gallon | = 3.785 litres | 1 lb. per sq. inch | = 0.0703 kg. per sq. in. |
| | 0.833 Imp. gal | 1 ft. of water | = 0.433 |
| 1 Imperial Gallon | = 1.2 U.S. gal | 1 Inch of Mercury | |
| 1 Cubic Foot | = { 7.48 U.S. gal. 0.0283 cu. meter | (or vacuum) | = 1.132 ft. of water |
| 1 Litre | = 0.2642 U.S. gal | 1 Kilogram per sq. cm. | = { 14.22 lb. per sq. in. 14.7 lb. per sq. in |
| 1 Cubic Meter | = { 35.314 cu.ft 264.2 U.S. gal | | |
| 1 Acre Foot | = 43,560 cu. ft. 325,829 U.S. gal | 1 Atmosphere | = { 34.0 ft. of water 10.35 meters of water |
| CAPACITY | | WEIGHT | |
| 1 Cubic foot per second (c.f.s.) | = 449 g.p.m. | 1 U.S. gal. of water | = 8.33 lb. |
| 1 Million gal. per day (m.g.d.) | = 695 g.p.m. | 1 cu. ft. of water | = 62.35 lb |
| 1 Acre foot per day | = 227 g.p.m. | Specific Gravity of Sea Water | = 1.02 to 1.03 |
| 1 Litre per second | = 15.85 g.p.m. | 1 Kilogram | = 2.2 lb |
| 1 Cubic meter per minute | = 264.2 g.p.m. | 1 Metric ton | = 2204.6 lb |
| 1 Cubic meter per hour | = 4.4 g.p.m. | | |
| 1 Miner's inch- original std. | = 11.22 g.p.m. | | |
| AREA | | LENGTH | |
| 1 Hectare | = 2.4709 acre | 1 Mile | = { 5280 feet 1.61 kilometers |
| 1 Acre | = 4047 sq. meter | 1 Inch | = 2.54 centimeters |
| 1 Hectare | = 10000 sq. meter | 1 Meter | = { 3.2808 feet 39.3696 inches |
| 1 Dunam | = 1000 Sq. meter | 1 Yard | = 3.00 feet meters |
| 1 Feddan | = 4200 Sq. meter | 1 Chain | = 66 feet |
| | | 1 mil | = 0.001 in (millinch) |
| HORSEPOWERS AND ELECTRICAL DATA | | | |
| 1 H.P. | = 33,000 ft.-lb. per minute | 3 phase watts | = Volts |
| 1 H.P. | = 550 ft.-lb. per second | 1 H.P. | = 75 kg.-m per second |
| 1 H.P. | = 746 kilowatts = 746 watts | 1 H.P.-hr | = 2546 BTU |
| | | 1 kw | = 1.36 H.P. |
| Wate hp. | = $\frac{g.p.m. \times Head in meter}{3960}$ | Wate hp | = $\frac{m^3 / hr \times Head in meter}{270}$ |

المراجع

- ASAE Standards 1999. s. Josph, MI USA
- **Bliesner, R.D., and J. Keller. 1982.** Diesel Powered Pumping for Irrigation. 2nd ed. Detroit, Michigan: Detroit Diesel Allison Division of General Motors Corp.
- **Brater, E.F and H.W. King. 1976** Handbook of Hydraulics. New York Mc Graw Hill.
- **Burt, C.M. 1995.** The Surface Irrigation Manual Waterman Industries, Inc. Ca. USA.
- **Cherkassky, V. 1990.** Pumps Fans Compressors. Mir Publishers Moscow, English translation.
- **Chow, V.T. (1959).** open channel Hydraulics. New York Mc Graw Hill.
- **Cuenca, R.H. 1989.** Irrigation System Design. Englewood cliffs, New Jersey: Prentice - Hall.
- **Douglas, J.F. 1989.** Solving Problems in Fluid Mechanics. ELBS/Longman.
- **Douglas, J.F., J.M. Gasiorek, and J.A.Swaffield. 1990.** Fluid Mechanics. ELBS/Longman.
- **Featherstone, R.E. and C. Nalluri 1982.** Civil Engineering Hydraulics. ELBS Collins.
- **Fraenkel, P.L. 1986.** Water lifting Devices. Irrigation & Drainage Paper No. 43, Fao, Rome.
- **James, Larry G. 1988.** Principles of Farm Irrigation System Design John Wiley & Sons.

- **Karassik, I.J., W.C.** 1988. Hydraulic Handbook. Fairbanks Morse Pump Corporation.
- **Karassik, I.J., W.C. Krutzsch, W.H. Fraser, and J.P. Messina.** 1976. Pump Handbook. New York: Mc Graw-Hill.
- **Keller, J. and R.D. Bliesner.** 1990. Sprinkle and Trickle Irrigation. AVI Book by an Nostrand Reinhold New York.
- **KRAATZ, D.B.** 1977. Irrigation Canal Lining. FAO Land and water Development Series No. 1.
- **Michael, A.M.** 1978. Irrigation Theory and Practice. Vikas Publishing House PVT LTD.
- **Nir Z** 1982. Pumps and Pumping. In CRC Handbook of Irrigation Technology, ed. H. J. Finkel, vol. 1, pp. 299-338. Boca Raton, Florida: CRC Press.
- **Prasuhn, Alan L.** 1992. Fundamentals of Hydraulic Engineering Oxford univ Press, Inc.
- **Roberson, J.A. and C.T. Crowe** 1980. Engineering Fluid Mechanics Houghton Mifflin Company.
- **Schwab, G.O., R. Frevert, T. Edminster, and K.Barnes.** 1981. Soiland Water Conservation Engineering. Jon Wiley & Sons
- **Simon, A.L.** 1981. Practial Hydraulics. John Wiley & Sons.
- **U.S. Soil Conservation Service (1959).** "Irrigation Pumping Plants" Irrigation, Section 15, Chapter 8., Washington D.C
- **USBR.** 1978. Design of Small Canal Structures. Denver, Colorado.
- **Linsley, R.K. and J.B. Franzini** 1972. Water-Resources Engineering. Second edition. New York: Mc Graw- Hill.

مجلد القرآن

رقم الإيداع بدار الكتب والوثائق القومية

٢٠٠١/١٨٢٥

الترقيم الدولي 4 - 17 - 6015 - 977 - I.S.B.N

الناشر
مكتبة بستان المعرفة
لطباعة ونشر وتوزيع الكتب
كفر الدوار - الحدائق ☎ : ٢٢٤٢٢٨